

FACULTAD DE INGENIERA ESCUELA DE INGENIERIA CIVIL

Seguimiento Instrumental Geotécnico para controlar riesgos en la construcción de túneles tipo escudo del tramo UNEFA - Bello Campo del Proyecto Línea 5, Metro de Caracas.

TRABAJO ESPECIAL DE GRADO

Presentado ante la

UNIVERSIDAD CATOLICA ANDRES BELLO

Como parte de los requisitos para optar al título de

INGENIERO CIVIL

REALIZADO POR Br. Andrés Eloy Guarache Acuña

Br. Paolo Di Teodoro Ruzza

PROFESOR GUIA Ing. Sergio Rodríguez Rojas

FECHA Junio de 2013



AGRADECIMIENTOS

Para la elaboración del presente trabajo tuvimos la dicha de contar con la ayuda de un gran número de profesionales que, con una excelente disposición facilitaron nuestras tareas para lograr los objetivos propuestos. Queremos hacer un reconocimiento muy especial al personal de la C.A. Metro de Caracas, quienes con paciencia y dedicación nos orientaron en todas las áreas que fueron necesarias estudiar para la realización de la investigación. Especialmente a nuestro tutor Ing. Sergio Rodríguez Rojas por su constante disposición a ayudarnos y guiarnos en este largo proceso. Además debemos agradecer, dentro de este equipo de trabajo, la ayuda del Ing. Johan Pérez, Ing. Dagoberto Duno, Ing. Mirka Farfán, Ing. Gilberto Gutiérrez, Ing. Andrea Contreras, TSU. César Garban y de otras empresas afines a TSU. Wilfredo Astudillo y TSU. Antonio Moreno. Debemos además, reconocer la ayuda proporcionada por los Ingenieros pertenecientes a la Comunidad Ucabista Roque García y Ricardo Rivas. También queremos agradecer especialmente la valiosa ayuda del Maestro Dr. Roberto Centeno quien voluntariamente accedió a guiarnos en la elaboración del trabajo escrito.

Por último pero no menos importante, queremos agradecer a nuestros amigos cercanos y en especial a nuestros padres y hermanos quienes estuvieron presentes desde el inicio de nuestra aventura universitaria hasta su culminación con la entrega del presente Trabajo Especial de Grado, brindando incondicionalmente su apoyo moral y económico.

Para todos nuestras sinceras palabras de agradecimiento.



INDICE DE CONTENIDO

INTRODUCCION	1
CAPITULO 1. EL PROBLEMA.	4
1.1. Planteamiento del problema	
1.2 Justificación del problema	
1.3. Alcance y limitaciones.	
1.4. Objetivo general	
1.5. Objetivos específicos	
1.6. Antecedentes.	
CAPITULO 2. MARCO TEORICO	
2.1.1. Beneficios y justificación	
2.1.1.1 Beneficios antes de la construcción de la obra	
2.1.1.2. Beneficios durante la construcción de la obra.	
2.1.1.3. Beneficios después de culminar la obra.	
2.1.1.4. Método Observacional de Peck (1969)	
2.1.2. Planificación y ejecución de programas de monitoreo de campo	
2.1.2.1. Definición de las condiciones del proyecto	
4.1.2.2. Predicción de mecanismos que controlan el comportamiento	
2.1.2.4. Definición del objetivo de la instrumentación	
2.1.2.4. Definición del objetivo de la histrumentación	
2.1.2.6. Establecer niveles de advertencia y crear planes de remediación	
4.1.2.7. Parámetros monitoreados y selección de los instrumentos	
2.1.2.8. Selección de la ubicación de los instrumentos	
2.1.2.6. Selection de la dolcación de los instrumentos	
2.1.2.9. Planticación previa a la histalación	
2.1.2.10. Plan de instalación	
2.1.2.11. Flanes posteriores à la histalactor de los histrumentos y equipos	
2.2. Descripción de la Fase I del Proyecto Línea 5 del Metro de Caracas	
2.3. Construcción de túneles escudos en suelos.	
2.3.1. Máquinas perforadoras de túneles tipo escudo (TBM, "Tunnel Boring	,
2.3.1.1. Clasificación.	
2.3.1.2. Caracteristicas de las TBM con escudo de presión de tierras balanceada	,
Pressure Balance Shields).	
2.3.1.2.1. Modos de operación.	
2.3.1.2.2. Tratamiento del terreno.	
2.3.2. Características del terreno	
2 3 2 1 Parámetros de excavación de las TBM-EPBs S430 y S431	30



2.3.3. Asentamientos superficiales	31
2.4. Túneles mineros (NATM, "New Austrian Tunnel Method")	34
CAPITULO 3. MARCO METODOLOGICO PARA EL SEGUIMIENT INSTRUMENTAL GEOTECNICO APLICADO EN EL TRAMO DE T GEMELOS COMPRENDIDO ENTRE LA ESTACION CHUAO Y LA	FUNELES
ESTACION BELLO CAMPO DE LA LINEA 5 DEL METRO DE CAI	
3.1. Proceso de instalación de la instrumentación.	
3.1.1. Actividades previas	
3.1.2. Ejecución	
3.1.3. Tiempo de ejecución	
3.1.4. Equipos utilizados para la instalación	
3.1.5. Mecanismos de resarcimiento y restitución	39
3.2. Distribución de los instrumentos.	40
3.3. Proceso de obtención, presentación e interpretación de las lecturas de	
instrumentación. (Dunnicliff, 1993)	42
3.3.1. Obtención de las lecturas de instrumentación	
3.3.1.1. Lecturas iniciales	
3.3.1.2. Frecuencia de la toma de lecturas.	
3.3.2. Presentación de las lecturas de instrumentación	
3.3.3. Interpretación de las lecturas de instrumentación	
3.4. Instrumentación utilizada en el tramo de túneles gemelos comprendido	
estación Chuao y la estación Bello Campo de la Línea 5 del Metro de Caraci	
3.4.1. Nivelación de precisión con nivel y placa plano paralela (NPPP)	
3.4.1.1 Tipos de Instrumentación utilizados para la nivelación de precisión con niv	
paralela en el tramo Chuao - Bello Campo de la Línea 5 del Metro de Caracas	
3.4.1.2. Procedimiento utilizado para la nivelación con precisión con NPPP	
3.4.2. Medición de niveles freáticos.	53
3.4.3. Mediciones de convergencia	55
3.4.3.1. Implementación de la instrumentación utilizada para la medición de conver	•
túneles gemelos	
3.4.3.2. Equipo utilizado para medir convergencias.	
3.4.3.3. Procedimiento para la toma de mediciones	
CAPITULO 4. RESULTADOS.	
4.1. Nivelación de precisión con nivel y plano placa paralela (NPPP)	
4.1.1. Nivelación de secciones	
4.2. Niveles freáticos	130



CAPITULO 5. DISCUSION DE RESULTADOS......156 5.1. Nivelación de precisión con NPPP......156 5.1.1. Nivelación de secciones con puntos superficiales y tasómetros.......158 CAPITULO 6. CONCLUSIONES.169 INDICE DE FIGURAS FIGURA 1.1.: Alineamiento Fase I Proyecto Línea 5 C.A. Metro de Caracas.______4 FIGURA 2.1.2.11.: Organigrama esquemático de actuaciones en una instrumentación. ______ 17 FIGURA 2.2.a.: Foso UNEFA con túneles gemelos dirección Bello Campo._______19 Fuente: Autores FIGURA 2.2.b.: Fosos UNEFA. Proyecto Línea 5 de la C.A. Metro de Caracas. Fuente Metro de FIGURA 2.2.c: Túnel gemelo UNEFA-Chuao, revestido con los anillos prefabricados.______20 FIGURA 2.3.1.2.a.: Esquema de balance de presiones de tierras en la cámara presurizada. ______ 22 FIGURA 2.3.1.2.b.: Cabeza de corte con protección anti-abrasiva de la TBM-EPBs utilizada en el Proyecto Línea 5 del Metro de Caracas.___ FIGURA 2.3.1.2.c.: TBM-EPBs Proyecto Línea 5 Metro de Caracas. 24 FIGURA 2.3.1.2.d.: Banda transportadora descargando el material al contenedor._____24 FIGURA 2.3.1.2.e.: Gatos hidráulicos TBM-EPBs del Proyecto Línea 5 del Metro de Caracas. ______25 FIGURA 2.3.2.: Correlación del tipo de suelo con los términos utilizados en la construcción de túneles. 29 FIGURA 2.3.3.a.: Asientos finales tras el paso del primer y segundo túnel gemelo. FIGURA 2.3.3.b.: Pérdida de volumen producido por los dos túneles sin considerar la interacción entre FIGURA 2.3.3.c.: Pérdida de volumen de los túneles gemelos considerando la interacción entre ambos.33 FIGURA 2.3.3.d.: Zona de influencia en edificaciones. _______34 FIGURA 2.4.a.: Esquema de estación típica del Proyecto Línea 5 del Metro de Caracas. ______ 35 FIGURA 2.4.b.: Esquema túnel minero (NATM) del Proyecto Línea 5 del Metro de Caracas. ______ 36 FIGURA 2.4.c.: Túnel minero, cuerpo de la estación Bello Campo._______37 FIGURA 2.4.d.: Túnel minero de conexión en Bello Campo. Revestimiento final. ______ 38 FIGURA 2.4.e.: Concreto proyectado (Shotcrete), avance estación Bello Campo._______38 FIGURA 3.2.b: Sección tipo "B". 41 FIGURA 3.2.d.: Sección tipo "D". 42 FIGURA 3.3.1.2.: Frecuencia de toma de lecturas. ______44 FIGURA 3.4.1.1.a.: Esquema de instalación de una placa de asentamiento._______48



FIGURA 3.4.1.1.b.: Protección superficial de una placa de asentamiento. _______48 FIGURA 3.4.1.1.c.: Esquema de instalación de un tasómetro. S/ESC. 49 FIGURA 3.4.1.1.d.: Esquema de instalación de un pino o perno de asentamiento. S/ESC.______50 FIGURAS 3.4.1.1.e.: Plano de planta del tramo Chuao - Bello Campo, con las secciones instrumentales instaladas y sus progresivas. S/ESC._ FIGURA 3.4.1.2.: Nivel topográfico con plano placa paralela._______52 FIGURA 3.4.2.: Esquema de instalación de un piezómetro. ______54 FIGURA 3.4.3.1.a.: Anillos de acero prefabricados._____ FIGURA 3.4.3.1.b.: Distribución de los anillos en la sección del túnel.______56 FIGURA 3.4.3.2.a.: Cinta extensométrica modelo 1610, precisión ± 0.1 milímetros.______56 Fuente: (Geokon) FIGURA 3.4.3.2.b.: Cinta extensométrica. Luz indicadora de lectura correcta. ______ 57 FIGURA 4.1.1.a.: Ubicación de la sección tipo "A" en la progresiva 23+490 del alineamiento Proyecto ____ 58 FIGURA 4.1.1.b.: Ubicación de la sección tipo "B" en la progresiva 23+515 del alineamiento Proyecto FIGURA 4.1.1.c.: Ubicación de la sección tipo "A" en la progresiva 23+540 del alineamiento Proyecto FIGURA 4.1.1.d.: Ubicación de la sección tipo "B" en la progresiva 23+565 del alineamiento Proyecto FIGURA 4.1.1.e.: Ubicación de la sección tipo "B" en la progresiva 23+600 del alineamiento Proyecto FIGURA 4.1.1.f.: Ubicación de la sección tipo "A" en la progresiva 23+640 del alineamiento Proyecto FIGURA 4.1.1.g.: Ubicación de la sección tipo "A" en la progresiva 23+690 del alineamiento Proyecto _____ 75 FIGURA 4.1.1.h.: Ubicación de la sección tipo "B" en la progresiva 23+715 del alineamiento Proyecto FIGURA 4.1.1.i.: Ubicación de la sección tipo "A" en la progresiva 23+740 del alineamiento Proyecto _____ 82 FIGURA 4.1.1.j.: Ubicación de la sección tipo "A" en la progresiva 23+790 del alineamiento Proyecto FIGURA 4.1.1.k.: Ubicación de la sección tipo "B" en la progresiva 23+815 del alineamiento Proyecto _ 90 FIGURA 4.1.1.1.: Ubicación de la sección tipo "A" en la progresiva 23+840 del alineamiento Proyecto FIGURA 4.1.1.ll.: Ubicación de la sección tipo "B" en la progresiva 23+865 del alineamiento Proyecto FIGURA 4.1.1.m.: Ubicación de la sección tipo "A" en la progresiva 23+890 del alineamiento Proyecto FIGURA 4.1.1.n.: Ubicación de la sección tipo "B" en la progresiva 23+915 del alineamiento Provecto FIGURA 4.1.1.ñ.: Ubicación de la sección tipo "A" en la progresiva 23+940 del alineamiento Proyecto



FIGURA 4.1.1.o.: Ubicación de la sección tipo "B" en la progresiva 23+965 del alineamiento Proyecto FIGURA 4.1.1.p.: Ubicación de la sección tipo "A" en la progresiva 23+990 del alineamiento Proyecto FIGURA 4.1.2.a.: Ubicación de los pernos de asentamiento de la caseta de vigilancia de la Base Aérea La Carlota. Proyecto Línea 5._____ FIGURA 4.1.2.b.: Ubicación de los pernos de asentamiento en el Centro Comercial Sambil. Proyecto FIGURA 4.1.2.c.: Ubicación de los pernos de asentamiento en el Liceo Gustavo Herrera. Proyecto Línea FIGURA 4.2.: Ubicación de los medidores piezométricos del tramo UNEFA - Bello Campo. Proyecto FIGURA 5.1.2.: Ubicación de los instrumentos de nivelación en el Complejo Gustavo Herrera. _____ 162 FIGURA 5.3.: Perfil geológico del Tramo Chuao - Bello Campo._______165 FIGURA 5.4.a.: Producto SikaFix HH.________168 FIGURA 5.4.b.: Válvulas utilizadas en las inyecciones de espuma. ______168 INDICE DE TABLAS TABLA 3.4.: Distribución de la Instrumentación en el alineamiento._____ TABLA 4.1.1.a.: Lecturas de los cuatro puntos superficiales (P1, P2, P3 y P4) tras el paso de la tuneladora S431.____ TABLA 4.1.1.b.: Lecturas de los dos tasómetros (T1 y T2) tras el paso de la tuneladora S431. ______60 TABLA 4.1.1.c.: Lecturas de los tres puntos superficiales (P1, P2 y P3) tras el paso de la tuneladora S430 TABLA 4.1.1.d.: Lecturas de los cuatro puntos superficiales (P1, P2, P3 y P4) tras el paso de la tuneladora S430 y S431.____ TABLA 4.1.1.e.: Lecturas de los tres puntos superficiales (P1, P2 y P3) tras el paso de la tuneladora S430 TABLA 4.1.1.f.: Lecturas de los dos puntos superficiales disponibles (P2 y P3) tras el paso de la tuneladora S430 y S431._____ TABLA 4.1.1.g.: Lecturas de los cuatro puntos superficiales (P1, P2, P3 y P4) tras el paso de la tuneladora S430 y S431._____ TABLA 4.1.1.h.: Lecturas de los dos tasómetros (T1 y T2) tras el paso de la tuneladora S430 y S431. _ 73 TABLA 4.1.1.i.: Lecturas de los cuatro puntos superficiales (P1, P2, P3 y P4) tras el paso de la tuneladora S430 y S431.____ TABLA 4.1.1.j.: Lecturas de los dos tasómetros (T1 y T2) tras el paso de la tuneladora S430 y S431.___ 77 TABLA 4.1.1.k.: Lecturas de los cuatro puntos superficiales (P1, P2, P3 y P4) tras el paso de la tuneladora S430 y S431.___ TABLA 4.1.1.1.: Lecturas de los cuatro puntos superficiales (P1, P2, P3 y P4) tras el paso de la tuneladora S430 y S431. TABLA 4.1.1.m.: Lecturas de los dos puntos superficiales (P5 y P6) y dos tasómetros (T1 y T2) tras el paso de la tuneladora S430 y S431._____ TABLA 4.1.1.n.: Lecturas de los puntos superficiales (P2, P3 y P4) tras el paso de la tuneladora S430 y _ 88



TABLA 4.1.1.ñ.: Lecturas de los tasómetros (T2 y T4) tras el paso de la tuneladora S430 y S431._____ 91 TABLA 4.1.1.o.: Lecturas de los puntos superficiales (P1, P2, P3 y P4) tras el paso de la tuneladora S430 TABLA 4.1.1.p.: Lecturas de los puntos superficiales (P2, P3 y P4) tras el paso de la tuneladora S430 y TABLA 4.1.1.q.: Lecturas de los puntos superficiales (P1, P2, P3, P4 y P5) tras el paso de la tuneladora S430 y S431. TABLA 4.1.1.r.: Lecturas de los tasómetros (T2 y T4) tras el paso de la tuneladora S430 y S431. _____ 102 TABLA 4.1.1.s.: Lecturas de los puntos superficiales (P2, P3 y P4) tras el paso de la tuneladora S431.105 TABLA 4.1.1.t.: Lecturas de los puntos superficiales (P1, P2, P3, P4 y P5) tras el paso de la tuneladora S431 y S430. _ 107 TABLA 4.1.1.u.: Lecturas de los tasómetros (T2 y T4) tras el paso de la tuneladora S431 y S430.__ 109 TABLA 4.1.1.v.: Lecturas de los puntos superficiales (P2, P3 y P4) tras el paso de la tuneladora S431 y TABLA 4.1.1.w.: Lecturas de los puntos superficiales (P1,P2, P3 y P4) tras el paso de la tuneladora S431 115 TABLA 4.1.1.x.: Lecturas del tasómetro (T1) tras el paso de la tuneladora S431 y S430. TABLA 4.1.2.a.: Lecturas de los pernos de asentamiento (P1, P2, P3 y P4) tras el paso de la tuneladora TABLA 4.1.2.b.: Lecturas de los pernos de asentamiento (P1, P2, P3, P4, P5 y P6) tras el paso de la tuneladora S431 v S430.___ TABLA 4.1.2.c.: Lecturas de los pernos de asentamiento (P7, P8, P9, P10, P11 y P12) tras el paso de la tuneladora S431 v S430. TABLA 4.1.2.d.: Lecturas de los pernos de asentamiento (P13, P14, P15, P16, P17 y P18) tras el paso de la tuneladora S431 v S430. TABLA 4.1.2.e.: Lecturas de los pernos de asentamiento (P19, P20, P21, P22, P23 y P24) tras el paso de la tuneladora S431 y S430.__ TABLA 4.1.2.f.: Lecturas de los pernos de asentamiento (P1, P2, P3, P4 y P5) tras el paso de la tuneladora S431 y S430.__ TABLA 4.1.2.g.: Lecturas de los pernos de asentamiento (P6, P7, P8, P9 y P10) tras el paso de la tuneladora S431 y S430.__ _134 TABLA 4.2.a.: Lecturas de los piezómetros (PZ6, PZ7, PZ9 Y PZ10) tras el paso de la tuneladora S431 y 137 TABLA 4.3.a.: Lecturas de convergencias en el anillo 66 (S430) del tramo UNEFA - Bello Campo. Proyecto Línea 5.____ 140 TABLA 4.3.b.: Lecturas de convergencias en el anillo 174 (S430) del tramo UNEFA - Bello Campo. Provecto Línea 5. 142 TABLA 4.3.c.: Lecturas de convergencias en el anillo 274 (S430) del tramo UNEFA - Bello Campo. TABLA 4.3.d.: Lecturas de convergencias en el anillo 595 (S430) del tramo UNEFA - Bello Campo. 146 TABLA 4.3.e.: Lecturas de convergencias en el anillo 65 (S431) del tramo UNEFA - Bello Campo. Provecto Línea 5. TABLA 4.3.f.: Lecturas de convergencias en el anillo 178 (S431) del tramo UNEFA - Bello Campo. Proyecto Línea 5. 150



TABLA 4.3.g.: Lecturas de convergencias en el anillo 278 (S431) del tramo UNEFA - Bello Campo. Proyecto Línea 5. _____ TABLA 4.3.h.: Lecturas de convergencias en el anillo 603 (S431) del tramo UNEFA - Bello Campo. Proyecto Línea 5. _____ 154 TABLA 5.1.: Paso de las tuneladoras por las distintas secciones instrumentales.______156 TABLA 5.1.1.a.: Niveles de referencia de asentamientos en Túneles Gemelos. Nivel I.________158 TABLA 5.1.1.b.: Niveles de referencia de asentamientos en Túneles Gemelos. Nivel II. 159 TABLA 5.1.1.c.: Medidas a ser adoptadas luego de que se alcancen los niveles de advertencia.______160 TABLA 5.1.2.a.: Niveles de referencia para edificaciones afectadas por la Línea 5 del Metro de Caracas. Medidas a ser adoptadas. TABLA 5.3.a.: Niveles de referencia para convergencia en los túneles TBM del tramo UNEFA - Bello Campo del Metro de Caracas. ____ 164 TABLA 5.4.a.: Comparación niveles freáticos medidos con aquellos indicados en los parámetros de las TABLA 5.4.b.: Aumento de presión recomendada por cada metro que aumenta el nivel freático, para la cámara de excavación e inyecciones de mortero._______167 **INDICE DE GRAFICAS** GRAFICA 4.1.1.a.: Asentamientos (mm) contra tiempo (días) en base a las lecturas de los puntos superficiales, tras el paso de la tuneladora S431. GRAFICA 4.1.1.b.: Asentamientos (mm) contra tiempo (días) en base a las lecturas de los tasómetros, tras el paso de la tuneladora S431. GRAFICA 4.1.1.c.: Asentamientos (mm) contra tiempo (días) en base a las lecturas de los puntos superficiales, tras el paso de la tuneladora S430 y S431. GRAFICA 4.1.1.d.: Asentamientos (mm) contra tiempo (días) en base a las lecturas de los puntos superficiales, tras el paso de la tuneladora S430 y S431. GRAFICA 4.1.1.e.: Asentamientos (mm) contra tiempo (días) en base a las lecturas de los puntos superficiales, tras el paso de la tuneladora S430 y S431. 68 GRAFICA 4.1.1.f.: Asentamientos (mm) contra tiempo (días) en base a las lecturas de los puntos superficiales, tras el paso de la tuneladora S430 y S431. GRAFICA 4.1.1.g.: Asentamientos (mm) contra tiempo (días) en base a las lecturas de los puntos superficiales, tras el paso de la tuneladora S430 y S431. GRAFICA 4.1.1.h.: Asentamientos (mm) contra tiempo (días) en base a las lecturas de los tasómetros, tras el paso de la tuneladora S430 y S431. GRAFICA 4.1.1.i.: Asentamientos (mm) contra tiempo (días) en base a las lecturas de los puntos superficiales, tras el paso de la tuneladora S430 v S431. GRAFICA 4.1.1.j.: Asentamientos (mm) contra tiempo (días) en base a las lecturas de los tasómetros, tras el paso de la tuneladora S430 y S431. GRAFICA 4.1.1.k.: Asentamientos (mm) contra tiempo (días) en base a las lecturas de los puntos superficiales, tras el paso de la tuneladora S430 y S431. __ 81 GRAFICA 4.1.1.1.: Asentamientos (mm) contra tiempo (días) en base a las lecturas de los puntos superficiales, tras el paso de la tuneladora S430 y S431._______84



GRAFICA 4.1.1.m.: Asentamientos (mm) contra tiempo (días) en base a las lecturas de los puntos superficiales y tasómetros, tras el paso de la tuneladora S430 y S431.__ 86 GRAFICA 4.1.1.n.: Asentamientos (mm) contra tiempo (días) en base a las lecturas de los puntos superficiales y tasómetros, tras el paso de la tuneladora S430 y S431._____ 89 GRAFICA 4.1.1.ñ.: Asentamientos (mm) contra tiempo (días) en base a las lecturas de los puntos 92 superficiales y tasómetros, tras el paso de la tuneladora S430 y S431. GRAFICA 4.1.1.o.: Asentamientos (mm) contra tiempo (días) en base a las lecturas de los puntos superficiales y tasómetros, tras el paso de la tuneladora S430 y S431.___ 95 GRAFICA 4.1.1.p.: Asentamientos (mm) contra tiempo (días) en base a las lecturas de los puntos superficiales y tasómetros, tras el paso de la tuneladora S430 y S431. 98 GRAFICA 4.1.1.q.: Asentamientos (mm) contra tiempo (días) en base a las lecturas de los puntos superficiales y tasómetros, tras el paso de la tuneladora S430 y S431. 101 GRAFICA 4.1.1.r.: Asentamientos (mm) contra tiempo (días) en base a las lecturas de los puntos superficiales y tasómetros, tras el paso de la tuneladora S430 y S431. 103 GRAFICA 4.1.1.s.: Asentamientos (mm) contra tiempo (días) en base a las lecturas de los puntos superficiales y tasómetros, tras el paso de la tuneladora S431. 105 GRAFICA 4.1.1.t.: Asentamientos (mm) contra tiempo (días) en base a las lecturas de los puntos superficiales y tasómetros, tras el paso de la tuneladora S431 y S430._ 108 GRAFICA 4.1.1.u.: Asentamientos (mm) contra tiempo (días) en base a las lecturas de los puntos superficiales y tasómetros, tras el paso de la tuneladora S431 y S430.___ 110 GRAFICA 4.1.1.v.: Asentamientos (mm) contra tiempo (días) en base a las lecturas de los puntos superficiales y tasómetros, tras el paso de la tuneladora S431 y S430. 113 GRAFICA 4.1.1.w.: Asentamientos (mm) contra tiempo (días) en base a las lecturas de los puntos superficiales y tasómetros, tras el paso de la tuneladora S431 y S430.____ 116 GRAFICA 4.1.1.x.: Asentamientos (mm) contra tiempo (días) en base a las lecturas de los puntos superficiales y tasómetros, tras el paso de la tuneladora S431 y S430. 118 GRAFICA 4.1.2.a.: Asentamientos (mm) contra tiempo (días) en base a las lecturas de los pernos de nivelación, tras el paso de la tuneladora S431 y S430. GRAFICA 4.1.2.b.: Asentamientos (mm) contra tiempo (días) en base a las lecturas de los pernos de nivelación, tras el paso de la tuneladora S431 v S430. _ 124 GRAFICA 4.1.2.c.: Asentamientos (mm) contra tiempo (días) en base a las lecturas de los pernos de nivelación, tras el paso de la tuneladora S431 y S430._ GRAFICA 4.1.2.d.: Asentamientos (mm) contra tiempo (días) en base a las lecturas de los pernos de nivelación, tras el paso de la tuneladora S431 y S430.__ _ 128 GRAFICA 4.1.2.e.: Asentamientos (mm) contra tiempo (días) en base a las lecturas de los pernos de nivelación, tras el paso de la tuneladora S431 y S430.__ GRAFICA 4.1.2.f.: Asentamientos (mm) contra tiempo (días) en base a las lecturas de los pernos de nivelación, tras el paso de la tuneladora S431 y S430.___ __ 133 GRAFICA 4.1.2.g.: Asentamientos (mm) contra tiempo (días) en base a las lecturas de los pernos de nivelación, tras el paso de la tuneladora S431 y S430.___ GRAFICA 4.2.a.: Variación de los niveles freáticos tras el paso de las tuneladoras S430 y S431. _____ 138 GRAFICA 4.3.a: Convergencias (mm) contra tiempo (días) en base a las lecturas. ______141 GRAFICA 4.3.b: Convergencias (mm) contra tiempo (días) en base a las lecturas. _______143 GRAFICA 4.3.c: Convergencias (mm) contra tiempo (días) en base a las lecturas. ______145 GRAFICA 4.3.d: Convergencias (mm) contra tiempo (días) en base a las lecturas. ______147



RESUMEN

El presente Trabajo Especial de Grado se basa en la caracterización del seguimiento instrumental geotécnico aplicado en el tramo Chuao - Bello Campo del proyecto Línea 5 del Metro de Caracas, durante la excavación de los Túneles Gemelos mediante el uso de máquinas perforadoras de túneles con escudo de presión de tierra balanceada (*TBM-EPBs, Tunnel Boring Machine - Earth Pressure Balance Shields*). Las tuneladoras con frente balanceado ejecutan un método seguro y moderno de perforación, manteniendo estables los frentes de excavación de los túneles.

En primer lugar, se expone la importancia de la implementación de un proceso instrumental en obras de gran magnitud, como lo es la del Proyecto Línea 5. Seguidamente se procede a realizar un análisis descriptivo de los métodos constructivos aprobados actualmente por la C.A. Metro de Caracas para la construcción de los túneles que conforman todo este gran proyecto, los cuales son básicamente el método minero y el método *TBM-EPBs*.

El método minero se utiliza principalmente para la construcción de los cuerpos de estación pero además es adoptado en la actualidad para la construcción fosos de acceso y de ventilación, y estaciones cambiavías. En cuanto a la excavación con las máquinas *TBM-EPBs*, utilizada para la construcción de los túneles gemelos, se explica con detalle todo el proceso que estas realizan desde que comienzan a perforar en el macizo hasta que se deja ver el túnel terminado y estable tras su paso. Se describen las limitaciones de las máquinas, su funcionamiento y comportamiento durante las excavaciones.

Se hace una descripción de los fundamentos teóricos que acompañan la excavación de túneles mediante la utilización de estos métodos, como lo son las pérdidas de material durante la excavación, los asentamientos superficiales y las presiones sobre el revestimiento. Además se hace énfasis en la importancia de factores como la caracterización de la geología del alineamiento en este tipo de procesos constructivos, no solo para predecir los cambios que se pudieran generar en el macizo sino para la selección del tipo de máquina perforadora a implementar.

Seguidamente se describe la metodología implementada en el proceso de instrumentación geotécnica para mitigar riesgos tanto en el proyecto en ejecución como en obras preexistentes que puedan ser afectadas. Dentro de este proceso se destaca la implementación de puntos superficiales para la observación de asentamientos superficiales, tasómetros para asentamientos a mayores profundidades y pernos de nivelación en edificaciones, todos estos anteriores leídos con el nivel de precisión y placa plano paralela. Adicionalmente, se controlan los niveles freáticos con piezómetros y convergencias con la cinta extensométrica.



INTRODUCCION

El presente Trabajo Especial de Grado fue realizado bajo la supervisión y autorización de la C.A. Metro de Caracas. Se pretende caracterizar la instrumentación geotécnica utilizada para mitigar riesgos durante la construcción de los túneles gemelos del tramo UNEFA - Bello Campo de la Fase I del Proyecto Línea 5 (*PL5*), con máquinas perforadoras de túneles con escudo de presión de tierra balanceada (*TBM-EPBs*, "Tunnel Boring Machine - Earth Pressure Balance Shields"). La Fase I del *PL5* va desde la estación Zona Rental hasta Miranda II.

La instrumentación geotécnica es el proceso más utilizado para evaluar el comportamiento del macizo durante la construcción de túneles. Tal proceso contempla un monitoreo de campo, que tiene como finalidad principal el registro de cambios en las variables de interés lo cual es de suma importancia para descubrir situaciones irregulares en el avance de la obra que pudieran afectar su seguridad.

La motivación fundamental para la realización del presente trabajo es señalar la importancia de contar con un plan de instrumentación en proyectos de esta magnitud, impacto social e importancia nacional, teniendo en cuenta que durante la excavación de túneles en áreas urbanas existe el riesgo de generar afectaciones a las edificaciones preexistentes y causar una potencial situación de emergencia.

Los daños en la superficie afectan las edificaciones, y vías de comunicación (calles, avenidas y autopistas); en el subsuelo afecta los servicios públicos y dentro del túnel se pueden generar colapsos e inundaciones que no solo ocasionarían pérdidas materiales sino que además, pondría en riesgo la vida de los trabajadores.

Todo riesgo de esta naturaleza se puede mitigar mediante el control de los asentamientos o levantamientos que sufre el terreno durante el paso de la *TBM-EPBs* y de las deformaciones que sufre el revestimiento de los túneles, originadas por las presiones que son ejercidas sobre él. Dichos controles se pueden realizar con procesos constantes de monitoreo de campo y la implementación de planes de seguridad preestablecidos para las distintas situaciones que pudiesen presentarse.

El monitoreo de los asentamientos se logra con las mediciones de puntos superficiales, tasómetros y pernos de nivelación con el uso del nivel de precisión con placa plano paralela. Las deformaciones del revestimiento son controladas mediante las mediciones de convergencia realizadas con la cinta extensométrica. En esta actividad es importante que las personas encargadas del proceso instrumental estén en pleno conocimiento de los valores límites aceptables que garanticen la integridad de la obra, y así alertar a los entes competentes, que a su vez tomarán medidas al momento que se obtengan mediciones anómalas.



Dentro de los métodos constructivos utilizados en la Fase I del Proyecto Línea 5, adicional al utilizado para la construcción de los túnele escudos, se cuenta con el Método minero que actualmente se utiliza solo para la excavación de los fosos de acceso y ventilación, y los cuerpos de las estaciones del alineamiento. De tal manera, otra motivación relevante del trabajo es la importancia del análisis de ambos métodos constructivos para entender las diferencias existentes a la hora de su empleo en los proyectos actuales del Metro de Caracas.

El factor principal que influyó en la realización del presente Trabajo Especial de Grado es lo novedoso del tema en cuanto a Tesis de Grado en la Universidad Católica Andrés Bello, que no sólo tiene aplicación ventajosa en la ejecución de obras subterráneas sino también en la construcción de puentes, fundaciones, entre otros.

El presente trabajo de grado se organiza de la siguiente manera:

- **1. EL PROBLEMA:** se describe el planteamiento del problema, su justificación, los objetivos generales y específicos, el alcance y las limitaciones, y los antecedentes de trabajos de esta misma categoría.
- **2. MARCO TEORICO:** se describe la instrumentación geotécnica, su implementación y ventajas. Se detallan los métodos constructivos empleados en las obras de la C.A. Metro de Caracas, haciendo énfasis en la construcción de los túneles gemelos con las tuneladoras *TBM-EPBs*. Adicionalmente se documentan los fundamentos teóricos que inciden en la excavación de túneles de este tipo.
- **3. MARCO METODOLOGICO:** se especifican los instrumentos utilizados, la instalación de los mismos, la toma de mediciones, frecuencia de lecturas y todo lo que comprende el proceso integral de instrumentación en el tramo de túneles en estudio.
- **4. RESULTADOS:** se reportan todas las mediciones realizadas en el tramo de túneles gemelos de Chuao a Bello Campo, referentes a puntos superficiales, tasómetros, pernos de nivelación en edificaciones, niveles freáticos y convergencias.
- **5. DISCUSION DE RESULTADOS:** a raíz de los resultados obtenidos se procede al análisis e interpretación de los mismos, haciendo énfasis particular en su comparación con los niveles de referencia correspondientes, según las memorias de cálculo proporcionadas por la contratista "Construtora Norberto Odebrecht S.A." (CNO) a la C.A. Metro de Caracas. Se explican y justifican las medidas tomadas a partir de los valores anómalos obtenidos. Se emiten juicios de ventaja y desventajas del proceso constructivo en cuestión.
- **6. CONCLUSIONES:** se plasman las conclusiones alcanzadas en el trabajo a partir de los resultados y la discusión realizada.



CAPITULO 1. EL PROBLEMA.

1.1. Planteamiento del problema.

Durante la ejecución de cualquier obra subterránea, y en particular cuando se ven involucradas zonas urbanas densamente pobladas, existe el riesgo de afectar las edificaciones y servicios existentes en el área de trabajo. Dichas afectaciones están relacionadas con el proceso de excavación del túnel que altera el estado natural de las partículas del suelo o roca provocando deformaciones debido al natural reacomodo de las mismas. Los daños pueden ser desde estéticos, como grietas superficiales, hasta daños funcionales que pueden causar el colapso, tanto de estructuras preexistentes como de los túneles en construcción. En todos los casos se pone en riesgo la integridad de los ciudadanos comunes y de los trabajadores de la obra.

El alineamiento de la Fase I de la Línea 5 atraviesa zonas densamente pobladas en la ciudad de Caracas (Ver **ANEXO-1** y **FIGURA 1.1.**). Dado todo este riesgo anteriormente expuesto, existe la opción de implementar programas de instrumentación geotécnica, que ayuden a detectar con antelación las condiciones anómalas que pudiesen ocasionar los problemas señalados anteriormente.



FIGURA 1.1.: Alineamiento Fase I Proyecto Línea 5 C.A. Metro de Caracas.

Fuente: (Odebrecht, Presentación tuneladoras Línea 5)



1.2 Justificación del problema.

La instrumentación geotécnica permite registrar cambios en las variables relacionadas con los movimientos que se producen en el macizo durante la construcción de los túneles. Dichas variables se empiezan a registrar antes de que se inicie el proceso de excavación y se continúan reportando aún después de la finalización de la obra, estando estos plazos a consideración de los especialistas.

Los valores admisibles para las deformaciones en el macizo están reportados en memorias de cálculo, que a su vez fueron calculadas en base al tipo de suelo donde se realizarían las excavaciones. Cuando un parámetro supera los valores límites se procede a ejecutar medidas preventivas para evitar daños importantes. Estos daños se traducen en pérdidas materiales de alto costo monetario, e inclusive en situaciones críticas que se podrían traducir en pérdidas humanas. Este proceso de monitoreo es muy costoso, ya que implica gastos en equipos, mantenimiento, calibración, operación, entre otros; pero se justifica, sin duda alguna en obras de gran magnitud e impacto social como es la del Proyecto Línea 5 (*PL5*) del Metro de Caracas. La ejecución de dicho proyecto está siendo desarrollado sobre rigurosas bases de confiabilidad, a fin de hacerlo sustentable con la menor participación subsidiaria del Estado, logrando una inversión para el bienestar de la sociedad.

1.3. Alcance y limitaciones.

Los alcances de la investigación son los siguientes:

- Se pretende el estudio y la caracterización de la instrumentación geotécnica aplicada en el tramo UNEFA Bello Campo del *PL5* Fase I de la C.A. Metro de Caracas, actualmente en construcción.
- Se documentarán y analizarán casos específicos de detección de valores no admisibles de movimiento de masas de suelo durante la construcción de los túneles gemelos, en el tramo seleccionado.
- Se recopilará la información correspondiente a mediciones de tasómetros, puntos superficiales, pernos de nivelación en edificaciones, convergencias y niveles freáticos en el tramo Chuao Bello Campo, comprendido entre las progresivas 23+490 23+990 de la Fase I del Proyecto Línea 5 (Ver ANEXO-1 y ANEXO-2).
- A raíz de las lecturas obtenidas, se realizará un análisis comparativo con los valores aceptables según las memorias de cálculo suministradas por la "Construtora Norberto Odebrecht S.A." (CNO) y aprobadas por la C.A. Metro de Caracas.
- Se estudiarán las medidas a ser empleadas en caso de lecturas anómalas transmitidas por el proceso de instrumentación.



Dentro de las limitaciones se tiene lo siguiente:

- No se estudiará la instrumentación aplicada en el resto de los tramos que conforman el proyecto Línea 5 del Metro de Caracas en actual ejecución, debido al factor tiempo.
- No se caracterizará la instrumentación aplicada en la construcción de las estaciones, fosos de acceso y de ventilación, que se realizan con el método minero debido a factores de complejidad y tiempo.
- Las mediciones que se analizarán referente a puntos superficiales, tasómetros, pernos de nivelación, convergencias y niveles freáticos estarán limitadas al tramo Chuao -Bello Campo.
- No se realizará un estudio estructural profundo de los daños ocasionados a las edificaciones durante la construcción de los túneles gemelos.

1.4. Objetivo general.

Caracterización de la Instrumentación Geotécnica utilizada para mitigar riesgos en obras existentes, tras el avance de los túneles escudo del tramo Foso UNEFA - Estación Bello Campo del Proyecto Línea 5 Metro de Caracas.

1.5. Objetivos específicos.

- Describir los métodos de construcción de túneles gemelos con la ayuda de Máquinas Tuneladoras con escudo de frente balanceado (*TBM-EPBs*) y de los túneles mineros (*NATM*).
- Registrar e interpretar lecturas de instrumentación superficial y en edificaciones.
- Registrar e interpretar lecturas de convergencias en túneles tipo escudo.
- Estudiar los incidentes detectados por la instrumentación geotécnica a lo largo de la construcción de los túneles gemelos del Proyecto Línea 5 del Metro de Caracas.
- Realizar un análisis comparativo de los resultados arrojados por la instrumentación geotécnica utilizada en la construcción de túneles gemelos (*TBM*) y de los túneles mineros (*NATM*).
- Comparar los valores obtenidos mediante la instrumentación con los parámetros de referencia establecidos en las memorias de cálculo del Proyecto Línea 5 del Metro de Caracas para la toma de decisiones durante la construcción de la obra ante cambios significativos en los resultados.

1.6. Antecedentes.

Los trabajos e investigaciones realizados anteriormente referentes a la instrumentación geotécnica aplicada en las obras del Metro de Caracas, que sirvieron de referencia para la ejecución del presente trabajo especial de grado son los siguientes:

Tulio G., Chacón C. (1986). "Instrumentación Geotécnica en Túneles Gemelos".
 Trabajo Especial de Grado presentado ante la Escuela de Ingeniería Civil de la



Universidad Metropolitana, Caracas, Venezuela en cumplimiento parcial de los requisitos exigidos para optar al título de Ingeniero Civil. Tutor: Ing. Centeno Werner, Roberto. El trabajo de grado presenta toda una metodología para el seguimiento del proceso de excavación de Túneles Gemelos con máquinas perforadoras tipo *TBM* de frente abierto en áreas urbanas, dentro del tramo Chacaito-Dos Caminos de la Línea Propatria - Palo Verde del Metro de Caracas.

- Centeno P., Francisco; Pulido S., Salvador; y Brescia G. Daniel. (2004). "Seguimiento Instrumental Geotécnico de la construcción de los Túneles Gemelos (TBM-EPBs), Túneles Mineros (NATM) y 4 estaciones de la Línea 4 del Metro de Caracas (Tramos Plaza Venezuela Plaza Italia Capuchinos)". XVIII Seminario Venezolano de Geotecnia, Noviembre 2004, Caracas, Venezuela. El artículo expone las experiencias recolectadas del monitoreo Instrumental Geotécnico realizado durante la excavación de los túneles gemelos con máquinas tipo TBM-EPBs y de los túneles mineros mediante el Método NATM, del tramo del Metro de Caracas que va desde Plaza Venezuela a Capuchinos y adicionalmente de las estaciones Teatros, Nuevo Circo, Parque Central y Zona Rental.
- Brescia, Daniel y Pereira, Eduardo. (2002). "Instrumentación para el control del Avance del Túnel Minero ubicado en el Tramo Plaza Italia-Capuchinos de la Línea 4 del Metro de Caracas". Trabajo Especial de Grado para optar al título de Ingeniero Civil, Universidad Católica Andrés Bello, Caracas, Venezuela. Tutor: Ing. Centeno P., Francisco. El trabajo de grado se basa en la Instrumentación Geotécnica para el control de deformaciones durante las fases constructivas de los túneles mineros de la Línea 4 del Metro de Caracas.



CAPITULO 2. MARCO TEORICO.

2.1. Instrumentación geotécnica.

Según confirman Dunnicliff (1993), Brescia y Pereira (2002), y Centeno et al (2004), existen dos tipos de mediciones instrumentales. La primera es aquella que se utiliza para la determinación en sitio de las propiedades del suelo o roca. La segunda, que interesa al presente trabajo de grado, comprende el monitoreo del rendimiento de una obra durante su construcción u operación.

El proceso de realizar una instrumentación geotécnica consiste en un monitoreo de campo donde se colocan elementos de medición, destinados a registrar variables que son afectadas por cambios en las condiciones reales del sitio de trabajo. Dichos cambios pueden generar daños en las estructuras existentes y futuras; por ello las variables se someten a posterior comparación con parámetros aceptables preestablecidos, y así con todo esto garantizar el avance seguro de la obra.

La utilización de la instrumentación geotécnica comprende una serie de procesos ingenieriles que abarcan desde la definición de los objetivos hasta la interpretación de la información recopilada. Más allá de la selección del instrumento adecuado, el éxito del programa de monitoreo depende de la correcta ejecución de cada proceso y manejo de los instrumentos por parte del personal encargado. Debe existir una fusión entre las cualidades de medición del instrumento y las capacidades de manipulación de los mismo. El personal encargado debe ser paciente, perseverante, tener experiencia en los fundamentos de ingeniería geotécnica y mecánica, habilidades en el ámbito eléctrico.

En el caso de las excavaciones subterráneas (Metro), la instrumentación juega un papel fundamental porque tiene como finalidad controlar las deformaciones y esfuerzos que se van produciendo durante la construcción de los túneles. Esto permite observar el grado de afectación que tiene este tipo de obra sobre el entorno existente y comprobar las hipótesis de cálculo establecidas durante la fase de diseño.

2.1.1. Beneficios y justificación.

Según lo indican Brescia y Pereira (2002), la instrumentación de campo es muy costosa, porque requiere una gran inversión en la adquisición de equipos, instalación, medición, mantenimiento, reparación, calibración, sustitución, almacenamiento, análisis e interpretación de la información. Por tanto, la justificación económica de un plan de monitoreo de campo se considera en aquellos casos en donde su presencia involucre un ahorro mayor contra los posibles gastos de remediación (pérdidas humanas y materiales) que puedan originarse.



Pero una instrumentación no sólo se justifica en cuanto al ahorro de costos en una obra, sino también para evaluar el correcto diseño de la misma, que corresponde a la fase previa de la ejecución.

Por ello, es importante resaltar los beneficios de la instrumentación geotécnica en todo el proceso de construcción de una obra, por eso a continuación se describen los mismos en sus tres fases: antes, durante y después de la construcción.

2.1.1.1. Beneficios antes de la construcción de la obra.

Antes de la ejecución de una obra, la instrumentación es de gran utilidad para definir las condiciones iniciales de la misma y así proceder al diseño con la información disponible. Las condiciones de esfuerzo y deformaciones in situ (medidas con instrumentos) permiten un diseño racional de los túneles y ayudan a predecir movimientos en las excavaciones.

Adicionalmente, se puede agregar el análisis de encuestas antes de ejecutar la obra sobre las condiciones iniciales de las estructuras y elevación del terreno que pudieran verse afectadas.

2.1.1.2. Beneficios durante la construcción de la obra.

La instrumentación durante la construcción de una obra se utiliza fundamentalmente para garantizar:

- La seguridad de la obra, que es lo esencial en todo proyecto. Permite el seguimiento de las variables consideradas y alerta cuando los limites son superados, en posible presencia de daños en la construcción. De esta forma se evitan colapsos estructurales que son los causantes de catástrofes.
- Control de los procesos constructivos que en su mayoría son afectados por las incertidumbres, errores de diseño o sobre diseños. La instrumentación con ayuda del método observacional puede ayudar a reconocer un diseño inadecuado, lo que puede resultar en disminución de la seguridad de la obra y aumento de costo respectivamente.
- Complementa y mejora observaciones visuales de las condiciones de campo y sus variaciones.
- Provee protección legal, donde se crea un enlace entre la construcción y las condiciones iniciales de las edificaciones y propiedades. Es muy importante en las obras subterráneas realizar una inspección previa de las edificaciones aledañas para evitar que se le culpe al constructor por daños ajenos.
- Mejora las relaciones públicas en situaciones donde la comunidad o factores políticos - sociales pueden ocasionar el retraso de la obra. En estos casos es apropiado realizar una extensa instrumentación, más compleja de lo que se necesite técnicamente. Todo esto para garantizar públicamente la seguridad y minimizar las adversidades. Este hecho ocasiona un incremento de los costos de instrumentación,



pero garantiza un ahorro mayor en cuanto a efectos de inflación causado por los retrasos de la obra.

 Colabora al avance tecnológico, ya que el comportamiento de las estructuras aporta aprendizajes. De esto nacen muchos avances y nuevas teorías en la ingeniería geotécnica. Siempre se busca incrementar los conocimientos en el tema instrumental.

2.1.1.3. Beneficios después de culminar la obra.

El uso de las observaciones visuales y de la instrumentación es la manera más rápida y eficiente de garantizar la seguridad de una estructura en el transcurso del tiempo. Se busca controlar la evolución de las tensiones y deformaciones como prevención ante posibles fallas o roturas. Los ingenieros tienen la obligación de construir estructuras seguras y evitar pérdidas humanas por fallas en la seguridad de la obra, todo esto se garantiza con el monitoreo constante de por vida.

Por ejemplo, dentro de los túneles del Metro de Caracas constantemente se están midiendo convergencias para prevenir alguna falla en el revestimiento dado por presiones de tierras que nacen luego de varios años. Lo mismo sucede con las presiones hidrostáticas, que se miden constantemente con piezómetros para evitar inundaciones.

2.1.1.4. Método Observacional de Peck (1969).

El autor Dunnicliff (1993), describe que el Método Observacional de Peck se utiliza para reducir los excesivos costos de construcción ocasionados por diseños conservadores.

La aplicación del método consiste en lo siguiente:

- a) Exploración suficiente para establecer al menos la naturaleza general, forma y propiedades de los depósitos, pero sin entrar necesariamente al detalle.
- b) Estimación de las condiciones probables y de las desviaciones más desfavorables que se pueden concebir de esas condiciones. En esta estimación la geología tiene un rol más importante.
- c) Establecimiento del diseño basado en hipótesis de trabajo del comportamiento anticipado bajo las condiciones de trabajo más probables.
- d) Selección de los aspectos que serán observados a medida que la construcción proceda y cálculos de sus valores anticipados sobre la base de las hipótesis de trabajo.
- e) Cálculo de los mismos aspectos bajo las condiciones más desfavorables compatibles con los datos disponibles sobre las condiciones del subsuelo.
- f) Selección anticipada de las acciones a tomar o de la modificación del diseño para las desviaciones predecibles de las observaciones realizadas en comparación a las pronosticadas sobre la base de las hipótesis de trabajo.



- g) Medición de los aspectos que serán observados y evaluación de las condiciones reales.
- h) Modificación del diseño para ajustarse a las condiciones reales.

2.1.2. Planificación y ejecución de programas de monitoreo de campo.

Dunnicliff (1993), y Chacón (1986) confirman que una instrumentación geotécnica es efectiva si se planifica adecuadamente. La tarea de una planificación de un programa de monitoreo debe ser un proceso ingenieril lógico y comprensivo, que debe establecer las pautas del proyecto, procedimiento de ejecución, y las medidas a tomar según las eventualidades que se presenten. Todo el personal encargado de la planificación del programa de monitoreo deber ser capaz de trabajar en equipo con el personal de proyecto.

Los paso a seguir para la planificación antes mencionada son los siguientes:

2.1.2.1. Definición de las condiciones del proyecto.

Incluye tipo de proyecto, plan de ejecución del mismo, propiedades de los materiales presentes, ubicación de los niveles freáticos, estado de otras edificaciones aledañas, condiciones ambientales y método constructivo. Es importante definir si el programa de instrumentación será realizado por la misma proyectista, porque en caso contrario la empresa encargada deberá familiarizarse a la perfección con las condiciones del proyecto.

4.1.2.2. Predicción de mecanismos que controlan el comportamiento.

Se refiere a las medidas o acciones que se pueden realizar para controlar el comportamiento de los factores que pueden alterar la correcta y segura ejecución de la obra.

2.1.2.3. Definir las preguntas geotécnicas que necesitan ser respondidas.

Según Peck (1969) "Cada instrumento instalado en un proyecto es seleccionado y colocado para responder una pregunta especifica". Si no existen preguntas, significa que el instrumento no tiene un propósito y por ello no se justifica un programa de monitoreo.

2.1.2.4. Definición del objetivo de la instrumentación.

Dunnicliff (1993), y Chacón (1986), confirman que una instrumentación no se justifica si no hay razones válidas que puedan defenderse para su implementación. En esta fase se acude a los beneficios de la instrumentación ya nombrados previamente y corresponde al primer paso más importante. Todas las acciones que se tomen encaminan al logro de los objetivos.



Es de inmenso valor la experiencia disponible sobre el proyecto, con el fin de evaluar y predecir cómo se comporta el terreno en cuestión.

Según Peck (1984) "Son muchos los usos legítimos de la instrumentación, y son vitales las preguntas que pueden responden los instrumentos y las observaciones, así que no deberíamos arriesgarnos a desacreditar sus resultados mediante su uso indebido e innecesario".

2.1.2.5. Predicción de cambios de magnitudes.

La predicciones en cambios de magnitudes son necesarias para la selección del rango y sensibilidad del instrumento. El rango corresponde a los valores comprendidos dentro de los limites (superior o inferior) y la sensibilidad está relacionada con la precisión o mejor dicho el margen de error.

La estimación de los valores máximos posibles influye en la selección del rango del instrumento. A su vez la estimación de los valores mínimos posibles influye en la selección de la sensibilidad del instrumento. Una sensibilidad alta tiene que ver con mediciones delicadas y circunstancias muy frágiles donde los cambios de las variables son muy pequeños pero determinantes.

Los valores numéricos que arrojan los instrumentos se refieren básicamente a rangos de cambios medidos, no a magnitudes absolutas (usualmente variaciones en milímetros).

2.1.2.6. Establecer niveles de advertencia y crear planes de remediación.

Con el proceso de instrumentación y el método observacional descrito previamente es posible la determinación de los niveles de advertencia, donde se especifican las acciones a tomar para cada caso de cambio de magnitud.

Existe un concepto de grado de advertencia, por ejemplo si se expresa con colores, el *verde* representa que todo está correcto, *amarillo* donde es necesario estar alerta, tomar medidas preventivas y aumentar el número de mediciones, por ultimo *rojo* indica el momento de tomar medidas de remediación. Para efecto de este estudio es importante determinar como nivel de advertencia el asentamiento diferencial aceptable para una fundación de una edificación.

Cada Nivel de Advertencia requiere un plan de actuación. Usualmente cada plan de actuación está asegurado con el trabajo y materiales necesarios para las respectivas reparaciones, considerando el mínimo retraso posible de la obra. Es posible que el personal encargado de la instrumentación de la obra tenga la autoridad según previo contrato de ejecutar las labores de reparación. En este caso es importante la comunicación entre la proyectista y el constructor para que los planes de reparación sean discutidos en cualquier momento.



4.1.2.7. Parámetros monitoreados y selección de los instrumentos.

Dunnicliff (1993), señala que es primordial identificar los parámetros más significantes. Variaciones en los parámetros son resultado de causas y efectos.

Lo principal en la selección de un instrumento es considerar la confiabilidad del mismo. Los tipos de instrumentos se pueden clasificar de acuerdo a la simplicidad y confiabilidad en orden decreciente de la siguiente manera: Ópticos, Mecánicos, Hidráulicos, Neumáticos y Eléctricos.

El costo económico de un instrumento nunca es una buena razón para ser seleccionado, ya que a largo plazo no suele resultar económicamente viable.

La confiabilidad de un instrumento depende en gran parte del grado de dependencia entre el instrumento y las características de la zona donde están instalados. Es importante establecer puntos fijos de medición que están sujetos a cualquier variable de la zona y que sus alteraciones no representen significativas para el proyecto (*Bench Mark*), así se puede establecer la confiabilidad del instrumento. Es recomendable medir bastantes puntos hasta obtener aquellos mas confiables.

Adicionalmente, los instrumentos deben tener buen record histórico y máxima durabilidad en los ambientes donde se requiere su instalación. Muchos de los instrumentos geotécnicos disponibles no son los suficientemente resistente y bien diseñados para ciertos ambientes. La selección de un instrumento no probado anteriormente requiere proceder con una parte experimental para garantizar el máximo respaldo.

La selección del instrumento se ve influenciada en los tiempos de despacho del mismo y el tiempo disponible para su instalación.

Factor fundamental en la selección es la buena conformidad, mínima interferencia en la construcción y mínima dificultad en el acceso para la instalación y toma de lecturas. Muchos instrumentos deben ser calibrados luego de que se hayan instalados, otros deben ser calibrados periódicamente antes de su utilizo. En la mayoría de los casos los instrumentos son influenciados por las condiciones y características de la zona donde se está ejecutando la obra. Para descubrir dicha influencia se deben realizar bastantes mediciones en varios puntos para obtener información confiable, ya que una simple medición puede que no sea suficiente para obtener las condiciones del sitio de trabajo.

Los factores del entorno que influyen en los instrumentos son los siguientes:

- Grandes deformaciones que generan cambio de forma.
- Altas presiones en sólidos y líquidos.
- Corrosión, química (agua del suelo, aditivos del concreto, bacterias) y electrolítica (electrólisis entre materiales diferentes).



- Temperaturas extremas.
- Golpes, mala manipulación durante el transporte.
- Vandalismo y destrucción a causa de equipos de construcción.
- Suciedad, polvo, barro, lluvia, precipitaciones químicas.
- Alta humedad o agua estancada.
- Fuentes de poder erradas (instrumentos eléctricos).
- Perdida de acceso a los instrumentos cuando son cubiertos por concreto, suelo, roca, entre otros.

Según Brescia y Pereira (2002), cada variable medible mediante el uso de la instrumentación geotécnica cuenta con su método específico de medición y éste a su vez cuenta con su instrumento propio. A continuación nombramos los instrumentos de medición más utilizados en la Ingeniería Civil para el control de afectaciones a edificaciones preexistentes y futuras en la realización de obras:

- Puntos de control topográfico para registrar movimientos superficiales.
- Inclinómetros para registrar movimientos horizontales a diferente profundidad.
- Extensómetros para registrar desplazamientos entre dos puntos.
- Celdas de carga para medir esfuerzos actuando sobre una superficie.
- Celdas de deformación para determinar las deformaciones en un sentido del suelo.
- Pozos de observación y diversas variedades de piezómetros para registrar niveles piezométricos subterráneos.
- Placas de rotación para registrar inclinaciones de estructuras.
- Acelerógrafos para registrar vibraciones y frecuencias del terreno o estructuras.
- Pluviómetros para registrar la cantidad de lluvia en un área.
- Contadores de vehículos para registrar el tráfico por una vía.
- Medidores de flujo.
- Termómetros.
- Barómetros.
- Fotografías, filmaciones.

2.1.2.8. Selección de la ubicación de los instrumentos.

Dunnicliff (1993) y Chacón (1986) señalan que el método de los elementos finitos es útil para localizar ubicaciones criticas donde es preferible la colocación de los instrumentos. La selección de la ubicación comprende lo siguiente:

- Zonas apropiadas son aquellas donde se presentan cambios importantes y debilidades estructurales, particularmente aquellas con bastantes cargas (edificaciones) y grandes presiones intersticiales del suelo.
- La selección se realiza por zonas, normalmente con secciones transversales.
- Es importante considerar las zonas con cambios geológicos proveniente de los estudios y cambios en los procedimientos constructivos.



- La escogencia de la ubicación, en el caso de los túneles gemelos depende del ritmo con el cual avanza el escudo y la presencia de servicios públicos que permitan la colocación del instrumento. Se busca evitar el daño de cualquier instalación.
- En las áreas críticas se pueden incrementar las mediciones sin excluir zonas donde los valores permanecerán constantes.
- Se consideran una sección primaria instrumentada y una secundaria. Usualmente existen por lo menos dos secciones primarias que proporcionan información del rendimiento. La sección secundaria sirve para indicar comportamientos comparativos y contempla instrumentos muy sencillos que pueden ser instalados también en las secciones primarias.
- Cuando se selecciona la ubicación es importante considerar la vida útil del instrumento, y seleccionar cantidades adicionales para reemplazar las unidades que resulten no operativas.
- La ubicación de los instrumentos usualmente debe estar mostrada en los planos de los contratos para evitar cambios de posicionamiento e información.

2.1.2.9. Planificación previa a la instalación.

Se deben registrar los factores que pueden influenciar las mediciones. Dunnicliff (1993) resalta que es importante recurrir a las observaciones visuales y registrar los detalles del progreso de la obra en una hoja de reporte en cuanto a posibles comportamientos no usuales que afecten las variables medibles por los equipos. Las observaciones visuales, para el presente caso también es importante para saber si el instrumento está funcionando correctamente.

En los túneles es posible realizar la observación visual en cambios de comportamiento del revestimiento, donde es posible reconocer deformaciones del terreno que influyen en el túnel.

Se deben establecer los procedimientos para la correcta lectura de las variables. Para lograr esto es importante la consistente examinación de los valores, repitiendo varias veces las mismas medidas. Vale la pena tomar varias mediciones del mismo punto entre lapsos cortos de tiempo para obtener una mejor comprobación.

Es importante preparar un presupuesto tentativo antes de la ejecución del programa e instalación de los equipos, para garantizar los fondos suficientes para todo el proceso y evitar recortes que puedan interrumpir el monitoreo.

2.1.2.10. Plan de instalación.

Luego de ser aprobado el presupuesto tentativo se procede a redactar las especificaciones de instrumentos y equipos, para conocer los factores y proceso de calibración.

Posteriormente, utilizando el manual suministrado por el fabricante y teniendo los conocimientos específicos de las condiciones geotécnicas, se procede a redactar el



procedimiento paso por paso de instalación, detallando los materiales y herramientas requeridos, y preparando una hoja de registro de factores que puedan influenciar las mediciones.

El plan de instalación debe ser programado junto al constructor para garantizar la protección de los instrumentos. Es importante realizar un cronograma de instalación consistente con el de la construcción.

La instalación debe realizarse según el avance de la obra para tener mediciones antes y después de su ejecución y así evaluar la influencia del proceso constructivo en el desarrollo de movimientos o asentamientos.

2.1.2.11. Planes posteriores a la instalación de los instrumentos y equipos.

Se procede a realizar un plan de calibración y mantenimiento regular de los instrumentos y un plan de recolección, proceso, presentación, interpretación, reporte, e implementación de la información. Esta planificación es importante para tener preparado un plan de acción en caso de ocurrir daños.

Seguidamente se realiza el contrato de monitoreo de campo con el contratista y se definen los servicios que deben cumplir, donde se incluye la instalación, calibración y mantenimiento regular, proceso, presentación, interpretación y reporte de las mediciones. En esta fase es importante la disposición del personal calificado y estimar los tiempos de instalación, medición y proceso de los datos, con el fin de tomar medidas preventivas de ocurrir retrasos y errores al acumularse la información.

Finalmente se prepara el presupuesto definitivo con todo el programa completo.



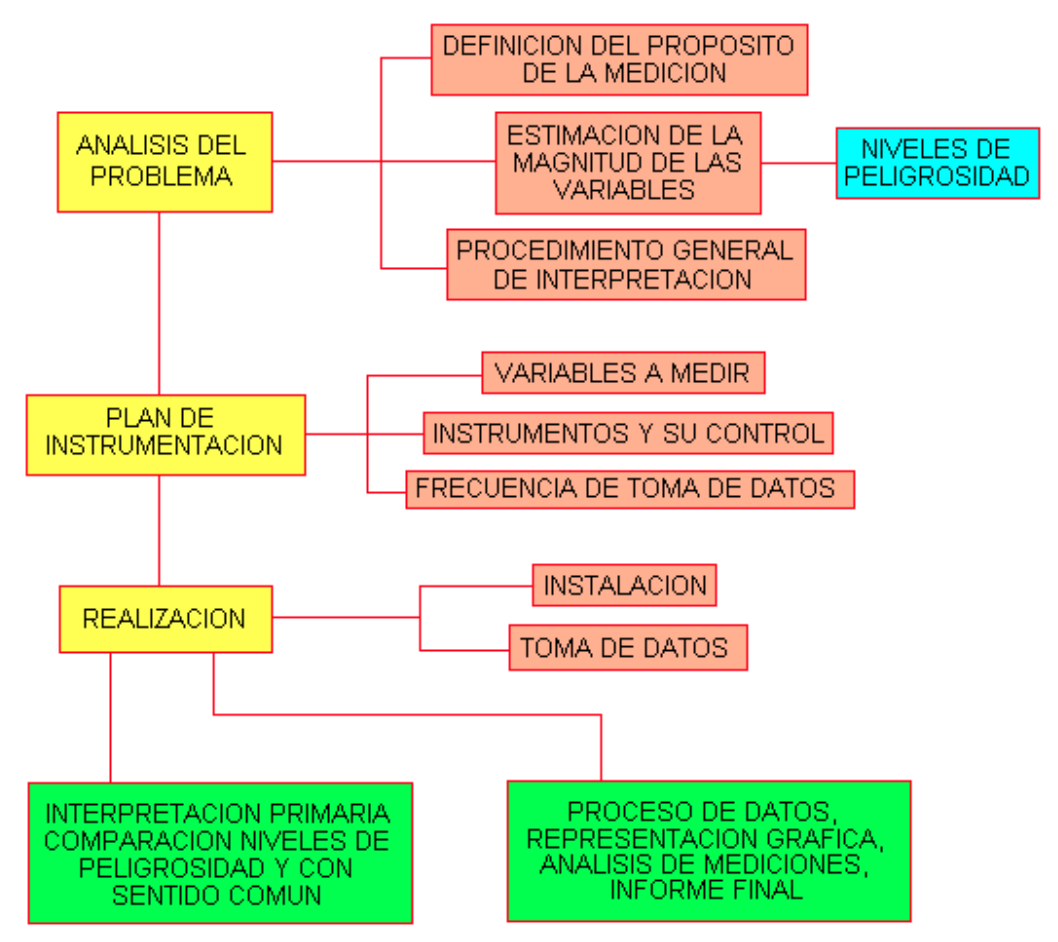


FIGURA 2.1.2.11.: Organigrama esquemático de actuaciones en una instrumentación.

Fuente: (Brescia & Pereira, 2002)

2.1.3. Reseña histórica de la instrumentación geotécnica.

Dunnicliff (1993) confirma que los primeros instrumentos aparecieron en los año mil novecientos treinta a cuarenta. Hasta los años noventa no tuvieron gran evolución, predominando simples instrumentos mecánicos e hidráulicos. Dichos instrumentos tuvieron sus beneficios para la prevención de daños y sus fallas, hasta que el avance tecnológico empezó a tener fuerte influencia en el mundo de la ingeniería. Se inventaron nuevos instrumentos mucho más complejos y seguros adoptando componentes eléctricos y neumáticos. Las fallas cometidas con estos últimos instrumentos innovadores al contrario de aquellos que fueron pioneros, se atribuyen a su inapropiada utilización por parte del personal encargado.

En efecto las imperfecciones en los programas de instrumentación de hoy en día son resultado de problemas por parte del operador y no por defecto de fábrica de los instrumentos.



Por ello es de fundamental importancia desarrollar un adecuado nivel de entendimiento del instrumento seleccionado para garantizar la calidad del trabajo.

La Instrumentación Geotécnica continua en avance y conforme pasa el tiempo habrá menos razones para su decrecimiento. En el mundo de la geotecnia y construcción siempre va a haber incertidumbre por ello la instrumentación siempre será una herramienta útil, ya que es el único mecanismo que puede verificar todo resultado teóricos en campo.

Ya en la actualidad existen equipos muy sofisticados, automatizados y computarizados que permiten el monitoreo constante inclusive a distancia, ya no es necesario estar presentes en campo de forma periódica. Este hecho posibilita el no tener que realizar observaciones visuales como también reducir el personal de operación de los equipos.

Otro factor importante en el avance de la instrumentación es el costo, que ha tendido a disminuir y ser accesible para los constructores.

Adicionalmente, dentro de las innovaciones se está implementando la instrumentación para la verificaciones en campo de nuevos métodos constructivos que están en pleno desarrollo.

2.2. Descripción de la Fase I del Proyecto Línea 5 del Metro de Caracas.

La Fase I del Proyecto Línea 5 de la C.A. Metro de Caracas comprende la construcción de una línea subterránea desde la estación Zona Rental hasta Miranda II (Ver ANEXO-1). La longitud aproximada de todo el trayecto es de 7.5 kilómetros y posee cinco estaciones, las cuales son: Bello Monte, Las Mercedes, Chuao, Bello Campo y Miranda II. Todas las estaciones poseen túneles de ventilación y salidas de emergencia.

La construcción de túneles implica ejecutar una estructura (túnel) en el interior de formaciones naturales de terreno. El éxito en la construcción de dicho túnel se debe a los métodos de trabajo que mantengan la estabilidad general del entorno afectado.

En la actualidad existen dos métodos de excavación de túneles, empleados por la C.A. Metro de Caracas. El primer método es el minero, que se utiliza principalmente para la construcción de los sistemas destinados a los cuerpos de las estaciones, los fosos de acceso, túneles de ventilación y salidas de emergencia. El segundo método consiste en un sistema de excavación con la utilización de máquinas perforadoras o tuneladoras, conocidas por las siglas en inglés *TBM* ("*Tunnel Boring Machine*"), que son aquellas que hacen la mayoría del trabajo del alineamiento, perforando todo el trayecto entre estaciones y dando origen a los túneles gemelos tipo escudo (dos túneles paralelos).



Las secciones de los túneles mineros varían entre 80 y 400 metros cuadrados, la de los túneles tipo escudo son de 27 metros cuadrados.



FIGURA 2.2.a.: Foso UNEFA con túneles gemelos dirección Bello Campo.

Fuente: Autores



FIGURA 2.2.b.: Fosos UNEFA. Proyecto Línea 5 de la C.A. Metro de Caracas.

Fuente: (Odebrecht & C.A. Metro de Caracas, Metodología constructiva túneles mineros (NATM), 2010)



FIGURA 2.2.c: Túnel gemelo UNEFA-Chuao, revestido con los anillos prefabricados.

Fuente: Autores

2.3. Construcción de túneles escudos en suelos.

El éxito de la construcción de túneles en el terreno caraqueño se logra analizando lo siguiente:

- Máquinas perforadas de la túneles tipo escudo (TBM, "Tunnel Boring Machine").
- Características del terreno.
- Asentamientos superficiales.

2.3.1. Máquinas perforadoras de túneles tipo escudo (TBM, "Tunnel Boring Machine").

Según describe Perri (2011), el origen de las máquinas perforadoras de Túneles se remota a los años mil ochocientos, claramente con dispositivos muy escasos en tecnología que solo facilitaban en parte el trabajo de los mineros, durante la construcción de los túneles. A mediados de los años mil ochocientos nacen las *TBM* (*Tunnel Boring Machine*) con frente abierto y con frente cerrado tipo Escudo, y fueron utilizadas en la excavación de los túneles del Metro de Londres. Sucesivamente se busca controlar la estabilidad del frente del túnel en las excavaciones por debajo del nivel freático y así empiezan a surgir aquellas tipo escudo con frente de aire comprimido que eran de gran ayuda en situaciones difíciles e incorporaban tecnologías neumáticas. La evolución de las *TBM* fue progresiva, incorporando cada vez más medios mecánicos en substitución



de aquellos manuales y semi-manuales, hasta convertirse en lo que son hoy en día con ruedas integradas y con la ventaja de ser manipuladas a distancia.

La dificultad de excavación siempre ha sido en los suelos blandos relativamente estables, con alto nivel freático. Para estos casos se empleaban las máquinas perforadoras de frente abierto, hasta que por motivos de seguridad se adoptaron soluciones con frente presurizado mediante lodos bentónicos o Escudos de Lodos (*Slurry Shields*). Entre finales de los años ochenta y principios de los noventa nacen las *TBM* con Escudos de Presión de Tierra Balanceada (*EPBs, Earth Pressure Balance*) que resolvía muchos de los problemas relacionados al uso de frente presurizado con lodos bentónicos y otras prácticas.

Los fabricantes más importantes a nivel mundial de maquinas tuneladoras tipo *TBM* en la actualidad, son: "Robbins", "Wirth", "Herrenknecht", "Hitachi Ltd.", "Kawasaki Heavy Industries", "Okomura", "NFM Technologies" y "LOVAT Inc". La fabricación de estos equipos, demanda 9 á 12 meses, después de las pruebas y ajustes, son desmontados para su traslado y montaje en el lugar de operación, donde realizará la excavación. La característica fundamental de las tuneladoras tipo *TBM* es que realizan la excavación del túnel a sección completa y de forma circular, como confirma Giraldo (2010).

La heterogeneidad del terreno al atravesar (roca dura, roca blanda o suelo), las limitadas dimensiones y accesibilidad al frente de trabajo, y las posibles afecciones (roturas, filtraciones) que puede ocasionar en edificaciones colindantes, afecta al procedimiento de excavación.

Por todo ello, no puede existir un solo tipo de tuneladora que solucione todos los problemas. La máquinas excavadoras deben adaptarse al tipo de suelo, y así nace una extensa clasificación:

2.3.1.1. Clasificación.

La empresa alemana pionera en tecnologías subterráneas, "Herrenknech" clasifica las TBM más conocidas de la siguiente manera:

- *TBM* con Simple Escudo: Es ideal para la excavación de rocas duras, fragmentadas y otros suelos estables, libres de agua.
- *TBM* con mordazas (*"Gripper"*): Trabaja en suelo rocoso sólido con frente abierto. Posee un dispositivo que permite anclarse a la roca permitiendo el avance durante la excavación. Permite rápida estabilización del suelo que se haya excavado.
- *TBM* con Doble Escudo: Es la *TBM* más sofisticada. Combina la tecnologia de una tuneladora de simple escudo y una con mordaza. Se utiliza para la excavación de tramos largos y estables de roca. Trabaja con frente abierto durante la excavación. Permite la instalación de segmentos de concreto (dovelas) paralelamente a la excavación.



- *TBM* escudo Mixto: Se utiliza en excavaciones que no se pueden realizar con un solo tipo de máquina. Trabaja bajo presión atmosférica, ya que en la cámara de excavación se utiliza un cojín de aire para mantener la presión. En general se emplean en suelos que están por debajo de ríos, lagos o mares, principalmente con baja cohesión, como arenas o lodos, ya que puede controlar con seguridad presiones hidrostáticas mayores a quince bares en suelos heterogéneos, siempre y cuando el diámetro de excavación sea muy grande. Se requiere bentonita para estabilizar los frentes de excavación. El revestimiento del túnel es reforzado con anillos de concreto armado.
- *TBM-EPBs*: Son las utilizadas en las excavación de los túneles gemelos del Proyecto Línea 5 del Metro de Caracas. Fueron adquiridas para el presente proyecto dos tuneladoras (430 y 431) de la firma Alemana "Herrenknech".

2.3.1.2. Caracteristicas de las *TBM con escudo de presión de tierras balanceada (EPBs, Eath Pressure Balance Shields)*.

Estas maquinas son las más utilizadas en la actualidad para obras urbanas. Como confirma Perri (2011) gracias al escudo de presión de tierras balanceada (*EPBs, Earth Pressure Balance Shields*) se estabiliza el frente de excavación con la contrapresión transmitida por parte de la tierra ya excavada. Se establece un equilibrio entre el empuje del terreno más las presiones hidrostáticas y la presión del material excavado. Previo a este último proceso todo el material es acondicionado con espumas especiales y mezclado en el mismo frente de la excavación (en la cabeza de corte) en una cámara de presión, desde la cual se va extrayendo por medio de un tornillo sin fin solo en la misma cantidad que se excava, manteniendo dentro de la cámara de tierra un volumen prácticamente constante. Cualquier desbalance en el frente de los volúmenes de material puede provocar una repentina y brusca caída de presión, ocasionando la parada de la máquina.

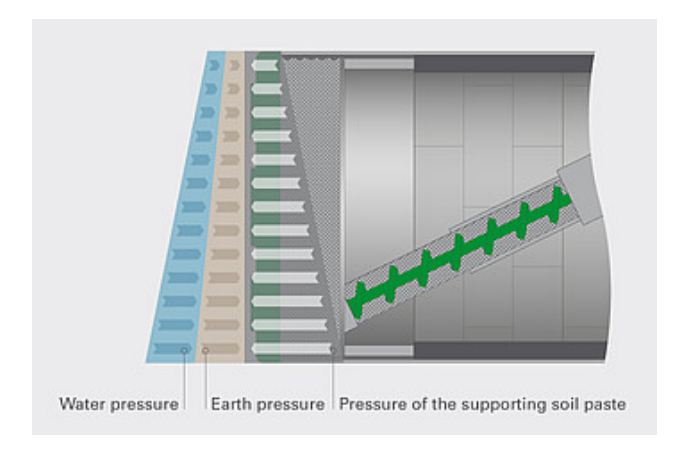


FIGURA 2.3.1.2.a.: Esquema de balance de presiones de tierras en la cámara presurizada.

Fuente: (Herrenknecht)



El escudo de presión de tierra balanceada esta compuesto por tres partes fundamentales, diferentes y articuladas entre si. Dichas partes son la cabeza de corte o rueda de corte o escudo frontal, el escudo intermedio y el escudo de cola.

La cabeza de corte esta soportada por un cuerpo motorizado en el escudo, esta incorpora cuchillas para excavar en suelos, y cortadores de disco para perforar material rocoso u otros obstáculos que puedan existir a lo largo del alineamiento.

El material excavado luego de haber pasado por las cuchillas entra a la cámara de excavación que mezcla el material bajo presión con unas aspas. En este proceso se obtiene un material homogéneo para mantener la presión constante dentro de la cámara. Sucesivamente el material viene extraído de la cámara por un tornillo sinfín y se descarga a presión atmosférica en una banda transportadora que a su vez transporta el suelo acondicionado a lo largo del tren de apoyo de la *TBM* dentro de contenedores especiales.



FIGURA 2.3.1.2.b.: Cabeza de corte con protección anti-abrasiva de la *TBM-EPBs* utilizada en el Proyecto Línea 5 del Metro de Caracas.

Fuente: C.A. Metro de Caracas





FIGURA 2.3.1.2.c.: TBM-EPBs Proyecto Línea 5 Metro de Caracas.

Fuente: C.A. Metro de Caracas



FIGURA 2.3.1.2.d.: Banda transportadora descargando el material al contenedor.

Fuente: (Perri, 2011)

El escudo frontal y el intermedio están conectados por una articulación que facilita el movimiento de la máquina en curva y es manipulada por el operador. En el escudo intermedio están colocados los gatos hidráulicos que proporcionan el empuje de la máquina para excavar y avanzar. Los gatos hidráulicos empujan los borden de las dovelas del revestimiento anular.





FIGURA 2.3.1.2.e.: Gatos hidráulicos TBM-EPBs del Proyecto Línea 5 del Metro de Caracas.

Fuente: Autores

Al final del recorrido, aun bajo la protección del escudo de cola se ejecuta el montaje de los anillos prefabricados de concreto, que tienen como finalidad revestir el túnel y evitar derrumbes. Como describe Chamorro (2005) las maquinas están envueltas por un cilindro metálico que sostiene el terreno tras la excavación y permite colocar el sostenimiento en su interior (anillos de dovelas en concreto reforzado de alta resistencia).

Los anillos son colocados con el sistema de empuje de los gatos hidráulicos que ejercen presión sobre su sección transversal. Estos gatos compuestos por cilindros de propulsión siempre permanecen en contacto con el ultimo anillo para evitar que el escudo no retroceda por la presión de tierra remanente.

Las *EPBs* que se están utilizando en el Proyecto Línea 5 tienen la capacidad de montar treinta anillos por día. Las dovelas que conforman los anillos son prefabricadas en la planta de la *Rinconada* y son bastante frágiles por su alta resistencia a pesar que están reforzados en acero. Son universales con 22 centímetros de espesor aproximado y poseen forma tipo arco para que el conjunto de ellas formen el anillo del túnel.

El control de las presiones durante el ensamblaje de los anillos, inclusive en el frente, minimiza la relajación de tensiones en el material por delante de la tuneladora, de esta forma se facilita el control de los asentamientos que se generan alrededor del túnel y hasta la superficie.

En la cámara de tierra se colocan varios sensores para controlar las presiones en toda circunstancia. Si la presión dentro de la cámara es mayor a la estipulada a raíz de la



disminución del ritmo de extracción del material, dentro de ella se genera una compresión adicional y el terreno frente al escudo provocaría elevaciones del terreno. Si en cambio la presión disminuye por debajo del mínimo aceptado causado por un aumento de velocidad en la extracción del material, se crearía un desequilibrio entre el suelo del frente y el de la cámara, perdiendo presión y provocando pérdidas de velocidad y frenado de la tuneladora con asentamientos indeseables en la superficie del terreno. Para regular las presiones de tierra durante el avance se debe cambiar la velocidad del tornillo sin fin.

La excavación en suelos con alto contenido de arcillas de alta plasticidad generan problemas de adherencia a las partes metálicas de la rueda de corte tapando las aberturas e impidiendo el paso normal del material del frente a la cámara de excavación.

2.3.1.2.1. Modos de operación.

Los modos de operación de las tuneladoras son del tipo cerrado, de transición y abierto.

El **modo cerrado**, que ya es cuando la máquina trabaja con el frente balanceado (*EPBs*), tiene como propósito asegurar una condición de excavación estable y minimizar los asentamientos superficiales, en particular cuando se tiene presencia de suelos inestables con alto nivel freático y riesgo de sobre excavación en el frente, por ejemplo rellenos, aluviones o suelo residual. Este modo se logra cuando presión de la cámara de excavación está totalmente equilibrada con las presiones del terreno y las hidrostáticas, es decir en el punto donde dicha cámara está llena de material y bajo presión. Es necesario para este proceso que la permeabilidad del material sea baja, en caso contrario se debe acondicionar el suelo con aditivos que le dan mayor plasticidad.

El modo de transición (frente mixto) contempla una tuneladora que opera con cámara de excavación cerrada pero no presurizada. El modo se aplica cuando existen frentes estables y se excluya el riesgo de sobre excavación. La presión del frente de excavación para este caso no debe ser mayor a 1.0 Bares en la clave del túnel. El objetivo principal es controlar flujos moderados en el frente y permite el cambio rápido a modo cerrado para cuando exista el riesgo repentino de frentes inestables. En este caso también debe haber un equilibrio de presiones y se debe acondicionar el suelo cuando la permeabilidad del mismo no es la adecuada.

El **modo abierto** es recomendado cuando el frente de excavación es completamente estable y el nivel freático no causas problemas operacionales. Se utiliza principalmente cuando el frente de excavación está compuesto por roca para evitar desgaste en las ruedas de corte por sobrecargas. Estos últimos problemas son típicos en frentes de excavación mixtos (suelo y roca). En el Proyecto Línea 5 ha sido descartado la operación a frente abierto por la incertidumbre de presencias de aguas subterráneas a lo largo del trayecto. En este modo la máquina trabaja como si fuera de frente abierto.



2.3.1.2.2. Tratamiento del terreno.

Antes de iniciar la excavación el terreno necesita ser tratado para su fácil extracción a través del tornillo sin-fin de la *TBM-EPBs*. No realizar los tratamiento de suelo descritos implica bajos rendimientos de avance de la máquina y atascos en la cabeza de corte que pueden parar la máquina generando altos costos de mantenimiento y obligando a los operadores a trabajar manualmente dentro de la cámara. Esto implica un riesgo para la vida de los trabajadores.

Al momento de alguna inspección en el frente de excavación, los obreros deben pasar previamente por la cámara hiperbárica que se encuentra dentro de la tuneladora. Esto permite que el trabajador se nivele con la presión que exista en el área frontal de la máquina.

Dichos tratamientos pueden ser inyecciones de espuma o polímeros por orificio en la cabeza de corte de la tuneladora. En presencia de suelos poco cohesivos o elevadas cantidades de agua, antes de iniciar la excavación con las *TBM-EPBs*, estos deben ser tratados con aditivos especiales, llamados polímeros, ya que las espumas no son suficientes. El efecto que hacen los polímeros es transformar la masa liquida, aumentando su viscosidad, en un cuerpo plástico. En las obras del Metro de Caracas es muy común utilizar espuma, ya que reduce la fricción del suelo, facilita su manejabilidad y descarga en el tornillo sinfín y aumenta su plasticidad para mantener el equilibrio de presiones dentro de la cámara y el frente.

Adicionalmente, se acude a las inyecciones de mortero ("grout") que se utilizan a lo largo del escudo *EPBs* como medida preventiva y consiste en aplicar una mezcla de agua, cemento y arena entre el espacio ("gap") que queda entre el trasdós de las dovelas y el terreno excavado.

Este proceso tiene como finalidad controlar la subsidencia (asentamientos verticales predominantes) generada por la descompresión del terreno durante la excavación y prevenir sobre excavaciones.

La cola del escudo es la zona donde se generan mayores asentamiento por la presencia de los espacios anulares. Se inyectan el producto a una presión de 1.50 bares a 2.50 bares para evitar que se devuelva al escudo. De esta manera se dispone de un sistema cerrado que controla pérdidas de material.

Existen dificultades de inyección de mortero cuando la tuneladora opera en modo abierto en roca ya que es complicado controlar la presión y el volumen colocado. Es muy importante controlar este proceso ya que puede haber el riesgo que las mezcla de mortero fluya a lo largo del escudo cuando se inyecta a presión. Esto sucede porque la presión a la cual se inyecta es menor a la del escudo.



También puede ocurrir lavado del mortero si existen flujos de agua muy elevados, que lleva a infiltraciones dentro del túnel. Este problema es relevante en los casos donde el espacio anular es grande y el mortero empleado posee baja viscosidad.

Ambos problemas, desplazamiento por presión o por lavado provocan el posible anclaje de la *TBM* por el fraguado del mortero alrededor del escudo.

Adicionalmente se utilizan otro tipo de invecciones para controlar el suelo, como son:

- Inyección de grasa para el sellado del escudo, garantizando su impermeabilidad y estanqueidad del túnel.
- Inyección de bentonita entre el escudo y el terreno para la provisional estabilización del terreno, solo en situaciones críticas.

2.3.2. Características del terreno.

Es de suma importancia realizar un estudio geológico antes de llevar a cabo la obra ingenieril subterránea para contar con la información necesaria sobre el tipo de suelo que se debe trabajar y adicionalmente tanto, para la selección del método constructivo, como del tipo de tuneladora requerida para la construcción de los túneles gemelos.

En el caso del presente estudio, es importante resaltar que el suelo de Caracas es heterogéneo, encontrándose en él las formaciones de Las Mercedes y Las Brisas además de depósitos de sedimentos, gravas, arenas gravosas, arenas arcillosas y limos. Los espesores de los estratos de suelo o rocas y las condiciones hidrológicas cambian considerablemente. Se tienen niveles freáticos muy altos que se traducen en riesgo de infiltraciones de agua en el frente de excavación.

"En la zona en donde se localiza la estructura de la UNEFA (progresiva 23+080) la litología existente corresponde a un **Frente Mixto**, lo que significa que existe una transición del macizo rocoso (esquisto calcáreo cuarzo grafitoso) con diferentes grados de meteorización a depósitos de suelos aluvionales formados por arenas limosas con grava, por lo cual se considera una **Sección Crítica**, para el paso de las tuneladoras en el tramo correspondiente.

En el resto del alineamiento (Ver ANEXO-1 y ANEXO-3) tenemos suelos de tipo aluvial (Estructura C.C.C.T hasta el frente de obra Miranda II), que se encuentran entre las progresivas: 23+400 hasta la 25-240, y la progresiva: 22+833); y varía entre arena limosa con gravas, arenas limosas y arena limosa con gravas y lentes de arcillas. Son suelos de tipo heterogéneo de alta porosidad, cohesivos o pocos cohesivos". (Odebrecht & C.A. Metro de Caracas, Plan de contingencia edificaciones linderas Tramo UNEFA-Bello Campo-Miranda II, 2012).



A partir del material suministrado por la C.A. Metro de Caracas se presenta a continuación la información extraída del perfil geológico del tramo en estudio (Ver **ANEXO-3**). El tramo Chuao - Bello Campo objeto del presente trabajo, posee una presencia de suelo tipo aluvial que comprende arena limosa con gravas, arenas limosas y arena limosa con gravas y lentes de arcillas.

La características del suelo en este caso son más desfavorables que en roca, ya que existe un alto riesgo de asentamientos que provoque derrumbes dentro del túnel excavado.

A continuación se refleja una tabla que indica la estabilidad del frente de trabajo en función del tipo de material a ser excavado:

CORRELACION DEL TIPO DE SUELO CON LOS TERMINOS UTILIZADOS EN LA CONTRUCCION DE TUNELES											
	Α	В	С	D	Е	F	G	Н	Т	J	K
1.Grava con Peñones								XXX			XXX
2.Arenas							XXX	XXX		XXX	XXX
3.Limos		XXX					XXX		XXX	XXX	XXX
4.Arcillas	XXX	XXX	XXX		XXX	XXX			XXX		XXX
Grava en matriz Arcillosa	XXX	XXX	XXX	XXX							XXX
6.Grava en matriz Limosa							XXX			XXX	XXX
7.Arena Arcillosa	XXX	XXX	XXX	XXX							XXX
8.Arena Limosa							XXX			XXX	XXX
9. Arenas y Gravas cementadas	XXX	XXX									XXX
10.Suelo orgánico											
Términos Prácticos er	ı la c	onsti	ucci	ón d	e tún	eles					
A=Duro	F=Expansivo K=Peñones										
B=Firme G=Cohesivo susceptible a escurrimiento											
C=Desmoronamiento Lento H=Susceptible a corrimiento											
D=Desmoronamiento Rápido	namiento Rápido I= Fluido										
E= Deformable											

FIGURA 2.3.2.: Correlación del tipo de suelo con los términos utilizados en la construcción de túneles.

Fuente: (Brescia & Pereira, 2002)

La empresa "mtc" (Maidl Tunnelconsultants GmbH & Co. KG, Alemania) realizó un análisis de las condiciones geológicas, geotécnicas e hidrogeologías que caracterizan el frente de los túneles gemelos a lo largo de todo el alineamiento del Proyecto Línea 5. Dicha empresa es la responsable de analizar la información disponible y suministrarla al fabricante de las tuneladoras, para su posterior construcción. La máquina perforadora, una vez fabricada, es entrega al cliente C.A. Metro de Caracas con sus parámetro de excavación, que son indispensables para la correcta operación de la misma.



2.3.2.1. Parámetros de excavación de las TBM-EPBs S430 y S431.

Los parámetros de excavación por anillos de las dos tuneladoras (Ver **ANEXO-4**), elaborados por la empresa alemana "*mtc*", indican por progresiva y número de anillo lo siguiente:

P	OSICIÓN	PRESIO	NES TIERRAS	S EN CÁMARA		NCIONES MPRIMIDO	INYECCIÓN DE	MORTERO	NIVEL FREÁTICO**	ESPUMAS***		EDIF	icios
Núm.	Progresiva	MODO*	PRESIÓN	PRESIÓN	Presión sensores 1, 2 y 5 (ver NOTA)		PRESIÓN	VOL.	N.F.	FIR	FER		
			Sensor 1	Sensor 2 y 5			MORTERO MÍN.	MORTERO				ma	œ.
avance	frente		(ver NOTA)	(ver NOTA)	Mitad	Completo	(ver NOTA)		CLAVE			. <u>.</u>	5
[-]	[km]	[-]	[bar]	[bar]	[bar]	[bar]	[bar]	[m3]	[m]	[%]	[-]	En	ဝီ

- Modo de operación recomendado para las tuneladoras S430 y S431.
- La presión de tierra que debe tener la cámara de excavación en bares. En este caso si disminuye la presión se recomienda intervenir en la cámara con estabilización del frente mediante cake de bentonita.
- Las intervenciones de aire comprimido necesarias en bares, para mantener bajo control la entrada de agua por el frente de excavación.
- Las presiones y volumen de inyecciones de mortero ("grout") que se requieren para la estabilización del terreno excavado (bares, metros cúbicos), y el relleno del espacio anular.
- El nivel freáticos sobre la clave del túnel admitido durante la excavación en cada intervalo de anillos.
- El porcentaje de espuma necesaria para mezclar el material excavado y obtener el lodo dentro de la cámara de excavación para, de esta forma, extraerlo por el tornillo sin fin.
- Los edificios ubicados en el área de afectación del proceso constructivo.

Los parámetros mencionados deben ser ajustados a medida que se comprueben las características del terreno excavado, ya que el macizo caraqueño por su heterogeneidad genera cierta incertidumbre.

Si las lecturas piezométricas manifiestan un nivel de agua mayor al indicado en la tabla, se deben aumentar las presiones en la cámara y de inyección de mortero en 0,1 bar por cada metro que aumenta el nivel freático (tanto en avance como en intervenciones en aire comprimido). (KG, Maidl Tunnelconsultants GmbH & Co., 2010).



2.3.3. Asentamientos superficiales.

Centeno et al (2004), confirma que al realizar una obra subterránea se induce a una alteración en el estado tensional del suelo excavado, lo que genera movimientos en zonas relativamente próximas con el fin de buscar el equilibrio del terreno. Estas alteraciones han sido medidas dando como resultado asientos que van desde pocos milímetros hasta varios decímetros y pueden llegar a extenderse hasta una distancia del eje del túnel de diez (10) veces el diámetro del mismo.

Estos asientos verticales, producidos en superficie, constituyen el fenómeno denominado subsidencia.

Dichas deformaciones tienen un carácter radial hacia el centro del túnel que pueden llegar a causar daños considerables a estructuras circunvecinas si llegasen a sobrepasar los límites permisibles. No debe dejar de tomarse en cuenta la importancia de los movimientos en el interior del terreno que pueden ocasionar daños a cimentaciones profundas. Aunque los asentamientos sean los movimientos más nombrados, deben considerarse también los movimientos horizontales, que pueden ser aún más dañinos.

Las deformaciones finales son función de un gran número de variables, como la geometría del problema, homogeneidad del terreno, presencia de agua, proceso constructivo, deformabilidad relativa entibación-terreno y su evolución en el tiempo, los huecos entre terreno y sostenimiento, el tiempo que transcurre hasta que se realizan las inyecciones del mortero o grasa necesaria para llenar el vacío de 7 a 9 cm de espesor entre las dovelas y el terreno excavado.

Durante la Excavación de túneles gemelos con *TBM*, los asentamientos están asociados, según lo que afirma Chamorro (2005), a los siguientes mecanismos:

- Deformación del suelo en el frente debido a la relajación de tensiones. Es un aspecto a considerar cuando la *TBM* trabaja en modo abierto, si esta es de frente balanceado los efectos suelen despreciarse si y solo si se controla adecuadamente la presión en el frente. Los problemas de este tipo se producen en particular cuando se perforan suelos arenosos (no cohesivos) con presencia de agua (elevado nivel freático), como es el caso de la mayoría del trayecto de la Línea 5. En este caso la estabilidad del frente de excavación se complica cuando la carga piezométrica en la cámara presurizada y llena de suelo es inferior a la carga piezométrica del suelo, lo que genera fuerzas de filtración que empujan hacia el escudo de la tuneladora. Chamorro (2005) señala que en zonas urbanas las consecuencias de un colapso de un túnel pudiera ser catastrófico, por lo que es de suma importancia la estabilidad del frente de excavación antes de colocar el sostenimiento.
- Sobre excavación producida por la cabeza de corte del escudo, que se relaciona fundamentalmente a la geometría de la tuneladora y problemas de guiado. Genera pérdidas de material o mayor volumen excavado. Por ello es importante contar con



un buen sistema de monitoreo del alineamiento dentro de los túneles gemelos, mediante equipos GPS o estaciones totales.

- Presencia del espacio ("gap") anular entre las dovelas y el terreno excavado, por ello se realizan inyecciones de mortero.
- Deformación del revestimiento del túnel, luego de haberse colocado. Son provocadas por las presiones del macizo y las presiones hidrostáticas que se ejercen sobre el sostenimiento del túnel, causando su convergencia y posible colapso.
- La consolidación del suelo.

Según confirma Carmona (1986), es importante resaltar que el terreno sufre una primera deformación tras el paso de la primera *TBM*, tomando una sección como referencia. La segunda máquina suele pasar posteriormente luego de estabilizar el primer túnel por esa misma sección para evitar asentamientos elevados.

De igual manera existe una interacción entre ambos túneles gemelos que si la distancia entre las claves de ellos es muy reducida se pueden originar problemas catastróficos y derrumbes. Esto sucede porque al pasar la segunda tuneladora se generan deformaciones adicionales a las que hubiesen ocurrido si la excavación del segundo túnel se hubiese realizado fuera de la zona de influencia del primero. Para este caso desfavorable la zona de terreno disminuye entre ambos túneles y se genera un asentamiento máximo entre ambos y pérdidas de material excavado.

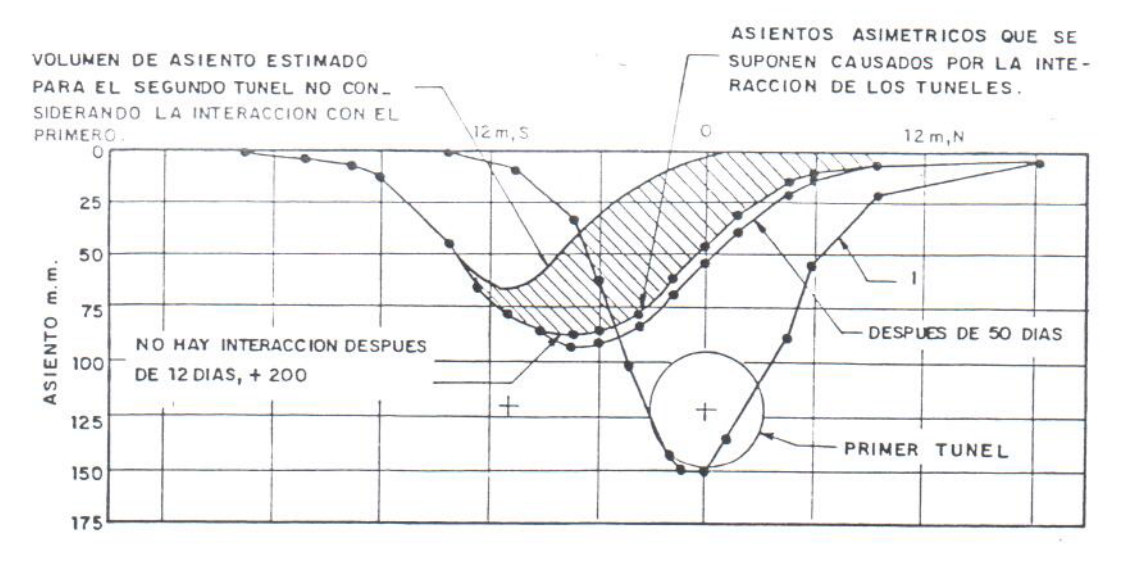


FIGURA 2.3.3.a.: Asientos finales tras el paso del primer y segundo túnel gemelo.

Fuente: (Chacon Carmona, 1986)



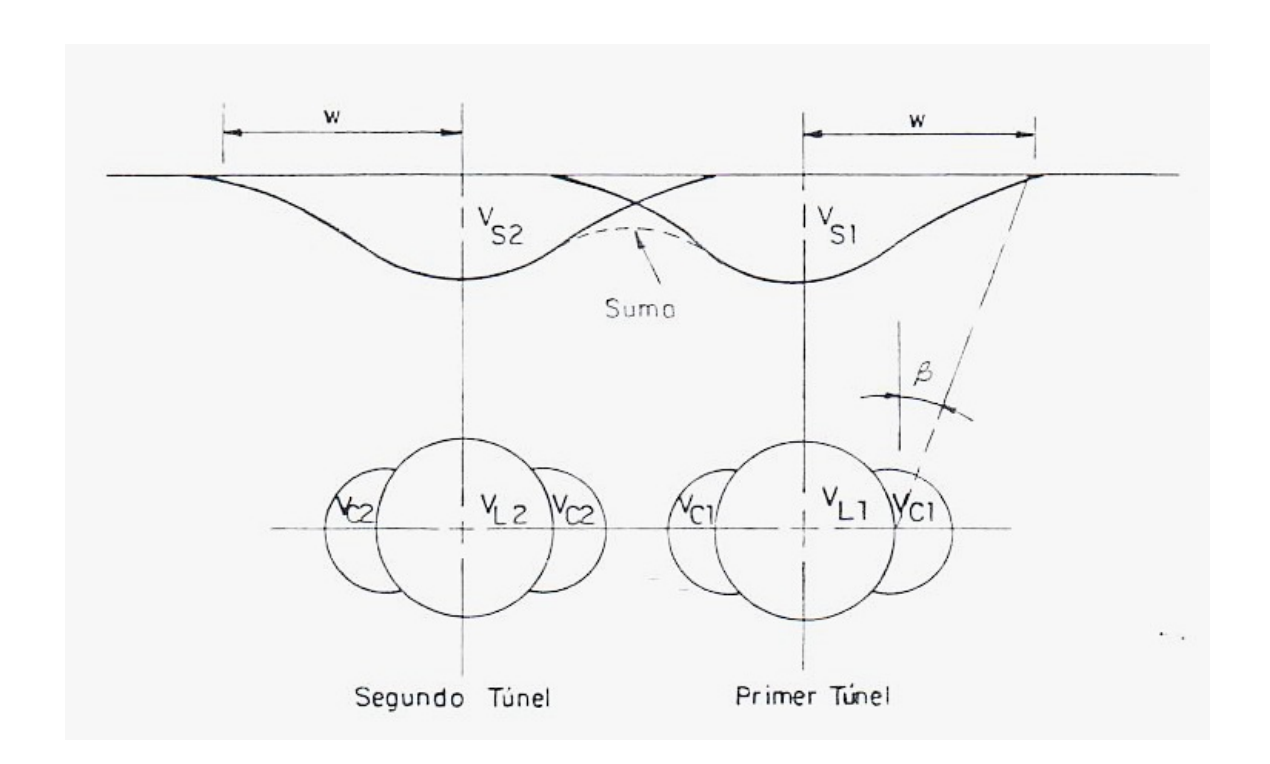


FIGURA 2.3.3.b.: Pérdida de volumen producido por los dos túneles sin considerar la interacción entre ambos.

Fuente: (Chacon Carmona, 1986)

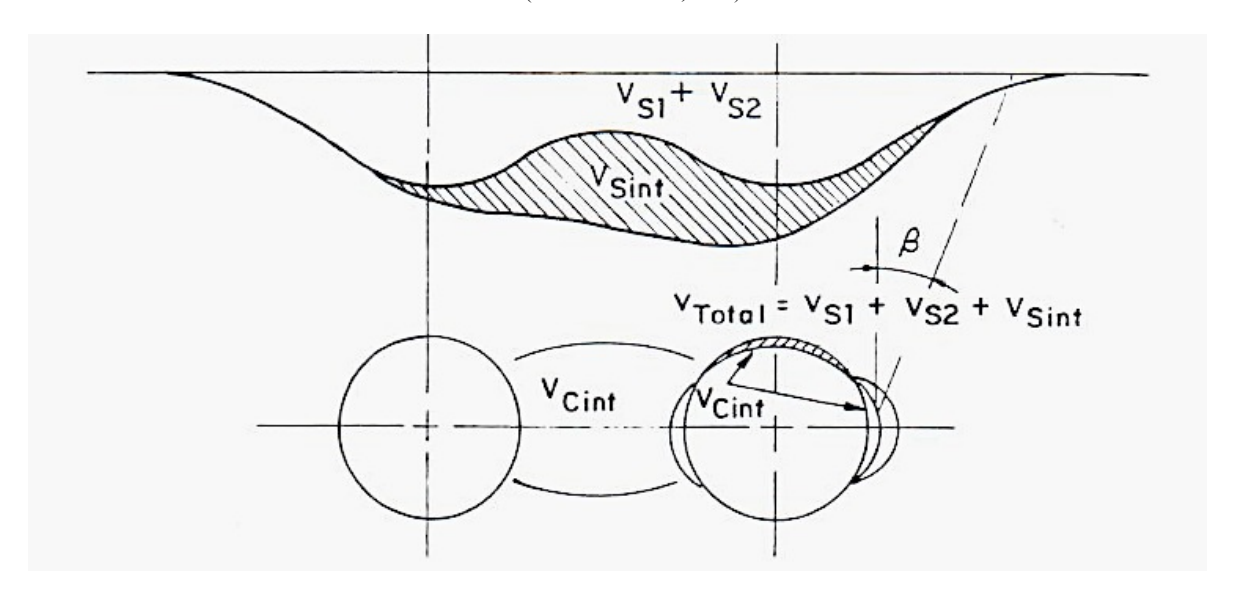


FIGURA 2.3.3.c.: Pérdida de volumen de los túneles gemelos considerando la interacción entre ambos.

Fuente: (Chacon Carmona, 1986)



La zona de influencia, según lo confirma Pérez et al (2012), del paso de las *TBM* se delimita considerando cincuenta metros por delante de la excavación, cien metros por detrás de la excavación y en superficie, donde afecta a las edificaciones, se basa en abatir la profundidad máxima de excavación en proporción uno a uno (1/1).

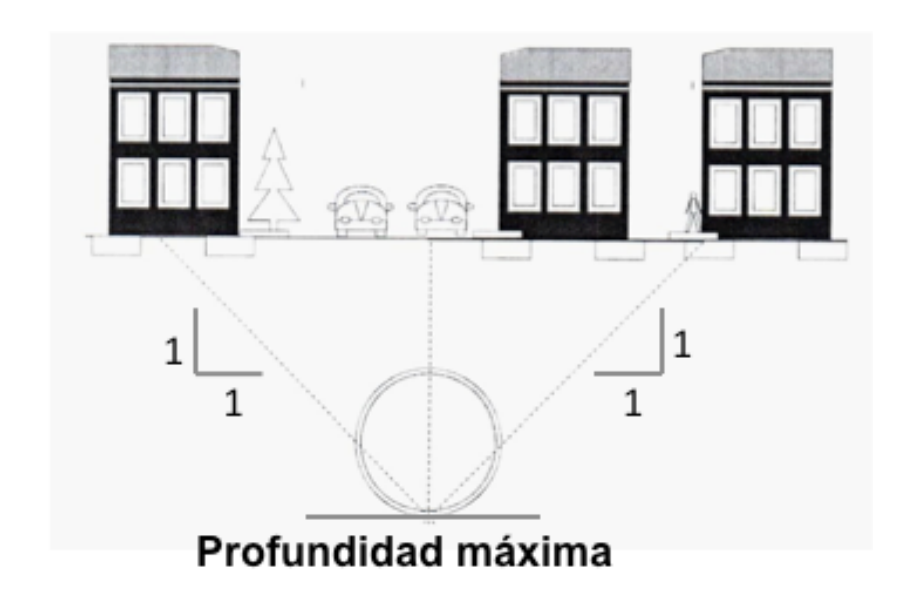


FIGURA 2.3.3.d.: Zona de influencia en edificaciones.

Fuente: (Pérez, Gutierrez, & De La Hoz, Especificaciones de servicios para instrumentación geotécnica de obras de túneles, 2012)

2.4. Túneles mineros (NATM, "New Austrian Tunnel Method")

El método remota a los años cincuenta y sesenta y fue desarrollado por Ladislau Rabcewicz. El nombre minero se le da porque se empezó a utilizar para la construcción de túneles de minas de carbón.

El nuevo método austriaco consiste en la excavación del terreno en varias fases y se procede con la colocación de una estructura de soporte conformadas por perfiles de acero longitudinal llamados "costillas" y aplicación de concreto proyectado ("shotcrete"). Es muy importante la colocación instantánea del "shotcrete" para mantener la calidad del subsuelo y garantizar la estabilidad del túnel. (Brescia & Pereira, 2002).

El método minero debido a su gran versatilidad constructiva, permitiendo variaciones de tamaño, forma y condiciones ejecutivas en espacios limitados de obra, se opta para la construcción de las estaciones y fosos de acceso del Metro de Caracas.



Adicionalmente el método logra minimizar interferencias en las obras existentes en la superficie tales como sistemas viales, y subterráneas tales como redes y servicios públicos, que a su vez influyen en la población y en sus actividades cotidianas.

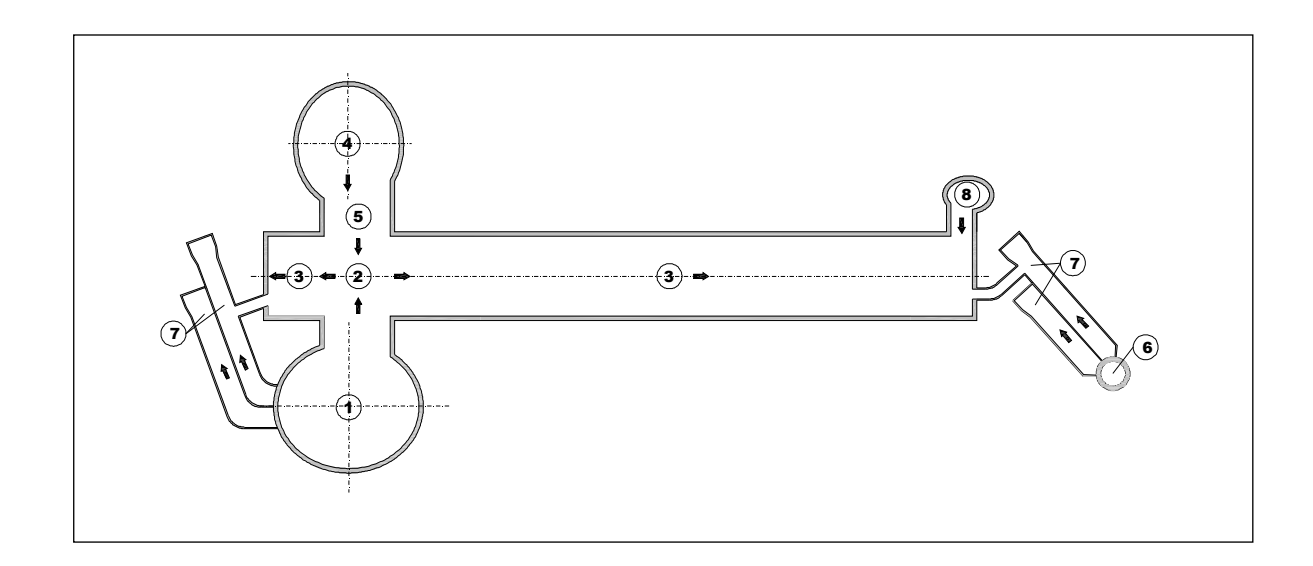


FIGURA 2.4.a.: Esquema de estación típica del Proyecto Línea 5 del Metro de Caracas.

Fuente: (Odebrecht & C.A. Metro de Caracas, Metodología constructiva túneles mineros (NATM), 2010)

En la **FIGURA 2.4.a**. se indica lo siguiente:

- "1" y "4" corresponden a los fosos de acceso que corresponden a la entrada de la estación.
- "2" y "5" son túneles de conexión, para conectar los fosos "1" y "2" con el cuerpo de la estación.
- "3" corresponde al cuerpo de la estación que se construye a partir de los dos fosos de acceso (1 y 4).
- "1", "2", "3" y "4", son las excavaciones principales para la estación.
- "6" y "8" corresponden a salidas de emergencia.
- "7" es el túnel de ventilación que conecta ambas salidas de emergencia (6 y 8).

La excavación del túnel se realiza en dos fases; la primera consiste en una excavación superior y en la segunda se retira el terreno que quede debajo hasta la cota del túnel. A continuación se describe el proceso constructivo de los túneles mineros tal como es utilizado en el Proyecto Línea 5 del Metro de Caracas.

La primera fase de la construcción es la excavación de un foso de acceso y un túnel de conexión. Desde esta última excavación se inicia la preparación del túnel



minero. La cota del túnel de conexión será donde se iniciará la perforación del piloto (Ver FIGURA 2.4.b. (Parte 1)).

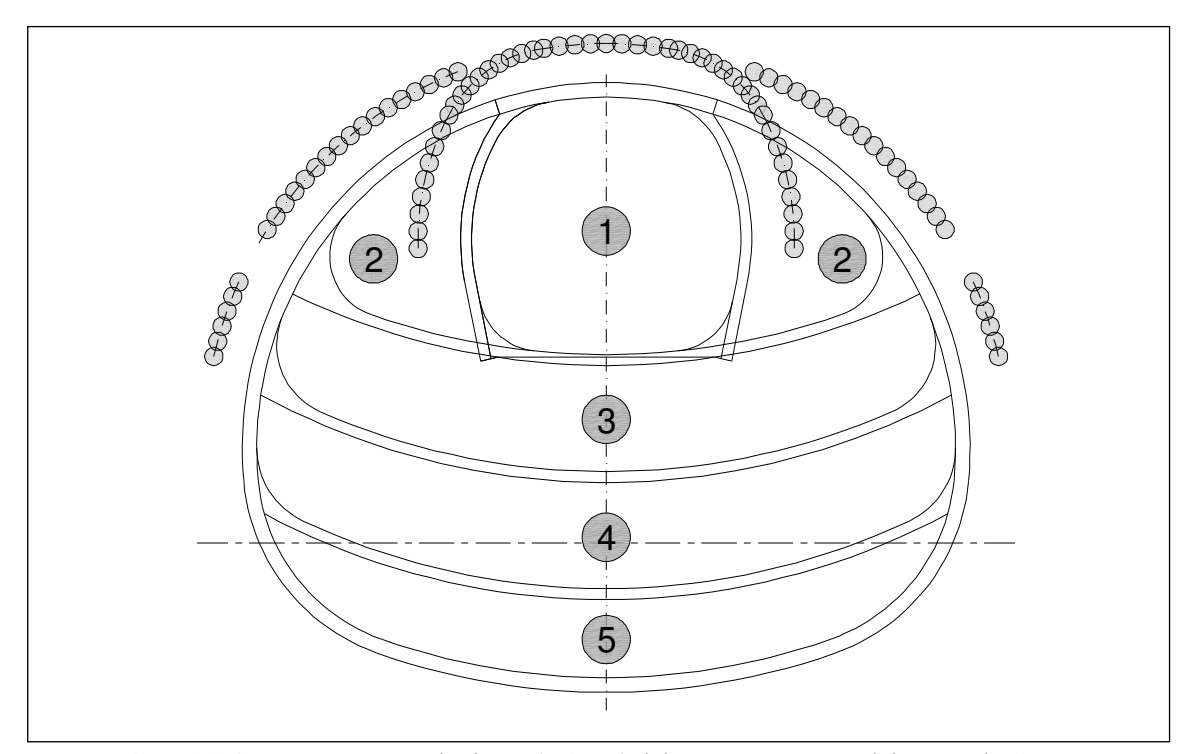


FIGURA 2.4.b.: Esquema túnel minero (NATM) del Proyecto Línea 5 del Metro de Caracas.

Fuente: (Odebrecht & C.A. Metro de Caracas, Metodología constructiva túneles mineros (NATM), 2010)

Antes de iniciar la excavación del túnel piloto es importante realizar tratamiento en el macizo que delimita el contorno a ser excavado, especialmente si este esta conformado por suelos blandos, con inyecciones de "*Jet-Grouting-CCP*" y drenajes mediante pozos de abatimiento de nivel freático.

La tecnología "Jet-Grouting-CCP" consiste en proyectar el medio a tratar a través de inyecciones a presión elevadas (250-350 Kg/cm2) una mezcla estabilizante de (lechada agua-cemento), para lograr la consolidación del terreno. Con este proceso el macizo logra obtener propiedades mecánicas elevadas y de esta forma se logra la protección lateral y del techo de los túneles, limitando posibles asentamientos causantes de daños estructurales superficiales y subterráneos.. El término "CCP" (Chemical Churning Pile) corresponde a las columnas de suelo cemento que se forman de abajo hacia arriba luego de la inyección de lechada debido al chorro a presión. (Brescia & Pereira, 2002).

Luego del proceso de estabilización previa del macizo se procede a la excavación y revestimiento provisional del túnel piloto central, aplicando concreto proyectado para mantener su estabilización. El revestimiento provisional consiste en la colocación de



costillas en celosías y arcos invertidos. El diámetro del túnel piloto puede variar desde 0,60 a 0,80 metros.

Posteriormente, se procede con la segunda fase constructiva, ejecutando el ensanchamiento del túnel piloto y excavando las bóvedas (Ver **FIGURA 2.4.a**. (Parte 2)). Una vez concluida la excavación de la bóveda se remueven las paredes del túnel piloto y se estabiliza el frente con un clavetaje frontal, pared de concreto proyectado, malla electrosoldada y se completa el arco invertido en todo al ancho de la sección transversal.

La fase siguiente corresponde a la tercera, donde se excavan y estabilizan los rebajos (Ver **FIGURA 2.4.a**. (Parte 3, 4 y 5)), luego de haber concluido la bóveda.

Finalmente, la última fase corresponde a la estabilización del túnel luego de haber concluido las varias excavaciones. Se coloca un revestimiento primario que contempla una impermeabilización con manto de PVC y posteriormente se coloca la armadura en perfiles de acero para ejecutar el revestimiento final con concreto vaciado en sitio.



FIGURA 2.4.c.: Túnel minero, cuerpo de la estación Bello Campo.

Fuente: Autores





FIGURA 2.4.d.: Túnel minero de conexión en Bello Campo. Revestimiento final.

Fuente: Autores



FIGURA 2.4.e.: Concreto proyectado (Shotcrete), avance estación Bello Campo.

Fuente: Autores



CAPITULO 3. MARCO METODOLOGICO PARA EL SEGUIMIENTO INSTRUMENTAL GEOTECNICO APLICADO EN EL TRAMO DE TUNELES GEMELOS COMPRENDIDO ENTRE LA ESTACION CHUAO Y LA ESTACION BELLO CAMPO DE LA LINEA 5 DEL METRO DE CARACAS.

3.1. Proceso de instalación de la instrumentación.

Según el plan de Instrumentación establecido por la proyectista y aprobado por la C.A. Metro de Caracas, el proceso se realiza de la siguiente manera:

3.1.1. Actividades previas.

Se establece un período de solicitud de permisos de los entes pertinentes para liberar las zonas de trabajo descartando la afectación de los servicios de la zona y coordinar una instalación efectiva en el menor tiempo posible y menor impacto.

3.1.2. Ejecución.

Liberadas las áreas se procede a instalar los equipos de poca profundidad (<15metros) en la vía pública en jornadas de 5 horas de lunes a viernes de 6:00am. a 11:00am. para mitigar el impacto en el tráfico, logrando realizar la actividad en horas laborables de todos los servicios públicos para tener buenos tiempos de respuestas en caso de impactos durante la actividad, para instalar los equipos de mayor profundidad (>15metros) se coordinan áreas que pueden permanecer tomadas durante 3 días sin afectar tráfico vehicular ni peatonal.

3.1.3. Tiempo de ejecución.

Total de instrumentos profundos: 25 (2 meses) Total de instrumentos superficiales: 154 (1 mes)

3.1.4. Equipos utilizados para la instalación.

- Equipo perforador
- Camión plataforma
- Equipo moto-bomba
- Piscina del lodo de perforación

3.1.5. Mecanismos de resarcimiento y restitución.

En cada uno de los puntos a perforar serán restituidos los acabados originales de las áreas en idénticas condiciones a las que fueron entregadas antes de los trabajos (sea restitución de la superfície de concreto, capa asfáltica o capa vegetal), siendo



responsabilidad de la subcontratista, a la que adjudiquen los trabajos, el fiel cumplimiento de las condiciones antes descritas.

3.2. Distribución de los instrumentos.

El tramo de excavación por tuneladora con frente balanceado estudiado en este trabajo, desde la Estación Chuao a la Estación Bello Campo, consta de 18 secciones comprendidas entre las progresivas 23 + 490 hasta la 23 + 990. Se puede acotar que la separación entre las secciones no es constante. Las secciones se clasifican en A, B, C y D según estén compuestas:

Secciones tipo "A":

Consta de 5 puntos superficiales y 2 tasómetros dispuestos como se muestra en la **FIGURA 3.2.a.**

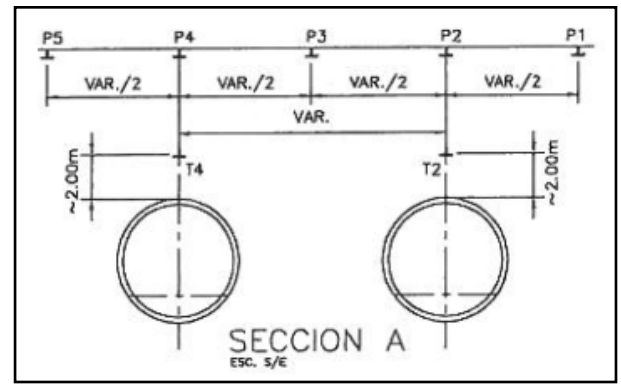


FIGURA 3.2.a.: Sección tipo "A".

Fuente: (FIGUEIREDO FERRAZ, Odebrecht, & C.A. Metro de Caracas, 2010)



Secciones tipo "B":

Consta de 3 puntos superficiales dispuestos como se muestra en la **FIGURA 3.2.b.**

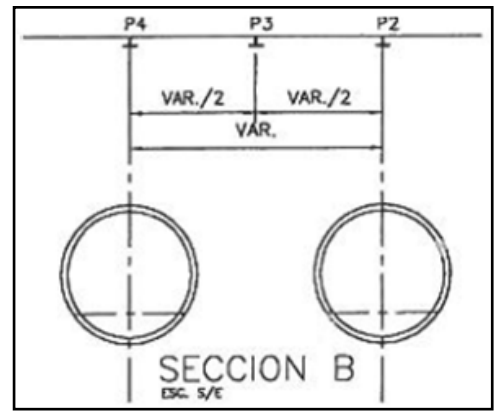


FIGURA 3.2.b: Sección tipo "B".

Fuente: (FIGUEIREDO FERRAZ, Odebrecht, & C.A. Metro de Caracas, 2010)

Secciones tipo "C":

Consta de 2 puntos superficiales y 2 tasómetros dispuestos como se muestra en la **FIGURA 3.2.c**. Este tipo de secciones está prevista para zonas donde interesan informaciones más localizadas sobre el comportamiento del macizo. El empleo de esta sección será definido por instrucciones de campo.

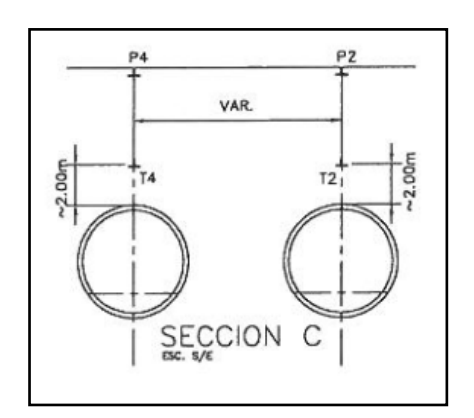


FIGURA 3.2.c.: Sección tipo "C".

Fuente: (FIGUEIREDO FERRAZ, Odebrecht, & C.A. Metro de Caracas, 2010)



Secciones tipo "D":

Esta sección consta sólo de medidores de convergencia dentro del túnel colocados como se muestra en la **FIGURA 3.2.d.** y debe ser instalada cada 100 anillos colocados.

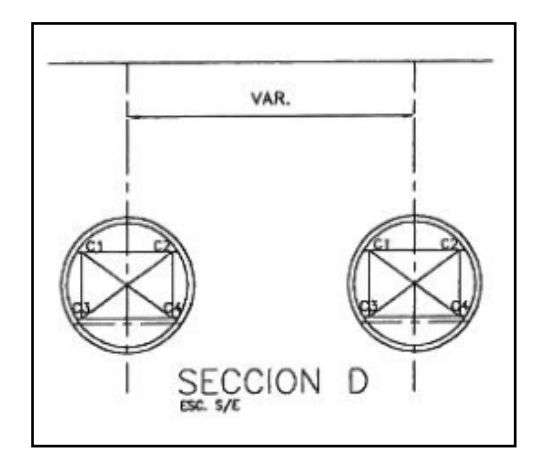


FIGURA 3.2.d.: Sección tipo "D".

Fuente: (FIGUEIREDO FERRAZ, Odebrecht, & C.A. Metro de Caracas, 2010)

3.3. Proceso de obtención, presentación e interpretación de las lecturas de instrumentación. (Dunnicliff, 1993).

3.3.1. Obtención de las lecturas de instrumentación.

La responsabilidad de la recolección de los datos de instrumentación debe ser establecida en la etapa de proyecto y, preferiblemente, debe recaer sobre la proyectista o sobre especialistas contratados por la misma. Estos especialistas son, regularmente, técnicos o ayudantes de ingenieros bajo la supervisión de un ingeniero geotécnico. Deben ser personas con cualidades como confiabilidad, habilidades mecánicas, eléctricas y computacionales, detallistas, experiencia en geotecnia y un alto grado de motivación.

En caso de que las lecturas se realicen manualmente (nuestro caso), estas podrán ser plasmadas ya sea en un libro o en planillas prediseñadas por los especialistas para cada proyecto e instrumento específico. Estas planillas contienen las lecturas hechas anteriormente para así poder ser comparadas y realizar las observaciones pertinentes. Los especialistas recomiendan el uso de planillas prediseñadas para evitar que en caso de daño o pérdida de las mismas sea menos grave que si se perdiera un libro de lecturas.

Las planillas de recolección de datos deben contener nombre y tipo de la instrumentación, espacios para fecha, hora, nombre del observador, unidades de lectura, número de instrumento, lecturas, observaciones, entre otras cosas a consideración del especialista.



3.3.1.1. Lecturas iniciales.

La mayoría de las lecturas de instrumentación son referenciales a una lectura inicial y las conclusiones propuestas por los ingenieros están basadas en las diferencias de las lecturas que se realizan con la tomada inicialmente.

Algunos instrumentos, necesitan algunos días para estabilizarse luego de realizada su instalación. Es por ello, que la instrumentación debe ser instalada con el mayor tiempo de anticipación posible antes de que sean afectados por el proceso constructivo. Después de asegurar la estabilidad de los mismos, se procede a realizar las lecturas iniciales. Normalmente se deben realizar dos lecturas inmediatamente después de la instalación, esto como parte de la prueba de aceptación, luego se realizarán lecturas diarias hasta obtener un valor estable.

3.3.1.2. Frecuencia de la toma de lecturas.

La frecuencia de la toma de lecturas está directamente relacionada con el tipo de obra que se esté ejecutando, la rata de variación de las variables medibles y con los requerimientos para la interpretación de los datos. Una alta cantidad de lecturas sobrecarga la capacidad del proceso de interpretación, mientras que una escasez de lecturas puede traer graves consecuencias tales como el no conocimiento de un determinado evento y la tardía actuación ente el mismo.

Cuando una construcción comienza y se determina la localización de la instrumentación las lecturas se deben comenzar a tomar inmediatamente con el intervalo considerado por los especialistas. Es recomendable disminuir el intervalo de tiempo entre lecturas cuando ocurran lluvias severas y aumentarlo cuando el área de construcción se aleje del instrumento o se culmine la obra.

El proceso de toma de lecturas necesita ser dividido en dos categorías: la que depende de la construcción y la que depende del tiempo. Un cronograma preliminar de toma de lecturas debe ser desarrollado durante la etapa de diseño en base al personal y la accesibilidad disponible. Este cronograma preliminar debe asumir una frecuencia de lectura máxima, es decir, la más favorable, para que una vez que el proceso constructivo comience las frecuencias puedan ser optimizadas con mayor criterio.

La frecuencia de la toma de lecturas en las secciones estructurales viene dada por un patrón establecido previamente por la Contratista Constructora. A continuación se presenta una figura ilustrativa de dicho patrón:





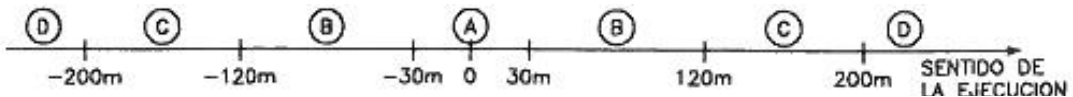


FIGURA 3.3.1.2.: Frecuencia de toma de lecturas.

Fuente: (FIGUEIREDO FERRAZ, Odebrecht, & C.A. Metro de Caracas, 2010)

El patrón representado en la figura anterior, indica que en las secciones del tramo A, donde se incluye el frente de excavación, se deben realizar lecturas dos veces por día. En las secciones comprendidas en el tramo B, a una distancia de entre 30 - 120 metros del frente de excavación se deben realizar lecturas una vez por día. Las contenidas en el tramo C, a una distancia de entre 120 - 200 metros del frente de excavación, se realizarán lecturas tres veces por semana y, por último, las secciones ubicadas a más de 200 metros de distancia del frente, aquellas comprendidas en el tramo D, se deberá tomar una lectura por mes.

Como observación, se acota que se podrán definir frecuencias de lecturas diferentes de las estipuladas en función de los resultados que se vayan obteniendo.

3.3.2. Presentación de las lecturas de instrumentación.

El primer objetivo de la presentación de las lecturas de instrumentación es proveer una manera rápida de detectar cambios en las lecturas que requieran acciones inmediatas. El segundo objetivo es resumir y presentar los datos de manera de mostrar tendencias para compararlas con los comportamientos esperados.

3.3.3. Interpretación de las lecturas de instrumentación.

Los pasos de la primera etapa de interpretación de las lecturas son básicamente dos: la muestra de los resultados en campo y el examen que se realiza correctamente en la oficina que es donde se detectan los cambios que pueden requerir alguna acción a tomar. Posteriormente se realizan análisis más exhaustivos en los cuales se relacionan los resultados con otros factores y se estudia la diferencia de la tendencia con relación al comportamiento esperado.

Cuando se da el caso en el que la primera lectura no parece razonable, existe la posibilidad de rechazar la misma y realizar una nueva. Sin embargo, todos los datos son reales y pueden darnos importantes mensajes.

Luego de que se haya realizado el análisis completo de todos los datos obtenidos se debe presentar un informe al personal responsable.



3.3.4. Posibles errores en las mediciones.

Según lo establecido por Brescia y Pereira (2002), a la hora de la toma de lecturas se pueden presentar dos tipos de errores: sistemáticos y aleatorios. Los sistemáticos son aquellos que serán inevitables en la realización de mediciones con ciertos instrumentos, generalmente se trata de predecir la ocurrencia de este tipo de errores. Estos errores pueden ser considerados en los análisis de los datos y ser incluidos en la incertidumbre de dicho análisis.

Los errores aleatorios son más difíciles de erradicar porque pueden ocurrir o no, y su magnitud también puede variar. Algunos errores frecuentes de este tipo son los que se indican a continuación:

- Intercambio de los datos de la medición de dos o más instrumentos: Ocurre durante el registro de los datos si las planillas no están bien diseñadas, o si los instrumentos no están bien identificados en campo.
- Errores de tipeo: Generalmente ocurre con los números, cuando se golpea una tecla adyacente a la del número que se quería escribir, o por inversión de dígitos en la escritura manual.
- Lecturas erróneas: Si la persona encargada de las lecturas pierde la concentración por un momento y trascribe de manera equívoca la lectura.
- Desconocimiento: por parte del operario, de aspectos técnicos del equipo de medición.

La única manera de mitigar los errores aleatorios es mediante una revisión con criterio profesional especializado. Así se podrían detectar valores anormales y en ocasiones identificar la causa de los mismos.

También están los tipos de errores humanos fortuitos, como los siguientes:

- Medición incorrecta de instrumentos: Si para ahorrar tiempo se acelera la medición, no se calibra el equipo, se impide que se estabilicen los parámetros, o se resta precisión, es un error adrede.
- Invención de lecturas: Incluye la medición de un instrumento "desde la oficina", y se caracteriza por la "copia" de lecturas anteriores con pequeñas variaciones.

3.4. Instrumentación utilizada en el tramo de túneles gemelos comprendido entre la estación Chuao y la estación Bello Campo de la Línea 5 del Metro de Caracas.

El sistema de instrumentación geotécnica que se adopto antes de la excavación de los túneles gemelos de cada tramo de la Línea 5 del Metro de Caracas está basado en los estudios de suelos y de las características de las obras, realizados por la proyectista.

La Fase I del Proyecto Línea 5 del metro de Caracas posee un proyecto de instrumentación distribuido de la siguiente manera (Ver **ANEXO-2**):



FASE I Proyecto Línea 5 - Metro de Caracas								
Ubicación de Instrumento (Ins.)	N° de Ins.							
Macizo	1500							
Edificaciones linderas	2000							
Interior de Túneles Escudo	300							

TABLA 3.4.: Distribución de la Instrumentación en el alineamiento.

Fuente: Autores

Estas instalaciones de instrumentos geotécnicos son necesarias para garantizar que los asentamientos ocurridos estén conformes con las memorias de cálculo correspondientes y con esto mitigar riesgos durante las excavaciones. Adicionalmente se requiere la obtención de un catastro de edificaciones circunvecinas a las obras, cuyo estado de conservación a su vez también ha sido previamente evaluado.

Considerando la magnitud de la obra y la zona urbana densamente poblada el plan de instrumentación consiste en los siguientes procesos de medición:

- **3.4.1.** Nivelación de precisión con nivel y placa plano paralela (NPPP): Dentro de este grupo se encuentran las mediciones para la determinación de asentamientos de los puntos superficiales, tasómetros y pernos para medir asentamientos o pernos fijos colocados en las edificaciones aledañas. Estas mediciones se realizan sea para la construcción de túneles escudos con máquinas tuneladoras (*TBM*) y túneles mineros.
- **3.4.2. Mediciones de los niveles freáticos**: durante la construcción de túneles tipo escudo y túneles mineros.
- **3.4.3. Mediciones de convergencia**: en las costillas de los túneles mineros, y durante la colocación de los anillos de concreto prefabricado en los túneles escudo.
- **3.4.4.** Mediciones de desplazamientos horizontales: con inclinómetros, únicamente en los fosos y en los túneles mineros.

Para el presente Trabajo Especial de Grado se reflejaran las lecturas de la instrumentación desde la progresiva 23+490 a la 23+990, correspondiente al tramo denominado "VP03" que va desde Chuao a Bello Campo (excluyendo los cuerpos de sus estaciones construido con tuneladoras con escudo de frente balanceado (TBM-EPBs).

A continuación de describe con mayor detalle el plan de instrumentación correspondiente a cada procedimiento de medición ya mencionado:



3.4.1. Nivelación de precisión con nivel y placa plano paralela (NPPP).

Consiste en la medición de las variaciones de cota (metros sobre el nivel del mar, msnm) y posicionamiento (progresiva) de los puntos instrumentados, tomando como origen de referencia un punto ubicado estratégicamente que no sufrirá variaciones durante la excavación de los túneles y llamado "Bench Mark" (BM), del cual se conoce con exactitud sus coordenadas. Los puntos o pernos de medición colocados en las estructuras, también se conocen como pernos para medir asentamientos o pernos fijos.

Este proceso es usado, en su mayoría, en excavaciones ubicadas en áreas urbanas y nos permite llevar un control de los asentamientos y/o levantamientos que se producen en la superficie (puntos o marcos superficiales), a mayores profundidades (tasómetros) y en las fundaciones de los edificios (pernos fijos).

3.4.1.1. Tipos de Instrumentación utilizados para la nivelación de precisión con nivel placa plano paralela en el tramo Chuao - Bello Campo de la Línea 5 del Metro de Caracas.

A continuación se describen los instrumentos instalados a lo largo del tramo en estudio y edificaciones. (Pérez, 2002):

Puntos o Marcos Superficiales: Estos dispositivos son utilizados para la medición de asentamientos superficiales. Están constituidos por una chapa cuadrada de acero de 200 milímetros (mm.). de lado, con espesor de 10 milímetros, con un tubo galvanizado de diámetro 3/4 pulgadas y largo en torno a 30 centímetros (cm.) soldado de topo en su centro. La otra extremidad está acabada con una costilla esférica de latón o dispositivo equivalente para apoyo de la mira (Ver **FIGURA 3.4.1.1.a.**).

Las placas están instaladas en pozos rasos, cuadrados, con 30cm. de lado y profundidad de 50cm. En los casos donde la colocación es sobre pavimento con espesor a 40cm., estas dimensiones son aumentadas proporcionalmento. La placa es ser colocada en el pozo y enterrado 20cm. con el propio material excavado, compactado cuidadosamente. El relleno del pozo está ser completado con suelo desbastado.

El acabado de la instalación se realiza con concreto rellenando el espacio en torno del tubo PVC de 150mm. de diámetro, o la caja donde fuere necesario.



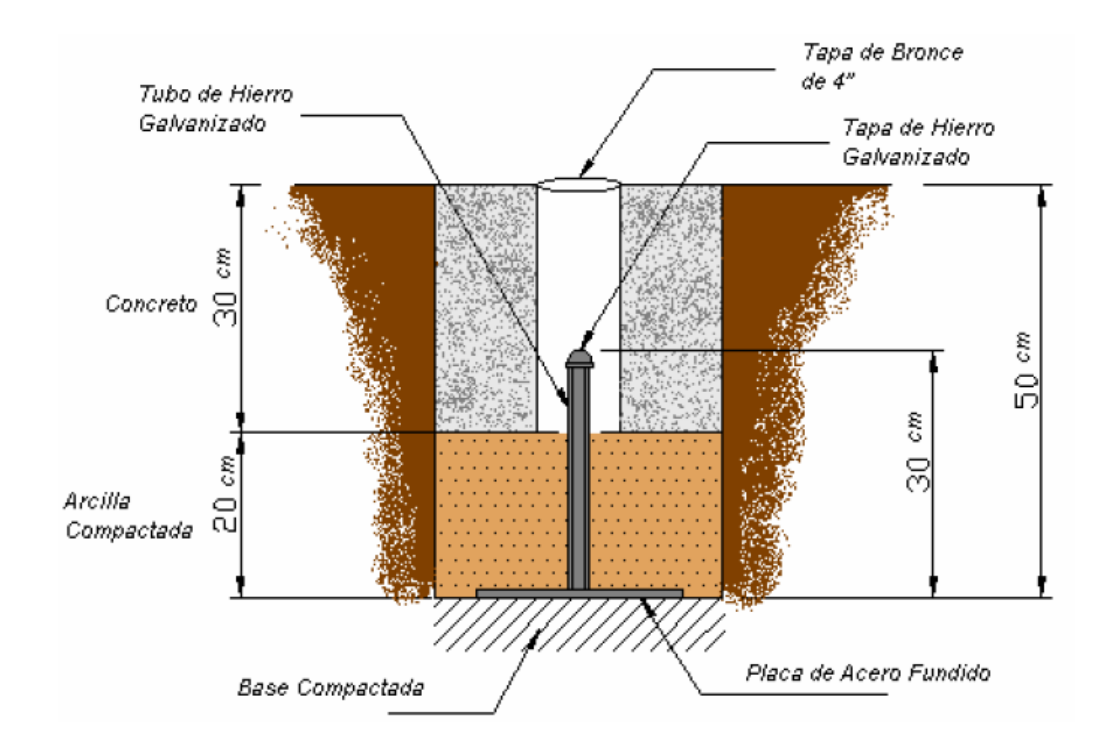


FIGURA 3.4.1.1.a.: Esquema de instalación de una placa de asentamiento.

Fuente: (Guillen, C.A. Metro de Caracas, & Odebrecht)



FIGURA 3.4.1.1.b.: Protección superficial de una placa de asentamiento.

Fuente: Autores



Tasómetros: Estos dispositivos son utilizados para la medición de asentamientos a mayor profundidad, en las cercanías de los túneles. Tal como es el caso de los puntos superficiales, también se utilizan en ambos métodos constructivos *TBM* y minero.

Los asentamientos son transmitidos a la superficie por un asta metálica constituida por un tubo de acero galvanizado de 1 pulgada (Ver **FIGURA 3.4.1.1.c.**). Estas astas tienen agujeros en el trecho de 50cm. junto a la punta. El restante del tubo, roscado en segmentos, está cubierto se encuentra protegido con una capa grafitada anticorrosiva. En el fondo del agujero, el asta se encuentra clavada 25cm. y anclada en la posición, con aproximadamente 1,5 litros de lechada (con factor A/C = 0.5) vertida por su interior. La extremidad superior del asta interna debe disponer de una costilla esférica de latón o dispositivo similar para apoyo de la mira.

El agujero para instalación es ejecutado con equipos y técnicas de perforación usuales para sondas a percusión o rotativa, en el diámetro 2 pulgadas (") y media. Los primeros 3 metros son ejecutados con taladro rotativo.

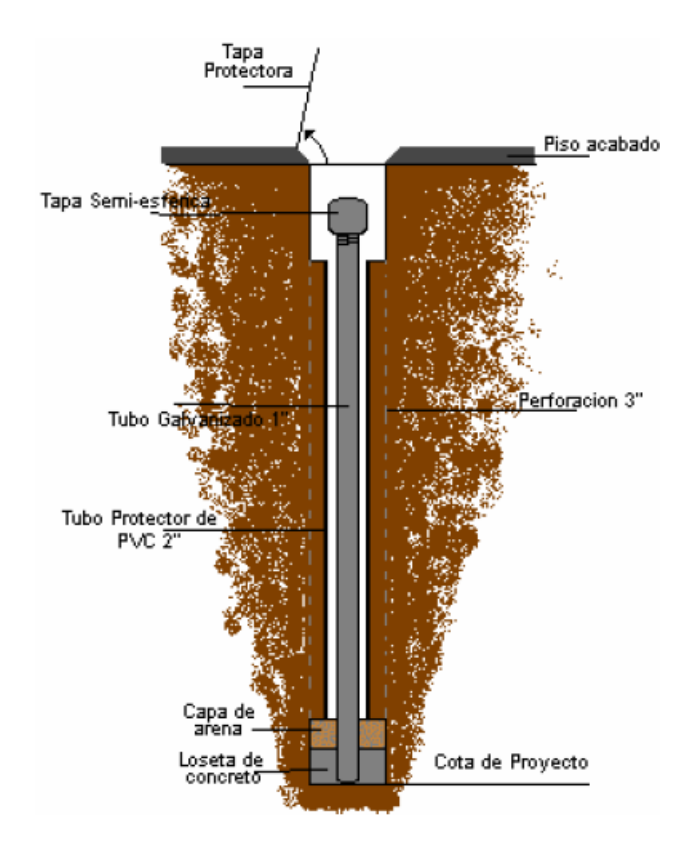


FIGURA 3.4.1.1.c.: Esquema de instalación de un tasómetro.

Fuente: (Guillen, C.A. Metro de Caracas, & Odebrecht)



Pernos para medir asentamientos o pernos fijos: Estos dispositivos se utilizan para la medición de asentamientos en estructuras y edificaciones de concreto, de albañilería o metálicas.

Los pernos fijos son constituidos por un soquete de latón de 30mm. de largo y diámetro interno de 1/2", soldado a un perno de acero 1/2" de diámetro y 80mm de largo. Están instalados en la horizontal en un agujero de 32mm. de diámetro, a una altura ideal de 60cm.

Según Pérez (2012) el perno está instalado con la tapa de protección de latón, en un agujero de 12cm. de profundidad, ejecutado en la estructura a ser instrumentada con broca o buril. El dispositivo se encuentra totalmente embutido en el acabado de la pieza, sin resalto aparente.

Para la realización de la lectura se acopla un perno prolongador de 12cm. de largo (Ver **FIGURA 3.4.1.1.d.**), dotado de apoyo esférico para mira. Para aplicaciones específicas, podría ser utilizado un encaje rápido para cinta graduada de acero.

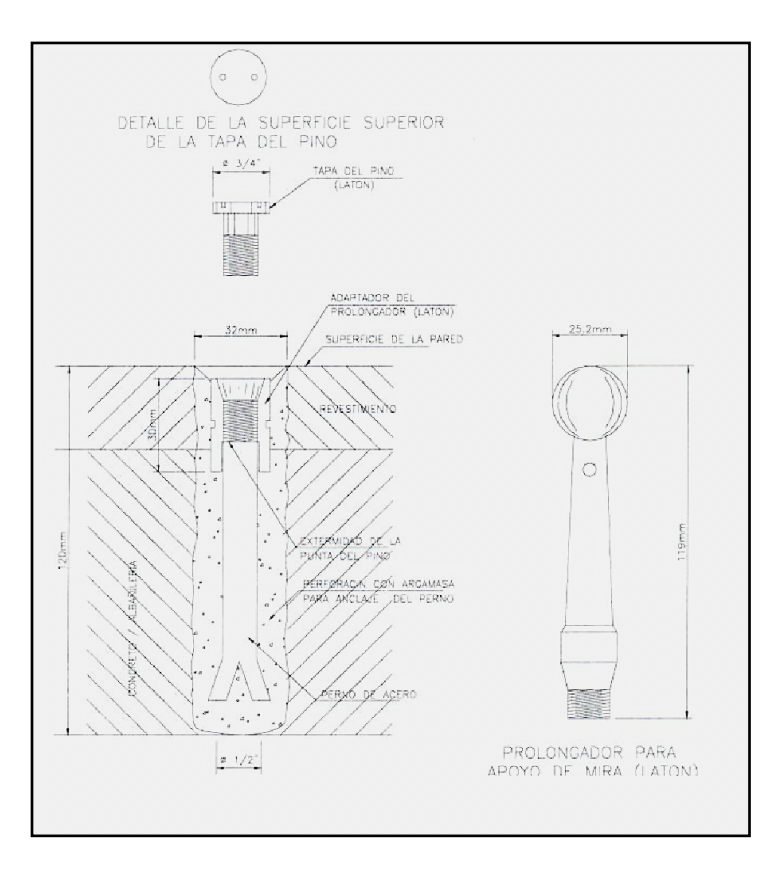


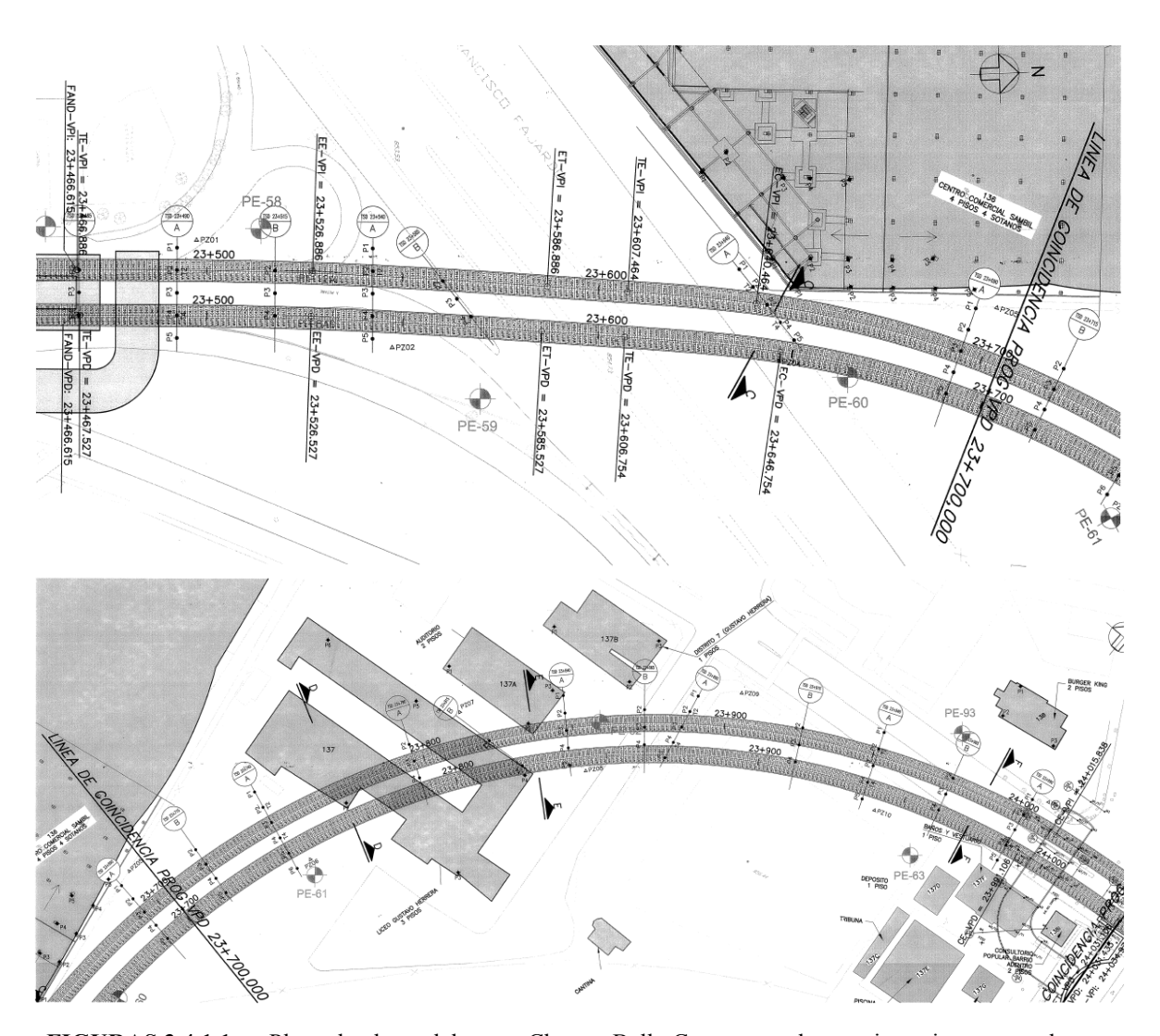
FIGURA 3.4.1.1.d.: Esquema de instalación de un pino o perno de asentamiento. S/ESC.

Fuente: (Guillen, C.A. Metro de Caracas, & Odebrecht)



Bench Mark: Estos dispositivos, simplemente, son puntos de cota fija que se colocan fuera del área de influencia de las excavaciones y son utilizados como referencia. La localización de los agujeros para "Bench Mark" (BM) podrá ser optimizada en el local, manteniéndose fuera de la influencia de las excavaciones y actividades de la obra.

Se encuentran colocados en terreno firme (SPT >50) y a una profundidad no menor de 6 metros para evitar deformaciones causadas por agentes externos. Se encuentran protegidos por un tapón de acero roscado.



FIGURAS 3.4.1.1.e.: Plano de planta del tramo Chuao - Bello Campo, con las secciones instrumentales instaladas y sus progresivas. S/ESC.

Fuente: ANEXO-2



3.4.1.2. Procedimiento utilizado para la nivelación con precisión con NPPP.

- 1. Se partirá de un punto de inicio denominado BM, el cual tiene una cota conocida.
- 2. Esta lectura inicial se denomina cota de ojo
- 3. Luego se pasa la mira por todos los puntos de interés.
- 4. Con el uso del nivel complementado con el plano paralelo se tomarán las lecturas de cada punto.

Para el procedimiento de toma de lecturas se utiliza un nivel topográfico complementado con la placa plano paralela (Ver FIGURA 3.4.1.2.).



FIGURA 3.4.1.2.: Nivel topográfico con plano placa paralela.

Fuente: Autores

La mira utilizada para la lecturas es una mira invar. Esta lleva su nombra gracias al metal del cual está compuesta, el Invar. Esta es una aleación de hierro (64%) y níquel (36%) con muy poco carbono y algo de cromo. Posee un coeficiente de dilatación muy pequeño, por ello, es muy común su uso para la elaboración de instrumentos para medir longitudes en topografía.

Procedimiento para la toma de lectura

- Se centrara el hilo medio o las diagonales colimando el tornillo de tal forma, que las diagonales queden tangentes a la horizontal; definiendo los dígitos enteros de la lectura. Ej. 95, ____





- En la parte superior izquierda del nivel, se colimara hasta centrar la línea horizontal o hilo medio, luego se pasara a leer los dígitos que coincidan con la línea horizontal. Ej. 95, 845



- Se repetirá el paso anterior para tener dos lecturas y a partir de ellos sacar un promedio.



3.4.2. Medición de niveles freáticos.

Los niveles freáticos son medidos, a lo largo del tramo de túneles gemelos mediante el uso de instrumentos llamados piezómetros. En el caso de la construcción de la Línea 5 es de suma importancia el control de dichos niveles debido a la cercanía de la obra al Río Guaire y otros cauces. Al tener estos niveles se puede regular de forma eficiente la presión del frente de excavación y de las inyecciones de mortero ("grout)" en los anillos instalados.

A continuación se describe el instrumento antes nombrado:

Piezómetros: Constan de un tubo de PVC o hierro galvanizado con diámetro mínimo de 1.5 a 2" instalados en agujeros, previamente abiertos, de 4" de diámetro. Estos agujeros suelen ser ejecutados por circulación de agua limpia.

Los tubos poseen perforaciones de 1/2" de diámetro cada 4cm. Sobre el tubo se encuentra una maya protectora de nylon de 0.6mm. y en la parte inferior del tubo se ubica un tubo cerrado de 0.5 a 1.0m. de largo, para la sedimentación de las partículas finas que penetren las aberturas y para facilitar la limpieza interna.

El espacio entre el tubo y la pared del agujero, se encuentra relleno con material filtrante. La composición granulométrica de este material es seleccionada según el uso de los criterios de filtros de Terzaghi, utilizándose las curvas granulométricas de los extractos definidos por el sondeo existente.



Arriba del material filtrante se ubica una capa de entre 30 y 50cm. de arena fina, arriba de ella una cobertura de bentonita granular de por lo menos 2.0m. Este último material forma un sello impermeable alrededor del tubo. Encima de todo lo nombrado anteriormente se enrasa el entorno del tubo con arcilla compactada.

Las bocas de los piezómetros se encuentran equipadas y protegidas con una válvula de y una tapa de rosca. Además, para protección contra accidentes y usos indebidos, cada piezómetro debe ser protegido con una caja metálica a nivel de la calle, resistente al tráfico pesado y debidamente cerrada (Ver **FIGURA 3.4.2.**).

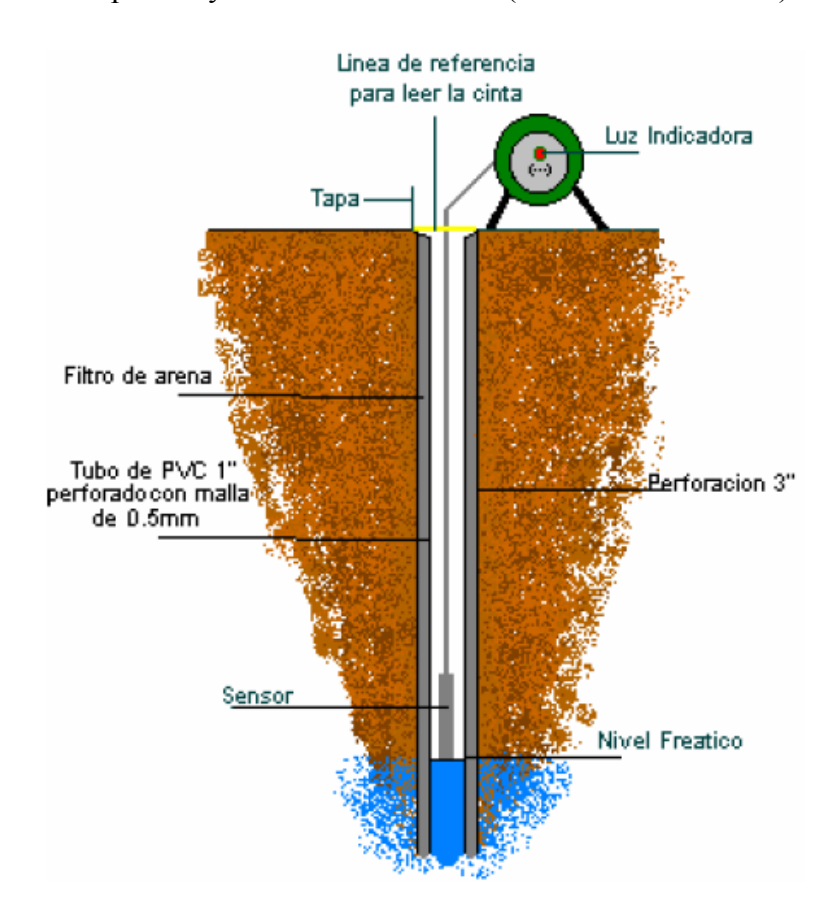


FIGURA 3.4.2.: Esquema de instalación de un piezómetro.

Fuente: (Guillen, C.A. Metro de Caracas, & Odebrecht)



3.4.3. Mediciones de convergencia.

La convergencia es causada por las presiones del suelo que rodea a la estructura, las cuales generan solicitaciones sobre el revestimiento del túnel que en ocasiones pueden generar el cerramiento de la excavación poniendo en peligro el desarrollo de la obra y la vida de quienes en ella laboran.

Las presiones más considerables que sufren las dovelas son aquellas transmitidas por el macizo apenas colocada la misma, lo que sugeriría que se debería instrumentar siempre el frente de excavación para monitorear estas importantes deformaciones, pero a causa de procedimiento constructivo se hace muy difícil la instrumentación de estos elementos de soporte. De aquí que se deban instrumentar costillas que se encuentren a una distancia prudente de frente de avance teniendo así como resultado un control de la estabilización del macizo sobre el elemento estructural lo que trae como consecuencia lecturas de deformaciones de un orden menor a las que se pudiesen haber obtenido en el frente de excavación (Brescia, 2002).

3.4.3.1. Implementación de la instrumentación utilizada para la medición de convergencia en túneles gemelos.

La instrumentación utilizada para la medición de convergencia en túneles consta de un conjunto de "anillos" de acero prefabricados (Ver FIGURA 3.4.3.1.a.) dispuestos en el contorno de cada túnel (Ver FIGURA 3.4.3.1.b.). Dichos anillos son usados para la fijación del equipo de medición (cinta extensométrica).

Las lecturas son realizadas con resolución de 0.01 milímetros precisión de 0.1 milímetros. Los procedimientos de calibración y corrección son realizados como mínimo al inicio y al final de los turnos de trabajo o cambio de operador, usándose la media para corrección de las lecturas.



FIGURA 3.4.3.1.a.: Anillos de acero prefabricados.

Fuente: Autor





FIGURA 3.4.3.1.b.: Distribución de los anillos en la sección del túnel.

Fuente: (FIGUEIREDO FERRAZ, Odebrecht, & C.A. Metro de Caracas, 2010)

3.4.3.2. Equipo utilizado para medir convergencias.

El instrumento utilizado para la toma de las medidas de convergencia, es una cinta extensométrica de la casa "*Geokon*" (Ver **FIGURA 3.4.3.2.a.**). Este aparato está diseñado para medir distancias relativas entre dos puntos.



FIGURA 3.4.3.2.a.: Cinta extensométrica modelo 1610, precisión \pm 0.1 milímetros.

Fuente: (Geokon)

Este aparato consiste esencialmente de una cinta de acero inoxidable con agujeros en intervalos regulares con un gancho al final de la cinta y otro en el extremo posterior del aparato. Un pin en el extremo interno del aparato está diseñado para que se enganche en uno de los agujeros de la cinta y así poder dar la tensión correcta para medir.

La cinta extensométrica lograra la tensión adecuada mediante la rotación de una manija y la ayuda de un dispositivo de tensión electrónico, hasta que la luz indicadora de color verde encienda (Ver FIGURA 3.4.3.2.b.) en ese momento el micrómetro digital dará una lectura correcta.





FIGURA 3.4.3.2.b.: Cinta extensométrica. Luz indicadora de lectura correcta.

Fuente: Autores

3.4.3.3. Procedimiento para la toma de mediciones.

- 1. Fijar el gancho de la cinta a uno de los anillos.
- 2. Colocar el pin en el agujero de la cinta correspondiente a la distancia.
- 3. Fijar el gancho posterior del equipo al anillo opuesto.
- 4. Mediante la manija rotatoria lograr la tensión adecuada, la cual viene dada al encenderse la luz verde del equipo.

observaciones:

- Si se enciende la luz roja, debe repetirse el proceso de tensión.
- El lado donde se coloque el indicador debe ser el mismo para todas las mediciones en ese anillo, para evitar distorsiones en las lecturas.



CAPITULO 4. RESULTADOS.

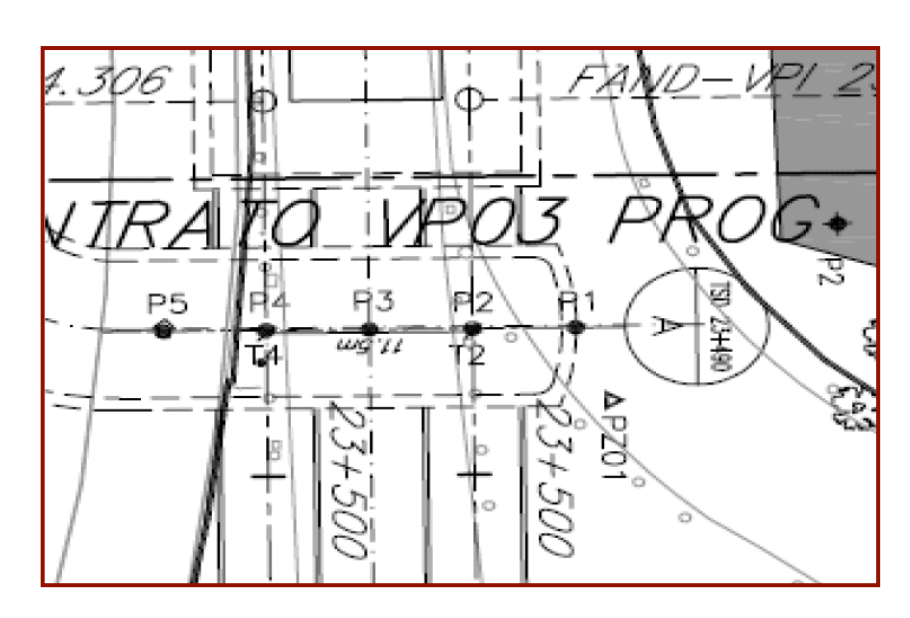
4.1. Nivelación de precisión con nivel y plano placa paralela (NPPP).

A continuación se presentan las lecturas del proceso de nivelación obtenidas mediante la instrumentación empleada en la Fase I del Proyecto Línea 5. Estas lecturas fueron proporcionadas por el personal de la C.A. Metro de Caracas.

4.1.1. Nivelación de secciones.

SEC: 23+490

Puntos superficiales y tasómetros



	ACTIVIDAD EN OBRA								
1	20/8/2012 Los valores iniciales de la instrumentacion								
2	5/10/2012	PASO S431							

FIGURA 4.1.1.a.: Ubicación de la sección tipo "A" en la progresiva 23+490 del alineamiento Proyecto Línea 5.

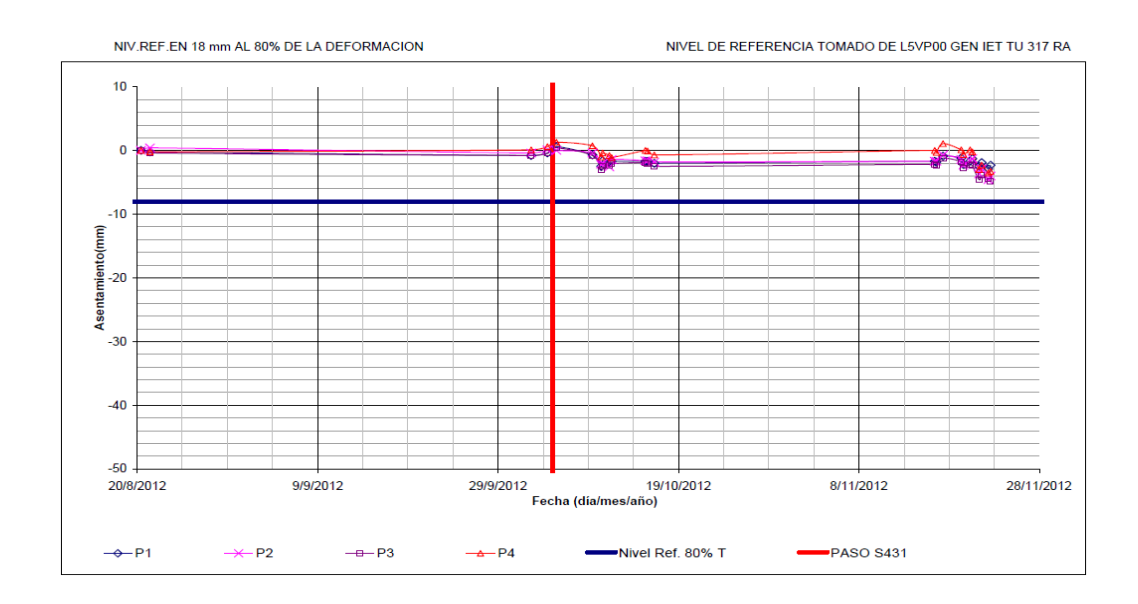


Seguimiento Instrumental Geotécnico para controlar riesgos en la construcción de túneles tipo escudo del tramo Foso UNEFA-Estación Bello Campo del Proyecto Línea 5 Metro de Caracas

P1					P2					P3					P4				
-					12														
Jornada	Fecha	Hora	Deformación Acumulada	Dato	Jornada	Fecha	Hora	Deformación Acumulada	Dato	Jornada	Fecha	Hora	Deformación Acumulada	Dato	Jornada	Fecha	Hora	Deformación Acumulada	Dato
1	20-08-12	10:00	0,0	852,5474	1	20-08-12	10:00	0,0	852,7995	1	20-08-12	10:00	0,0	852,6915	1	20-08-12	10:00	0,0	852,9012
2	21-08-12	10:00	-0,2	852,5472	2	21-08-12	10:00	0,4	852,7999	2	21-08-12	10:00	-0,4	852,6911	2	21-08-12	10:00	-0,2	852,9010
3	02-10-12	16:00	-0,8	852,5466	3	02-10-12	16:00	-0,4	852,7991	3	02-10-12	16:00	-0,4	852,6907	3	02-10-12	16:00	0,1	852,9013
4	04-10-12	11:00	-0,4	852,5470	4	04-10-12	11:00	0,1	852,7996	4	04-10-12	11:00	0,3	852,6910	4	04-10-12	11:00	0,6	852,9018
5	05-10-12	11:00	0,6	852,5480	5	05-10-12	11:00	0,0	852,7995	5	05-10-12	11:00	0,9	852,6919	5	05-10-12	11:00	1,3	852,9025
6	09-10-12	11:00	-0,7	852,5467	6	09-10-12	11:00	-0,4	852,7991	6	09-10-12	11:00	-1,2	852,6907	6	09-10-12	11:00	0,7	852,9019
7	10-10-12	10:00	-2,5	852,5449	7	10-10-12	10:00	-2,2	852,7973	7	10-10-12	10:00	-2,3	852,6884	7	10-10-12	10:00	-1,0	852,9002
8	10-10-12	14:00	-1,6	852,5458	8	10-10-12	14:00	-2,0	852,7975	8	10-10-12	14:00	0,6	852,6890	8	10-10-12	14:00	-0,4	852,9008
9	11-10-12	8:00	-1,8	852,5456	9	11-10-12	8:00	-2,6	852,7969	9	11-10-12	8:00	0,2	852,6892	9	11-10-12	8:00	-0,8	852,9004
10	11-10-12	14:00	-1,7	852,5457	10	11-10-12	14:00	-1,4	852,7981	10	11-10-12	14:00	0,2	852,6894	10	11-10-12	14:00	-1,1	852,9001
11	15-10-12	8:00	-1,7	852,5457	11	15-10-12	8:00	-1,6	852,7979	11	15-10-12	8:00	0,2	852,6896	11	15-10-12	8:00	0,0	852,9012
12	15-10-12	14:00	-1,7	852,5457	12	15-10-12	14:00	-1,6	852,7979	12	15-10-12	14:00	-0,2	852,6894	12	15-10-12	14:00	-0,1	852,9011
13	16-10-12	8:00	-2,0	852,5454	13	16-10-12	8:00	-1,8	852,7977	13	16-10-12	8:00	-0,4	852,6890	13	16-10-12	8:00	-0,7	852,9005
14	16-11-12	10:00	-1,7	852,5457	14	16-11-12	10:00	-1,7	852,7978	14	16-11-12	10:00	0,3	852,6893	14	16-11-12	10:00	0,0	852,9012
15	16-11-12	14:00	-1,8	852,5456	15	16-11-12	14:00	-1,7	852,7978	15	16-11-12	14:00	-0,1	852,6892	15	16-11-12	14:00	-0,3	852,9009
16	17-11-12	8:00	-0,9	852,5465	16	17-11-12	8:00	-0,7	852,7988	16	17-11-12	8:00	1,1	852,6903	16	17-11-12	8:00	1,1	852,9023
17	19-11-12	8:00	-1,2	852,5462	17	19-11-12	8:00	-1,4	852,7981	17	19-11-12	8:00	-0,6	852,6897	17	19-11-12	8:00	0,1	852,9013
18	19-11-12	14:00	-2,2	852,5452	18	19-11-12	14:00	-2,3	852,7972	18	19-11-12	14:00	-1,0	852,6887	18	19-11-12	14:00	-0,6	852,9006
19	20-11-12	8:00	-1,7	852,5457	19	20-11-12	8:00	-1,6	852,7979	19	20-11-12	8:00	0,6	852,6893	19	20-11-12	8:00	0,1	852,9013
20	20-11-12	14:00	-1,3	852,5461	20	20-11-12	14:00	-1,3	852,7982	20	20-11-12	14:00	-0,2	852,6891	20	20-11-12	14:00	-0,2	852,9010
21	21-11-12	8:00	-2,5	852,5449	21	21-11-12	8:00	-3,7	852,7958	21	21-11-12	8:00	-2,2	852,6869	21	21-11-12	8:00	-3,0	852,8982
22	21-11-12	14:00	-1,9	852,5455	22	21-11-12	14:00	-2,9	852,7966	22	21-11-12	14:00	0,7	852,6876	22	21-11-12	14:00	-2,3	852,8989
23	22-11-12	8:00	-2,9	852,5445	23	22-11-12	8:00	-4,6	852,7949	23	22-11-12	8:00	-0,6	852,6870	23	22-11-12	8:00	-3,5	852,8977
24	22-11-12	14:00	-2,3	852,5451	24	22-11-12	14:00	-4,0	852,7955	24	22-11-12	14:00	-0,4	852,6866	24	22-11-12	14:00	-3,3	852,8979

TABLA 4.1.1.a.: Lecturas de los cuatro puntos superficiales (P1, P2, P3 y P4) tras el paso de la tuneladora S431.



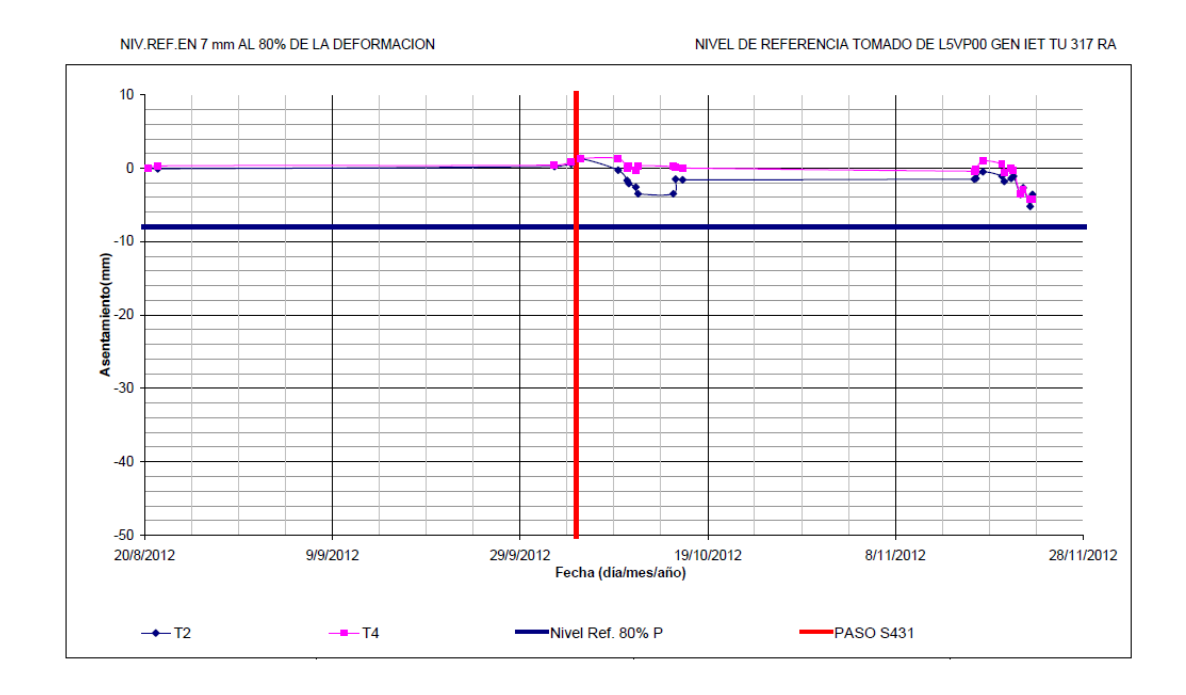


GRAFICA 4.1.1.a.: Asentamientos (mm) contra tiempo (días) en base a las lecturas de los puntos superficiales, tras el paso de la tuneladora S431.

T2					T4				
Jornada	Fecha	Hora	Deformación Acumulada	Dato	Jornada	Fecha	Hora	Deformación Acumulada	Dato
1	20-08-12	10:00	0,0	852,7797	1	20-08-12	10:00	0,0	852,7762
2	21-08-12	10:00	-0,1	852,7796	2	21-08-12	10:00	0,3	852,7765
3	02-10-12	16:00	0,2	852,7799	3	02-10-12	16:00	0,4	852,7766
4	04-10-12	11:00	0,6	852,7803	4	04-10-12	11:00	0,8	852,777
5	05-10-12	11:00	1,3	852,7810	5	05-10-12	11:00	1,3	852,7775
6	09-10-12	11:00	-0,3	852,7794	6	09-10-12	11:00	1,3	852,7775
7	10-10-12	10:00	-1,7	852,7780	7	10-10-12	10:00	-0,1	852,7761
8	10-10-12	14:00	-2,1	852,7776	8	10-10-12	14:00	0,3	852,7765
9	11-10-12	8:00	-2,6	852,7771	9	11-10-12	8:00	-0,3	852,7759
10	11-10-12	14:00	-3,5	852,7762	10	11-10-12	14:00	0,3	852,7765
11	15-10-12	8:00	-3,5	852,7762	11	15-10-12	8:00	0,2	852,7764
12	15-10-12	14:00	-1,5	852,7782	12	15-10-12	14:00	0,1	852,7763
13	16-10-12	8:00	-1,6	852,7781	13	16-10-12	8:00	0,0	852,7762
14	16-11-12	10:00	-1,5	852,7782	14	16-11-12	10:00	-0,4	852,7758
15	16-11-12	14:00	-1,4	852,7783	15	16-11-12	14:00	-0,2	852,776
16	17-11-12	8:00	-0,5	852,7792	16	17-11-12	8:00	1,0	852,7772
17	19-11-12	8:00	-1,1	852,7786	17	19-11-12	8:00	0,5	852,7767
18	19-11-12	14:00	-1,8	852,7779	18	19-11-12	14:00	-0,6	852,7756
19	20-11-12	8:00	-1,4	852,7783	19	20-11-12	8:00	-0,1	852,7761
20	20-11-12	14:00	-1,1	852,7786	20	20-11-12	14:00	-0,3	852,7759
21	21-11-12	8:00	-3,6	852,7761	21	21-11-12	8:00	-3,6	852,7726
22	21-11-12	14:00	-2,7	852,7770	22	21-11-12	14:00	-3,0	852,7732
23	22-11-12	8:00	-5,2	852,7745	23	22-11-12	8:00	-4,3	852,7719
24	22-11-12	14:00	-3,6	852,7761	24	22-11-12	14:00	-4,3	852,7719

TABLA 4.1.1.b.: Lecturas de los dos tasómetros (T1 y T2) tras el paso de la tuneladora S431.



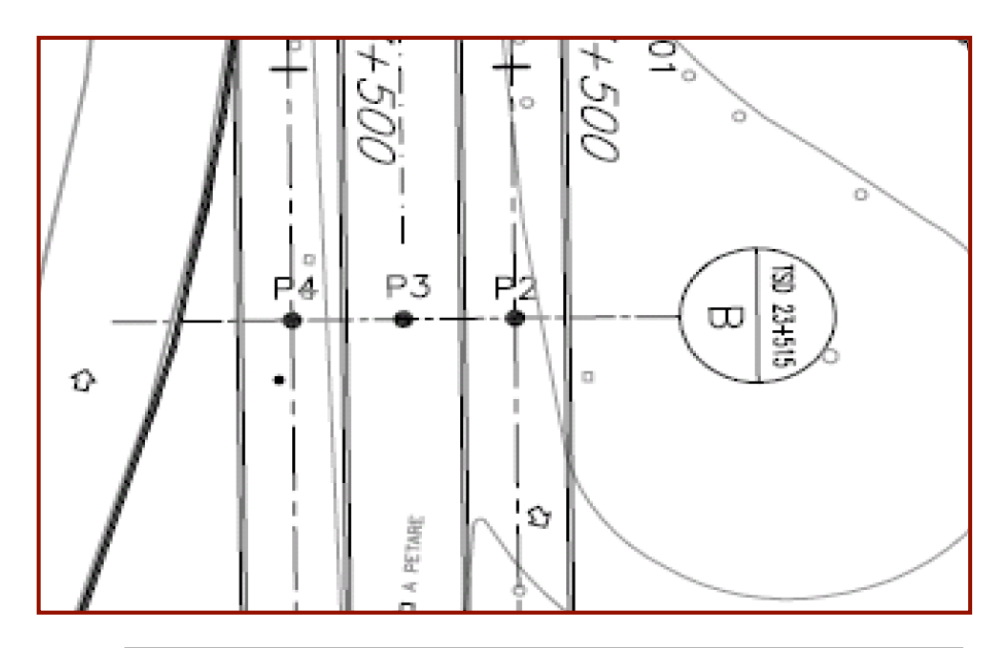


GRAFICA 4.1.1.b.: Asentamientos (mm) contra tiempo (días) en base a las lecturas de los tasómetros, tras el paso de la tuneladora S431.



SEC: 23+515

Puntos superficiales



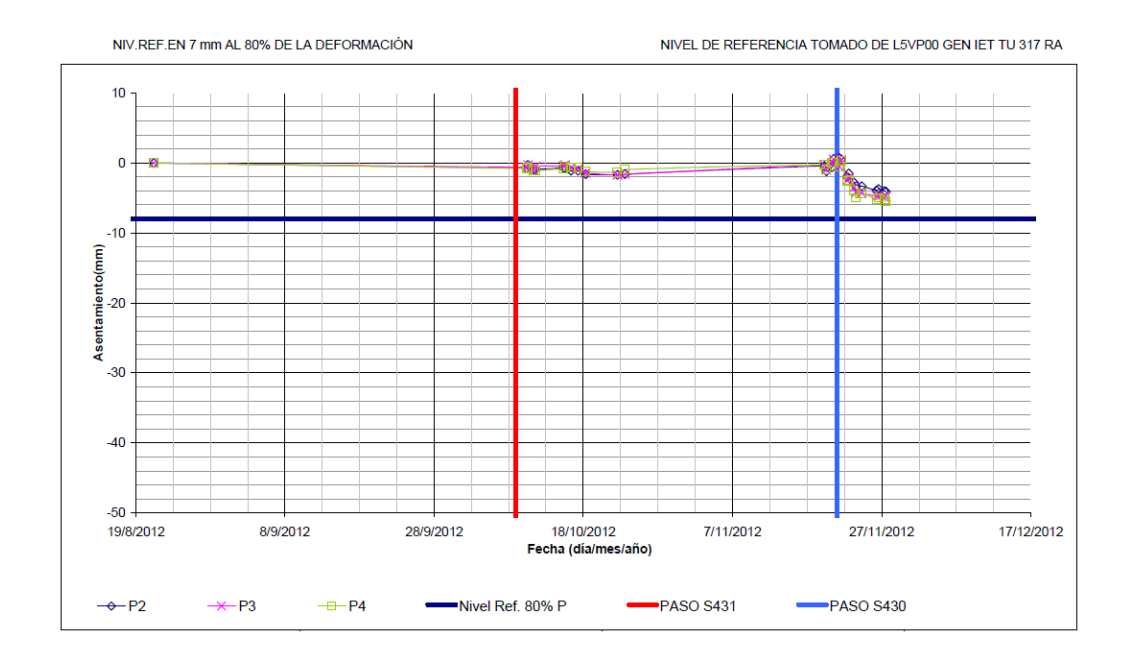
	ACTIVIDAD EN OBRA									
1	20/8/2012 Los valores iniciales de la instrumentacion									
2	9/10/2012	PASO S431								
3	21/11/2012	PASOS430								

FIGURA 4.1.1.b.: Ubicación de la sección tipo "B" en la progresiva 23+515 del alineamiento Proyecto Línea 5.



P2					P3				1	P4				
F 2					F 0					-				
Jornada	Fecha	Hora	Deformación Acumulada	Dato	Jornada	Fecha	Hora	Deformación Acumulada	Dato	Jornada	Fecha	Hora	Deformación Acumulada	Dato
1	21-08-12	10:00	0,0	853,2996	1	21-08-12	10:00	0,0	853,2688	1	21-08-12	10:00	0,0	853,4848
2	10-10-12	10:00	-0,7	853,2989	2	10-10-12	10:00	-0,6	853,2682	2	10-10-12	10:00	-0,8	853,4840
3	10-10-12	14:00	-0,3	853,2993	3	10-10-12	14:00	-0,3	853,2685	3	10-10-12	14:00	-0,7	853,4841
4	11-10-12	8:00	-0,9	853,2987	4	11-10-12	8:00	-1,1	853,2677	4	11-10-12	8:00	-1,1	853,4837
5	11-10-12	14:00	-0,9	853,2987	5	11-10-12	14:00	-0,5	853,2683	5	11-10-12	14:00	-1,1	853,4837
6	15-10-12	8:00	-0,7	853,2989	6	15-10-12	8:00	-0,4	853,2684	6	15-10-12	8:00	-0,8	853,4840
7	15-10-12	14:00	-0,7	853,2989	7	15-10-12	14:00	-0,3	853,2685	7	15-10-12	14:00	-0,5	853,4843
8	16-10-12	8:00	-1,1	853,2985	8	16-10-12	8:00	-0,7	853,2681	8	16-10-12	8:00	-0,7	853,4841
9	17-10-12	8:00	-1,1	853,2985	9	17-10-12	8:00	-0,8	853,268	9	17-10-12	8:00	-0,7	853,4841
10	18-10-12	8:00	-1,6	853,2980	10	18-10-12	8:00	-1,4	853,2674	10	18-10-12	8:00	-1,2	853,4836
11	22-10-12	14:00	-1,7	853,2979	11	22-10-12	14:00	-1,7	853,2671	11	22-10-12	14:00	-1,3	853,4835
12	23-10-12	14:00	-1,6	853,2980	12	23-10-12	14:00	-1,6	853,2672	12	23-10-12	14:00	-0,9	853,4839
13	19-11-12	8:00	-0,4	853,2992	13	19-11-12	8:00	-0,3	853,2685	13	19-11-12	8:00	-0,3	853,4845
14	19-11-12	14:00	-1,2	853,2984	14	19-11-12	14:00	-1,0	853,2678	14	19-11-12	14:00	-1,0	853,4838
15	20-11-12	8:00	-0,6	853,2990	15	20-11-12	8:00	-0,1	853,2687	15	20-11-12	8:00	0,0	853,4848
16	20-11-12	14:00	0,6	853,3002	16	20-11-12	14:00	0,5	853,2693	16	20-11-12	14:00	0,0	853,4848
17	21-11-12	8:00	0,7	853,3003	17	21-11-12	8:00	-0,5	853,2683	17	21-11-12	8:00	-0,5	853,4843
18	21-11-12	14:00	0,5	853,3001	18	21-11-12	14:00	0,4	853,2692	18	21-11-12	14:00	0,3	853,4851
19	22-11-12	8:00	-2,0	853,2976	19	22-11-12	8:00	-2,5	853,2663	19	22-11-12	8:00	-2,6	853,4822
20	22-11-12	14:00	-1,5	853,2981	20	22-11-12	14:00	-2,0	853,2668	20	22-11-12	14:00	-2,5	853,4823
21	23-11-12	8:00	-2,8	853,2968	21	23-11-12	8:00	-3,5	853,2653	21	23-11-12	8:00	-3,9	853,4809
22	23-11-12	14:00	-3,3	853,2963	22	23-11-12	14:00	-4,2	853,2646	22	23-11-12	14:00	-5,0	853,4798
23	24-11-12	8:00	-3,3	853,2963	23	24-11-12	8:00	-4,3	853,2645	23	24-11-12	8:00	-4,3	853,4805
24	26-11-12	8:00	-3,9	853,2957	24	26-11-12	8:00	-4,7	853,2641	24	26-11-12	8:00	-5,2	853,4796
25	26-11-12	14:00	-3,7	853,2959	25	26-11-12	14:00	-4,7	853,2641	25	26-11-12	14:00	-5,0	853,4798
26	27-11-12	8:00	-4,0	853,2956	26	27-11-12	8:00	-4,9	853,2639	26	27-11-12	8:00	-5,2	853,4796
27	27-11-12	14:00	-4,1	853,2955	27	27-11-12	14:00	-4,8	853,264	27	27-11-12	14:00	-5,5	853,4793

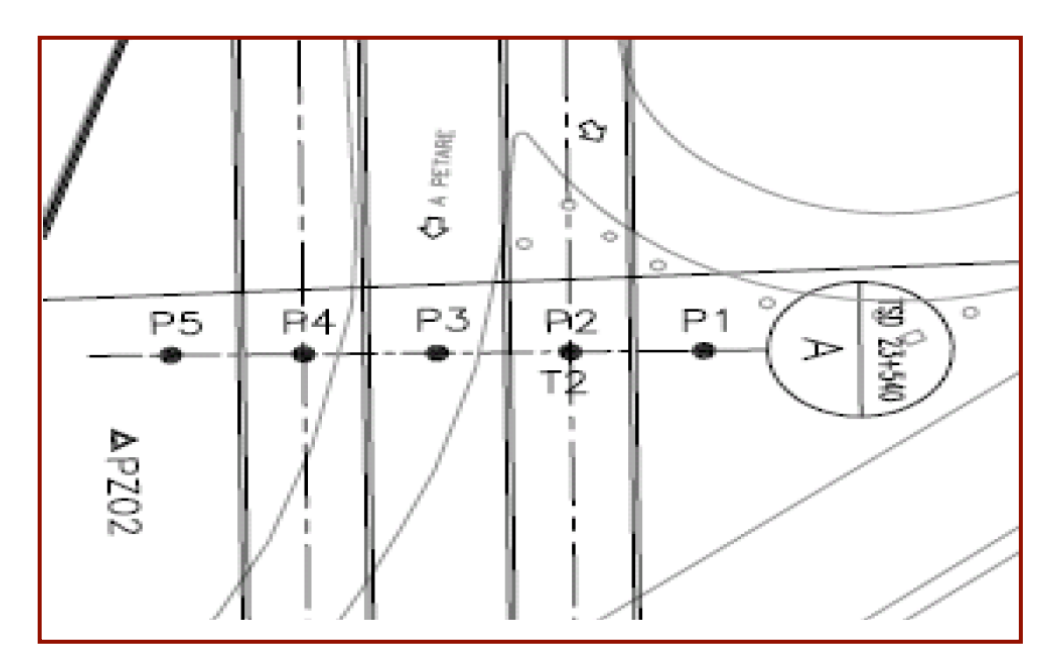
TABLA 4.1.1.c.: Lecturas de los tres puntos superficiales (P1, P2 y P3) tras el paso de la tuneladora S430 y S431.



GRAFICA 4.1.1.c.: Asentamientos (mm) contra tiempo (días) en base a las lecturas de los puntos superficiales, tras el paso de la tuneladora S430 y S431.



SEC: 23+540 Puntos superficiales



		ACTIVIDAD EN OBRA
1	21/8/2012	Los valores iniciales de la instrumentacion
2	10/10/2012	PASO S431
3	22/11/2012	PASO S430

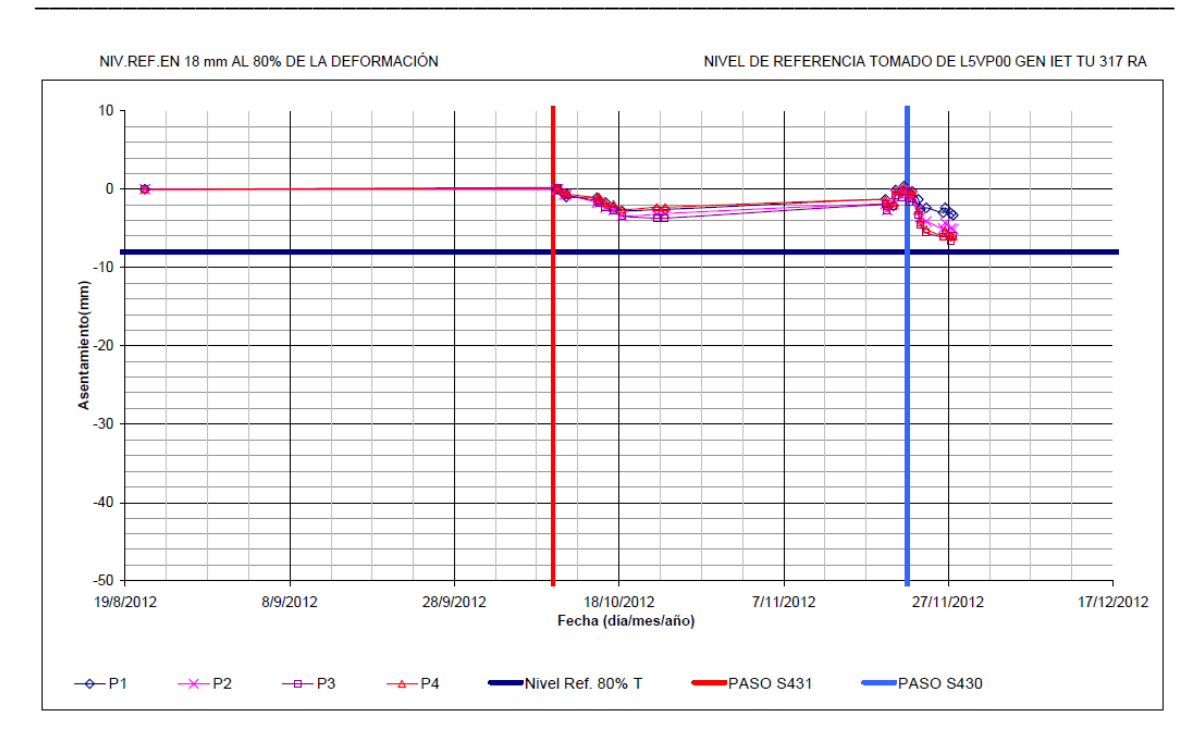
FIGURA 4.1.1.c.: Ubicación de la sección tipo "A" en la progresiva 23+540 del alineamiento Proyecto Línea 5.



P1					P2					P3					P4				
Jornada	Fecha	Hora	Deformación Acumulada	Dato	Jornada	Fecha	Hora	Deformación Acumulada	Dato	Jornada	Fecha	Hora	Deformación Acumulada	Dato	Jornada	Fecha	Hora	Deformación Acumulada	Dato
1	21-08-12	10:00	0,0	854,0761	1	21-08-12	10:00	0,0	854,1111	1	21-08-12	10:00	0,0	853,6769	1	21-08-12	10:00	0,0	853,9407
2	10-10-12	10:00	0,0	854,0761	2	10-10-12	10:00	0,0	854,1111	2	10-10-12	10:00	0,2	853,6771	2	10-10-12	10:00	0,1	853,9408
3	10-10-12	14:00	0,0	854,0761	3	10-10-12	14:00	0,0	854,1111	3	10-10-12	14:00	0,0	853,6771	3	10-10-12	14:00	0,1	853,9408
4	11-10-12	8:00	-0,7	854,0754	4	11-10-12	8:00	-0,7	854,1104	4	11-10-12	8:00	-0,8	853,6763	4	11-10-12	8:00	-0,4	853,9403
5	11-10-12	14:00	-1,0	854,0751	5	11-10-12	14:00	-0,7	854,1104	5	11-10-12	14:00	-0,2	853,6761	5	11-10-12	14:00	-0,6	853,9401
6	15-10-12	8:00	-1,1	854,0750	6	15-10-12	8:00	-1,7	854,1094	6	15-10-12	8:00	-0,7	853,6754	6	15-10-12	8:00	-1,1	853,9396
7	15-10-12	14:00	-1,5	854,0746	7	15-10-12	14:00	-1,7	854,1094	7	15-10-12	14:00	-0,3	853,6751	7	15-10-12	14:00	-1,0	853,9397
8	16-10-12	8:00	-1,7	854,0744	8	16-10-12	8:00	-2,4	854,1087	8	16-10-12	8:00	-0,5	853,6746	8	16-10-12	8:00	-1,7	853,9390
9	17-10-12	8:00	-2,4	854,0737	9	17-10-12	8:00	-2,7	854,1084	9	17-10-12	8:00	-0,4	853,6742	9	17-10-12	8:00	-1,9	853,9388
10	18-10-12	8:00	-2,8	854,0733	10	18-10-12	8:00	-3,4	854,1077	10	18-10-12	8:00	-0,7	853,6735	10	18-10-12	8:00	-2,6	853,9381
11	22-10-12	14:00	-2,6	854,0735	11	22-10-12	14:00	-3,2	854,1079	11	22-10-12	14:00	-0,3	853,6732	11	22-10-12	14:00	-2,3	853,9384
12	23-10-12	14:00	-2,6	854,0735	12	23-10-12	14:00	-3,1	854,1080	12	23-10-12	14:00	0,0	853,6732	12	23-10-12	14:00	-2,3	853,9384
13	19-11-12	8:00	-1,3	854,0748	13	19-11-12	8:00	-1,9	854,1092	13	19-11-12	8:00	1,7	853,6749	13	19-11-12	8:00	-1,3	853,9394
14	19-11-12	14:00	-2,2	854,0739	14	19-11-12	14:00	-2,7	854,1084	14	19-11-12	14:00	-0,7	853,6742	14	19-11-12	14:00	-2,2	853,9385
15	20-11-12	8:00	-2,1	854,0740	15	20-11-12	8:00	-1,9	854,1092	15	20-11-12	8:00	0,5	853,6747	15	20-11-12	8:00	-1,7	853,9390
16	20-11-12	14:00	-0,1	854,0760	16	20-11-12	14:00	-0,6	854,1105	16	20-11-12	14:00	1,4	853,6761	16	20-11-12	14:00	-0,2	853,9405
17	21-11-12	8:00	-0,2	854,0759	17	21-11-12	8:00	-0,9	854,1102	17	21-11-12	8:00	-0,3	853,6758	17	21-11-12	8:00	-0,4	853,9403
18	21-11-12	14:00	0,4	854,0765	18	21-11-12	14:00	-0,2	854,1109	18	21-11-12	14:00	0,8	853,6766	18	21-11-12	14:00	0,3	853,9410
19	22-11-12	8:00	-0.5	854,0756	19	22-11-12	8:00	-1,1	854,1100	19	22-11-12	8:00	-1,3	853,6753	19	22-11-12	8:00	-0,6	853,9401
20	22-11-12	14:00	-0,3	854,0758	20	22-11-12	14:00	-0,9	854,1102	20	22-11-12	14:00	0,4	853,6757	20	22-11-12	14:00	-0,2	853,9405
21	23-11-12	8:00	-1,3	854,0748	21	23-11-12	8:00	-2,6	854,1085	21	23-11-12	8:00	-2,1	853,6736	21	23-11-12	8:00	-2,8	853,9379
22	23-11-12	14:00	-2,5	854,0736	22	23-11-12	14:00	-3,6	854,1075	22	23-11-12	14:00	-1,3	853,6723	22	23-11-12	14:00	-4,2	853,9365
23	24-11-12	8:00	-2,4	854,0737	23	24-11-12	8:00	-4,1	854,1070	23	24-11-12	8:00	-1,0	853,6713	23	24-11-12	8:00	-5,1	853,9356
24	26-11-12	8:00	-3,0	854,0731	24	26-11-12	8:00	-5,0	854,1061	24	26-11-12	8:00	-0,5	853,6708	24	26-11-12	8:00	-6,0	853,9347
25	26-11-12	14:00	-2,4	854,0737	25	26-11-12	14:00	-4,3	854,1068	25	26-11-12	14:00	0,4	853,6712	25	26-11-12	14:00	-5,3	853,9354
26	27-11-12	8:00	-3,1	854,0730	26	27-11-12	8:00	-5,0	854,1061	26	27-11-12	8:00	-0,9	853,6703	26	27-11-12	8:00	-6,0	853,9347
27	27-11-12	14:00	-3,3	854,0728	27	27-11-12	14:00	-5,1	854,1060	27	27-11-12	14:00	0,6	853,6709	27	27-11-12	14:00	-6,1	853,9346

TABLA 4.1.1.d.: Lecturas de los cuatro puntos superficiales (P1, P2, P3 y P4) tras el paso de la tuneladora S430 y S431.

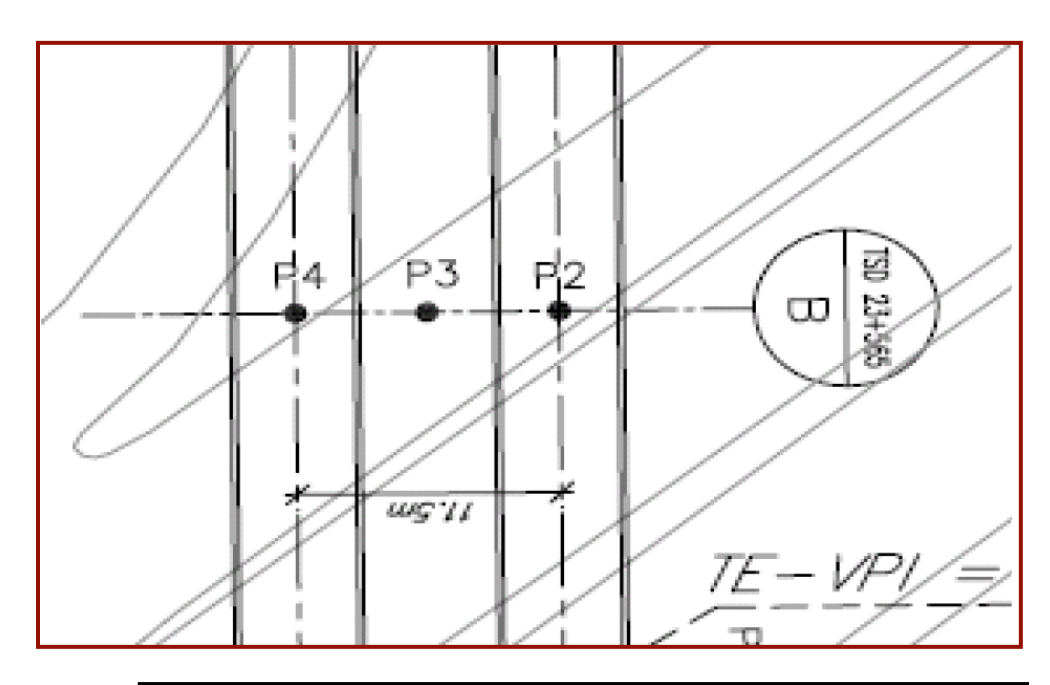




GRAFICA 4.1.1.d.: Asentamientos (mm) contra tiempo (días) en base a las lecturas de los puntos superficiales, tras el paso de la tuneladora S430 y S431.



SEC: 23+565



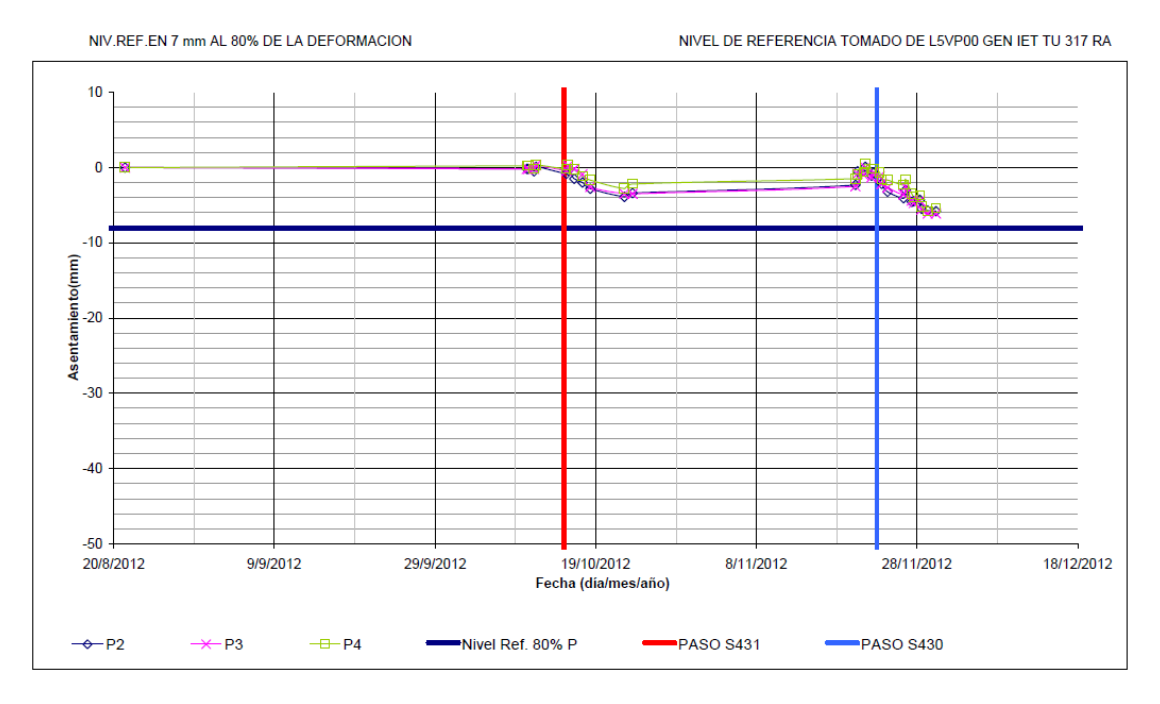
		ACTIVIDAD EN OBRA
1	21/8/2012	Los valores iniciales de la instrumentacion
2	15/10/2012	PASO S431
3	23/11/2012	PASO S430

FIGURA 4.1.1.d.: Ubicación de la sección tipo "B" en la progresiva 23+565 del alineamiento Proyecto Línea 5.



P2					P3					P4				
PZ					P3					P4				
Jornada	Fecha	Hora	Deformación Acumulada	Dato	Jornada	Fecha	Hora	Deformación Acumulada	Dato	Jornada	Fecha	Hora	Deformación Acumulada	Dato
1	21-08-12	10:00	0,0	853,7285	1	21-08-12	10:00	0.0	853,8266	1	21-08-12	10:00	0,0	853,8837
2	10-10-12	10:00	-0,2	853,7283	2	10-10-12	10:00	-0,2	853,8264	2	10-10-12	10:00	0,2	853,8839
3	10-10-12	14:00	-0,2	853,7283	3	10-10-12	14:00	-0,2	853,8264	3	10-10-12	14:00	0,2	853,8839
4	11-10-12	8:00	-0,5	853,7280	4	11-10-12	8:00	-0,2	853,8264	4	11-10-12	8:00	-0,2	853,8835
5	11-10-12	14:00	0,1	853,7286	5	11-10-12	14:00	0,3	853,8269	5	11-10-12	14:00	0,3	853,8840
6	15-10-12	8:00	-0,8	853,7277	6	15-10-12	8:00	-0,4	853,8262	6	15-10-12	8:00	-0,2	853,8835
7	15-10-12	14:00	-0,4	853,7281	7	15-10-12	14:00	0,2	853,8268	7	15-10-12	14:00	0,3	853,8840
8	16-10-12	8:00	-1,5	853,7270	8	16-10-12	8:00	-0,2	853,8264	8	16-10-12	8:00	-0,3	853,8834
9	17-10-12	8:00	-2,0	853,7265	9	17-10-12	8:00	-0,9	853,8257	9	17-10-12	8:00	-1,2	853,8825
10	18-10-12	8:00	-2,8	853,7257	10	18-10-12	8:00	-2,6	853,824	10	18-10-12	8:00	-1,7	853,8820
11	22-10-12	14:00	-3,9	853,7246	11	22-10-12	14:00	-3,5	853,8231	11	22-10-12	14:00	-2,8	853,8809
12	23-10-12	14:00	-3,4	853,7251	12	23-10-12	14:00	-3,5	853,8231	12	23-10-12	14:00	-2,2	853,8815
13	20-11-12	8:00	-2,3	853,7262	13	20-11-12	8:00	-2,5	853,8241	13	20-11-12	8:00	-1,5	853,8822
14	20-11-12	14:00	-0,5	853,7280	14	20-11-12	14:00	-0,8	853,8258	14	20-11-12	14:00	-1,0	853,8827
15	21-11-12	8:00	-0,5	853,7280	15	21-11-12	8:00	-1,0	853,8256	15	21-11-12	8:00	-0,6	853,8831
16	21-11-12	14:00	0,1	853,7286	16	21-11-12	14:00	0,0	853,8266	16	21-11-12	14:00	0,5	853,8842
17	22-11-12	8:00	-1,1	853,7274	17	22-11-12	8:00	-1,3	853,8253	17	22-11-12	8:00	-0,2	853,8835
18	22-11-12	14:00	-0,7	853,7278	18	22-11-12	14:00	-0,7	853,8259	18	22-11-12	14:00	-0,2	853,8835
19	23-11-12	8:00	-1,8	853,7267	19	23-11-12	8:00	-1,2	853,8254	19	23-11-12	8:00	-0,7	853,8830
20	23-11-12	14:00	-2,2	853,7263	20	23-11-12	14:00	-2,2	853,8244	20	23-11-12	14:00	-1,6	853,8821
21	24-11-12	8:00	-3,2	853,7253	21	24-11-12	8:00	-2,7	853,8239	21	24-11-12	8:00	-1,7	853,8820
22	26-11-12	8:00	-4,1	853,7244	22	26-11-12	8:00	-3,6	853,823	22	26-11-12	8:00	-2,3	853,8814
23	26-11-12	14:00	-3,0	853,7255	23	26-11-12	14:00	-2,6	853,824	23	26-11-12	14:00	-1,6	853,8821
24	27-11-12	8:00	-4,6	853,7239	24	27-11-12	8:00	-4,4	853,8222	24	27-11-12	8:00	-3,5	853,8802
25	27-11-12	14:00	-4,5	853,7240	25	27-11-12	14:00	-4,7	853,8219	25	27-11-12	14:00	-3,9	853,8798
26	28-11-12	8:00	-4,3	853,7242	26	28-11-12	8:00	-4,4	853,8222	26	28-11-12	8:00	-3,7	853,8800
27	28-11-12	14:00	-5,5	853,7230	27	28-11-12	14:00	-5,6	853,821	27	28-11-12	14:00	-5,2	853,8785
28	29-11-12	8:00	-5,7	853,7228	28	29-11-12	8:00	-6,1	853,8205	28	29-11-12	8:00	-5,8	853,8779
29	30-11-12	8:00	-5,8	853,7227	29	30-11-12	8:00	-6,1	853,8205	29	30-11-12	8:00	-5,4	853,8783

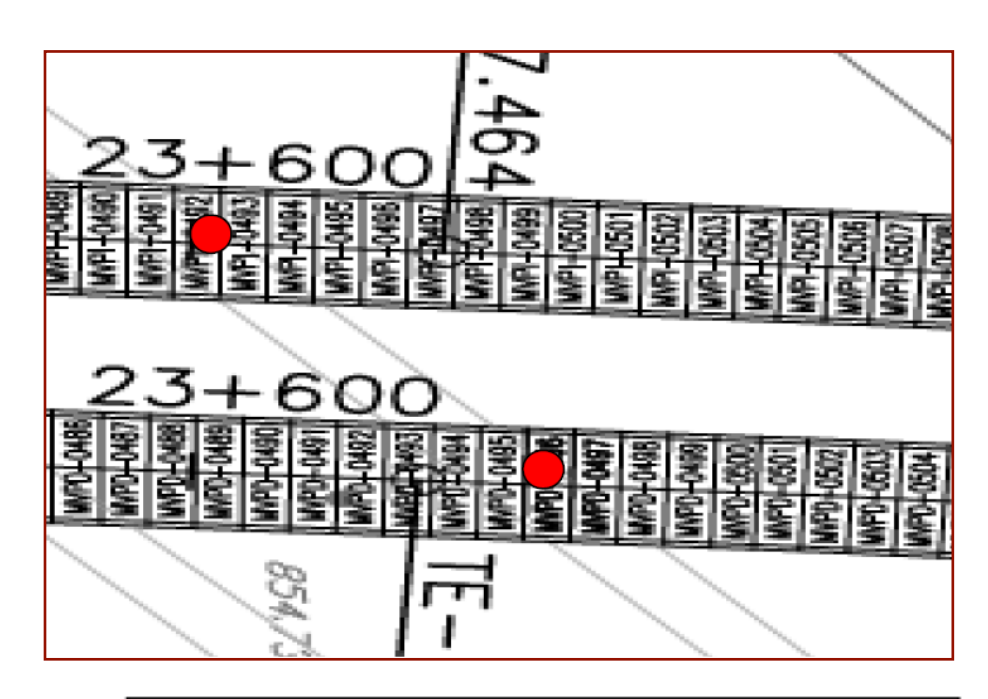
TABLA 4.1.1.e.: Lecturas de los tres puntos superficiales (P1, P2 y P3) tras el paso de la tuneladora S430 y S431.



GRAFICA 4.1.1.e.: Asentamientos (mm) contra tiempo (días) en base a las lecturas de los puntos superficiales, tras el paso de la tuneladora S430 y S431.



SEC: 23+600



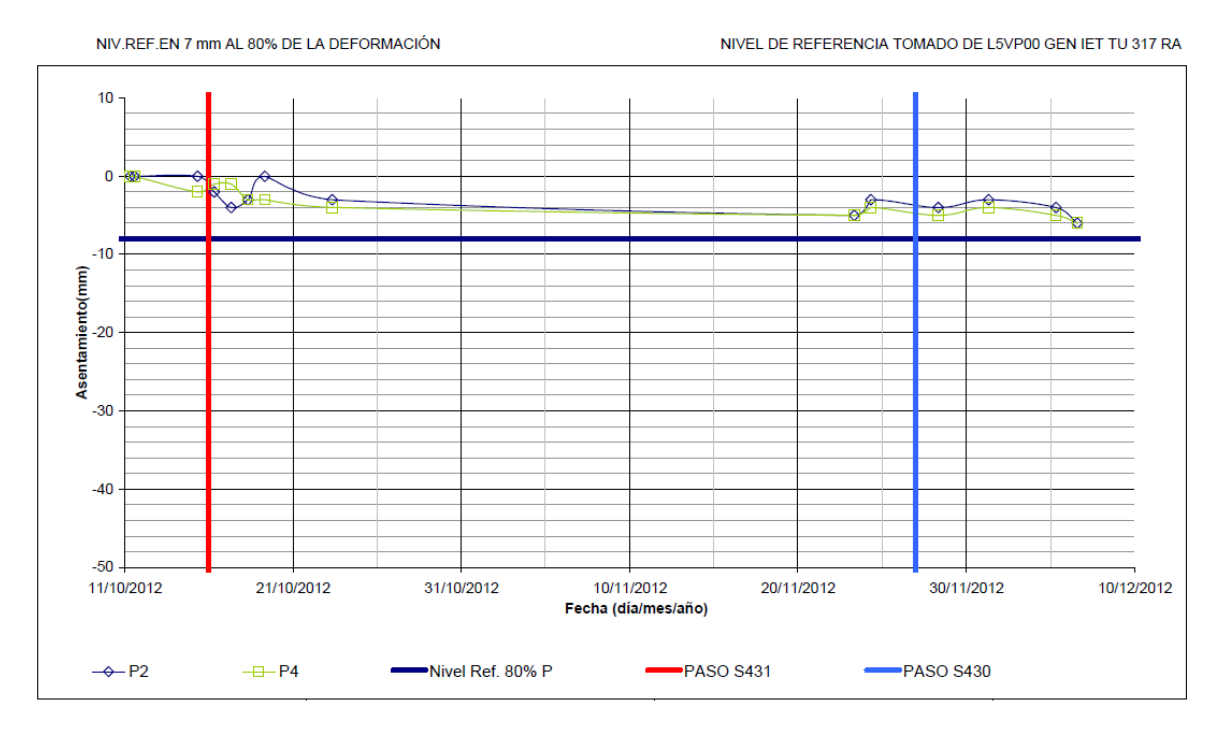
		ACTIVIDAD EN OBRA
1	11/10/2012	Los valores iniciales de la instrumentacion
2	16/10/2012	PASO S431
3	27/10/2012	PASO S430

FIGURA 4.1.1.e.: Ubicación de la sección tipo "B" en la progresiva 23+600 del alineamiento Proyecto Línea 5.



P2	1				P3					P4				
F 2					F 3					F				
Jornada	Fecha	Hora	Deformación Acumulada	Dato	Jornada	Fecha	Hora	Deformación Acumulada	Dato	Jornada	Fecha	Hora	Deformación Acumulada	Dato
1	11-10-12	8:00	0,0	855,3930	1					1	11-10-12	8:00	0,0	855,4870
2	11-10-12	14:00	0,0	855,3930	2					2	11-10-12	14:00	0,0	855,4870
3	15-10-12	8:00	0,0	855,3930	3					3	15-10-12	8:00	-2,0	855,4850
4	16-10-12	8:00	-2,0	855,3910	4					4	16-10-12	8:00	-1,0	855,4860
5	17-10-12	8:00	-4,0	855,3890	5					5	17-10-12	8:00	-1,0	855,4860
6	18-10-12	8:00	-3,0	855,3900	6					6	18-10-12	8:00	-3,0	855,4840
7	19-10-12	8:00	0,0	855,3930	7					7	19-10-12	8:00	-3,0	855,4840
8	23-10-12	8:00	-3,0	855,3900	8					8	23-10-12	8:00	-4,0	855,4830
9	23-11-12	8:00	-5,0	855,3880	9					9	23-11-12	8:00	-5,0	855,4820
10	24-11-12	8:00	-3,0	855,3900	10					10	24-11-12	8:00	-4,0	855,4830
11	28-11-12	8:00	-4,0	855,3890	11					11	28-11-12	8:00	-5,0	855,4820
12	01-12-12	8:00	-3,0	855,3900	12					12	01-12-12	8:00	-4,0	855,4830
13	05-12-12	8:00	-4,0	855,3890	13					13	05-12-12	8:00	-5,0	855,4820
14	06-12-12	14:00	-6,0	855,3870	14					14	06-12-12	14:00	-6,0	855,4810

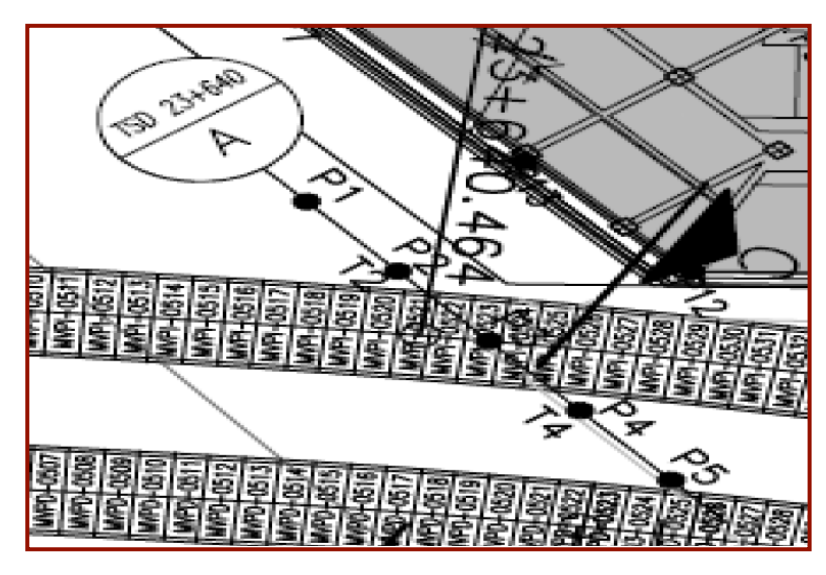
TABLA 4.1.1.f.: Lecturas de los dos puntos superficiales disponibles (P2 y P3) tras el paso de la tuneladora S430 y S431.



GRAFICA 4.1.1.f.: Asentamientos (mm) contra tiempo (días) en base a las lecturas de los puntos superficiales, tras el paso de la tuneladora S430 y S431.



SEC: 23+640 Puntos superficiales y tasómetros



		ACTIVIDAD EN OBRA
1	15/10/2012	Los valores iniciales de la instrumentacion
2	19/10/2012	PASO S431
3	30/11/2012	PASO S430

FIGURA 4.1.1.f.: Ubicación de la sección tipo "A" en la progresiva 23+640 del alineamiento Proyecto Línea 5.

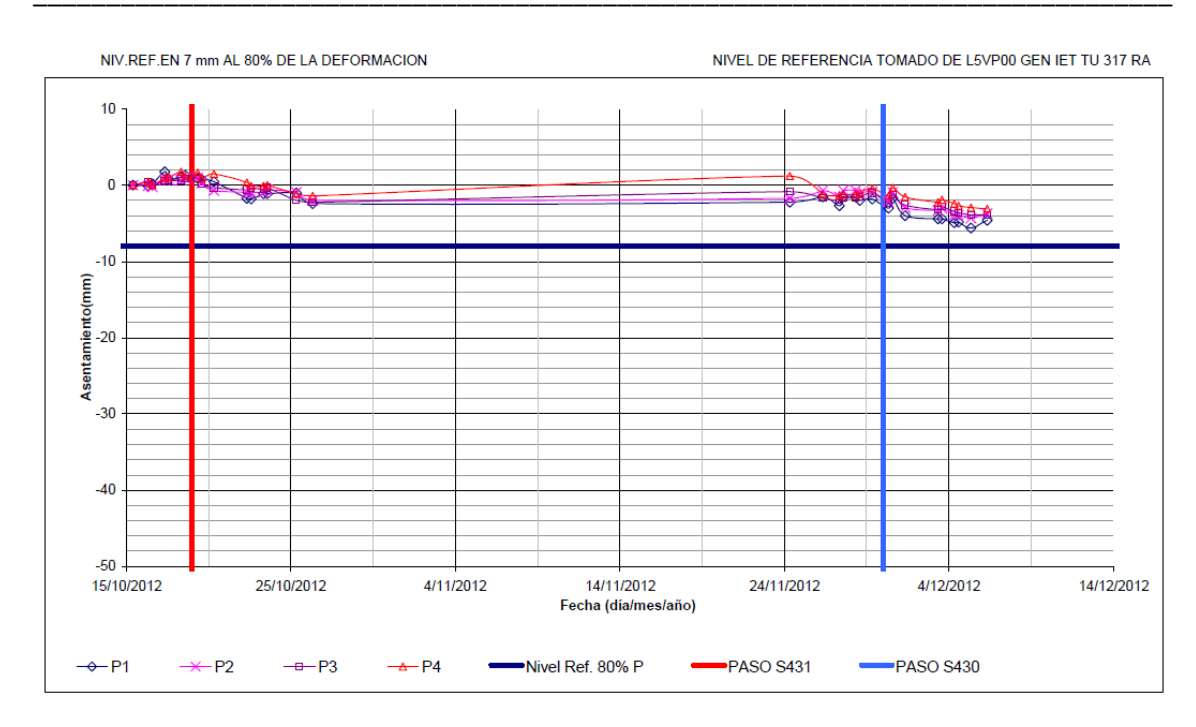


Seguimiento Instrumental Geotécnico para controlar riesgos en la construcción de túneles tipo escudo del tramo Foso UNEFA-Estación Bello Campo del Proyecto Línea 5 Metro de Caracas

P4 Hora Hora Hora Dato 15-10-12 854,3395 15-10-12 15-10-12 854,3012 15-10-12 854,3013 16-10-12 -0,1 854,3394 16-10-12 -0,1 16-10-12 0,4 854,3016 16-10-12 0,5 854.3013 854 3397 854 3128 854 3013 16-10-12 14:00 0.2 16-10-12 14:00 16-10-12 14:00 16-10-12 14:00 0.0 17-10-12 8:00 854,3413 17-10-12 8:00 17-10-12 8:00 854,3018 17-10-12 8:00 854,3023 17-10-12 14:00 0,8 854,3403 17-10-12 14:00 0.7 854.3137 5 17-10-12 854.3018 5 17-10-12 854,3024 18-10-12 8:00 854,3406 6 18-10-12 8:00 854,3137 18-10-12 8:00 0,6 854,3018 18-10-12 8:00 854,3031 6 1,8 854.3408 18-10-12 854,3021 854,3025 18-10-12 18-10-12 14:00 18-10-12 14:00 14:00 14:00 19-10-12 8:00 0,9 854,3404 8 19-10-12 8:00 1,0 854,3140 8 19-10-12 8:00 0,9 854,3021 8 19-10-12 8:00 854,3030 19-10-12 14:00 854,3403 19-10-12 14:00 19-10-12 14:00 854,3014 19-10-12 14:00 854,3022 20-10-12 0.5 10 20-10-12 -0.7 854.3123 10 20-10-12 -0.3 854.3009 20-10-12 1.5 8:00 854.3400 8:00 8:00 10 8:00 854.3028 22-10-12 8:00 -17 854,3378 11 22-10-12 8.00 -0,9 854,3121 11 22-10-12 8.00 -0,6 854,3006 11 22-10-12 8.00 0,4 854,3017 22-10-12 22-10-12 12 854,3008 12 -0,4 12 22-10-12 -0,1 13 23-10-12 8:00 854,3384 13 23-10-12 854,3121 13 23-10-12 8:00 -0,5 854,3007 13 23-10-12 -0,1 854,3012 -1.1 8:00 -0.9 8:00 23-10-12 14:00 -1.1 854.3384 14 23-10-12 14:00 -0.6 854,3124 14 23-10-12 14:00 -0.3 854.3009 14 23-10-12 14:00 0.0 854.3013 25-10-12 8:00 15 25-10-12 15 25-10-12 854,2992 15 854,3002 26-10-12 8:00 -2,4 854,3371 16 26-10-12 854,3110 16 26-10-12 854,2990 16 26-10-12 -1,4 854,2999 854 3373 17 854,3004 854,3025 24-11-12 8:00 17 24-11-12 8:00 854 3113 24-11-12 8:00 -0,8 17 24-11-12 8-00 26-11-12 26-11-12 854,3123 18 854,2995 854,3001 8:00 854.3380 18 8:00 26-11-12 8:00 18 26-11-12 8:00 27-11-12 8:00 854.3368 27-11-12 19 27-11-12 854.2992 854.3000 20 20 27-11-12 14:00 854,3380 27-11-12 14:00 -0.7 854,3123 27-11-12 14:00 -17 854,2995 20 27-11-12 14:00 -1,2 854,3001 854,3123 **21** 28-11-12 28-11-12 854 3380 21 854,2995 21 854 3001 8:00 28-11-12 8.00 -0,7 8:00 28-11-12 8.00 -1.2 28-11-12 14:00 -2.0 854,3375 22 28-11-12 14:00 854,3120 22 28-11-12 14:00 -1,5 854,2997 22 28-11-12 14:00 -0.9 854,3004 29-11-12 8:00 854,3377 23 29-11-12 854,3122 23 29-11-12 8:00 854,3002 23 29-11-12 -0.4 854,3009 30-11-12 854,3109 **24** 854,3121 **25** 30-11-12 -3.0 30-11-12 8:00 854.3365 24 30-11-12 8:00 -2,1 8:00 -2,3 854.2989 24 8:00 -1.4 854.2999 25 30-11-12 14:00 -1,7 854,3378 30-11-12 14:00 30-11-12 14:00 854,2999 25 30-11-12 14:00 -0,3 854,3010 01-12-12 8:00 -4.0 854.3355 26 01-12-12 8:00 -2.9 854.3101 26 01-12-12 8:00 -2.6 854.2986 26 01-12-12 8:00 -1.5 854,2998 -2,2 27 854.3097 27 854 3351 854 2980 27 03-12-12 854 2991 03-12-12 8:00 -4 4 03-12-12 8:00 03-12-12 8:00 8:00 854,3100 **28** 03-12-12 03-12-12 14:00 -4 4 854 3351 28 03-12-12 14:00 14:00 854,2984 28 03-12-12 14:00 -1.9 854,2994 04-12-12 8:00 -4,9 854,3346 29 04-12-12 8:00 854,3091 04-12-12 8:00 -3,4 854,2978 29 04-12-12 8:00 -2,4 854,2989 854,3091 30 04-12-12 04-12-12 14:00 -4.8 854,3347 30 04-12-12 14:00 -3,9 14:00 -3,6 854,2976 30 04-12-12 14:00 -2,7 854,2986 31 05-12-12 854,3087 31 05-12-12 31 05-12-12 8:00 854.3339 8:00 8:00 -3,9 854,2973 31 05-12-12 854,2984 -4.3 8:00 854,3349 32 06-12-12 854,2973 32

TABLA 4.1.1.g.: Lecturas de los cuatro puntos superficiales (P1, P2, P3 y P4) tras el paso de la tuneladora S430 y S431.





GRAFICA 4.1.1.g.: Asentamientos (mm) contra tiempo (días) en base a las lecturas de los puntos superficiales, tras el paso de la tuneladora S430 y S431.

_									
Jornada	Fecha	Hora	Deformación Acumulada	Dato	Jornada	Fecha	Hora	Deformación Acumulada	Dato
1	15-10-12	10:00	0,0	854,3209	1	15-10-12	10:00	0,0	854,3049
2	16-10-12	8:00	0,6	854,3215	2	16-10-12	8:00	0,2	854,3051
3	16-10-12	14:00	0,5	854,3214	3	16-10-12	14:00	0,4	854,3053
4	17-10-12	8:00	0,9	854,3218	4	17-10-12	8:00	0,8	854,3057
5	17-10-12	14:00	1,2	854,3221	5	17-10-12	14:00	1,3	854,3062
6	18-10-12	8:00	0,8	854,3217	6	18-10-12	8:00	0,7	854,3056
7	18-10-12	14:00	1,4	854,3223	7	18-10-12	14:00	1,5	854,3064
8	19-10-12	8:00	1,9	854,3228	8	19-10-12	8:00	1,9	854,3068
9	19-10-12	14:00	1,2	854,3221	9	19-10-12	14:00	1,6	854,3065
10	20-10-12	8:00	0,8	854,3217	10	20-10-12	8:00	1,0	854,3059
11	22-10-12	8:00	0,2	854,3211	11	22-10-12	8:00	0,6	854,3055
12	22-10-12	14:00	0,1	854,3210	12	22-10-12	14:00	1,1	854,306
13	23-10-12	8:00	0,0	854,3209	13	23-10-12	8:00	0,5	854,3054
14	23-10-12	14:00	0,3	854,3212	14	23-10-12	14:00	1,3	854,3062
15	25-10-12	8:00	-0,2	854,3207	15	25-10-12	8:00	0,3	854,3052
16	26-10-12	8:00	-1,1	854,3198	16	26-10-12	8:00	-0,5	854,3044
17	24-11-12	8:00	-1,1	854,3198	17	24-11-12	8:00	-0,4	854,3045
18	26-11-12	8:00	-0,5	854,3204	18	26-11-12	8:00	0,3	854,3052
19	27-11-12	8:00	-0,5	854,3204	19	27-11-12	8:00	0,0	854,3049
20	27-11-12	14:00	-0,5	854,3204	20	27-11-12	14:00	0,3	854,3052
21	28-11-12	8:00	-0,5	854,3204	21	28-11-12	8:00	0,3	854,3052
22	28-11-12	14:00	0,2	854,3211	22	28-11-12	14:00	0,6	854,3055
23	29-11-12	8:00	0,5	854,3214	23	29-11-12	8:00	1,0	854,3059
24	30-11-12	8:00	-0,4	854,3205	24	30-11-12	8:00	0,1	854,305
25	30-11-12	14:00	0,5	854,3214	25	30-11-12	14:00	0,5	854,3054
26	01-12-12	8:00	-0,2	854,3207	26	01-12-12	8:00	0,1	854,305
27	03-12-12	8:00	-1,0	854,3199	27	03-12-12	8:00	0,3	854,3052
28	03-12-12	14:00	-0,9	854,3200	28	03-12-12	14:00	-0,7	854,3042
29	04-12-12	8:00	-1,2	854,3197	29	04-12-12	8:00	0,8	854,3057
30	04-12-12	14:00	-1,4	854,3195	30	04-12-12	14:00	0,4	854,3053
31	05-12-12	8:00	-1,3	854,3196	31	05-12-12	8:00	0,9	854,3058
32	06-12-12	8:00	-1,5	854,3194	32	06-12-12	8:00	0,2	854,3051

TABLA 4.1.1.h.: Lecturas de los dos tasómetros (T1 y T2) tras el paso de la tuneladora S430 y S431.

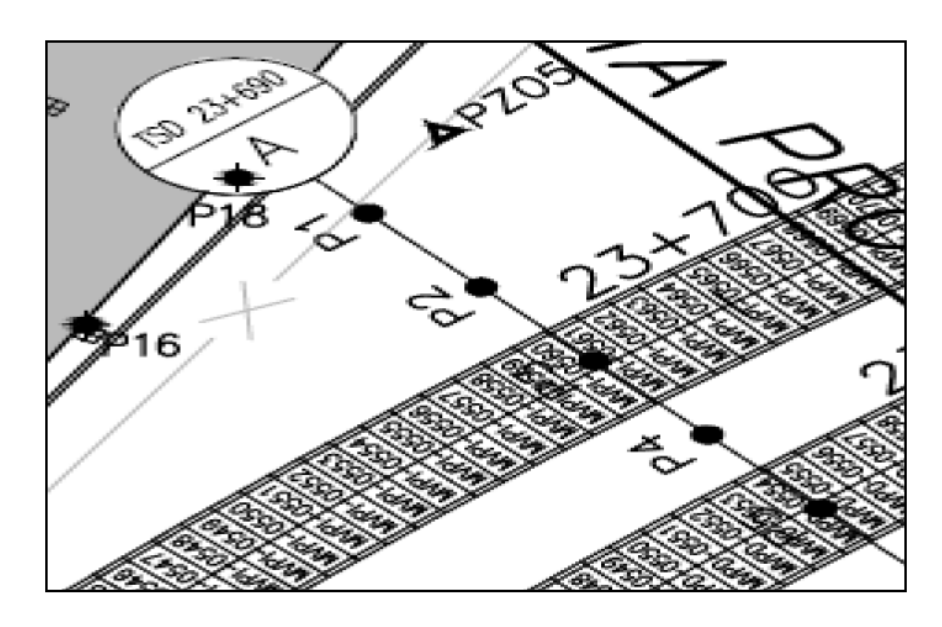


NIV.REF.EN 7 mm AL 80% DE LA DEFORMACIÓN NIVEL DE REFERENCIA TOMADO DE L5VP00 GEN IET TU 317 RA -10 Asentamiento(mm) -30 -40 -50 15/10/2012 25/10/2012 4/11/2012 14/11/2012 Fecha (día/mes/año) 24/11/2012 4/12/2012 14/12/2012 ----PASO S431 **→** P5 --- P6 Nivel Ref. 80% P PASO S430

GRAFICA 4.1.1.h.: Asentamientos (mm) contra tiempo (días) en base a las lecturas de los tasómetros, tras el paso de la tuneladora S430 y S431.



SEC: 23+690 Puntos superficiales y tasómetros



		ACTIVIDAD EN OBRA
1	17/10/2012	Los valores iniciales de la instrumentacion
2	23/10/2012	PASO S431
3	6/12/2012	PASO S430

FIGURA 4.1.1.g.: Ubicación de la sección tipo "A" en la progresiva 23+690 del alineamiento Proyecto Línea 5.

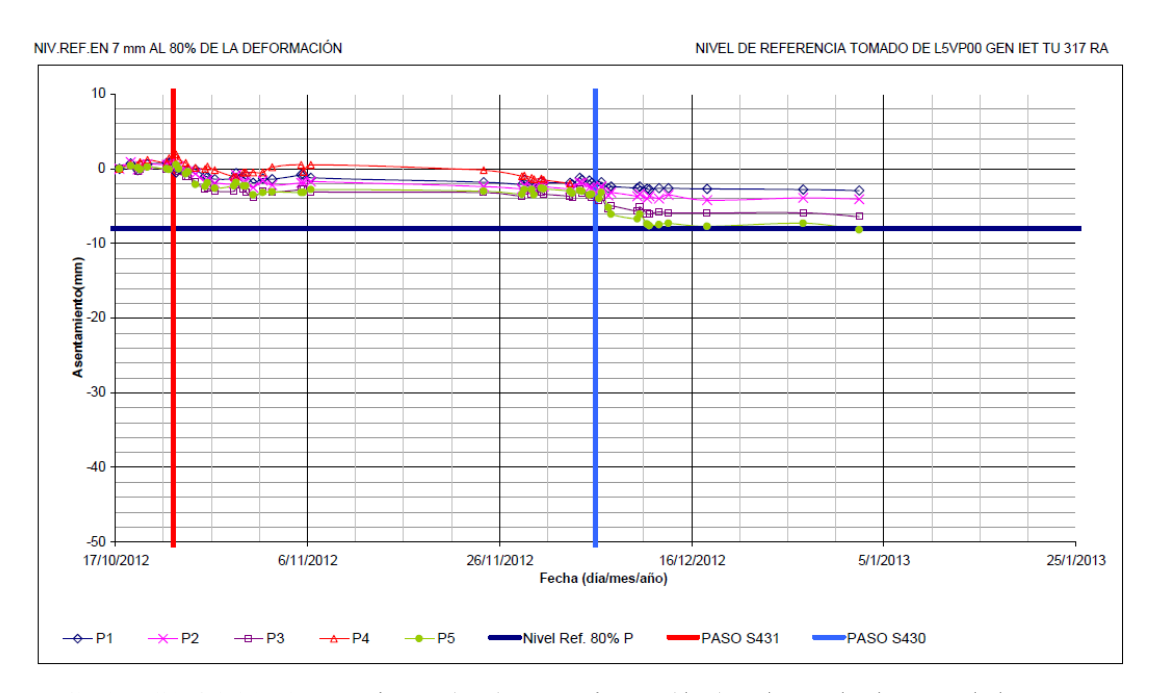


Seguimiento Instrumental Geotécnico para controlar riesgos en la construcción de túneles tipo escudo del tramo Foso UNEFA-Estación Bello Campo del Proyecto Línea 5 Metro de Caracas

1 15-16-12 10-00																									
1	P1					P2					P3					P4					P5				
1	Jornada	Fecha	Hora	Deformación Acumulada	Dato	Jornada	Fecha	Hora	Deformación Acumulada	Dato	Jornada	Fecha	Hora	Deformación Acumulada	Dato	Jornada	Fecha	Hora	Deformación Acumulada	Dato	Jornada	Fecha	Hora	Deformación Acumulada	Dato
3	1	17-10-12	10:00	0,0	857,7672	1	17-10-12	10:00	0,0	857,6954	- 1	17-10-12	10:00	0,0	857,7800	- 1	17-10-12	10:00	0,0	857,6276	1	17-10-12	10:00	0,00	857,6962
4 19-10-12 14-00 0.0 697,7977 4 10-10-12 14-00 0.1 697,7978 4 10-10-12 14-00 0.1 697,7978 4 10-10-12 14-00 0.0 697,7978 6 22-10-12 14-00 0.0 697,7978 6 22-10-12 14-00 0.0 697,7978 7	2	18-10-12	14:00	0,7	857,7679	2	18-10-12	14:00	0,9	857,6963	2	18-10-12	14:00	0,3	857,7803	2	18-10-12	14:00	0,5	857,6281	2	18-10-12	14:00	0,40	857,6966
S 20-10-12 800 0.8 8877897 8 20-10-12 800 0.8 8877890 8 20-10-12 800 0.3 8877890 8 20-10-12 800 0.1 887.680 8 20-10-12 800 0.1 887.680 8 20-10-12 800 0.0 887.680 8 20-10-12 800 0.0 887.680 8 20-10-12 800 0.0 887.680 8 20-10-12 800 0.0 887.680 8 20-10-12 800 0.0 887.680 1 20-10	3	19-10-12	8:00	-0,2	857,7670	3	19-10-12	8:00	-0,1	857,6953	3	19-10-12	8:00	-0,4	857,7796	3	19-10-12	8:00	0,2	857,6278	3	19-10-12	8:00	0,10	857,6963
6 22-10-12 890 0.8 8877890 6 22-10-12 890 0.5 877890 7 22-10-12 1400 0.0 1877890 6 22-10-12 1400 0.0 0.7 8577800 7 22-10-12 1400 0.0 857.000 7	4	19-10-12	14:00	0,5	857,7677	4	19-10-12	14:00	0,4	857,6958	4	19-10-12	14:00	-0,1	857,7799	4	19-10-12	14:00	0,1	857,6277	4	19-10-12	14:00	-0,10	857,6961
7 22-10-12 14-00 0.8 887/869 7 22-10-12 14-00 0.6 87/860 7 22-10-12 14-00 0.0 87/860 7 22-10-12 14-00 0.0 1.8 87/860 8 23-10-12 14-00 0.0 1.8 87/860 8 23-10-12 14-00 0.0 1.8 87/860 8 23-10-12 14-00 0.0 1.8 87/860 8 23-10-12 14-00 0.0 1.8 87/860 8 23-10-12 14-00 0.0 1.8 87/860 8 23-10-12 14-00 0.0 1.8 87/860 8 23-10-12 14-00 0.0 1.8 87/860 8 23-10-12 14-00 0.0 1.8 87/860 8 23-10-12 14-00 0.0 1.8 87/860 8 12 14-00-12 14-00 0.0 1.8 87/860 8 12 14-00-12 14-00 0.0 1.8 87/860 8 12 14-00-12 14-00 0.0 1.8 87/860 8 12 14-00-12 14-00 0.0 1.8 87/860 8 12 14-00-12 14-00 0.0 1.8 87/860 8 12 14-00-12 14-00 0.0 1.8 87/860 8 12 14-00-12 14-00 0.0 1.8 87/860 8 12 14-00-12 14-00 0.0 1.8 87/860 8 12 14-00-12 14-00 0.0 1.8 87/860 8 12 14-00-12 14-00 0.0 1.8 87/860 8 12 14-00-12 14-00 14-00-12 14-00 14-00-12 14-00-12 14-00 14-00-12	5	20-10-12	8:00	8,0	857,7678	5	20-10-12	8:00	0,6		5	20-10-12	8:00	0,3	857,7803	5	20-10-12	8:00	0,4	857,6280	5	20-10-12	8:00	0,20	857,6964
8 23-10-12 100 0.0 0.5 8877887 8 23-10-12 100 0.0 0.5 8877898 9 23-10-12 100 0.0 0.1 887789 8 23-10-12 100 0.0 0.0 887.000 0.0 0.0 887.000 0.0 0.0 887.000 0.0 0.0 887.000 0.0 0.0 887.000 0.0 0.0 887.000 0.0 0.0 887.000 0.0 0.0 887.000 0.0 0.0 887.000 0.0 0.0 887.000 0.0 0.0 887.000 0.0 0.0 887.000 0.0 0.0 887.000 0.0 0.0 887.000 0.0 0.0 887.000 0.0 0.0 887.000 0.0 0.0 887.000 0.0 0.0 887.000 0.0 0.0 0.0 887.000 0.0 0.0 0.0 0.0 0.0 0.0 0.0 0.0 0.	6	22-10-12	8:00	8,0	857,7680	6		8:00	0,5		6	22-10-12	8:00		857,7799	6			0,1		6	22-10-12	8:00	0,00	
9 23-10-12 14-00 0.0 867,7697 9 23-10-12 14-00 0.3 867,6967 10 24-10-12 80.0 -0.7 867,7696 10 24-10-12 80.0 -0.7 867,7696 10 24-10-12 80.0 -0.7 867,7696 10 24-10-12 80.0 -0.7 867,7696 10 24-10-12 80.0 -0.7 867,7696 11 80.0 -0.7 867,7696 11 80.0 -0.7 867,7696	7	22-10-12	14:00	8,0	857,7680	7	22-10-12	14:00	0,6	857,6960	7	22-10-12	14:00	0,0	857,7800	7	22-10-12	14:00	-0,1		7	22-10-12	14:00	-0,10	857,6961
10 24-10-12 26.00 -0.3 867,7669 10 24-10-12 8.00 -0.4 857,6661 10 4-10-12 8.00 -0.4 857,6661 10 4-10-12 8.00 -0.4 857,6661 10 4-10-12 8.00 -0.4 857,6661 10 4-10-12 8.00 -0.4 8.00 8.00 8.00 8.00 8.00 8.00 8.00	8		8:00	-0,5	857,7667	8	23-10-12	8:00	0,5		8	23-10-12	8:00	0,1	857,7801	8		8:00	0,3		8	23-10-12	8:00	0,50	
14 24-10-12 400 0,3 867,7691 11 34-10-12 14:00 0,4 897,6961 11 34-10-12 14:00 0,4 897,6961 12 25-10-12 800 0,7 897,7690 11 34-10-12 14:00 0,4 897,6961 13 25-10-12 800 0,4 897,6961 13 25-10-1	9	23-10-12	14:00	0,0	857,7672	9		14:00	0,3		9	23-10-12	14:00	-0,4	857,7796	9	23-10-12	14:00	-0,1		9	23-10-12	14:00	0,00	
12 25-10-12 8.00 -0.1 857,7671 12 25-10-12 8.00 -0.7 857,6694 12 25-10-12 8.00 -1.7 857,7693 13 25-10-12 8.00 -2.1 857,7695 12 25-10-12 8.00 -2.0 857,6694 13 25-10-12 8.00 -2.0 857,6694 13 25-10-12 8.00 -2.0 857,6694 14 25-10-12 8.00 -2.0 857,6694 14 25-10-12 8.00 -2.0 857,6694 14 25-10-12 8.00 -2.0 857,7694 14 25-10-12 8.00 -2.0 857,6694 14 25-10-12 8.00 -2.0 857,6694 15 25-10-12 8.00 -2.0 857,6694 16 25-10-12 8.00 -2.0 857,6	10			-0,3		10			-0,3		10	24-10-12		-1,0							10				
13 261-012 800 -1,0 857,7692 13 261-012 800 -1,8 857,6999 14 261-012 1400 -1,5 857,7691 14 261-012 1400 -1,5 857,6991 14 261-012 1400 -1,5 857,6991 14 261-012 1400 -1,5 857,7691 14 261-012 1400 -1,5 857,691 14 261-012 1400 -1,5 857,7691 14 261-012 1400 -1,5 857,691 14 261-012 1400 -1,5 857,691 14 261-012 1400 -1,5 857,691 14 261-012 1400 -1,5 857,691 14 261-012 1400 -1,5 857,691 14 1400 -1,5 857,691 14 1400 -1,5 857,691 14 1400 -1,5 857,691 14 1400 -1,5 857,7691 14 1400 -1,5 857,691 14 1400 -1,5 857,691 14 1400 -1,5 857,691 14 1400 -1,5 857,691 14 1400 -1,5 857,691 14 1400 -1,5 857,691 14 1400 -1,5 857,691 14 1400 -1,5 857,691 14 1400 -1,5 857,691 14 1400 -1,5 857,691 14 1400 -1,5 857,691 14 1400 -1,5 857,691 14 1400 -1,5 857,691 14 1400 -1,5 857,691 14 1400 -1,5 857,691 14 1400 -1,5 857,691 1400 -1,5 857,691 1400 -1,5 857,691 1400 -1,5 857,691 1400 -1,5 857,691 1400 -1,5 857,691 1400 -1,5 857,691 1400 -1,5 857,691 1400 -1,5 857,691											-11										11				
14 26-16-12 14-00 -1,1 867,7686 14 26-16-12 14-00 -1,5 867,6896 14 26-16-12 14-00 -2,0 867,7777 14 26-16-12 14-00 -2,3 867,6258 14 26-16-12 8.00 -3,0 867,7777 15 27-16-12 8.00 -3,0 867,6258 15 27-16-12 8.00 -2,0 867,6896 17 26-16-12 8.00 -3,0 867,7777 16 27-16-12 8.00 -2,0 867,6896 17 26-16-12 8.00 -2,0 867,6896 17 26-16-12 8.00 -2,0 867,6996 17 26-16-12 8.00 -2,0 867,6996 17 26-16-12 8.00 -2,0 867,6996 17 26-16-12 8.00 -2,0 867,6996 17 26-16-12 8.00 -2,0 867,6996 17 26-16-12 8.00 -2,0 867,6996 18 867,6996 19 26-16-12 8.00 -2,0 867,6996 19 867,6996	12	25-10-12	8:00	-0,1	857,7671	12	25-10-12	8:00	-0,7	857,6947	12	25-10-12	8:00	-1,7	857,7783	12	25-10-12	8:00	-2,1	857,6255	12	25-10-12	8:00	-2,10	857,6941
16 227-10-12 8.00 1.4 887,7686 16 277-10-12 8.00 2.0 887,7687 16 227-10-12 8.00 3.0 887,6346 15 277-10-12 8.00 2.0 887,6346 17 247-10-12 8.00 3.0 887,7687 18 247-10-12 8.00 3.0 887,7	13	26-10-12	8:00	-1,0	857,7662	13		8:00	-1,8		13	26-10-12	8:00	-2,7	857,7773	13		8:00			13	26-10-12	8:00	-2,40	857,6938
16 28-10-12 8-00 -1,3 867,7698 16 28-10-12 8-00 -2,0 867,6934 16 28-10-12 8-00 -3,0 867,7778 17 29-10-12 14-00 -2,8 867,6934 18 29-10-12 14-00 -3,0 867,6934 18 39-10-12 14-00 -2,8 867,6934 18 39-10-12 14-00 -3,0 867,6934 18 39-10-12 8-00 -3,0 8-00,7934 18 39-10-12 14-00 -3,0 8-0	14	26-10-12	14:00	-1,1	857,7661	14	26-10-12	14:00	-1,5	857,6939	14	26-10-12	14:00	-2,6	857,7774	14	26-10-12	14:00	-2,3	857,6253	14	26-10-12	14:00	-1,90	857,6943
17 22-10-12 14-00 -0.6 857,7686 17 29-10-12 14-00 -0.8 857,0946 17 29-10-12 14-00 -1.9 857,0946 18 30-10-12 14-00 -1.8 857,0936 18 30-10-12 14-00 -1.8 857,0936 19 14-12 14-00 -1.8 857,0936 19 14-12 14-00 -1.8 857,0936 19 14-12 14-00 -1.8 857,0936 19 14-12 14-00 -1.8 857,0936 19 14-12 14-00 -1.8 857,0936 19 14-12 14-00 -1.8 857,0936 19	15	27-10-12	8:00	-1,4	857,7658		27-10-12	8:00			15	27-10-12	8:00	-3,0	857,7770	15	27-10-12	8:00	-3,0	857,6246	15	27-10-12		-2,60	857,6936
18 30-10-12 19.00 -1.2 19.07 -1.0 19.00 -1.8 19.07 -1.0 19.00 -1.8 19.07 -1.0 19.00 -1.8 19.07 -1.0 19.00 -1.8 19.07 -1.0 19.00 -1.8 19.00 -1.0 19.00 -1.8 19.00 -1.0 19.00 -1.8 19.00 -1.0 19.00 -1.8 19.00 -1.0 19.00 -1.8 19.00 -1.0 19.00 -1.8 19.00 -1.0 19.00 -1.8 19.00 -1.0 19.00 -1.8 19.00 -1.0 19.00 -1.8 19.																									
19 30-10-12 14-00 -0.8 857.7694 19 30-10-12 14-00 -1.8 857.6936 19 30-10-12 14-00 -2.0 857.6936 19 30-10-12 14-00 -2.0 857.6936 19 30-10-12 14-00 -2.0 857.6936 19 30-10-12 14-00 -2.0 857.6936 19 30-10-12 14-00 -2.0 857.6936 19 30-10-12 14-00 -2.0 857.6936 19 30-10-12 14-00 -2.0 857.6936 12 14-10-12 14-10 14	17	29-10-12	14:00	-0,6	857,7666	17	29-10-12	14:00	-0,8	857,6946	17	29-10-12	14:00	-2,2	857,7778	17	29-10-12	14:00	-2,4	857,6252	17	29-10-12	14:00	-1,90	857,6943
20 31-10-12 8.00 -1,9 867,7658 20 31-10-12 8.00 -2,5 867,6929 21 01-11-12 8.00 -3,0 867,7702 20 31-10-12 8.00 -3,0 867,7702 21 01-11-12 8.00 -3,0 867,7702 22 02-11-12 8.00 -3,0 867,7037 22 02-11-12 8.00 -3,0 867,7037 23 02-11-12 8.00 -3,0 867,7034 22 02-11-12 8.00 -3,0 867,7034 23 02-11-12 8.00 -3,0 867,7034 23 02-11-12 8.00 -3,0 867,7034 23 02-11-12 8.00 -3,0 867,7034 23 02-11-12 8.00 -3,0 867,7034 23 02-11-12 8.00 -3,0 867,7034 23 02-11-12 8.00 -3,0 867,7034 24 02-11-12 8.00 -3,0 867,7034 24 02-11-12 8.00 -3,0 867,7034 24 02-11-12 8.00 -3,0 867,7034 24 02-11-12 8.00 -3,0 867,7034 24 02-11-12 8.00 -3,0 867,7034 24 02-11-12 8.00 -3,0 867,7034 24 02-11-12 8.00 -3,0 867,7034 24 02-11-12 8.00 -3,0 867,7034 24 02-11-12 8.00 -3,0 867,7034 24 02-11-12 8.00 -3,0 867,7034 24 24-11-12 8.00 -3,0 867,7034 24 24-11-12 8.00 -3,0 867,7034 24 24-11-12 8.00 -3,0 867,7034 24 24-11-12 8.00 -3,0 867,7034 24 24-11-12 8.00 -3,0 867,7034 24 24-11-12 8.00 -3,0 867,7034 24 24-11-12 8.00 -3,0 867,7034 24 24-11-12 8.00 -3,0 867,8034 24 24-11-12 8.00 -3,0 867,7034 24 24-11-12 8.00 -3,0 867,7034 24 24-11-12 8.00 -3,0 867,7034 24 24-11-12 8.00 -3,0 867,8034 24 24-11-12 8.00 -3,0 867,8034 24 24-11-12 8.00 -3,0 867,8034 24 24-11-12 8.00 -3,0 867,8034 24 24-11-12 8.00 -3,0 867,8034 24 24-11-12 8.00 -3,0 867,8034 24 24-11-12 8.00 -3,0 867,8034 24 24-11-12 8.00 -3,0 867,8034 24 24-11-12 8.00 -3,0 867,8034 24 24-11-12 8.00 -3,0 867,8034 24 24-11-12 8.00 -3,0 867,8034 24 24-11-12 8.00 -3,0 867,8034 24-11-12 8.00 -3,0 867,8034 24-11-12 8.00 -3,0 867,8034 24-1	18	30-10-12	8:00	-1,2	857,7660	18	30-10-12	8:00	-1,8	857,6936	18	30-10-12	8:00	-2,8	857,7772	18	30-10-12	8:00	-3,2	857,6244	18	30-10-12	8:00	-2,30	857,6939
21 01-11-12 0.00 -1.3 057,7696 21 01-11-12 0.00 -1.6 057,6938 21 01-11-12 0.00 -3.0 057,7703 21 01-11-12 0.00 -3.0 057,7034 22 02-11-12 0.00 -3.0 057,7034 22 02-11-12 0.00 -3.0 057,7034 23 02-11-12 0.00 -3.0 057,7034 23 02-11-12 0.00 -3.0 0.00	19	30-10-12	14:00	-0,8	857,7664	19	30-10-12	14:00	-1,8	857,6936	19	30-10-12	14:00	-3,1	857,7769	19	30-10-12	14:00	-2,6	857,6250	19	30-10-12	14:00	-2,30	857,6939
22 02-11-12 8:00 -1.4 857,7686 22 02-11-12 8:00 -2.2 857,7682 22 02-11-12 8:00 -3.2 857,7768 22 02-11-12 8:00 -3.5 857,6241 23 05-11-12 8:00 -3.6 857,6241 23 05-11-12 8:00 -3.6 857,6241 23 05-11-12 8:00 -3.6 857,6241 23 05-11-12 8:00 -3.6 857,6241 23 05-11-12 8:00 -3.6 857,6241 23 05-11-12 8:00 -3.6 857,6241 23 05-11-12 8:00 -3.6 857,6241 23 05-11-12 8:00 -3.6 857,6241 23 05-11-12 8:00 -3.6 857,6241 23 05-11-12 8:00 -3.6 857,6241 23 05-11-12 8:00 -3.6 857,6241 23 05-11-12 8:00 -3.6 857,6241 23 05-11-12 8:00 -3.6 857,6241 23 05-11-12 8:00 -3.6 857,6241 23 05-11-12 8:00 -3.6 857,6241 23 05-11-12 8:00 -3.6 857,6241 23 05-11-12 8:00 -3.0 857,6241 23 05-11-12 8:00 -3.0 857,6241 23 05-11-12 8:00 -3.0 857,6241 23 05-11-12 8:00 -3.0 857,6241 25 05-11-12 8:00 -3.0 857,6241	20	31-10-12	8:00	-1,9	857,7653	20	31-10-12	8:00	-2,5	857,6929	20	31-10-12	8:00	-3,8	857,7762	20	31-10-12	8:00	-3,9	857,6237	20	31-10-12	8:00	-3,50	857,6927
23 05-11-12 18-00 -0.8 857.7664 23 05-11-12 18-00 -1.9 857.8052 23 05-11-12 18-00 -2.8 857.7772 23 05-11-12 18-00 -3.5 857.6241 23 05-11-12 18-00 -3.2 857.6241 24 24 25-11-12 18-00 -3.2 857.6241 24 25-11-12 18-00 -3.2 857.6241 24 25-11-12 18-00 -3.2 857.6241 24 25-11-12 18-00 -3.2 857.6241 25 25-11-12 18-00 -3.2 857.6241 25 25-11-12 18-00 -3.2 857.6242 25 25-11-12 18-00	21	01-11-12	8:00	-1,3	857,7659	21	01-11-12	8:00	-1,6	857,6938	21	01-11-12	8:00	-3,0	857,7770	21	01-11-12	8:00	-3,1	857,6245	21	01-11-12	8:00	-3,20	857,6930
24 05-11-12 14:00 -0.8 867,7664 24 05-11-12 14:00 -1.9 857,6955 24 05-11-12 14:00 -2.8 857,7767 27 05-11-12 14:00 -3.5 857,6241 24 05-11-12 14:00 -3.20 857,6935 25 25 25 25 25 25 25	22	02-11-12	8:00	-1,4	857,7658	22	02-11-12	8:00	-2,2	857,6932	22	02-11-12	8:00	-3,2	857,7768	22	02-11-12	8:00	-3,5	857,6241	22	02-11-12	8:00	-3,10	857,6931
25 08-11-12 8:00 -1.2 857,7860 25 08-11-12 8:00 -2.4 857,8937 25 08-11-12 8:00 -3.1 857,7898 25 08-11-12 8:00 -3.2 857,8244 25 08-11-12 8:00 3.0 857,8232 27 28-11-12 8:00 -3.2 857,7851 27 28-11-12 8:00 -2.4 857,8937 28 28-11-12 8:00 -3.4 857,7834 27 28-11-12 8:00 -3.0 857,8232 28 28-11-12 14:00 -3.5 857,7851 27 28-11-12 8:00 -2.7 857,8627 27 28-11-12 8:00 -3.7 857,7878 27 28-11-12 8:00 -4.0 857,6333 27 28-11-12 8:00 -3.0 857,8232 28 28-11-12 14:00 -3.5 857,7851 28 28-11-12 14:00 -2.2 857,8627 28 28-11-12 14:00 -3.0 857,7770 28 28-11-12 8:00 -3.4 857,6243 28 28-11-12 8:00 -3.4 85	23	05-11-12	8:00	-0,8	857,7664	23	05-11-12	8:00	-1,9	857,6935	23	05-11-12	8:00	-2,8	857,7772	23	05-11-12	8:00	-3,5	857,6241	23	05-11-12	8:00	-3,20	857,6930
24 11-12 800 -1.8 887,7654 26 24-11-12 800 -2.4 857,8030 26 24-11-12 8.00 -3.2 857,768 26 24-11-12 8.00 -3.4 857,6032 27 28-11-12 8.00 -3.7 857,6032 27 28-11-12 8.00 -3.4 857,6032 27 28-11-12 8.00 -3.6 857,6032 27 28-11-12 8.00 -3.6 857,6032 27 28-11-12 8.00 -3.6 857,6032 28 28-11-12 14.00 -3.6 857,7651 28 28-11-12 14.00 -2.2 857,6032 28 28-11-12 14.00 -3.0 857,7770 28 28-11-12 14.00 -3.3 857,624 28 28-11-12 14.00 -2.8 857,6032 29 29-11-12 14.00 -3.0 857,6032 29 29-11-12 14.00 -3.0 857,6032 29 29-11-12 14.00 -3.0 857,6032 29 29-11-12 14.00 -3.0 857,6032 29 29-11-12 14.00 -3.0 857,6032 29 29-11-12 14.00 -3.0 857,6032 29 29-11-12 14.00 -3.0 857,6032 29 29-11-12 14.00 -3.0 857,6032 29 29-11-12 14.00 -3.0 857,6032 29 29-11-12 14.00 -3.0 857,6032 29 29-11-12 14.00 -3.0 857,6032 30 29-11-12 14.00 -3.0 857,6032 30 29-11-12 14.00 -3.0 857,6032 30 29-11-12 14.00 -3.0 857,6032 30 29-11-12 14.00 -3.0 857,6032 30 29-11-12 14.00 -3.0 857,6032 30 29-11-12 14.00 -3.0 857,6032 30 29-11-12 14.00 -3.0 857,6032 30 29-11-12 14.00 -3.0 857,6032 30 29-11-12 14.00 -3.0 857,6032 30 29-11-12 14.00 -3.0 857,6032 30 30-11-12 14	24	05-11-12	14:00	-0,8	857,7664	24	05-11-12	14:00	-1,9	857,6935	24	05-11-12	14:00	-2,8	857,7772	24	05-11-12	14:00	-3,5	857,6241	24	05-11-12	14:00	-3,20	857,6930
28 28-11-12 8:00 -2.1 857,7651 27 28-11-12 8:00 -2.7 857,6927 27 28-11-12 8:00 -3.7 857,7632 27 28-11-12 8:00 -3.4 857,6927 27 28-11-12 8:00 -3.0 857,7632 27 28-11-12 8:00 -3.4 857,6929 29 29-11-12 8:00 -3.4 857,7770 28 28-11-12 14:00 -3.3 857,6242 28 29-11-12 8:00 -3.4 857,7770 28 28-11-12 14:00 -3.3 857,6242 29 29-11-12 8:00 -3.4 857,7780 29 29-11-12 14:00 -3.6 857,6242 29 29-11-12 8:00 -3.4 857,7780 29 29-11-12 14:00 -3.6 857,6242 29 29-11-12 8:00 -3.4 857,7780 29 29-11-12 14:00 -3.6 857,6242 29 29-11-12 8:00 -3.6 857,6242 29 29-11-12 8:00 -3.6 857,6242 29 29-11-12 8:00 -3.6 857,6242 29 29-11-12 8:00 -3.6 857,6242 29 29-11-12 8:00 -3.6 857,6242 29 29-11-12 8:00 -3.6 857,6242 29 29-11-12 8:00 -3.6 857,6242 29 29-11-12 8:00 -3.6 857,6242 29 29-11-12 8:00 -3.6 857,6242 29 29-11-12 8:00 -3.6 857,6242 39 29-11-12 8:00 -3.6 857,6243 39 29-11-12 8:00 -3.6 857,6243 31 30-11-12 8:00 -3.2 857,7855 31 30-11-12 8:00 -3.2 857,7855 31 30-11-12 8:00 -3.6 857,6243 32 30-11-12 8:00 -3.6 857,	25	06-11-12	8:00	-1,2	857,7660	25	06-11-12	8:00	-1,7	857,6937	25	06-11-12	8:00	-3,1	857,7769	25	06-11-12	8:00	-3,2	857,6244	25	06-11-12	8:00	-2,80	857,6934
28 28-11-12 14-00 -1.5 857.7851 28 28-11-12 14-00 -2.2 857.8932 28 28-11-12 14-00 -3.0 857.7778 28 28-11-12 14-00 -3.3 857.6942 28 28-11-12 14-00 -2.8 857.8942 28 28-11-12 14-00 -3.0 857.7861 29 29-11-12 14-00 -3.0 857.8942 29 29-11-12 14-00 -3.0 857.894	26	24-11-12	8:00	-1,8	857,7654	26	24-11-12	8:00	-2,4	857,6930	26	24-11-12	8:00	-3,2	857,7768	26	24-11-12	8:00	-3,4	857,6242	26	24-11-12	8:00	-3,00	857,6932
29 19-11-12 8-00 -2.1 857,7651 29 29-11-12 8-00 -2.5 857,6929 29 29-11-12 8-00 -3.4 857,6242 29 29-11-12 8-00 -2.5 857,6933 30 -2.1 12 14-00 -2.5 857,6933 30 -2.1 12 14-00 -2.5 857,6933 30 -2.1 12 14-00 -2.5 857,6933 30 -1.1 12 8-00 -2.5 857,6933 30 -1.1 12 8-00 -2.5 857,6933 30 -1.1 14-00 -2.5 857,69	27	28-11-12	8:00	-2,1	857,7651	27	28-11-12	8:00	-2,7	857,6927	27	28-11-12	8:00	-3,7	857,7763	27	28-11-12	8:00	-4,0	857,6236	27	28-11-12	8:00	-3,40	857,6928
30 29-11-12 14:00 -2.5 867,7867 30 29-11-12 14:00 -2.7 857,8927 30 29-11-12 14:00 -3.0 857,7787 30 29-11-12 14:00 -4.0 857,828 30 29-11-12 14:00 -3.2 857,828 31 30-11-12 8:00 -2.6 857,833 32 30-11-12 14:00 -2.4 857,8930 32 30-11-12 14:00 -3.4 857,786 31 30-11-12 14:00 -3.3 857,824 32 30-11-12 14:00 -2.7 857,833 32 30-11-12 14:00 -2.4 857,8930 32 30-11-12 14:00 -3.4 857,786 32 30-11-12 14:00 -3.3 857,824 32 30-11-12 14:00 -2.7 857,833 30-11-12 14:00 -2.7 857,833 30-11-12 14:00 -2.4 857,833 30-11-12 14:00 -3.4 857,786 32 30-11-12 14:00 -3.3 857,824 32 30-11-12 14:00 -2.7 857,833 30-11-12 14:00 -2.7 857,833 30-11-12 14:00 -2.7 857,833 30-11-12 14:00 -3.5 857,833 30-11-12 14:00	28	28-11-12	14:00	-1,5	857,7657	28	28-11-12	14:00	-2,2	857,6932	28	28-11-12	14:00	-3,0	857,7770	28	28-11-12	14:00	-3,3	857,6243	28	28-11-12	14:00	-2,80	857,6934
30-11-12 3-00	29	29-11-12	8:00	-2,1	857,7651	29	29-11-12	8:00	-2,5	857,6929	29	29-11-12	8:00	-3,4	857,7766	29	29-11-12	8:00	-3,4	857,6242	29	29-11-12	8:00	-2,80	857,6934
32 30-11-12 14:00 -1,9 867,7653 32 30-11-12 14:00 -2,4 857,6930 32 30-11-12 14:00 -3,4 857,765 32 30-11-12 14:00 -3,3 857,624 32 30-11-12 14:00 -3,0 857,633 33 03-12-12 8:00 -3,7 857,623 32 30-11-12 14:00 -3,0 857,633 33 03-12-12 8:00 -3,0 857,633 33 03-12-12 8:00 -3,0 857,633 34 03-12-12 14:00 -3,0 857,633 34 03-12-12 14:00 -3,0 857,633 34 03-12-12 14:00 -3,0 857,633 34 03-12-12 14:00 -3,0 857,633 35 04-12-12 14:00 -3,0 857,633 35 04-12-12 14:00 -3,0 857,633 36 04-12-12 14:00 -3,0 857,633 36 04-12-12 14:00 -3,0 857,633 36 04-12-12 14:00 -3,0 857,633 36 04-12-12 14:00 -3,0 857,633 36 04-12-12 14:00 -3,0 857,633 36 04-12-12 14:00 -3,0 857,633 36 04-12-12 14:00 -3,0 857,633 36 04-12-12 14:00 -3,0 857,633 36 04-12-12 14:00 -3,0 857,633 36 04-12-12 14:00 -3,0 857,633 36 04-12-12 14:00 -3,0 857,633 36 04-12-12 14:00 -3,0 857,633 36 04-12-12 14:00 -3,0 857,633 36 04-12-12 14:00 -3,0 857,633 36 04-12-12 14:00 -3,0 857,633 37 05-12-12 14:00 -3,0 857,633 37 05-12-12 14:00 -3,0 857,633 37 05-12-12 14:00 -3,0 857,633 38 04-12-12 14:00 -3,0 857,633 37 05-12-12 14:00 -3,0 857,633 37 05-12-12 14:00 -3,0 857,633 37 05-12-12 14:00 -3,0 857,633 38 05-12-12 14:00 -3,0 857,633 37 05-12-12 14:00 -3,0 857,633 38 05-12-12 14:00 -3,0 857,633 38 05-12-12 14:00 -3,0 857,633 38 05-12-12 14:00 -3,0 857,633 37 05-12-12 14:00 -3,0 857,633 38 05-12-12 14:00 -3,0 857,633 37 05-12-12 14:00 -3,0 857,633 38 05-12-12 14:00 -3,0 857,633 3	30	29-11-12	14:00	-2,5	857,7647	30	29-11-12	14:00	-2,7	857,6927	30	29-11-12	14:00	-3,0	857,7770	30	29-11-12	14:00	-4,0	857,6236	30	29-11-12	14:00	-3,50	857,6927
33 03-12-12 8:00 -1,9 857,7651 33 03-12-12 8:00 -2,7 857,6937 33 03-12-12 8:00 -3,8 857,6937 33 03-12-12 8:00 -3,8 857,6937 33 03-12-12 8:00 -3,0 857,6937 33 03-12-12 8:00 -3,0 857,6937 33 03-12-12 8:00 -3,0 857,6937 33 03-12-12 8:00 -3,0 857,6937 33 03-12-12 8:00 -3,0 857,6938 34 05-12-12 8:00 -3,0 857,6938 34 05-12-12 8:00 -3,0 857,6938 34 05-12-12 8:00 -3,0 857,6938 34 05-12-12 8:00 -3,0 857,6938 34 05-12-12 8:00 -3,0 857,6938 34 05-12-12 8:00 -3,0 857,6938 34 05-12-12 8:00 -3,0 857,6938 34 05-12-12 8:00 -3,0 857,6938 34 05-12-12 8:00 -3,0 857,6938 34 05-12-12 8:00 -4,0 857,6938 34 05-12-12 8:00 -4,0 857,6938 34 05-12-12 8:00 -4,0 857,6938 34 05-12-12 8:00 -4,0 857,6938 34 05-12-12 8:00 -4,0 857,6938 34 05-12-12 8:00 -4,0 857,6938 34 05-12-12 8:00 -4,0 857,6938 34 05-12-12 8:00 -4,0 857,6938 34 05-12-12 8:00 -4,0 857,6938 34 05-12-12 8:00 -4,0 857,6938 34 05-12-12 8:00 -4,0 857,6938 34 05-12-12 8:00 -4,0 857,6938 34 05-12-12 8:00 -4,0 857,6938 34 05-12-12 8:00 -4,0 857,6938 34 05-12-12 8:00 -4,0 857,6938 34 05-12-12 8:00 -4,0 857,6938 34 05-12-12 8:00 -4,0 857,6938 34 05-12-12 8:00 -4,0 857,6938	31	30-11-12	8:00	-1,7	857,7655	31	30-11-12	8:00	-2,2	857,6932	31	30-11-12	8:00	-3,2	857,7768	31	30-11-12	8:00	-3,2	857,6244	31	30-11-12	8:00	-2,60	857,6936
34 03-12-12 14:00 -2.1 857,7661 34 03-12-12 14:00 -2.6 857,6928 34 03-12-12 14:00 -3.8 857,7772 35 04-12-12 14:00 -3.0 857,6938 34 03-12-12 14:00 -3.0 857,6938 34 03-12-12 14:00 -3.0 857,6938 36 04-12-12 14:00 -3.0 857,6938 36 04-12-12 14:00 -3.0 857,6938 36 04-12-12 14:00 -3.0 857,6938 36 04-12-12 14:00 -3.0 857,6938 36 04-12-12 14:00 -3.0 857,6938 36 04-12-12 14:00 -3.0 857,6938 37 05-12-12 14:00 -3.0 857,6938 37 05-12-12 14:00 -3.0 857,6938 37 05-12-12 14:00 -3.0 857,6938 37 05-12-12 14:00 -3.0 857,6938 37 05-12-12 14:00 -3.0 857,6938 37 05-12-12 14:00 -3.0 857,6938 37 05-12-12 14:00 -3.0 857,6938 37 05-12-12 14:00 -3.0 857,6938 37 05-12-12 14:00 -3.0 857,6938 37 05-12-12 14:00 -3.0 857,6938 37 05-12-12 14:00 -3.0 857,6938 38 05-12-12 14:00 -3.0 857,6938 38 05-12-12 14:00 -3.0 857,6938 38 05-12-12 14:00 -3.0 857,6938 38 05-12-12 14:00 -3.0 857,6938 38 05-12-12 14:00 -3.0 857,6938 39 05-12-12 14:00 -3.0 857,6938 38 05-12-12 14:00 -3.0 857,6938 39 05-12-12 14:00 -3.0 857,6938 38 05-12-12 14:00 -3.0 857,6938 39 05-12-12 14:00 -3.0 857,6938 38 05-12-12 14:00 -3.0 857,6938 39 05-12-12 14:00 -3.0 857,693	32	30-11-12	14:00	-1,9	857,7653	32	30-11-12	14:00	-2,4	857,6930	32	30-11-12	14:00	-3,4	857,7766	32	30-11-12	14:00	-3,3	857,6243	32	30-11-12	14:00	-2,70	857,6935
36 04-12-12 8:00 -1.2 857,7867 36 04-12-12 8:00 -1.9 857,6935 36 04-12-12 8:00 -2.8 857,7772 35 04-12-12 8:00 -3.0 857,6246 36 04-12-12 8:00 -2.9 857,6935 37 05-12-12 8:00 -3.0 857,624 36 04-12-12 8:00 -3.0 857,624 37 04-12-12 8:00 -3.0 857,624 3	33	03-12-12	8:00	-1,9	857,7653	33	03-12-12	8:00	-2,7	857,6927	33	03-12-12	8:00	-3,7	857,7763	33	03-12-12	8:00	-3,3	857,6243	33	03-12-12	8:00	-3,00	857,6932
36 04-12-12 14:00 -1,5 867,7657 36 04-12-12 14:00 -1,9 857,6935 36 04-12-12 14:00 -3,3 857,767 36 04-12-12 14:00 -3,4 857,6242 36 04-12-12 14:00 -3,5 857,693 37 05-12-12 14:00 -3,6 857,693 38 05-12-12 14:00 -3,6 857,693 38 05-12-12 14:00 -3,6 857,693 38 05-12-12 14:00 -3,6 857,693 38 05-12-12 14:00 -3,6 857,693 38 05-12-12 14:00 -3,6 857,693 38 05-12-12 14:00 -3,6 857,693 38 05-12-12 14:00 -3,6 857,693 38 05-12-12 14:00 -3,6 857,693 38 05-12-12 14:00 -3,6 857,693 38 05-12-12 14:00 -3,6 857,693 38 05-12-12 14:00 -3,6 857,693 38 05-12-12 14:00 -3,6 857,693 39 05-12-12 14:00 -3,6 857,693 39 05-12-12 14:00 -3,6 857,764 40 05-12-12 14:00 -3,6 857,764 41 07-12-12 8:00 -4,4 857,693 40 05-12-12 14:00 -3,0 857,693 40 05-12-12 14:00 -3,0 857,764 41 07-12-12 8:00 -4,4 857,693 40 05-12-12 14:00 -3,0 857,764 41 07-12-12 8:00 -4,4 857,693 40 05-12-12 14:00 -3,0 857,764 41 07-12-12 8:00 -4,4 857,694 41 07-12-12 8:00 -4,4 857,694 41 07-12-12 8:00 -4,4 857,694 41 07-12-12 8:00 -4,4 857,694 41 07-12-12 8:00 -4,4 857,694 41 07-12-12 8:00 -4,4 857,694 41 07-12-12 8:00 -4,4 857,694 41 07-12-12 8:00 -4,4 857,694 41 07-12-12 8:00 -4,4 857,694 41 07-12-12 8:00 -4,4 857,694 41 07-12-12 8:00 -4,4 857,694 41 07-12-12 8:00 -4,4 857,694 41 07-12-12 8:00 -4,6 857,694 41 07-12																									857,6929
37 05-12-12 8:00 -1.0 857,7655 37 05-12-12 8:00 -2.5 857,6929 37 05-12-12 8:00 -3.6 857,7764 37 05-12-12 8:00 -3.8 857,6238 37 05-12-12 14:00 -3.0 857,6925 38 05-12-12 14:00 -3.0 857,6925 38 05-12-12 14:00 -3.0 857,6925 39 05-12-12 8:00 -3.6 857,7762 38 05-12-12 14:00 -4.0 857,6925 39 05-12-12 8:00 -3.6 857,6925 39 05-12-12 8:00 -3.6 857,6925 39 05-12-12 8:00 -3.6 857,6925 39 05-12-12 8:00 -4.2 857,7946 30 0-12-12 8:00 -4.0 857,6925 39 05-12-12 8:00 -5.2 857,7946 30 0-12-12 8:00 -5.2 857,6925 39 05-12-12 8:00 -5.2 857,7946 30 0-12-12 8:00 -5.2 857,7946 30 0-12-12 8:00 -5.2 857,7946 30 0-12-12 8:00 -5.2 857,7946 30 0-12-12 8:00 -5.2 857,7946 30 0-12-12 8:00 -5.2 857,7946 30 0-12-12 8:00 -5.2 857,7946 30 0-12-12 8:00 -5.2 857,7946 30 0-12-12 8:00 -5.2 857,7946 30 0-12-12 8:00 -5.2 857,7946 30 0-12-12 8:00 -5.2 857,7946 30 0-12-12 8:00 -5.2 857,7945 30 0-12-12 8:00 -5.2 857,7945 30 0-12-12 8:00 -5.2 857,7945 30 0-12-12 8:00 -5.2 857,7945 30 0-12-12 8:00 -5.2 857,7945 30 0-12-12 8:00 -5.2 857,7945 30 0-12-12 8:00 -5.2 857,7945 30 0-12-12 8:00 -5.2 857,7945 30 0-12-12 8:00 -5.2 857,7945 30 0-12-12 8:00 -5.2 857,7945 30 0-12-12 8:00 -5.2 857,7945 30 0-12-12 8:00 -5.2 857,7945 30 0-12-12 8:00 -5.2 857,7945 30 0-12-12 8:00 -5.2 857,7945 30 0-12-12 8:00 -5.2 8	35		8:00			35		8:00	-1,9		35		8:00	-2,8				8:00	-3,0		35		8:00	-2,90	
38 05-12-12 14:00 -1,0 857,7653 38 05-12-12 14:00 -2,6 857,6928 38 05-12-12 14:00 -3,8 857,7652 39 05-12-12 14:00 -4,0 857,6928 38 05-12-12 14:00 -4,0 857,6928 38 05-12-12 14:00 -4,0 857,6928 39 05-12-12 14:00 -3,2 857,7654 40 05-12-12 14:00 -2,4 857,6939 40 05-12-12 14:00 -3,9 857,7761 40 05-12-12 14:00 -3,9 857,6937 40 05-12-12 14:00 -3,2 857,6938 41 07-12-12 14:00 -3,0 857,6938 41 07-12-12 14:00 -5,0 857,7648 41 07-12-12 14:00 -3,0 857,6938 41 07-12-12 14:00 -5,0 857,7648 41 07-12-12 14:00 -3,0 857,6938 41 07-12-12 14:00 -5,0 857,7648 41 07-12-12 14:00 -4,0 857,6938 41 07-12-12 14:00 -5,0 857,744 45 01-12-12 14:00 -5,0 857,744 41 07-12-12 14:00 -5,0 857,8938 41 07-12-12 14:00 -5,0 857,7645 45 01-12-12 14:00 -3,5 857,8938 48 01-12-12 14:00 -5,0 857,744 48 01-12-12 14:00 -4,0 857,6938 45 01-12-12 14:00 -5,0 857,7744 48 01-12-12 14:00 -7,0 857,6938 48 01-12-12 14:00 -2,0 857,7645 48 01-12-12 14:00 -3,5 857,8938 48 01-12-12 14:00 -5,0 857,744 48 01-12-12 14:00 -4,0 857,6938 49 01-12-12 14:00 -5,0 857,7744 48 01-12-12 14:00 -7,0 857,6938 48 01-12-12 14:00 -2,0 857,7645 48 01-12-12 14:00 -3,0 857,6938 48 01-12-12 14:00 -5,0 857,7445 48 01-12-12 14:00 -7,0 857,6938 48 01-12-12 14:00 -7,0 857,6938 48											36	04-12-12			857,7767						36				
39 06-12-12 8:00 -2.3 867,7640 39 06-12-12 8:00 -2.9 857,6925 39 06-12-12 8:00 -4.2 857,7755 39 06-12-12 8:00 -4.4 857,6232 39 06-12-12 8:00 -4.0 857,6932 40 08-12-12 14:00 -3.0 857,6932 40 08-12-12 14:00 -3.0 857,6932 41 07-12-12 8:00 -4.0 857,6932 41 07-12-12 8:00 -4.0 857,6932 41 07-12-12 8:00 -4.0 857,6932 41 07-12-12 8:00 -5.4 857,7746 41 07-12-12 8:00 -6.1 857,6215 41 07-12-12 8:00 -5.2 857,6916 42 07-12-12 14:00 -5.0 857,6916 42 07-12-12 14:00 -7.0 857,6884 41 07-12-12 14:00 -7.0 857,6884 41 07-12-12 14:00 -7.0 857,6884 41 07-12-12 14:00 -7.0 857,6884 41 07-12-12 14:00 -7.0 857,6884 41 07-12-12 14:00 -7.0 857,6884 41 07-12-12 14:00 -7.0 857,6884 41 07-12-12 14:00 -7.0 857,6884 41 07-12-12 14:00 -7.0 857,6884 41 07-12-12 14:00 -7.0 857,6884 41 07-12-12 14:00 -7.0 857,6884 41 07-12-12 14:00 -7.0 857,6884 41 07-12-12 14:00 -7.0 857,6884 41 07-12-12 14:00 -7.0 857,6884 41 07-12-12 14:00 -7.0 857,6884 41 07-12-12 14:00 -7.0 857,6884 41 07-12-12 14:00 -7.0 857,6884 41 07-12-12 14:00 -7.0 857,6884 41 07-12-																					37				
40 08-12-12 14:00 -1.8 857,7854 40 08-12-12 14:00 -2.4 857,6930 40 08-12-12 14:00 -3.0 857,6931 40 08-12-12 14:00 -3.0 857,693																									857,6928
41 07-12-12 8:00 -2.0 857,7648 41 07-12-12 8:00 -3.6 857,6918 41 07-12-12 8:00 -5.0 857,6916 41 07-12-12 8:00 -5.0 857,6916 41 07-12-12 8:00 -5.0 857,6916 41 07-12-12 8:00 -5.0 857,6916 41 07-12-12 8:00 -5.0 857,6916 42 07-12-12 8:00 -5.0 857,6916 42 07-12-12 8:00 -5.0 857,6917 43 10-12-12 8:00 -5.0 857,7743 43 10-12-12 8:00 -5.0 857,6917 43 10-12-12 8:00 -5.0 857,6917 43 10-12-12 8:00 -5.0 857,6917 43 10-12-12 8:00 -5.0 857,6917 43 10-12-12 8:00 -5.0 857,6917 43 10-12-12 8:00 -5.0 857,6917 43 10-12-12 8:00 -5.0 857,6917 43 10-12-12 8:00 -5.0 857,6917 43 10-12-12 8:00 -5.0 857,6917 43 10-12-12 8:00 -5.0 857,6917 44 10-12-12 8:00 -5.0 857,6917 44 10-12-12 8:00 -5.0 857,6917 44 10-12-12 8:00 -5.0 857,6917 44 10-12-12 8:00 -5.0 857,7945 43 11-12-12 8:00 -5.0 857,6917 44 10-12-12 8:00 -5.0 857,7945 43 11-12-12 8:00 -5.0 857,7945 44 11-12-12 8:00 -5.0 857,6917 44 11-12-12 8:00 -5.0 857,7945 45 11-12-12 8:00 -5.0 857,6917 45 11-12-12 8:00 -5.0 857,7945 45 11-12-12 8:00 -5.0 857,6917 45 11-12-12 8:00 -5.0 857,7945 45 11-12-12 8:00 -5.0 857,7945 45 11-12-12 8:00 -5.0 857,6917 45 11-12-12 8:00 -5.0 857,7945 45 11-12-12 8:00 -5.0 857,6917 45 11-12-12 8:00 -5.0 857,7945 45 11-12-12 8:00 -5.0 857,7945 45 11-12-12 8:00 -5.0 857,6917 45 11-12-12 8:00 -5.0 857,7945 45 11-12-12 8:00 -5.0 857,6917 45 11-12-12 8:00 -5.0 857,7945 45 11-12-12 8:00 -5.0 857,6918 45 11-12-12 8:00 -5.0 857,7945 45 11-12-12 8:00 -5.0 857,6918 45 11-12-12 8:00 -5.0 857,7945 45 11-12-12 8:00 -5.0 857,8918 45 11-12-12 8:00 -5.0 857,7945 45 11-12-12 8:00 -5.0 857,8918 45 11-12-12 8:00 -5.0 857,8918 45 11-12-12 8:00 -5.0 857,8918 45 11-12-12 8:00 -5.0 857,8918 45 11-12-12 8:00 -5.0 857,8918 45 11-12-12 8:00 -5.0 857,8918 45 11-12-12 8:00 -5.0 857,8918 45 11-12-12 8:00 -5.0 857,8918 45 11-12-12 8:00 -5.0 857,8918 45 11-12-12 8:00 -5.0 857,8918 45 11-12-12 8:00 -5.0 857,8918 45 11-12-12 8:00 -5.0 857,8918 45 11-12-12 8:00 -5.0 857,8918 45 11-12-12 8:00 -5.0 857,8918 45 11-12-12 8:00 -5.0 857,8918 45 11-12-12 8:00 -5.0 857,8918 45 11-12-12 8:00 -5.0 857,8918	39							8:00			39							8:00			39				857,6922
42 07-12-12 14:00 -2.4 857,7648 42 07-12-12 14:00 -3.2 857,6922 42 07-12-12 14:00 -5.0 857,7750 42 07-12-12 14:00 -5.9 857,6217 42 07-12-12 14:00 -6.10 857,6907 43 10-12-12 8:00 -2.6 857,7646 43 10-12-12 8:00 -3.7 857,6917 43 10-12-12 8:00 -5.7 857,748 43 10-12-12 8:00 -6.6 857,6210 43 10-12-12 14:00 -8.10 857,6907 44 10-12-12 14:00 -8.10 857,6910 45 11-12-12 14:00 -8.10 857,6910 45 11-12-12 8:00 -6.0 857,748 44 10-12-12 14:00 -8.10 857,6910 45 11-12-12 8:00 -8.10 857,748 49 10-12-12 14:00 -8.10 857,6910 45 11-12-12 8:00 -8.10 857,748 49 10-12-12 14:00 -8.10 857,8910 45 11-12-12 8:00 -8.10 857,748 49 10-12-12 14:00 -8.10 857,8910 45 11-12-12 8:00 -8.10 857,8910 45 11-12-12 8:00 -8.10 857,8910 45 11-12-12 8:00 -7.3 857,8910 45 11-12-12 8:00 -7.40 857,8910 45 11-12-12 14:00 -8.10 857,8910 45 11-12-12 14:00 -8.10 857,8910 45 11-12-12 14:00 -7.3 857,8910 45 11-12-12 14:00 -7.0 857,8910											40														857,6930
43 10-12-12 8:00 -2.6 857,7648 43 10-12-12 8:00 -3.7 857,6997 43 10-12-12 8:00 -5.7 857,7749 44 10-12-12 8:00 -5.9 857,6207 43 10-12-12 8:00 -87,0897,6897 44 10-12-12 8:00 -5.9 857,6207 45 10-12-12 8:00 -5.9 857,6207 45 10-12-12 8:00 -7.40 857,6997 45 11-12-12 8:00 -7.40 857,6997 45 11-12-12 8:00 -7.40 857,6997 45 11-12-12 8:00 -7.40 857,6997 45 11-12-12 8:00 -7.40 857,6997 45 11-12-12 8:00 -7.40 857,6997 45 11-12-12 8:00 -7.40 857,6997 45 11-12-12 8:00 -7.40 857,6997 45 11-12-12 8:00 -7.40 857,6997 45 11-12-12 8:00 -7.40 857,6997 45 11-12-12 8:00 -7.40 857,6997 45 11-12-12 8:00 -7.40 857,6997 45 11-12-12 8:00 -7.40 857,6997 45 11-12-12 8:00 857,7740 45 11-12-12 8:00 -7.20 857,6997 45 11-12-12 8:00 857,7740 45 11-12-12 8:00 857,7740 45 11-12-12 8:00 857,7740 45 11-12-12 8:00 857,7740 45 11-12-12 8:00 857,7740 45 11-12-12 8:00 857,7740 45 11-12-12 8:00 857,6997 45 11-12-12 8:00 857,6997 45 11-12-12 8:00 857,6997 45 11-12-12 8:00 857,7740 857,6997 45 11-12-12 8:00 857,7740 857,6997 45 11-12-12 8:00 857,7740 857,6997 45 11-12-12 8:00 857,7840	41	07-12-12	8:00	-2,6	857,7646	41	07-12-12	8:00	-3,6	857,6918	41	07-12-12	8:00	-5,4	857,7746	41	07-12-12	8:00	-6,1	857,6215	41	07-12-12	8:00	-5,20	857,6910
44 10-12-12 14:00 -2.4 857,7648 44 10-12-12 14:00 -3.4 857,6920 44 10-12-12 14:00 -5.1 857,7749 44 10-12-12 14:00 -5.9 857,6217 44 10-12-12 14:00 -8.10 857,690 45 11-12-12 8:00 -2.7 857,7645 45 11-12-12 8:00 -4.0 857,6914 45 11-12-12 8:00 -8.0 857,7740 45 11-12-12 8:00 -7.3 857,6203 45 11-12-12 8:00 -7.40 857,688 46 11-12-12 14:00 -2.8 857,7644 46 11-12-12 14:00 -8.0 857,8914 47 12-12-12 14:00 -8.0 857,7740 48 11-12-12 14:00 -7.3 857,6203 45 11-12-12 14:00 -7.60 857,688 47 12-12-12 14:00 -2.6 857,7646 47 12-12-12 14:00 -4.0 857,6914 47 12-12-12 14:00 -5.8 857,7742 47 12-12-12 14:00 -7.3 857,6203 47 12-12-12 14:00 -7.50 857,688 48 13-12-12 14:00 -2.6 857,7646 48 13-12-12 14:00 -3.5 857,6916 48 13-12-12 14:00 -5.8 857,7741 48 13-12-12 14:00 -7.3 857,6203 47 12-12-12 14:00 -7.30 857,688 49 13-12-12 14:00 -3.5 857,6916 48 13-12-12 14:00 -5.9 857,7741 48 13-12-12 14:00 -7.5 857,6204 49 17-12-12 14:00 -7.3 857,6204 46 11-12-12 14:00 -7.3 857,6204 46 11-12-12 14:00 -7.5 857,688 49 13-12-12 14:00 -3.5 857,6916 49 13-12-12 14:00 -5.9 857,7741 48 13-12-12 14:00 -7.2 857,6204 49 17-12-12 14:00 -7.3 857,6204 50 27-12-12 14:00 -7.3 857,688 57,7841 49 17-12-12 14:00 -7.2 857,6204 50 27-12-12 14:00 -7.3 857,688 57,7841 49 17-12-12 14:00 -7.2 857,6204 50 27-12-12 14:00 -7.3 857,688 57,688 57,7841 49 17-12-12 14:00 -7.2 857,6204 50 27-12-12 14:00 -7.3 857,688 57,688 57,7841 50 27-12-12 14:00 -7.2 857,6204 50 27-12-12 14:00 -7.3 857,688 57,688 57,7841 50 27-12-12 14:00 -7.2 857,6204 50 27-12-12 14:00 -7.3 857,688 57,688 57,784 50 27-12-12 14:00 -3.9 857,688 57,689 50 27-12-12 14:00 -5.9 857,7741 50 27-12-12 14:00 -7.2 857,6204 50 27-12-12 14:00 -7.3 857,688 57,688 57,784 50 27-12-12 14:00 -7.3 857,688 57,688 57,784 50 27-12-12 14:00 -7.3 857,688 57,784 50 27-12-12 14:00 -7.3 857,688 57,784 50 27-12-12 14:00 -7.3 857,688 57,784 50 27-12-12 14:00 -7.3 857,688 57,784 50 27-12-12 14:00 -7.3 857,688 57,784 50 27-12-12 14:00 -7.3 857,688 57,784 50 27-12-12 14:00 -7.3 857,688 57,784 50 27-12-12 14:00 -7.3 857,688 57,784 50 27-12-12 14:	42	07-12-12	14:00	-2,4	857,7648	42	07-12-12	14:00	-3,2	857,6922	42	07-12-12	14:00	-5,0	857,7750	42	07-12-12	14:00	-5,9	857,6217	42	07-12-12	14:00	-6,10	857,6901
45 11-12-12 8:00 -2.7 857,7645 45 11-12-12 8:00 -4.0 857,6914 45 11-12-12 8:00 -5.0 857,7740 45 11-12-12 8:00 -7.3 857,623 45 11-12-12 8:00 -7.40 857,688 47 11-12-12 14:00 -2.8 857,7646 47 12-12-12 14:00 -3.5 857,6914 47 12-12-12 14:00 -5.8 857,7742 47 12-12-12 14:00 -7.2 857,620 46 11-12-12 14:00 -7.50 857,688 48 13-12-12 14:00 -3.5 857,6914 47 12-12-12 14:00 -5.8 857,7742 47 12-12-12 14:00 -7.3 857,620 47 12-12-12 14:00 -7.50 857,688 48 13-12-12 14:00 -8.5 857,744 48 13-12-12 14:00 -8.5 857,744 47 12-12-12 14:00 -8.7 857,620 48 13-12-12 14:00 -7.30 857,688 49 17-12-12 14:00 -2.7 857,685 49 17-12-12 14:00 -4.2 857,6915 50 27-12-12 14:00 -5.9 857,7741 48 13-12-12 14:00 -7.5 857,620 48 13-12-12 14:00 -7.30 857,688 49 17-12-12 14:00 -2.8 857,7645 49 17-12-12 14:00 -4.9 857,6915 50 27-12-12 14:00 -5.9 857,7741 50 27-12-12 14:00 -7.5 857,620 49 17-12-12 14:00 -7.3 857,620 49 17-12-12 14:00	43	10-12-12	8:00	-2,6	857,7646	43	10-12-12	8:00	-3,7	857,6917	43	10-12-12	8:00	-5,7	857,7743	43	10-12-12	8:00	-6,6	857,6210	43	10-12-12	8:00	-6,70	857,6895
45 11-12-12 8:00 -2.7 857,7645 45 11-12-12 8:00 -4.0 857,6914 45 11-12-12 8:00 -5.0 857,7740 45 11-12-12 8:00 -7.3 857,623 45 11-12-12 8:00 -7.40 857,688 47 11-12-12 14:00 -2.8 857,7646 47 12-12-12 14:00 -3.5 857,6914 47 12-12-12 14:00 -5.8 857,7742 47 12-12-12 14:00 -7.2 857,620 46 11-12-12 14:00 -7.50 857,688 48 13-12-12 14:00 -3.5 857,6914 47 12-12-12 14:00 -5.8 857,7742 47 12-12-12 14:00 -7.3 857,620 47 12-12-12 14:00 -7.50 857,688 48 13-12-12 14:00 -8.5 857,744 48 13-12-12 14:00 -8.5 857,744 47 12-12-12 14:00 -8.7 857,620 48 13-12-12 14:00 -7.30 857,688 49 17-12-12 14:00 -2.7 857,685 49 17-12-12 14:00 -4.2 857,6915 50 27-12-12 14:00 -5.9 857,7741 48 13-12-12 14:00 -7.5 857,620 48 13-12-12 14:00 -7.30 857,688 49 17-12-12 14:00 -2.8 857,7645 49 17-12-12 14:00 -4.9 857,6915 50 27-12-12 14:00 -5.9 857,7741 50 27-12-12 14:00 -7.5 857,620 49 17-12-12 14:00 -7.3 857,620 49 17-12-12 14:00	44	10-12-12	14:00	-2,4	857,7648	44	10-12-12	14:00	-3,4	857,6920	44	10-12-12	14:00	-5,1	857,7749	44	10-12-12	14:00	-5,9	857,6217	44	10-12-12	14:00	-6,10	857,6901
47 12-12-12 14:00 -2.6 857,7646 47 12-12-12 14:00 -4.0 857,6914 47 12-12-12 14:00 -5.8 857,7742 47 12-12-12 14:00 -7.3 857,6203 47 12-12-12 14:00 -7.50 857,6881 48 13-12-12 14:00 -2.6 857,7646 48 13-12-12 14:00 -3.5 857,6919 48 13-12-12 14:00 -5.9 857,7741 48 13-12-12 14:00 -6.7 857,6209 48 13-12-12 14:00 -7.30 857,6881 49 17-12-12 14:00 -4.2 857,6919 49 17-12-12 14:00 -5.9 857,7741 49 17-12-12 14:00 -7.5 857,6204 49 17-12-12 14:00 -7.5 857,6881 49 17-12-12 14:00 -4.2 857,6919 49 17-12-12 14:00 -5.9 857,7741 49 17-12-12 14:00 -7.2 857,6204 49 17-12-12 14:00 -7.3 857,6881 49 17-12-12 14:00 -4.2 857,6919 49 17-12-12 14:00 -5.9 857,7741 49 17-12-12 14:00 -7.2 857,6204 49 17-12-12 14:00 -7.3 857,6881	45	11-12-12	8:00	-2,7	857,7645	45	11-12-12	8:00	-4,0	857,6914	45	11-12-12	8:00	-6,0	857,7740	45	11-12-12	8:00	-7,3	857,6203	45	11-12-12	8:00	-7,40	857,6888
48 13-12-12 14:00 -2.6 857,7646 48 13-12-12 14:00 -3.5 857,6919 48 13-12-12 14:00 -5.9 857,7741 48 13-12-12 14:00 -6.7 857,629 48 13-12-12 14:00 -7.30 857,6881 49 17-12-12 14:00 -2.7 857,7645 49 17-12-12 14:00 -4.2 857,6912 49 17-12-12 14:00 -5.9 857,7741 48 13-12-12 14:00 -7.5 857,620 48 13-12-12 14:00 -7.30 857,6881 69 17-12-12 14:00 -2.5 857,7645 49 17-12-12 14:00 -3.9 857,6915 50 27-12-12 14:00 -5.9 857,7741 49 17-12-12 14:00 -7.5 857,620 49 17-12-12 14:00 -7.30 857,6881	46	11-12-12	14:00	-2,8	857,7644	46	11-12-12	14:00	-3,7	857,6917	46	11-12-12	14:00	-6,1	857,7739	46	11-12-12	14:00	-7,2	857,6204	46	11-12-12	14:00	-7,60	857,6886
49 17-12-12 14:00 -2.7 857,6845 49 17-12-12 14:00 -4.2 857,6912 49 17-12-12 14:00 -5.9 857,7741 49 17-12-12 14:00 -7.5 857,6201 49 17-12-12 14:00 -7.70 857,6881 50 27-12-12 14:00 -2.8 857,7644 50 27-12-12 14:00 -3.9 857,6915 50 27-12-12 14:00 -5.9 857,7741 50 27-12-12 14:00 -7.2 857,6204 50 27-12-12 14:00 -7.30 857,6881	47	12-12-12	14:00	-2,6	857,7646	47	12-12-12	14:00	-4,0	857,6914	47	12-12-12	14:00	-5,8	857,7742	47	12-12-12	14:00	-7,3	857,6203	47	12-12-12	14:00	-7,50	857,6887
49 17-12-12 14:00 -2.7 857,6845 49 17-12-12 14:00 -4.2 857,6912 49 17-12-12 14:00 -5.9 857,7741 49 17-12-12 14:00 -7.5 857,6201 49 17-12-12 14:00 -7.70 857,6881 50 27-12-12 14:00 -2.8 857,7644 50 27-12-12 14:00 -3.9 857,6915 50 27-12-12 14:00 -5.9 857,7741 50 27-12-12 14:00 -7.2 857,6204 50 27-12-12 14:00 -7.30 857,6881	48	13-12-12	14:00	-2,6	857,7646	48	13-12-12	14:00	-3,5	857,6919	48	13-12-12	14:00	-5,9	857,7741	48	13-12-12	14:00	-6,7	857,6209	48	13-12-12	14:00	-7,30	857,6889
50 27-12-12 14:00 -2.8 857,7644 50 27-12-12 14:00 -3.9 857,6915 50 27-12-12 14:00 -5.9 857,7741 50 27-12-12 14:00 -7.2 857,6204 50 27-12-12 14:00 -7.30 857,6881	49	17-12-12				49		14:00			49					49		14:00	-7,5		49		14:00	-7,70	857,6885
	50	27-12-12	14:00	-2,8	857,7644	50	27-12-12	14:00	-3,9	857,6915	50	27-12-12	14:00	-5,9	857,7741	50	27-12-12	14:00	-7,2	857,6204	50	27-12-12	14:00	-7,30	857,6889
	51	02-01-13	10:00	-2,9	857,7643	51	02-01-13	10:00	-4,1	857,6913	51	02-01-13	10:00	-6,4	857,7736	51	02-01-13	10:00	-7,6	857,6200	51	02-01-13	10:00	-8,20	857,6880

TABLA 4.1.1.i.: Lecturas de los cuatro puntos superficiales (P1, P2, P3 y P4) tras el paso de la tuneladora S430 y S431.





GRAFICA 4.1.1.i.: Asentamientos (mm) contra tiempo (días) en base a las lecturas de los puntos superficiales, tras el paso de la tuneladora S430 y S431.

T2					T4				
Jornada	Fecha	Hora	Deformación Acumulada	Dato	Jornada	Fecha	Hora	Deformación Acumulada	Dato
1	20-08-12	10:00	0,0	852,7797	1	20-08-12	10:00	0,0	852,7762
2	21-08-12	10:00	-0,1	852,7796	2	21-08-12	10:00	0,3	852,7765
3	02-10-12	16:00	0,2	852,7799	3	02-10-12	16:00	0,4	852,7766
4	04-10-12	11:00	0,6	852,7803	4	04-10-12	11:00	0,8	852,777
5	05-10-12	11:00	1,3	852,7810	5	05-10-12	11:00	1,3	852,7775
6	09-10-12	11:00	-0,3	852,7794	6	09-10-12	11:00	1,3	852,7775
7	10-10-12	10:00	-1,7	852,7780	7	10-10-12	10:00	-0,1	852,7761
8	10-10-12	14:00	-2,1	852,7776	8	10-10-12	14:00	0,3	852,7765
9	11-10-12	8:00	-2,6	852,7771	9	11-10-12	8:00	-0,3	852,7759
10	11-10-12	14:00	-3,5	852,7762	10	11-10-12	14:00	0,3	852,7765
11	15-10-12	8:00	-3,5	852,7762	11	15-10-12	8:00	0,2	852,7764
12	15-10-12	14:00	-1,5	852,7782	12	15-10-12	14:00	0,1	852,7763
13	16-10-12	8:00	-1,6	852,7781	13	16-10-12	8:00	0,0	852,7762
14	16-11-12	10:00	-1,5	852,7782	14	16-11-12	10:00	-0,4	852,7758
15	16-11-12	14:00	-1,4	852,7783	15	16-11-12	14:00	-0,2	852,776
16	17-11-12	8:00	-0,5	852,7792	16	17-11-12	8:00	1,0	852,7772
17	19-11-12	8:00	-1,1	852,7786	17	19-11-12	8:00	0,5	852,7767
18	19-11-12	14:00	-1,8	852,7779	18	19-11-12	14:00	-0,6	852,7756
19	20-11-12	8:00	-1,4	852,7783	19	20-11-12	8:00	-0,1	852,7761
20	20-11-12	14:00	-1,1	852,7786	20	20-11-12	14:00	-0,3	852,7759
21	21-11-12	8:00	-3,6	852,7761	21	21-11-12	8:00	-3,6	852,7726
22	21-11-12	14:00	-2,7	852,7770	22	21-11-12	14:00	-3,0	852,7732
23	22-11-12	8:00	-5,2	852,7745	23	22-11-12	8:00	-4,3	852,7719
24	22-11-12	14:00	-3,6	852,7761	24	22-11-12	14:00	-4,3	852,7719

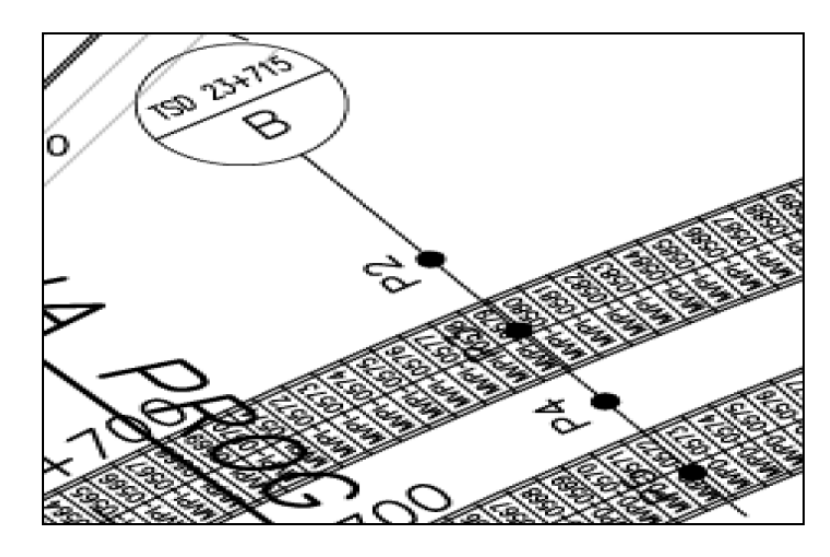
TABLA 4.1.1.j.: Lecturas de los dos tasómetros (T1 y T2) tras el paso de la tuneladora S430 y S431.



GRAFICA 4.1.1.j.: Asentamientos (mm) contra tiempo (días) en base a las lecturas de los tasómetros, tras el paso de la tuneladora S430 y S431.



SEC: 23+715



		ACTIVIDAD EN OBRA								
1	17/10/2012	17/10/2012 Los valores iniciales de la instrumentacion								
2	26/10/2012	PASO S431								
3	11/12/2012	PASO S430								

FIGURA 4.1.1.h.: Ubicación de la sección tipo "B" en la progresiva 23+715 del alineamiento Proyecto Línea 5.



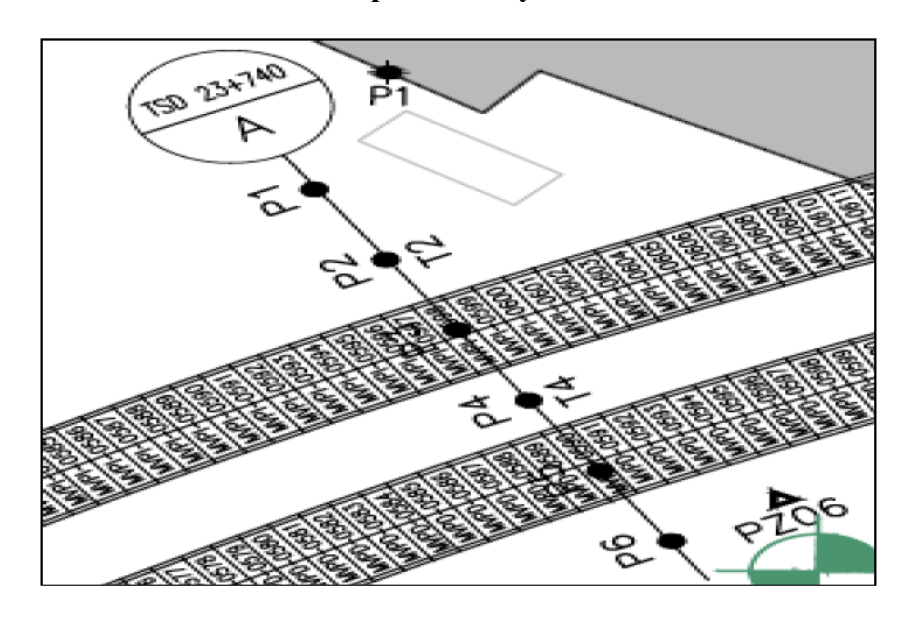
Seguimiento Instrumental Geotécnico para controlar riesgos en la construcción de túneles tipo escudo del tramo Foso UNEFA-Estación Bello Campo del Proyecto Línea 5 Metro de Caracas

Fecha Hora Hora Dato Dato Dato Dato 17-10-12 18-10-12 19-10-12 19-10-12 17-10-12 18-10-12 857,0597 857,0600 17-10-12 18-10-12 8:00 14:00 857,9193 857,9195 857,8475 857,8474 17-10-12 8:00 18-10-12 14:00 857,8642 857,8633 14:00 14:00 -0,1 -0,8 0.3 0.2 -0.9 -0,9 0,0 857,0588 857,0597 19-10-12 19-10-12 857,9183 857,919 19-10-12 8:00 19-10-12 14:00 19-10-12 8:00 8:00 8:00 857 8467 857 8628 -0,6 857,8469 19-10-12 14:00 14:00 14:00 20-10-12 22-10-12 22-10-12 23-10-12 20-10-12 22-10-12 22-10-12 23-10-12 8:00 8:00 -0,4 857,8471 -0,7 857,8468 8:00 8:00 14:00 8:00 -0,9 857,8466 -0,1 857,8474 857,8620 857,8627 14:00 857,9188 14:00 14:00 9 23-10-12 14:00 10 24-10-12 8:00 11 24-10-12 14:00 12 25-10-12 8:00 23-10-12 23-10-12 24-10-12 24-10-12 25-10-12 857,8474 857,8468 857,8468 857,8472 857,8461 8 23-10-12 8:00 9 23-10-12 14:00 10 24-10-12 8:00 11 24-10-12 14:00 12 25-10-12 8:00 23-10-12 23-10-12 24-10-12 24-10-12 857,9187 857,9186 857,9189 857,0595 857,0595 14:00 14:00 857 8617 8:00 14:00 -0.1 12 25-10-12 13 26-10-12 14 26-10-12 15 27-10-12 16 29-10-12 26-10-12 26-10-12 27-10-12 8:00 857 0586 13 26-10-12 8:00 14 26-10-12 14:00 857,9172 8:00 857 8455 13 26-10-12 8:00 14 26-10-12 14:00 857.8601 857,0588 -3,9 857,8603 857,9178 -1.2 857.8463 8:00 8:00 857,0580 857,0577 15 27-10-12 8:00 16 29-10-12 8:00 857,9163 857,9163 8:00 -2,7 857,8448 -2,7 857,8448 15 16 27-10-12 8:00 29-10-12 8:00 857,8601 29-10-12 29-10-12 30-10-12 30-10-12 29-10-12 29-10-12 30-10-12 30-10-12 31-10-12 29-10-12 30-10-12 17 857,9175 857,9157 857,8462 857,8440 29-10-12 14:00 30-10-12 8:00 14:00 857.0589 14:00 17 14:00 17 857.8603 857,0578 18 857,8589 8:00 8:00 857,9167 18 857,9162 19 857,9151 20 857,9157 21 857,9157 22 30-10-12 31-10-12 857,0582 857,0567 14:00 19 14:00 14:00 857,8447 19 30-10-12 14:00 857 8589 8:00 31-10-12 8:00 -4,4 857,8431 31-10-12 8:00 01-11-12 02-11-12 8:00 8:00 857,0575 857,0575 21 01-11-12 22 02-11-12 8:00 01-11-12 02-11-12 8:00 -3,5 857,8440 -3,8 857,8437 21 01-11-12 8:00 02-11-12 8:00 857,8580 857,8579 8:00 22 02-11-12 8:00 23 03-11-12 8:00 24 05-11-12 8:00 25 05-11-12 14:00 26 06-11-12 14:00 27 06-11-12 14:00 28 07-11-12 8:00 29 07-11-12 14:00 23 03-11-12 8:00 24 05-11-12 8:00 25 05-11-12 8:00 26 06-11-12 8:00 27 06-11-12 8:00 857,0571 857,0575 857,9155 857,9155 857,8438 857,8434 857,8576 857,8573 857,0580 857.0575 26 06-11-12 8:00 27 06-11-12 14:00 06-11-12 857 9159 -3.6 857.8439 -6.7 857 8575 857,8441 857,8437 -3,8 857,8437 -3,3 857,8442 8:00 14:00 857,0578 857,0577 857,0570 30 31 857,916 30 08-11-12 857,9154 31 08-11-12 -3,3 857,8442 -3,8 857,8437 8:00 14:00 30 08-11-12 8:00 31 08-11-12 14:00 08-11-12 14:00 14:00 857,9154 31 08-11-12 857,9149 32 09-11-12 857,915 33 12-11-12 857,915 34 24-11-12 857,9152 35 29-11-12 857,9154 36 29-11-12 857,9154 37 30-11-12 857,9154 38 30-11-12 -3,8 857,8437 31 08-11-12 14:00 4,2 857,8433 32 09-11-12 14:00 4,8 857,8427 33 12-11-12 8:00 -4,0 857,8435 34 24-11-12 8:00 -4,1 857,8434 35 29-11-12 8:00 -3,6 857,8439 36 29-11-12 14:00 -3,9 857,8436 37 30-11-12 8:00 -3,7 857,8438 38 30-11-12 14:00 -3,7 857,8438 38 30-11-12 14:00 09-11-12 12-11-12 24-11-12 857,0571 32 857,0570 33 857,0571 34 09-11-12 12-11-12 24-11-12 14:00 8:00 857,8570 857,8566 8.00 8.00 8:00 857 8573 857,0569 35 29-11-12 857,0564 36 29-11-12 857,0570 37 30-11-12 857,0568 38 30-11-12 29-11-12 29-11-12 857,8575 8:00 14:00 14:00 14:00 857,8570 30-11-12 30-11-12 -6,7 -6,7 857,8575 857,8575 8:00 8:00 8:00 857,9151 39 03-12-12 857,9148 40 03-12-12 03-12-12 8:00 14:00 857.0566 39 03-12-12 03-12-12 8:00 8:00 14:00 -4,0 857,8435 -4,5 857,8430 39 03-12-12 40 03-12-12 -6,9 -7,4 857 8573 857,0564 40 14:00 14:00 04-12-12 14:00 857,0570 41 04-12-12 14:00 857,9151 41 04-12-12 14:00 -4,1 857,8434 **41** 04-12-12 14:00 857,8571 857,9149 42 05-12-12 -4,5 42 05-12-12 8:00 857 0569 42 05-12-12 8:00 8:00 857 8430 05-12-12 8:00 857 8569 857,0570 43 05-12-12 -4,3 857,8432 43 05-12-12 14:00 857,0571 44 857,0573 45 06-12-12 06-12-12 857,9151 44 06-12-12 857,9155 45 06-12-12 -3,9 857,8436 -3,8 857,8437 44 06-12-12 45 06-12-12 857,8573 857,8575 06-12-12 8:00 8:00 8:00 8:00 14:00 06-12-12 14:00 14:00 14:00 07-12-12 857,0566 46 857,9144 46 07-12-12 857,8425 07-12-12 857,8565 47 07-12-12 48 10-12-12 49 10-12-12 50 11-12-12 -4,8 857,8427 -6,3 857,8412 07-12-12 14:00 857,0557 47 857,0560 48 07-12-12 10-12-12 14:00 857,9147 47 07-12-12 857,9136 48 10-12-12 14:00 14:00 857,8564 857,8549 10-12-12 10-12-12 8-00 857,9136 49 10-12-12 857,9126 50 11-12-12 857,9127 51 11-12-12 857,0567 49 857,0556 50 -8,1 -10.6 11-12-12 11-12-12 -7,6 857,8399 -7,8 857,8397 11-12-12 8:00 11-12-12 8:00 8:00 8:00 857 8536 857,0556 51 14:00 51 11-12-12 14:00 857,8534 -10.8 17-12-12 12-12-12 13-12-12 17-12-12 27-12-12 857,0553 52 12-12-12 14:00 857,0553 52 12-12-12 14:00 857,0558 53 13-12-12 14:00 857,0553 54 17-12-12 14:00 857,0552 55 27-12-12 14:00 857,0549 56 02-01-13 10:00 | 857,912 | 51 | 11-12-12 | 14:00 | -7,6 | 657,6397 | 51 | 11-12-12 | 14:00 | 857,912 | 52 | 12-12-12 | 14:00 | -8,3 | 857,8392 | 52 | 12-12-12 | 14:00 | 857,9126 | 53 | 13-12-12 | 14:00 | -7,5 | 857,8400 | 53 | 13-12-12 | 14:00 | 857,9118 | 54 | 17-12-12 | 14:00 | -8,6 | 857,8393 | 54 | 17-12-12 | 14:00 | 857,9122 | 55 | 27-12-12 | 14:00 | -8,2 | 857,8393 | 55 | 27-12-12 | 14:00 | 857,9115 | 56 | 02-01-13 | 10:00 | -8,9 | 857,8386 | 56 | 02-01-13 | 10:00 | 14:00 -4,4 -3.9 857,8535 -11,2 857,8530 -11,4 857,8528 -11,3 857,8529 14:00

TABLA 4.1.1.k.: Lecturas de los cuatro puntos superficiales (P1, P2, P3 y P4) tras el paso de la tuneladora S430 y S431.



SEC: 23+740
Puntos superficiales y tasómetros



	ACTIVIDAD EN OBRA											
1	17/10/2012	17/10/2012 Los valores iniciales de la instrumentacion										
2	8/11/2012	PASO S431										
3	12/12/2012	12/12/2012 PASO S430										

FIGURA 4.1.1.i.: Ubicación de la sección tipo "A" en la progresiva 23+740 del alineamiento Proyecto Línea 5.



Deformación Acumulada Jornada Fecha Fecha Fecha Hora Hora Hora Hora Dato Dato Dato Dato 0 0.0 858,0866 1
0 0.7 858,0873 2
0 1,0 858,0873 2
0 1,0 858,0873 2
0 1,0 858,0876 3
0 1,0 858,0878 4
0,5 858,0871 5
0 0.1 858,0874 8
0 0.5 858,0874 8
0 0.6 858,0874 8
0 0.6 858,0874 8
0 0.1 858,0867 10
0 0.5 858,0871 11
0 0.4 858,0867 10
0 0.4 858,0870 14
0 0.4 858,0870 14
0 0.8 858,0870 14
0 0.8 858,0870 14
0 0.8 858,0870 14
0 0.8 858,0870 14
0 0.8 858,0870 17
0 0.8 858,0870 17
0 0.8 858,0870 17
0 0.8 858,0870 17
0 0.8 858,0870 17
0 0.8 858,0870 17
0 0.8 858,0870 17
0 0.8 858,0870 17
0 0.8 858,0870 17
0 0.8 858,0870 17 17-10-12 10:00 18-10-12 14:00 22-10-12 14:00 24-10-12 14:00 26-10-12 8:00 26-10-12 14:00 29-10-12 8:00 29-10-12 14:00 30-10-12 8:00 30-10-12 14:00 31-10-12 8:00 01-11-12 8:00 01-11-12 8:00
 34
 20-11-12
 14:00
 -1:0
 885,0856
 34
 20-11-12
 14:00

 35
 24:11-12
 8:00
 -0.9
 888,0857
 35
 24:11-12
 8:00

 36
 26:11-12
 8:00
 -1.4
 885,0852
 36
 26:11-12
 8:00

 37
 04:12-12
 8:00
 -0.7
 885,0852
 37
 04:12-12
 8:00

 38
 05:12-12
 8:00
 -0.9
 885,0855
 38
 05:12-12
 8:00

 39
 06:12-12
 8:00
 -0.9
 885,0857
 39
 06:12-12
 8:00

 40
 07:12-12
 8:00
 -0.8
 885,0858
 40
 07:12-12
 8:00

 41
 107:12-12
 14:00
 -0.8
 885,0858
 41
 07:12-12
 8:00

 42
 10-12-12
 14:00
 -1.0
 885,0856
 42
 10-12-12
 8:00

 43
 10-12-12
 14:00
 -1.0
 885,0856
 44
 11-12-12
 8:00

 47 | 13-12-12 | 14:00 | -0,8 | 858,0858 | 48 | 87:12-12 | 14:00 | -1,0 | 858,0858 | 49 | 27:12-12 | 14:00 | -1,0 | 858,0858 | 50 | 02:01-13 | 10:00 | -1,5 | 858,0841 | 51 | 07:01-13 | 10:00 | -1,5 | 858,0847 | 52 | 08:01-13 | 10:00 | -1,6 | 858,0847 | 52 | 08:01-13 | 10:00 | -1,6 | 858,0850 | 53 | 09:01-13 | 10:00 | -2,0 | 858,0846 | 54 | 10:01-13 | 10:00 | -1,7 | 858,0849 | 55 | 11:01-13 | 10:00 | -1,9 | 858,0847 | 55 | 11:01-13 | 10:00 | -1,9 | 858,0847 | 66 | 12:01-13 | 8:00 | -2,4 | 858,0847 | 67 | 14:01-13 | 10:00 | -1,9 | 859,0847 | 67 | 14:01-13 | 10:00 | -2,4 | 858,0847 | 67 | 14:01-13 | 10:00 | -2,4 | 858,0847 | 68 | 12:01-13 | 8:00 | -2,4 | 858,0847 | 68 | 12:01-13 | 8:00 | -2,4 | 858,0847 | 68 | 12:01-13 | 8:00 | -2,4 | 858,0847 | 68 | 12:01-13 | 8:00 | -2,4 | 858,0847 | 68 | 12:01-13 | 8:00 | -2,4 | 858,0847 | 68 | 12:01-13 | 8:00 | -2,4 | 858,0847 | 68 | 12:01-13 | 8:00 | -2,4 | 858,0847 | 68 | 12:01-13 | 8:00 | -2,4 | 858,0847 | 68 | 12:01-13 | 8:00 | -2,4 | 858,0847 | 68 | 12:01-13 | 8:00 | -2,4 | 858,0847 | 68 | 12:01-13 | 8:00 | -2,4 | 858,0847 | 68 | 12:01-13 | 8:00 | -2,4 | 858,0847 | 68 | 12:01-13 | 8:00 | -2,4 | 8:01-13 | 8:00 | -2,4 | 8:01-13 | 8:00 | -2,4 | 8:01-13 | 8:00 | -2,4 | 8:01-13 | 8:00 | -2,4 | 8:01-13 | 8:00 | -2,4 | 8:01-13 | 8:00 | -2,4 | 8:01-13 | 8:00 | -2,4 | 8:01-13 | 8:00 | -2,4 | 8:01-13 | 8:00 | -2,4 | 8:01-13 | 8:00 | -2,4 | 8:01-13 | 8:00 | -2,4 | 8:01-13 | 8:00 | -2,4 | 8:01-13 | 8:00 | -2,4 | 8:01-13 | 8:00 | -2,4 | 8:01-13 | 8:00 | -2,4 | 8:01-13 | 8:00 | -2,4 | 8:01-13 | 8:00 | -2,4 | 8:01-13 | 8:00 | -2,4 | 8:01-13 | 8:00 | -2,4 | 8:01-13 | 8:00 | -2,4 | 8:01-13 | 8:00 | -2,4 | 8:01-13 | 8:00 | -2,4 | 8:01-13 | 8:00 | -2,4 | 8:01-13 | 8:00 | -2,4 | 8:01-13 | 8:00 | -2,4 | 8:01-13 | 8:00 | -2,4 | 8:01-13 | 8:00 | -2,4 | 8:01-13 | 8:00 | -2,4 | 8:01-13 | 8:00 | -2,4 | 8:01-13 | 8:00 | -2,4 | 8:01-13 | 8:00 | -2,4 | 8:01-13 | 8:00 | -2,4 | 8:01-13 | 8:00 | -2,4 | 8:01-13 | 8:00 | -2,4 | 8:01-13 | 8:00 | -2,4 | 8:01-13 | 8:00 | -2,4 | 8:01-13 | 8:00 | -2,4 | 8:01-13 857,9650 60 17-01-13 8:00 -7,7 857,9679 60 17-01-13 8:00 -8,6 857,9998 857,9652 61 17-01-13 14:00 -7,5 857,9681 61 17-01-13 14:00 -8,4 858,0000

TABLA 4.1.1.l.: Lecturas de los cuatro puntos superficiales (P1, P2, P3 y P4) tras el paso de la tuneladora S430 y S431.



NIV.REF.EN 7 mm AL 80% DE LA DEFORMACIÓN NIVEL DE REFERENCIA TOMADO DE L5VP00 GEN IET TU 317 RA -0--30 26/11/2012 16 Fecha (día/mes/año) 17/10/2012 6/11/2012 16/12/2012 5/1/2013 25/1/2013 Nivel Ref. 80% T ———P2 —— P3 ——P4 PASO S431 ---PASO S430

GRAFICA 4.1.1.l.: Asentamientos (mm) contra tiempo (días) en base a las lecturas de los puntos superficiales, tras el paso de la tuneladora S430 y S431.



Jornada Jornada Fecha Fecha Fecha Hora Hora Hora Hora Dato Dato Dato Dato 857,8643 1 17-10-12 10:00 0,0 858,1108 1 17-10-12 10:00 0,0 857,8643 2 18-10-12 14:00 0,4 858,1108 2 18-10-12 14:00 -0,1 857,8643 3 22-10-12 14:00 0,4 858,1108 3 22-10-12 14:00 -0,1 857,8649 4 24-10-12 14:00 0,6 858,1110 4 24-10-12 14:00 -0,6 857,8644 5 26-10-12 8:00 0,1 858,1108 5 26-10-12 14:00 0,6 857,8644 5 26-10-12 8:00 0,1 858,1105 5 26-10-12 14:00 0,6 857,8647 7 28-10-12 14:00 0,4 858,1105 6 26-10-12 14:00 0,3 857,8647 7 28-10-12 14:00 0,3 858,1105 6 26-10-12 14:00 0,3 857,8647 17 28-10-12 14:00 0,3 858,1108 9 29-10-12 14:00 0,6 857,8643 10 30-10-12 14:00 0,3 858,1103 9 30-10-12 8:00 0,1 857,8643 10 30-10-12 14:00 0,3 858,1103 9 30-10-12 8:00 0,0 857,8643 10 30-10-12 14:00 0,3 858,1101 11 31-10-12 8:00 0,0 857,8643 10 30-10-12 14:00 0,3 858,1101 11 31-10-12 8:00 0,0 857,8644 11 31-10-12 8:00 0,3 858,1101 11 31-10-12 8:00 0,5 857,8644 11 31-10-12 8:00 0,3 858,1101 11 31-10-12 8:00 0,5 857,8643 14 03-11-12 8:00 0,5 857,8643 14 03-11-12 8:00 0,5 857,8643 14 03-11-12 8:00 0,5 858,1099 12 01-11-12 8:00 0,5 857,8643 14 03-11-12 8:00 0,5 858,1099 12 01-11-12 8:00 0,8 857,8643 14 03-11-12 8:00 0,6 858,1098 13 02-11-12 8:00 0,8 857,8643 14 03-11-12 8:00 0,6 858,1098 15 05-11-12 8:00 0,8 857,8643 14 03-11-12 8:00 0,8 857,8643 14 03-11-12 8:00 0,8 857,8643 14 03-11-12 8:00 0,8 857,8644 16 05-11-12 8:00 0,8 857,8644 16 05-11-12 8:00 0,8 857,8644 17 06-11-12 8:00 0,8 857,8644 17 06-11-12 8:00 0,9 858,1094 12 01-11-12 8:00 0,1 857,8644 16 05-11-12 8:00 0,9 858,1094 13 02-11-12 8:00 0,0 857,8642 18 06-11-12 8:00 0,9 858,1094 18 06-11-12 14:00 0,0 858,1094 18 06-11-12 14:00 0,0 858,1094 19 07-11-12 14:00 0,0 857,8642 18 06-11-12 8:00 0,9 858,1094 19 07-11-12 14:00 0,0 857,8642 18 06-11-12 14:00 0,0 858,1094 12 01-11-12 14:00 0,0 9,8 857,8642 18 06-11-12 14:00 0,1 858,1093 12 00-11-12 14:00 0,0 9,8 857,8642 18 06-11-12 18:00 0,0 857,8642 18 06-11-12 18:00 0,0 858,1094 12 00-11-12 14:00 0,0 9,8 857,8642 18 06-11-12 18:00 0,0 9,8 857,8642 18 06-11-12 18:00 0,0 9,8 857,8642 18 06-11-12 18:00 0,0 9,8 857,8642 18 06-11-12 18: 0,0 857,9837 1 17.10.12 10:00
0,0 857,9837 2 18-10.12 14:00
0,0 857,9837 3 22-10.12 14:00
0,0 857,9837 3 22-10.12 14:00
0,0 857,9837 3 22-10.12 14:00
0,0 857,9834 4 24-10.12 14:00
0,0 857,9834 6 26-10.12 14:00
0,1 857,9834 6 26-10.12 14:00
0,1 857,9843 8 29-10.12 14:00
0,6 857,9843 8 29-10.12 14:00
0,6 857,9843 8 29-10.12 14:00
0,5 857,9835 9 30-10.12 8:00
0,6 857,9835 19 30-10.12 8:00
0,7 857,9839 13 13-10.12 8:00
0,7 857,9839 13 02-11.12 8:00
0,7 857,9839 13 02-11.12 8:00
0,0 857,9835 15 05-11.12 8:00
0,0 857,9835 15 05-11.12 8:00
0,0 857,9835 16 05-11.12 8:00
0,0 857,9835 16 05-11.12 8:00
0,0 857,9835 16 05-11.12 8:00
0,0 857,9835 17 05-11.12 8:00
0,0 857,9835 17 05-11.12 8:00
0,0 857,9835 17 05-11.12 8:00 0,0 857,9837 0,0 0,0 17-10-12 10:00 17-10-12 10:00 857,8643 17-10-12 10:00 858,1104 26-10-12 8:00 26-10-12 14:00 29-10-12 8:00
 -0.2
 857,9835
 16
 05-11-12
 14:00

 -0.4
 857,9833
 17
 06-11-12
 8:00

 -0.3
 857,9834
 18
 06-11-12
 14:00

 -0.8
 857,9829
 19
 07-11-12
 8:00

 -0.2
 857,9835
 20
 07-11-12
 14:00

 -0.6
 857,9831
 21
 08-11-12
 8:00
 -0.6 857,9831 21 08-11-12 8:00 -0.3 857,9834 22 08-11-12 14:00 -2.1 857,9816 23 08-11-12 14:00 -2.5 857,9816 24 12-11-12 8:00 -1.7 857,9820 25 13-11-12 8:00 -1.6 857,9820 25 13-11-12 8:00 -1.6 857,9821 27 14-11-12 8:00 -1.6 857,9812 28 15-11-12 14:00 -1.8 857,9819 28 15-11-12 14:00 -1.3 857,9819 28 15-11-12 14:00 -1.4 857,9823 31 17-11-12 8:00 -1.4 857,9825 31 17-11-12 8:00 -1.4 857,9825 31 17-11-12 8:00 -1.4 857,9825 33 20-11-12 8:00 -1.4 857,9825 33 20-11-12 8:00 -1.4 857,9829 33 20-11-12 8:00 -1.4 857,9829 33 20-11-12 8:00 -1.4 857,9829 33 20-11-12 8:00 -1.4 857,9829 33 20-11-12 8:00 -1.4 857,9829 33 20-11-12 8:00 -1.4 857,9829 33 20-11-12 8:00 21 08-11-12 8:00 857,8642 21 08-11-12 857,8629 23 09-11-12 857,8629 23 09-11-12 857,8636 25 13-11-12 857,8636 26 14-11-12 857,8636 27 14-11-12 -1,1 898,1093 27 08-11-12 8:00 -1,1 858,1093 22 08-11-12 14:00 -2,1 858,1083 23 09-11-12 14:00 -2,5 858,1093 24 12-11-12 8:00 -1,9 858,1085 25 13-11-12 8:00 -1,9 858,1085 26 14-11-12 8:00 -1,9 858,1085 27 14-11-12 14:00 22 08-11-12 14:00 23 09-11-12 14:00 24 12-11-12 8:00 25 13-11-12 8:00 14:00 -1,1 858,1093 14:00 -2,1 858,1083 8:00 -2,5 858,1079 8:00 -1,9 858,1085 8:00 8:00 14:00 | 857,8636 | 27 | 14-11-12 | 8:00 | -1,9 | 856,1085 | 26 | 14-11-12 | 8:00 |
857,8634	28	15-11-12	14:00	-1,9	856,1085	27	14-11-12	14:00
857,8634	28	15-11-12	8:00	-2,1	858,1084	29	15-11-12	8:00
857,8632	30	16-11-12	8:00	-2,5	858,1084	29	15-11-12	8:00
857,8632	30	16-11-12	8:00	-2,5	858,1084	29	15-11-12	8:00
857,8635	31	17-11-12	8:00	-2,5	858,1079	30	16-11-12	8:00
857,8635	33	17-11-12	8:00	-2,1	858,1083	31	17-11-12	8:00
857,8633	32	19-11-12	8:00	-2,8	856,1076	32	19-11-12	8:00
857,8633	33	20-11-12	8:00	-2,8	856,1076	33	20-11-12	8:00
857,8633	34	20-11-12	8:00	-2,7	858,1076	33	20-11-12	8:00
857,8633	34	20-11-12	8:00	-2,7	858,1077	34	20-11-12	8:00
857,8637	37	04-12-12	8:00	-3,0	858,1074	35	24-11-12	8:00
857,8637	37	04-12-12	8:00	-3,1	856,1073	37	04-12-12	8:00
857,8637	38	05-12-12	8:00	-3,5	858,1073	34	05-12-12	8:00
857,8638	40	07-12-12	8:00	-2,6	858,1078	39	05-12-12	8:00
857,8638	44	07-12-12	14:00	-3,4	859,1074	40	07-12-12	8:00
857,8638	43	10-12-12	14:00	-3,4	859,1070	41	07-12-12	14:00
857,8638	43	10-12-12	14:00	-3,4	859,1070	41	07-12-12	14:00
857,8639	44	11-12-12	8:00	-3,5	858,1069	43	10-12-12	14:00
857,8619	45	11-12-12	14:00	-3,7	858,1069	45	11-12-12	14:00
857,8619	45	11-12-12	14:00	-3,7	858,1069	45	11-12-12	14:00
857,8619	45	11-12-12	14:00	-3,7	858,1069	45	11-12-12	14:00
-2,4 857,9813 35 24-11-12 8:00
-2,7 857,9810 36 24-11-12 8:00
-2,8 857,9800 37 04-12-12 8:00
-2,8 857,9809 38 05-12-12 8:00
-2,8 857,9809 38 05-12-12 8:00
-2,8 857,9813 40 07-12-12 8:00
-2,8 857,9813 40 07-12-12 8:00
-2,8 857,9814 39 06-12-12 8:00
-2,6 857,9814 41 07-12-12 14:00
-2,5 857,9815 43 10-12-12 14:00
-2,5 857,9815 43 10-12-12 14:00
-3,2 857,9805 44 11-12-12 8:00
-3,2 857,9805 44 11-12-12 8:00
-4,5 857,9792 46 12-12-12 14:00
-4,1 857,9798 48 17-12-12 14:00
-4,1 857,9798 48 17-12-12 14:00
-4,4 857,9793 49 27-12-12 14:00
-4,4 857,9793 49 27-12-12 14:00
-4,9 857,9793 50 02-20-1-3 10:00 14:00 857,8619 45 11-12-12 14:00 857,8619 45 11-12-12 14:00 857,8619 46 12-12-12 14:00 857,8619 47 13-12-12 14:00 857,8613 48 17-12-12 14:00 857,8612 49 27-12-12 14:00 857,8612 49 27-12-12 14:00
 -3.1
 857,8612
 49
 27-12-12
 1400
 -4.6
 888,1058
 49
 27-12-12
 1400
 -4.9
 857,7512

 -3.1
 857,8612
 50
 020-11-3
 1000
 -5.1
 888,1053
 50
 020-11-3
 1000
 -5.2
 858,1052
 51
 07-01-13
 1000
 -5.5
 857,7506

 -3.8
 857,8605
 52
 08-01-13
 1000
 -5.5
 858,1049
 52
 08-01-13
 1000
 -6.5
 857,7496

 -4.4
 857,8599
 53
 09-01-13
 1000
 -6.5
 858,1049
 52
 08-01-13
 1000
 -6.5
 857,7496

 -5.6
 857,8597
 54
 10-01-13
 1000
 -6.5
 858,1039
 54
 10-01-13
 1000
 -7.2
 857,7489

 -6.3
 857,8587
 54
 11-01-13
 1000
 -7.5
 858,1029
 56
 12-01-13
 1000
 -9.4
 857,7490

 -6.1
 857,8581
 56
 12-01-13
 800
 <t 60 17-01-13 8:00 -9,2 857,9745 60 17-01-13 8:00 61 17-01-13 14:00 -8,7 857,9750 61 17-01-13 14:00

TABLA 4.1.1.m.: Lecturas de los dos puntos superficiales (P5 y P6) y dos tasómetros (T1 y T2) tras el paso de la tuneladora S430 y S431.

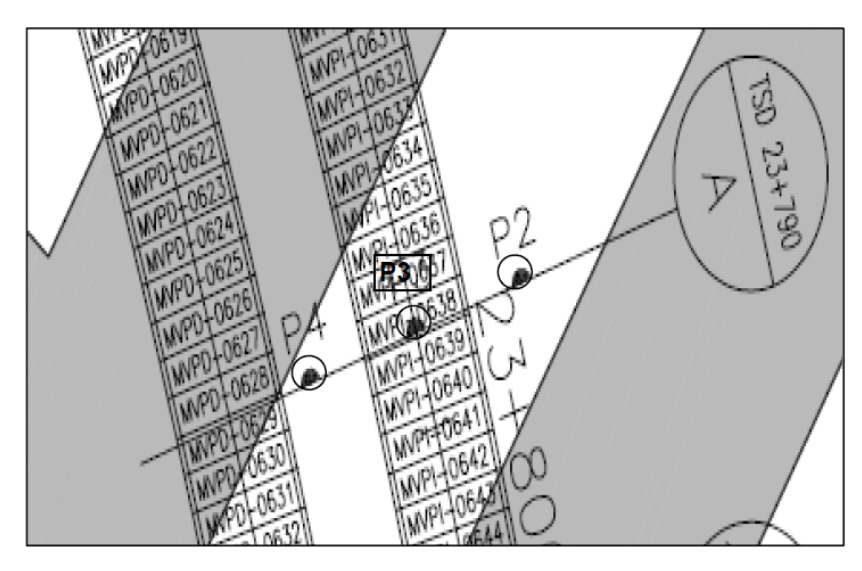


NIV.REF.EN 7 mm AL 80% DE LA DEFORMACIÓN NIVEL DE REFERENCIA TOMADO DE L5VP00 GEN IET TU 317 RA -10 Asentamiento(mm) -30 -40 17/10/2012 6/11/2012 5/1/2013 Fecha (día/mes/año) —<u>—</u> T3 ——T5 Nivel Ref. 80% P PASO S431 ---PASO S430 --←-P5 —-P6

GRAFICA 4.1.1.m.: Asentamientos (mm) contra tiempo (días) en base a las lecturas de los puntos superficiales y tasómetros, tras el paso de la tuneladora S430 y S431.



SEC: 23+790



		ACTIVIDAD EN OBRA									
1	22/10/2012	22/10/2012 Los valores iniciales de la instrumentacion									
2	21/11/2012	PASO S431									
3	15/1/2013	PASO S430									

FIGURA 4.1.1.j.: Ubicación de la sección tipo "A" en la progresiva 23+790 del alineamiento Proyecto Línea 5.



P2					P3					P4				
Jornada	Fecha	Hora	Deformación Acumulada	Dato	Jornada	Fecha	Hora	Deformación Acumulada	Dato	Jornada	Fecha	Hora	Deformación Acumulada	Dato
1	22-10-12	13:30	0,0	859,0484	1	22-10-12	13:30	0,0	859,073	1	22-10-12	13:30	0,0	859,0383
2	23-10-12	13:30	0,1	859,0485	2	23-10-12	13:30	0,1	859,0731	2	23-10-12	13:30	0,0	859,0383
3	24-10-12	13:30	-1,2	859,0472	3	24-10-12	13:30	-0,9	859,0721	3	24-10-12	13:30	-1,3	859,0370
4	25-10-12	13:30	-0,4	859,0480	4	25-10-12	13:30	-0,3	859,0727	4	25-10-12	13:30	-0,6	859,0377
5 6	26-10-12	13:30	-1,1	859,0473	5	26-10-12	13:30	-0,6	859,0724	5	26-10-12	13:30	-1,2	859,0371
7	06-11-12 07-11-12	14:00 8:00	-1,2 -1,7	859,0472 859,0467	6 7	06-11-12 07-11-12	14:00 8:00	-0,8 -1,2	859,0722 859,0718	6 7	06-11-12 07-11-12	14:00 8:00	-1,7 -2,2	859,0366 859,0361
8	07-11-12	14:00	-1,7	859,0467	8	07-11-12	14:00	-0.9	859,0710	8	07-11-12	14:00	-1,8	859,0365
9	08-11-12	8:00	-1,2	859.0472	9	08-11-12	8:00	-1.0	859,0721	9	08-11-12	8:00	-2,0	859.0363
10	12-11-12	8:00	-2,0	859,0464	10	12-11-12	8:00	-1,8	859,0712	10	12-11-12	8:00	-2,6	859,0357
11	13-11-12	8:00	-2,0	859.0464	11	13-11-12	8:00	-1.1	859.0719	11	13-11-12	8:00	-2,2	859,0361
12	14-11-12	8:00	-1.4	859,0470	12	14-11-12	8:00	-0.8	859,0722	12	14-11-12	8:00	-1.9	859,0364
13	14-11-12	14:00	-1,2	859,0472	13	14-11-12	14:00	-1,0	859,072	13	14-11-12	14:00	-1,9	859,0364
14	15-11-12	8:00	-1,8	859,0466	14	15-11-12	8:00	-1,5	859,0715	14	15-11-12	8:00	-2,4	859,0359
15	15-11-12	14:00	-1,5	859,0469	15	15-11-12	14:00	-1,1	859,0719	15	15-11-12	14:00	-2,1	859,0362
16	15-11-12	8:00	-2,2	859,0462	16	15-11-12	8:00	-1,8	859,0712	16	15-11-12	8:00	-2,7	859,0356
17	17-11-12	8:00	-1,5	859,0469	17	17-11-12	8:00	-1,3	859,0717	17	17-11-12	8:00	-2,4	859,0359
18	19-11-12	8:00	-1,6	859,0468	18	19-11-12	8:00	-1,1	859,0719	18	19-11-12	8:00	-2,2	859,0361
19	20-11-12	8:00	-1,9	859,0465	19	20-11-12	8:00	-1,3	859,0717	19	20-11-12	8:00	-2,6	859,0357
20	20-11-12	14:00	-1,3	859,0471	20	20-11-12	14:00	-1,1	859,0719	20	20-11-12	14:00	-2,1	859,0362
21	21-11-12	8:00	-3,5	859,0449	21	21-11-12	8:00	-3,2	859,0698	21	21-11-12	8:00	-4,3	859,0340
22	21-11-12	14:00	-4,3	859,0441	22	21-11-12	14:00	-4,3	859,0687	22	21-11-12	14:00	-5,1	859,0332
23	22-11-12	8:00	-4,6	859,0438	23	22-11-12	8:00	-4,7	859,0683	23	22-11-12	8:00	-5,4	859,0329
24	22-11-12	14:00	-3,9	859,0445	24	22-11-12	14:00	-4,0	859,069	24	22-11-12	14:00	-4,6	859,0337
25 26	23-11-12	8:00	-4,2	859,0442	25	23-11-12	8:00	-4,7	859,0683	25	23-11-12	8:00	-5,2	859,0331
27	23-11-12 24-11-12	14:00 8:00	-4,4 -5.1	859,0440 859,0433	26 27	23-11-12 24-11-12	14:00 8:00	-4,8 -5.4	859,0682 859,0676	26 27	23-11-12 24-11-12	14:00 8:00	-5,4 -6.0	859,0329 859,0323
28	26-11-12	8:00	-6,0	859,0433	28	26-11-12	8:00	-6,2	859,0668	28	26-11-12	8:00	-7,0	859,0313
29	26-11-12	14:00	-6.0	859.0424	29	26-11-12	14:00	-6.2	859,0668	29	26-11-12	14:00	-7.0	859,0313
30	27-11-12	8:00	-5,3	859,0431	30	27-11-12	8:00	-5.9	859,0671	30	27-11-12	8:00	-6,3	859,0320
31	27-11-12	14:00	-5,8	859,0426	31	27-11-12	14:00	-5,8	859,0672	31	27-11-12	14:00	-6,5	859,0318
32	28-11-12	8:00	-6,1	859,0423	32	28-11-12	8:00	-6,6	859,0664	32	28-11-12	8:00	-7,1	859,0312
33	28-11-12	14:00	-6,1	859,0423	33	28-11-12	14:00	-6,6	859,0664	33	28-11-12	14:00	-7,1	859,0312
34	29-11-12	8:00	-6,8	859,0416	34	29-11-12	8:00	-7,2	859,0658	34	29-11-12	8:00	-7,8	859,0305
35	29-11-12	14:00	-6,4	859,0420	35	29-11-12	14:00	-7,0	859,066	35	29-11-12	14:00	-7,4	859,0309
36	10-12-12	8:00	-6,1	859,0423	36	10-12-12	8:00	-6,7	859,0663	36	10-12-12	8:00	-7,3	859,0310
37	12-12-12	14:00	-4,8	859,0436	37	12-12-12	14:00	-5,6	859,0674	37	12-12-12	14:00	-5,8	859,0325
38	13-12-12	14:00	-5,2	859,0432	38	13-12-12	14:00	-5,6	859,0674	38	13-12-12	14:00	-6,1	859,0322
39	17-12-12	14:00	-4,9	859,0435	39	17-12-12	14:00	-5,4	859,0676	39	17-12-12	14:00	-5,5	859,0328
40	27-12-12	14:00	-5,1	859,0433	40	27-12-12	14:00	-5,8	859,0672	40	27-12-12	14:00	-6,3	859,0320
41	08-01-13	10:00	-4,6	859,0438	41	08-01-13	10:00	-5,2	859,0678	41	08-01-13	10:00	-5,8	859,0325
42	09-01-13	10:00	-4,3	859,0441	42	09-01-13	10:00	-4,9	859,0681	42	09-01-13	10:00	-5,0	859,0333
43	10-01-13	10:00	-4,0	859,0444	43	10-01-13	10:00	-4,6	859,0684	43	10-01-13	10:00	-4,8	859,0335
44	11-01-13	10:00	-3,7	859,0447	44	11-01-13	10:00	-4,4	859,0686	44	11-01-13	10:00	-4,5	859,0338
45	12-01-13	8:00	-4,1	859,0443	45	12-01-13	8:00	-5,0	859,068	45	12-01-13	8:00	-5,3	859,0330
46 47	14-01-13 15-01-13	8:00 8:00	-4,1 -5,7	859,0443 859,0427	46 47	14-01-13 15-01-13	8:00 8:00	-6,0 -7,5	859,067 859,0655	46 47	14-01-13 15-01-13	8:00 8:00	-6,6 -8,2	859,0317 859,0301
48	16-01-13	8:00	-6,2	859,0427	48	16-01-13	8:00	-7,5 -8,8	859,0642	48	16-01-13	8:00	-8,9	859,0294
49	17-01-13	8:00	-0,2 -7.1	859.0413	49	17-01-13	8:00	-0,0 -9,6	859,0634	49	17-01-13	8:00	-0,9	859,0294
50	17-01-13	14:00	-7,1	859,0408	50	17-01-13	14:00	-9,8	859,0632	50	17-01-13	14:00	-11,2	859,0271
00	.1-01-10	14.00	-7,0	555,0400	50	77-01-10	14.00	-0,0	350,5532	50	77-01-13	14.00	-11,2	550,0271

TABLA 4.1.1.n.: Lecturas de los puntos superficiales (P2, P3 y P4) tras el paso de la tuneladora S430 y S431.

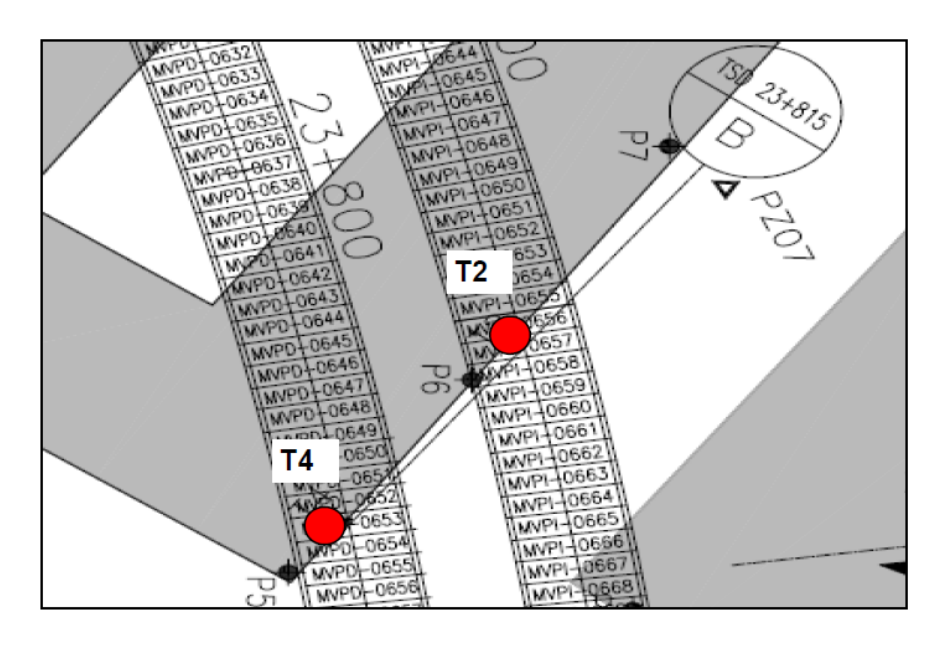


NIV.REF.EN 7 mm AL 80% DE LA DEFORMACIÓN NIVEL DE REFERENCIA TOMADO DE L5VP00 GEN IET TU 317 RA 0 20 - O amiento(mm) -20 -30 -40 22/10/2012 11/12/2012 1/11/2012 11/11/2012 21/11/2012 1/12/2012 21/12/2012 31/12/2012 10/1/2013 20/1/2013 Fecha (día/mes/año) —**⊢** P3 —— P4 PASO S431 PASO S430 Nivel Ref. 80% P --**→**-P2

GRAFICA 4.1.1.n.: Asentamientos (mm) contra tiempo (días) en base a las lecturas de los puntos superficiales y tasómetros, tras el paso de la tuneladora S430 y S431.



SEC: 23+815



		ACTIVIDAD EN OBRA
1	22/10/2012	Los valores iniciales de la instrumentacion
2	23/11/2012	PASO S431

FIGURA 4.1.1.k.: Ubicación de la sección tipo "B" en la progresiva 23+815 del alineamiento Proyecto Línea 5.



Deformación Acumulada Deformaciór Acumulada Jornada Jornada Fecha Hora Hora Dato Dato 22-10-12 8:00 0,0 859,0077 22-10-12 8:00 0,0 859,0855 1 0,0 859,0077 23-10-12 859 0854 2 23-10-12 14:00 14:00 -0,1 0,5 24-10-12 8:00 0,8 859,0085 24-10-12 8:00 859.086 4 25-10-12 8:00 0,5 859,0082 25-10-12 8:00 0,3 859,0858 26-10-12 26-10-12 0,2 8:00 0,6 859,0083 5 8:00 859.0857 08-11-12 8:00 0,8 859,0085 6 08-11-12 8:00 0,9 859,0864 12-11-12 8:00 -0,7 859,0070 12-11-12 8:00 -0,5 859,085 13-11-12 8:00 -0,2 859,0075 13-11-12 8:00 0,2 859,0857 14-11-12 8:00 1,9 859,0096 14-11-12 8:00 0,4 859,0859 10 859,0858 10 14-11-12 14:00 859,0092 14-11-12 14:00 0,3 11 15-11-12 8:00 0,8 859.0085 11 15-11-12 8:00 -0,3 859.0852 14:00 859,0090 12 15-11-12 12 15-11-12 14:00 -0,1 859,0854 1,3 16-11-12 8:00 13 16-11-12 859,085 13 0.7 859.0084 8:00 -0.5 17-11-12 17-11-12 8:00 859,0089 8:00 0.1 859,0856 14 1.2 14 19-11-12 19-11-12 0,1 15 8:00 1,6 859,0093 15 8:00 859,0856 16 8:00 859.0089 20-11-12 8:00 0,0 859.0855 20-11-12 1,2 16 20-11-12 17 20-11-12 0.5 859.086 17 14:00 1.8 859.0095 14:00 859 0096 21-11-12 8:00 859 0855 18 21-11-12 8.00 1.9 18 0,0 21-11-12 21-11-12 859.0855 19 14:00 1.2 859.0089 19 14:00 0.0 859 0078 22-11-12 859 085 20 22-11-12 8.00 0.1 20 8.00 -0.5 22-11-12 22-11-12 21 14:00 8,0 859.0085 21 14:00 0,3 859.0858 23-11-12 23-11-12 8.00 22 8.00 -0.1 859 0076 22 -0.6 859 0849 23 23-11-12 14:00 -0.2859 0075 23 23-11-12 14.00 -0,6859 0849 24 24-11-12 8:00 -1.9 859.0058 24 24-11-12 8:00 -2,1 859.0834 26-11-12 25 8.00 -3.1 859 0046 25 26-11-12 8.00 -33 859 0822 26 26-11-12 14:00 -3,2 859.0045 26 26-11-12 14:00 -3,3 859.0822 27-11-12 27-11-12 -2.5 27 8.00 -2.6 859 0051 27 8.00 859 083 28 27-11-12 14:00 -2,5859,0052 28 27-11-12 14:00 -2,8859 0827 29 28-11-12 8.00 -3.5 859 0042 29 28-11-12 8.00 -4 1 859 0814 30 28-11-12 14:00 -4,0 859,0037 30 28-11-12 14:00 -4.1 859,0814 31 29-11-12 8:00 -3.8 859,0039 31 29-11-12 8:00 -4.4 859.0811 32 29-11-12 14:00 -4,0 859,0037 32 29-11-12 14:00 -4,3 859,0812 33 30-11-12 8:00 859.0053 33 30-11-12 8:00 859.0819 34 30-11-12 14:00 -3,5 859,0042 34 30-11-12 14:00 -3,6 859,0819 35 10-12-12 8:00 -3,0 859.0047 35 10-12-12 8:00 859,0818 36 12-12-12 14:00 -2,5 859,0052 36 12-12-12 14:00 -3,4 859.0821 37 13-12-12 14:00 -2,4 859,0053 37 13-12-12 14:00 859,0821 38 17-12-12 14:00 859,0055 38 17-12-12 14:00 859,0825 -3,0 14:00 39 27-12-12 14:00 859,0052 39 27-12-12 859,0818 40 09-01-13 10:00 -1,4 859,0063 40 09-01-13 10:00 859,0832 41 10-01-13 10:00 859,0061 41 10-01-13 10:00 859,0834 42 11-01-13 10:00 -1,7 859,0060 42 11-01-13 10:00 -1,7 859,0838 43 12-01-13 859,0050 43 12-01-13 859,0832 8:00 8:00 44 14-01-13 8:00 -2,4 859,0053 44 14-01-13 8:00 -2,8 859,0827 45 15-01-13 859,0043 45 15-01-13 859,082 8:00 8:00 46 16-01-13 8:00 -4,0859,0037 16-01-13 8:00 -3,7 859,0818 47 17-01-13 8:00 -4,6 859,0031 17-01-13 8:00 -4,1 859.0814 17-01-13 14:00 -4,8 859,0029 48 17-01-13 14:00 -4,5 859,081 49 18-01-13 8:00 -5,2 859,0025 49 18-01-13 8:00 -3,2 859.0823 18-01-13 14:00 -4,5 859,0032 18-01-13 14:00 -5,3 859,0802 51 19-01-13 8:00 -5,7 859.0020 51 19-01-13 8:00 859.0783 21-01-13 8:00 -6,5 859,0012 21-01-13 8:00 -7,7 859.0778 21-01-13 14:00 -6,2 859.0015 53 21-01-13 14:00 859.078 22-01-13 22-01-13 8:00 -6,7 859.0010 8:00 -8.6 859,0769 55 22-01-13 14:00 -5,8 859,0019 55 22-01-13 14:00 -8,1 859,0774 23-01-13 23-01-13 8:00 -6,6 859.0011 8:00 -7.9 859.0776 57 23-01-13 14:00 -5,7 859,0020 57 23-01-13 14:00 -8,4 859,0771 24-01-13 8:00 -6,4 859.0013 24-01-13 8:00 -9,1 859.0764 59 24-01-13 14:00 -6,2 859,0015 59 24-01-13 14:00 -8,6 859,0769 60 25-01-13 8:00 859,0012 60 25-01-13 8:00 -9,4 859,0761 -6.5 859,0013 25-01-13 859,0764 61 25-01-13 14:00 -6.4 61 14:00 -9.1 28-01-13 28-01-13 62 8:00 -6.9 859.0008 62 8:00 -9.4 859.0761 859,0010 63

TABLA 4.1.1.ñ.: Lecturas de los tasómetros (T2 y T4) tras el paso de la tuneladora S430 y S431.

28-01-13 14:00

-9,0

859,0765

28-01-13

63

14:00

-6,7

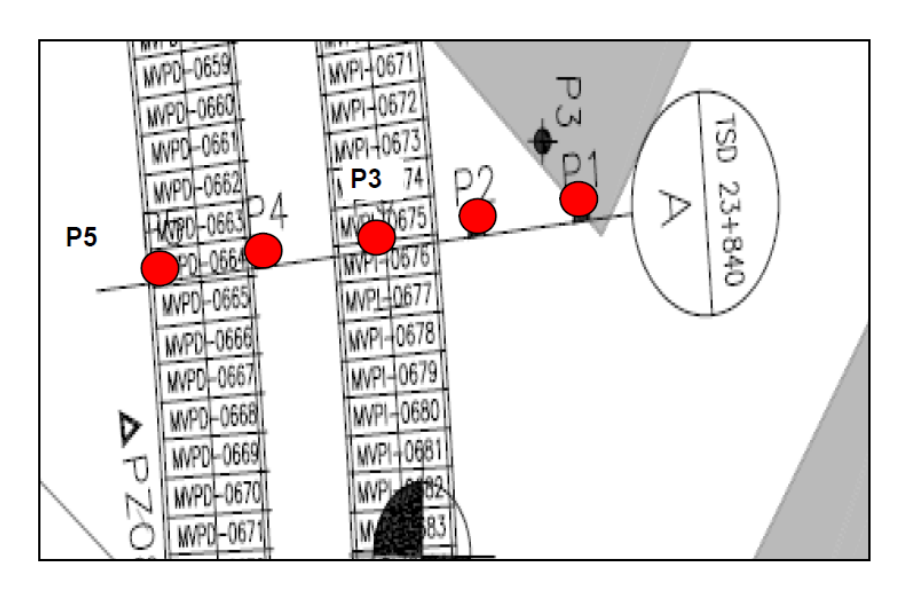


NIV.REF.EN 7 mm AL 80% DE LA DEFORMACIÓN NIVEL DE REFERENCIA TOMADO DE L5VP00 GEN IET TU 317 RA 0 -10 Asentamiento(mm) -30 -40 21/11/2012 11/12/2012 21/12/2012 10/1/2013 Fecha (día/mes/año) ——T4 Nivel Ref. 80% P PASO S431 PASO S430

GRAFICA 4.1.1.ñ.: Asentamientos (mm) contra tiempo (días) en base a las lecturas de los puntos superficiales y tasómetros, tras el paso de la tuneladora S430 y S431.



SEC: 23+840



	ACTIVIDAD EN OBRA											
1	22/10/2012	Los valores iniciales de la instrumentacion										
2	28/11/2012	PASO S431										
3	22/1/2013	PASO S430										

FIGURA 4.1.1.1.: Ubicación de la sección tipo "A" en la progresiva 23+840 del alineamiento Proyecto Línea 5.



Seguimiento Instrumental Geotécnico para controlar riesgos en la construcción de túneles tipo escudo del tramo Foso UNEFA-Estación Bello Campo del Proyecto Línea 5 Metro de Caracas

P1					P2					P3					P4					P5				
Jomada	Fecha	Hora	Deformación Acumulada	Dato	Jomada	Fecha	Hora	Deformación Acumulada	Dato	Jornada	Fecha	Hora	Deformación Acumulada	Dato	Jomada	Fecha	Hora	Deformación Acumulada	Dato	Jornada	Fecha	Hora	Deformación Acumulada	Dato
1	22-10-12	10:00	0,0	860,5017	1	22-10-12	10:00	0,0	860,2313	1	22-10-12	10:00	0,0	860,1531	1	22-10-12	10:00	0,0	860,0591	1	22-10-12	10:00	0,0	860,0593
2	24-10-12	14:00	-1,5	860,5002	2	24-10-12	14:00	-0,3	860,2310	2	24-10-12	14:00	-1,0	860,1521	2	24-10-12	14:00	-1,1	860,0580	2	24-10-12	14:00	-1,2	860,0581
3	25-10-12	8:00	-1,3	860,5004	3	25-10-12	8:00	-1,0	860,2303	3	25-10-12	8:00	-0,8	860,1523	3	25-10-12	8:00	-0,9	860,0582	3	25-10-12	8:00	-1,1	860,0582
4	26-10-12	14:00	-2,0	860,4997	4	26-10-12	14:00	-1,7	860,2296	4	26-10-12	14:00	-1,4	860,1517	4	26-10-12	14:00	-1,4	860,0577	4	26-10-12	14:00	-1,8	860,0575
5	21-11-12	8:00	-2,8	860,4989	5	21-11-12	8:00	-2,7	860,2286	5	21-11-12	8:00	-1,7	860,1514	5	21-11-12	8:00	-2,9	860,0562	5	21-11-12	8:00	-2,9	860,0564
6	22-11-12	8:00	-2,4	860,4993	6	22-11-12	8:00	-2,6	860,2287	6	22-11-12	8:00	-1,9	860,1512	6	22-11-12	8:00	-2,6	860,0565	6	22-11-12	8:00	-2,5	860,0568
7	22-11-12	14:00	-2,4	860,4993	7	22-11-12	14:00	-2,6	860,2287	7	22-11-12	14:00	-1,9	860,1512	7	22-11-12	14:00	-2,6	860,0565		22-11-12	14:00	-2,5	860,0568
8	23-11-12	8:00	-1,8	860,4999	8	23-11-12	8:00	-2,1	860,2292	8	23-11-12	8:00	-1,3	860,1518	8	23-11-12	8:00	-2,2	860,0569	8	23-11-12	8:00	-2,1	860,0572
9	24-11-12	14:00	-2,7	860,4990	9	24-11-12	14:00	-3,2	860,2281	9	24-11-12	14:00	-2,5	860,1506	9	24-11-12	14:00	-3,1	860,0560	9	24-11-12	14:00	-2,8	860,0565
10	26-11-12	8:00	-3,8	860,4979	10	26-11-12	8:00	-4,3	860,2270	10	26-11-12	8:00	-3,3	860,1498	10	26-11-12	8:00	-4,1	860,0550	10	26-11-12	8:00	-4,0	860,0553
11	26-11-12 27-11-12	14:00 8:00	-3,3 -2,8	860,4984	11	26-11-12 27-11-12	14:00 8:00	-4,0	860,2273	11	26-11-12 27-11-12	14:00 8:00	-3,1 -2,5	860,1500 860,1506	11	26-11-12 27-11-12	14:00	-3,9	860,0552	11	26-11-12 27-11-12	14:00	-3,7	860,0556 860,0563
12	27-11-12	14:00	-2,6	860,4989 860,4981	12	27-11-12	14:00	-3,1 -4.0	860,2282 860,2273	12	27-11-12	14:00	-2,5	860,1498	13	27-11-12	8:00 14:00	-3,1 -4.1	860,0560 860,0550	12	27-11-12	8:00 14:00	-3,0 -3,7	860,0556
14	28-11-12	8:00	-3,8	860,4979	14	28-11-12	8:00	-4,5	860,2273	14	28-11-12	8:00	-3,3	860,1493	14	28-11-12	8:00	-4.5	860,0536	14	28-11-12	8:00	-4.0	860,0553
15	28-11-12	14:00	-4,6	860,4971	15	28-11-12	14:00	-5.4	860,2259	15	28-11-12	14:00	-4,7	860,1484	15	28-11-12	14:00	-5,3	860,0538	15	28-11-12	14:00	-4,7	860,0535
16	29-11-12	8:00	-5,1	860,4966	16	29-11-12	8:00	-6.1	860,2252	16	29-11-12	8:00	-5,6	860,1475	16	29-11-12	8:00	-6.0	860,0531	16	29-11-12	8:00	-5,6	860,0537
17	29-11-12	14:00	-4,9	860,4968	17	29-11-12	14:00	-6.1	860,2252	17	29-11-12	14:00	-5.8	860,1473	17	29-11-12	14:00	-5.9	860,0532	17	29-11-12	14:00	-5,2	860,0541
18	30-11-12	8:00	-5,3	860,4964	18	30-11-12	8:00	-6.4	860,2249	18	30-11-12	8:00	-6,0	860,1471	18	30-11-12	8:00	-6,3	860,0528	18	30-11-12	8:00	-5,8	860,0535
19	30-11-12	14:00	-5,6	860,4961	19	30-11-12	14:00	-6,6	860,2247	19	30-11-12	14:00	-6,2	860,1469	19	30-11-12	14:00	-6.7	860,0524	19	30-11-12	14:00	-6,1	860,0532
20	01-12-12	8:00	-5,1	860,4966	20	01-12-12	8:00	-6,0	860,2253	20	01-12-12	8:00	-6,0	860,1471	20	01-12-12	8:00	-5,6	860,0535	20	01-12-12	8:00	-6.5	860,0528
21	03-12-12	8:00	-5,0	860,4967	21	03-12-12	8:00	-6,0	860,2253	21	03-12-12	8:00	-5,8	860,1473	21	03-12-12	8:00	-5.7	860,0534	21	03-12-12	8:00	-6,6	860,0527
22	03-12-12	14:00	-5,2	860,4965	22	03-12-12	14:00	-6,7	860,2246	22	03-12-12	14:00	-6,0	860,1471	22	03-12-12	14:00	-5,6	860,0535	22	03-12-12	14:00	-6.7	860,0526
23	13-12-12	14:00	-4,9	860,4968	23	13-12-12	14:00	-6,4	860,2249	23	13-12-12	14:00	-5,8	860,1473	23	13-12-12	14:00	-6,3	860,0528	23	13-12-12	14:00	-5.9	860,0534
24	17-12-12	14:00	-4,5	860,4972	24	17-12-12	14:00	-6,0	860,2253	24	17-12-12	14:00	-5,6	860,1475	24	17-12-12	14:00	-5,5	860,0536	24	17-12-12	14:00	-5,9	860,0534
25	27-12-12	14:00	-5,4	860,4963	25	27-12-12	14:00	-6,8	860,2245	25	27-12-12	14:00	-6,2	860,1469	25	27-12-12	14:00	-6,1	860,0530	25	27-12-12	14:00	-6,3	860,0530
26	10-01-13	10:00	-5,9	860,4958	26	10-01-13	10:00	-7,7	860,2236	26	10-01-13	10:00	-7,0	860,1461	26	10-01-13	10:00	-6,7	860,0524	26	10-01-13	10:00	-6,7	860,0526
27	14-01-13	10:00	-4,7	860,4970	27	14-01-13	10:00	-6,3	860,2250	27	14-01-13	10:00	-6,0	860,1471	27	14-01-13	10:00	-5,8	860,0533	27	14-01-13	10:00	-6,3	860,0530
28	15-01-13	10:00	-4,4	860,4973	28	15-01-13	10:00	-5,9	860,2254	28	15-01-13	10:00	-5,6	860,1475	28	15-01-13	10:00	-5,5	860,0536	28	15-01-13	10:00	-5,6	860,0537
29	16-01-13	10:00	-3,8	860,4979	29	16-01-13	10:00	-5,6	860,2257	29	16-01-13	10:00	-5,7	860,1474	29	16-01-13	10:00	-5,9	860,0532	29	16-01-13	10:00	-5,4	860,0539
30	17-01-13	10:00	-4,4	860,4973	30	17-01-13	10:00	-6,2	860,2251	30	17-01-13	10:00	-5,8	860,1473	30	17-01-13	10:00	-5,7	860,0534	30	17-01-13	10:00	-5,4	860,0539
31	17-01-13	14:00	-5,1	860,4966	31	17-01-13	14:00	-6,8	860,2245	31	17-01-13	14:00	-6,0	860,1471	31	17-01-13	14:00	-6,2	860,0529	31	17-01-13	14:00	-6,0	860,0533
32	18-01-13	8:00	-4,4	860,4973	32	18-01-13	8:00	-6,2	860,2251	32	18-01-13	8:00	-5,6	860,1475	32	18-01-13	8:00	-5,9	860,0532	32	18-01-13	8:00	-5,5	860,0538
33	18-01-13	14:00	-5,0	860,4967	33	18-01-13	14:00	-6,9	860,2244	33	18-01-13	14:00	-6,1	860,1470	33	18-01-13	14:00	-6,6	860,0525	33	18-01-13	14:00	-5,9	860,0534
34	19-01-13	8:00	-5,2	860,4965	34	19-01-13	8:00	-7,4	860,2239	34	19-01-13	8:00	-6,8	860,1463	34	19-01-13	8:00	-7,1	860,0520	34	19-01-13	8:00	-6,8	860,0525
35	21-01-13	8:00	-5,4	860,4963	35	21-01-13	8:00	-7,6	860,2237	35	21-01-13	8:00	-7,3	860,1458	35	21-01-13	8:00	-7,3	860,0518	35	21-01-13	8:00	-7,3	860,0520
36	21-01-13	14:00	-6,1	860,4956	36	21-01-13	14:00	-7,9	860,2234	36	21-01-13	14:00	-7,3	860,1458	36	21-01-13	14:00	-7,6	860,0515	36	21-01-13	14:00	-7,4	860,0519
37	22-01-13	8:00	-6,2	860,4955	37	22-01-13	8:00	-8,4	860,2229	37	22-01-13	8:00	-8,1	860,1450	37	22-01-13	8:00	-8,6	860,0505	37	22-01-13	8:00	-8,4	860,0509
38	22-01-13	14:00	-6,3	860,4954	38	22-01-13	14:00	-8,0	860,2233	38	22-01-13	14:00	-7,6	860,1455	38	22-01-13	14:00	-7,9	860,0512	38	22-01-13	14:00	-8,4	860,0509
39	23-01-13	8:00	-6,1	860,4956	39	23-01-13	8:00	-8,6	860,2227	39	23-01-13	8:00	-8,3	860,1448	39	23-01-13	8:00	-8,6	860,0505	39	23-01-13	8:00	-8,6	860,0507
40	23-01-13	14:00	-6,0	860,4957	40	23-01-13	14:00	-8,6	860,2227	40	23-01-13	14:00	-8,8	860,1443	40	23-01-13	14:00	-9,4	860,0497	40	23-01-13	14:00	-9,2	860,0501
41	24-01-13	8:00	-6,8	860,4949	41	24-01-13	8:00	-9,3	860,2220	41	24-01-13	8:00	-9,7	860,1434	41	24-01-13	8:00	-10,8	860,0483	41	24-01-13	8:00	-10,2	860,0491
42	24-01-13	14:00	-6,6	860,4951	42	24-01-13	14:00	-9,2	860,2221	42	24-01-13	14:00	-9,5	860,1436	42	24-01-13	14:00	-10,3	860,0488	42	24-01-13	14:00	-10,2	860,0491
43	25-01-13 25-01-13	8:00 14:00	-6,7 -6,4	860,4950 860,4953	43	25-01-13 25-01-13	8:00 14:00	-9,4 -9,5	860,2219 860,2218	43	25-01-13 25-01-13	8:00 14:00	-10,0 -9,9	860,1431 860,1432	43 44	25-01-13 25-01-13	8:00 14:00	-10,5 -10,7	860,0486 860,0484	43	25-01-13 25-01-13	8:00 14:00	-10,3 -10,5	860,0490 860,0488
45	26-01-13	8:00			44	26-01-13			860,2216	44	26-01-13	8:00	-10,2	860,1429	44	26-01-13			860,0481	45	26-01-13	8:00		860,0481
46	28-01-13	8:00	-6,7 -6,7	860,4950 860,4950	46	28-01-13	8:00 8:00	-9,7 -9,5	860,2218	46	28-01-13	8:00	-10,2	860,1425	46	28-01-13	8:00 8:00	-11,0 -11.2	860.0479	46	28-01-13	8:00	-11,2 -10.9	860,0484
46	28-01-13	14:00	-6,7	860,4950	46	28-01-13	14:00	-9,5 -9,3	860,2218	46	28-01-13	14:00	-10,6	860,1425	46	28-01-13	14:00	-11,2	860,0479	46	28-01-13	14:00	-10,9 -10,4	860,0484
4/	20-01-13	14.00	-0,0	000,4951	41	20-01-13	14.00	-9,3	000,2220	41	20-01-13	14.00	-10,1	000,1430	41	20-01-13	14.00	-10,5	000,0400	41	20-01-13	14.00	-10,4	000,0469

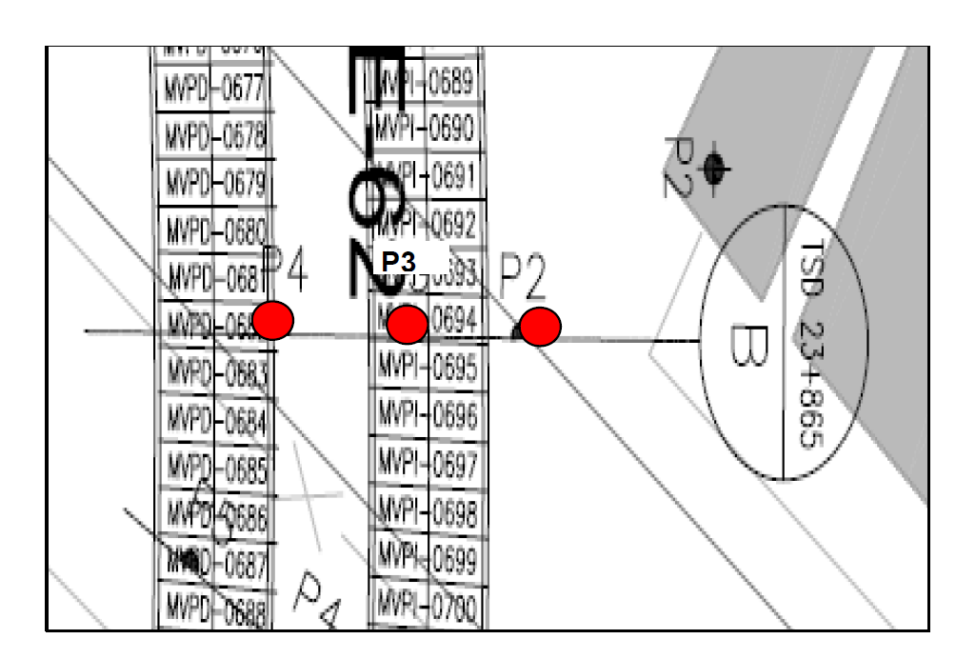
TABLA 4.1.1.o.: Lecturas de los puntos superficiales (P1, P2, P3 y P4) tras el paso de la tuneladora S430 y S431.



GRAFICA 4.1.1.o.: Asentamientos (mm) contra tiempo (días) en base a las lecturas de los puntos superficiales y tasómetros, tras el paso de la tuneladora S430 y S431.



SEC: 23+865



		ACTIVIDAD EN OBRA
1	22/10/2012	Los valores iniciales de la instrumentacion
2	28/11/2012	PASO S431
3	23/1/2013	PASO S430

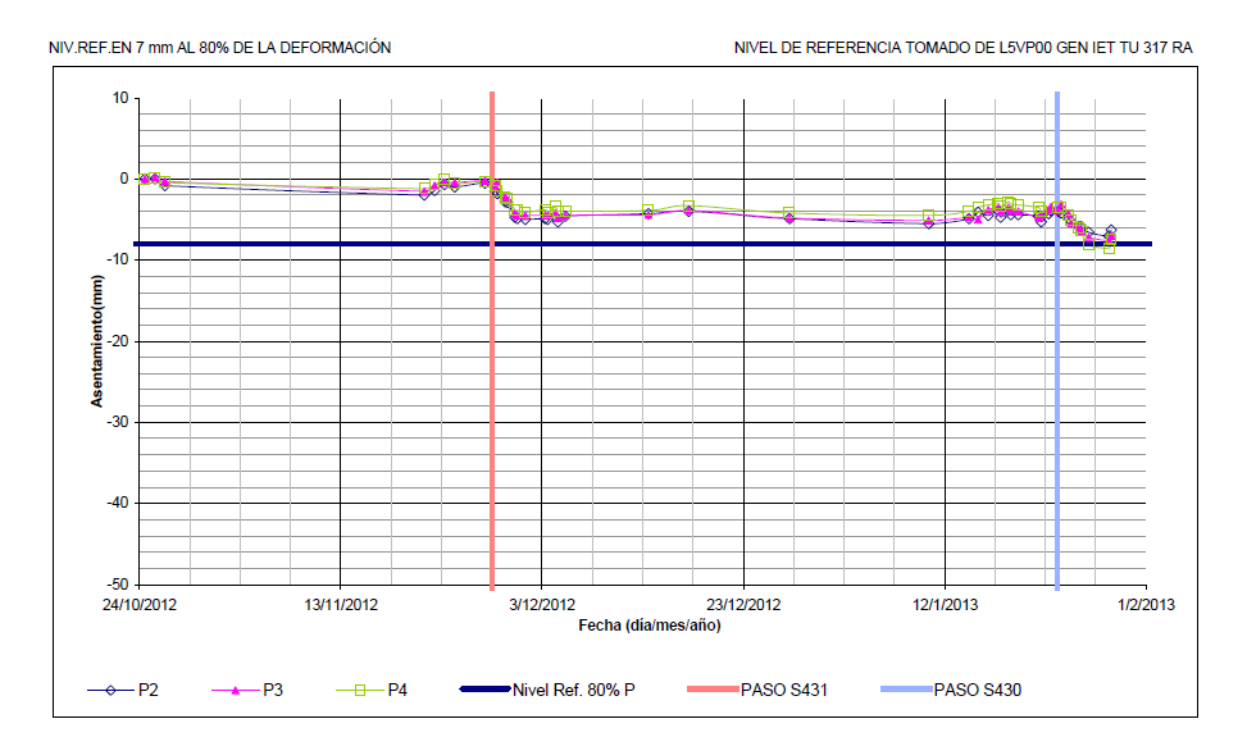
FIGURA 4.1.1.II.: Ubicación de la sección tipo "B" en la progresiva 23+865 del alineamiento Proyecto Línea 5.



P2					P3					P4				
FZ					FS					F4				
Jornada	Fecha	Hora	Deformación Acumulada	Dato	Jornada	Fecha	Hora	Deformación Acumulada	Dato	Jornada	Fecha	Hora	Deformación Acumulada	Dato
1	24-10-12	13:30	0,0	859,4329	1	24-10-12	13:30	0,0	859,331	1	24-10-12	13:30	0,0	859,1315
2	25-10-12	13:30	0,0	859,4329	2	25-10-12	13:30	0,2	859,3312	2	25-10-12	13:30	0,2	859,1317
3	26-10-12	13:30	-0,8	859,4321	3	26-10-12	13:30	-0,3	859,3307	3	26-10-12	13:30	-0,4	859,1311
4	21-11-12	8:00	-2,0	859,4309	4	21-11-12	8:00	-1,5	859,3295	4	21-11-12	8:00	-1,2	859,1303
5	22-11-12	8:00	-1,4	859,4315	5	22-11-12	8:00	-0,8	859,3302	5	22-11-12	8:00	-0,7	859,1308
6	23-11-12	8:00	-0,7	859,4322	6	23-11-12	8:00	-0,4	859,3306	6	23-11-12	8:00	-0,1	859,1314
7	24-11-12	8:00	-1,0	859,4319	7	24-11-12	8:00	-0,4	859,3306	7	24-11-12	8:00	-0,6	859,1309
8	27-11-12	8:00	-0,5	859,4324	8	27-11-12	8:00	-0,2	859,3308	8	27-11-12	8:00	-0,3	859,1312
9	28-11-12	8:00	-1,4	859,4315	9	28-11-12	8:00	-0,8	859,3302	9	28-11-12	8:00	-0,9	859,1306
10	28-11-12	14:00	-1,8	859,4311	10	28-11-12	14:00	-0,4	859,3306	10	28-11-12	14:00	-1,4	859,1301
11	29-11-12	8:00	-2,8	859,4301	11	29-11-12	8:00	-2,2	859,3288	11	29-11-12	8:00	-2,2	859,1293
12	29-11-12	14:00	-2,9	859,4300	12	29-11-12	14:00	-2,6	859,3284	12	29-11-12	14:00	-2,4	859,1291
13	30-11-12	8:00	-4,7	859,4282	13	30-11-12	8:00	-4,3	859,3267	13	30-11-12	8:00	-3,8	859,1277
14	30-11-12	14:00	-4,9	859,4280	14	30-11-12	14:00	-4,5	859,3265	14	30-11-12	14:00	-3,9	859,1276
15	01-12-12	8:00	-5,0	859,4279	15	01-12-12	8:00	-4,5	859,3265	15	01-12-12	8:00	-4,1	859,1274
16	03-12-12	8:00	-4,9	859,4280	16	03-12-12	8:00	-4,5	859,3265	16	03-12-12	8:00	-3,8	859,1277
17	03-12-12	14:00	-5,0	859,4279	17	03-12-12	14:00	-4,5	859,3265	17	03-12-12	14:00	-4,2	859,1273
18	04-12-12	8:00	-4,6	859,4283	18	04-12-12	8:00	-4,2	859,3268	18	04-12-12	8:00	-3,4	859,1281
19	04-12-12	14:00	-5,3	859,4276	19	04-12-12	14:00	-4,8	859,3262	19	04-12-12	14:00	-4,0	859,1275
20	05-12-12	8:00	-4,6	859,4283	20	05-12-12	8:00	-4,5	859,3265	20	05-12-12	8:00	-4,0	859,1275
21	13-12-12	14:00	-4,3	859,4286	21	13-12-12	14:00	-4,4	859,3266	21	13-12-12	14:00	-3,9	859,1276
22	17-12-12	14:00	-4,0	859,4289	22	17-12-12	14:00	-3,9	859,3271	22	17-12-12	14:00	-3,3	859,1282
	27-12-12	14:00	-4,9	859,4280	23	27-12-12	14:00	-4,8	859,3262	23	27-12-12	14:00	-4,2	859,1273
24	10-01-13	10:00	-5,5	859,4274	24	10-01-13	10:00	-5,1	859,3259	24	10-01-13	10:00	-4,5	859,1270
25 24	14-01-13 10-01-13	10:00	-4.9 -5,5	859.4280 859,4274	25 24	14-01-13 10-01-13	10:00 10:00	-4.7 -5,1	859.3263 859,3259	25 24	14-01-13 10-01-13	10:00	-4.0 -4,5	859.1275 859,1270
25	14-01-13	10:00	-5,5 -4,9	859,4274	25	14-01-13	10:00	-5,1 -4,7	859,3259	25	14-01-13	10:00	-4,5 -4,0	859,1270
26	15-01-13	8:00			26		8:00	-5,0		26	15-01-13	8:00	-3,5	
27	16-01-13	8:00	-4,1 -4,5	859,4288 859,4284	27	15-01-13 16-01-13	8:00	-3,8	859,326 859,3272	27	16-01-13	8:00	-3,5	859,1280 859,1283
28	17-01-13	8:00	-3,9	859,4290	28	17-01-13	8:00	-3,6	859,3274	28	17-01-13	8:00	-3,2	859,1285
29	17-01-13	14:00	-3,9	859,4282	29	17-01-13	14:00	-4,0	859,3274	29	17-01-13	14:00	-3,4	859,1281
30	18-01-13	8:00	-3,9	859,4290	30	18-01-13	8:00	-3.5	859,3275	30	18-01-13	8:00	-3,4	859,1287
31	18-01-13	14:00	-4,4	859,4285	31	18-01-13	14:00	-3,9	859,3271	31	18-01-13	14:00	-3,1	859,1284
32	19-01-13	8:00	-4,4	859,4285	32	19-01-13	8:00	-4,0	859,327	32	19-01-13	8:00	-3,1	859,1283
33	21-01-13	8:00	-4,6	859,4283	33	21-01-13	8:00	-4,7	859,3263	33	21-01-13	8:00	-3,5	859,1280
34	21-01-13	14:00	-5,3	859,4276	34	21-01-13	14:00	-4,4	859,3266	34	21-01-13	14:00	-4,0	859,1275
35	22-01-13	8:00	-4,3	859,4286	35	22-01-13	8:00	-3,8	859,3272	35	22-01-13	8:00	7,0	Obst.
36	22-01-13	14:00	-3,9	859,4290	36	22-01-13	14:00	-3,4	859,3276	36	22-01-13	14:00		Obst.
37	23-01-13	8:00	-4,0	859,4289	37	23-01-13	8:00	-3,9	859,3271	37	23-01-13	8:00	-3,5	859,1280
38	23-01-13	14:00	-4,2	859,4287	38	23-01-13	14:00	-3,1	859,3279	38	23-01-13	14:00	-3,5	859,1280
39	24-01-13	8:00	-4,9	859,4280	39	24-01-13	8:00	-4,3	859,3267	39	24-01-13	8:00	-4,5	859,1270
40	24-01-13	14:00	-5,3	859,4276	40	24-01-13	14:00	-5,4	859,3256	40	24-01-13	14:00	-5,1	859,1264
41	25-01-13	8:00	-5,9	859,4270	41	25-01-13	8:00	-6,0	859,325	41	25-01-13	8:00	-6,1	859,1254
42	25-01-13	14:00	-5,9	859,4270	42	25-01-13	14:00	-6,5	859,3245	42	25-01-13	14:00	-6,4	859,1251
43	26-01-13	8:00	-6,6	859,4263	43	26-01-13	8:00	-7,2	859,3238	43	26-01-13	8:00	-8,1	859,1234
44	28-01-13	8:00	-7,0	859,4259	44	28-01-13	8:00	-7,6	859,3234	44	28-01-13	8:00	-8,5	859,1230
45	28-01-13	14:00	-6,3	859,4266	45	28-01-13	14:00	-7,0	859,324	45	28-01-13	14:00	-7,5	859,1240

TABLA 4.1.1.p.: Lecturas de los puntos superficiales (P2, P3 y P4) tras el paso de la tuneladora S430 y S431.

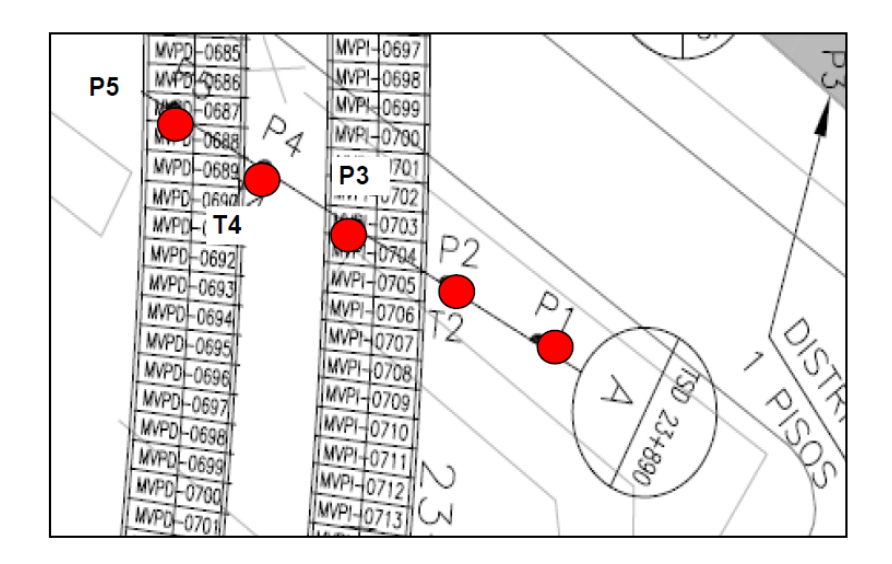




GRAFICA 4.1.1.p.: Asentamientos (mm) contra tiempo (días) en base a las lecturas de los puntos superficiales y tasómetros, tras el paso de la tuneladora S430 y S431.



SEC: 23+890 Puntos superficiales y tasómetros



		ACTIVIDAD EN OBRA									
1	24/10/2012	Los valores iniciales de la instrumentacion									
2	29/11/2012	PASO S431									
3	24/1/2013	24/1/2013 PASO S430									

FIGURA 4.1.1.m.: Ubicación de la sección tipo "A" en la progresiva 23+890 del alineamiento Proyecto Línea 5.

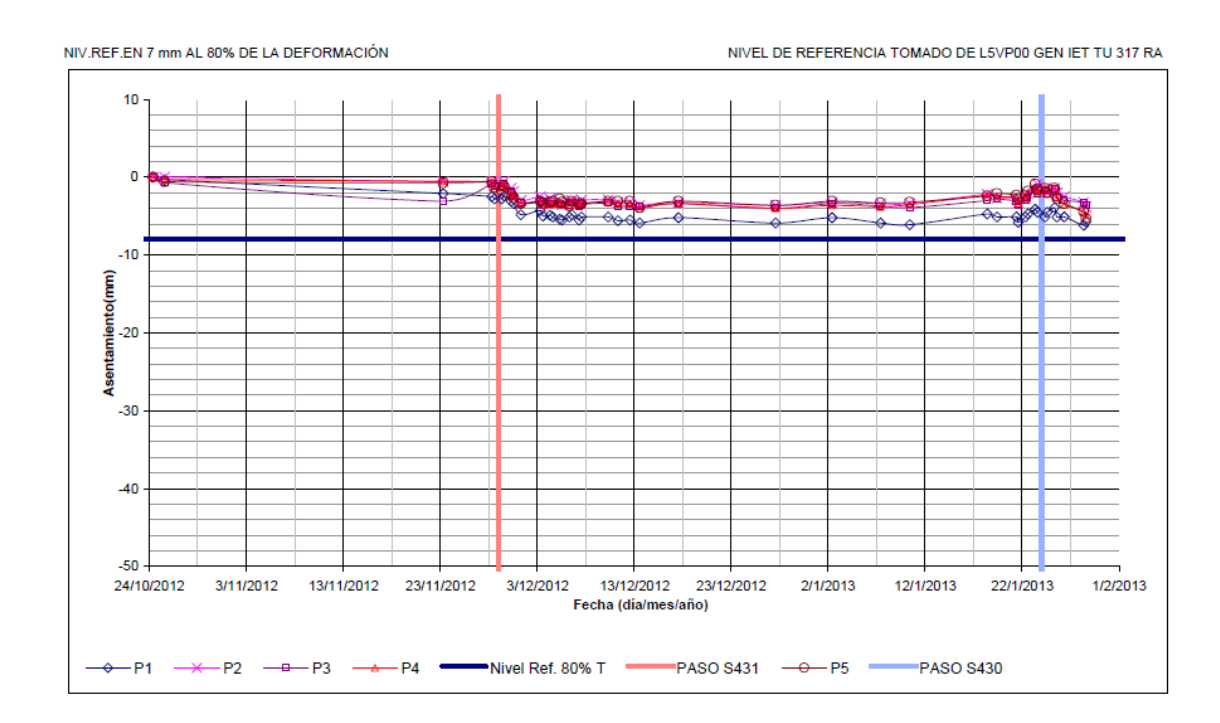


Seguimiento Instrumental Geotécnico para controlar riesgos en la construcción de túneles tipo escudo del tramo Foso UNEFA-Estación Bello Campo del Proyecto Línea 5 Metro de Caracas

P1					P2					Р3					P4					P5				
Jomada	Fecha	Hora	Deformación Acumulada	Dato	Jomada	Fecha	Hora	Deformación A cumulada	Dato	Jomada	Fecha	Hora	Deformación Acumulada	Dato	Jomada	Fecha	Hora	Deformación Acumulada	Dato	Jomada	Fecha	Hora	Deformación Acumulada	Dato
1	24-10-12	10:00	0,0	857,7701	1	24-10-12	10:00	0,0	857,3075	1	24-10-12	10:00	0,0	857,1900	1	24-10-12	10:00	0,0	857,1745	1	24-10-12	10:00	0,0	857,0164
2	25-10-12	14:00	-0,3	857,7698	2	25-10-12	14:00	0,0	857,3075	2	25-10-12	14:00	-0,7	857,1893	2	25-10-12	14:00	-0,3	857,1742	2	25-10-12	14:00	-0,6	857,0158
3	23-11-12	8:00	-2,1	857,7680	3	23-11-12	8:00	-0,6	857,3069	3	23-11-12	8:00	-3,1	857,1869	3	23-11-12	8:00	-0,5	857,1740	3	23-11-12	8:00	-0,7	857,0157
4	28-11-12	8:00	-2,5	857,7676	4	28-11-12	8:00	-0,6	857,3069	4	28-11-12	8:00	-0,8	857,1892	4	28-11-12	8:00	-0,6	857,1739	4	28-11-12	8:00	-0,6	857,0158
5	28-11-12	14:00	-2,8	857,7673	5	28-11-12	14:00	-1,1	857,3064	5	28-11-12	14:00	-1,2	857,1888	5	28-11-12	14:00	-1,4	857,1731	5	28-11-12	14:00	-1,3	857,0151
6	29-11-12	8:00	-2,8	857,7673	6	29-11-12	8:00	-1,0	857,3065	6	29-11-12	8:00	-1,2	857,1888	6	29-11-12	8:00	-1,2	857,1733	6	29-11-12	8:00	-1,7	857,0147
7	29-11-12	14:00	-2,4	857,7677	7	29-11-12	14:00	-0,5	857,3070	7	29-11-12	14:00	-0,8	857,1892	7	29-11-12	14:00	-0,9	857,1736	7	29-11-12	14:00	-1,1	857,0153
8	30-11-12	8:00	-3,1	857,7670	8	30-11-12	8:00	-1,4	857,3061	8	30-11-12	8:00	-1,8	857,1882	8	30-11-12	8:00	-2,1	857,1724	8	30-11-12	8:00	-2,2	857,0142
9	30-11-12	14:00	-3,4	857,7667	9	30-11-12	14:00	-1,8	857,3057	9	30-11-12	14:00	-2,4	857,1876	9	30-11-12	14:00	-2,5	857,1720	9	30-11-12	14:00	-2,7	857,0137
10	01-12-12	8:00	-4,8	857,7653	10	01-12-12	8:00	-3,0	857,3045	10	01-12-12	8:00	-3,3	857,1867	10	01-12-12	8:00	-3,4	857,1711	10	01-12-12	8:00	-3,4	857,0130
11	03-12-12	8:00	-4,3	857,7658	11	03-12-12	8:00	-2,5	857,3050	11	03-12-12	8:00	-3,1	857,1869	11	03-12-12	8:00	-3,2	857,1713	11	03-12-12	8:00	-3,1	857,0133
12	03-12-12	14:00	-5,0	857,7651	12	03-12-12	14:00	-3,0	857,3045	12	03-12-12	14:00	-3,5	857,1865	12	03-12-12	14:00	-3,6	857,1709	12	03-12-12	14:00	-3,3	857,0131
13	04-12-12	8:00	-4,9	857,7652	13	04-12-12	8:00	-2,8	857,3047	13	04-12-12	8:00	-3,4	857,1866	13	04-12-12	8:00	-3,5	857,1710	13	04-12-12	8:00	-3,2	857,0132
14	04-12-12	14:00	-5,1	857,7650	14	04-12-12	14:00	-3,3	857,3042	14	04-12-12	14:00	-3,4	857,1866	14	04-12-12	14:00	-3,4	857,1711	14	04-12-12	14:00	-3,1	857,0133
15	05-12-12	8:00	-5,4	857,7647	15	05-12-12	8:00	-3,1	857,3044	15	05-12-12	8:00	-3,4	857,1866	15	05-12-12	8:00	-3,2	857,1713	15	05-12-12	8:00	-2,8	857,0136
16	05-12-12 06-12-12	14:00	-5,5	857,7646	16	05-12-12 06-12-12	14:00	-3,5	857,3040 857,3044	16	05-12-12 06-12-12	14:00 8:00	-3,6	857,1864 857,1865	16	05-12-12 06-12-12	14:00	-3,5	857,1710 857,1708	16	05-12-12 06-12-12	14:00	-3,2	857,0132
17	06-12-12	8:00 14:00	-5,1	857,7650 857,7653	17	06-12-12	8:00 14:00	-3,1 -3.0	857,3044 857,3045	17		14:00	-3,5 -3,3	857,1865	17		8:00 14:00	-3,7		17 18		8:00 14:00	-3,7 -3,1	857,0127
19	07-12-12	8:00	-4,8	857,7646		07-12-12	8:00	-3,0	857,3045	19	06-12-12 07-12-12		-3,8		19	06-12-12 07-12-12	8:00	-3,1	857,1714	19	06-12-12	8:00	-3,1	857,0133
20	07-12-12	14:00	-5,5 -5,1	857,7650	19 20	07-12-12	14:00	-3,3	857,3042	20	07-12-12	8:00 14:00	-3,5	857,1862 857,1865	20	07-12-12	14:00	-3,6 -3,4	857,1709 857,1711	20	07-12-12 07-12-12	14:00	-3,4	857,0130 857,0130
21	10-12-12	8:00	-5,1	857,7650	21	10-12-12	8:00	-2,9	857,3046	21	10-12-12	8:00	-3,3	857,1867	21	10-12-12	8:00	-3,1	857,1711	21	10-12-12	8:00	-3,4	857,0130
22	11-12-12	8:00	-5,6	857,7645	22	11-12-12	8:00	-3,2	857,3048	22	11-12-12	8:00	-3,7	857,1863	22	11-12-12	8:00	-3,1	857,1711	22	11-12-12	8:00	-3,1	857,0133
23	12-12-12	14:00	-5,5	857,7646	23	12-12-12	14:00	-3,2	857,3043	23	12-12-12	14:00	-3,7	857,1863	23	12-12-12	14:00	-3,4	857,1711	23	12-12-12	14:00	-3,1	857.0133
24	13-12-12	14:00	-5,5	857,7642	24	13-12-12	14:00	-3,2	857,3039	24	13-12-12	14:00	-3,8	857,1862	24	13-12-12	14:00	-4,0	857,1705	24	13-12-12	14:00	-3,1	857,0125
25	17-12-12	14:00	-5,2	857,7649	25	17-12-12	14:00	-3,2	857,3043	25	17-12-12	14:00	-3,4	857,1866	25	17-12-12	14:00	-3,4	857,1711	25	17-12-12	14:00	-3,1	857,0133
26	27-12-12	14:00	-5,9	857,7642	26	27-12-12	14:00	-3,6	857,3039	26	27-12-12	14:00	-4,0	857,1860	26	27-12-12	14:00	-4,0	857,1705	26	27-12-12	14:00	-3,6	857,0128
27	02-01-13	10:00	-5,2	857,7649	27	02-01-13	10:00	-3,2	857,3043	27	02-01-13	10:00	-3,4	857,1866	27	02-01-13	10:00	-3,6	857,1709	27	02-01-13	10:00	-3,1	857,0133
28	07-01-13	10:00	-5,9	857,7642	28	07-01-13	10:00	-3,4	857,3041	28	07-01-13	10:00	-3,7	857,1863	28	07-01-13	10:00	-3,8	857,1707	28	07-01-13	10:00	-3,3	857,0131
29	10-01-13	10:00	-6,1	857,7640	29	10-01-13	10:00	-3,4	857,3041	29	10-01-13	10:00	-3,9	857,1861	29	10-01-13	10:00	-3,5	857,1710	29	10-01-13	10:00	-3,2	857,0132
30	18-01-13	10:00	-4,7	857,7654	30	18-01-13	10:00	-2,2	857,3053	30	18-01-13	10:00	-3,0	857,1870	30	18-01-13	10:00	-2,3	857,1722	30	18-01-13	10:00	-2,4	857,0140
31	19-01-13	10:00	-5,1	857,7650	31	19-01-13	10:00	-2,7	857,3048	31	19-01-13	10:00	-2,8	857,1872	31	19-01-13	10:00	-2,5	857,1720	31	19-01-13	10:00	-2,1	857,0143
32	21-01-13	10:00	-5,1	857,7650	32	21-01-13	10:00	-2,8	857,3047	32	21-01-13	10:00	-3,1	857,1869	32	21-01-13	10:00	-2,6	857,1719	32	21-01-13	10:00	-2,3	857,0141
33	21-01-13	14:00	-5,8	857,7643	33	21-01-13	14:00	-3.3	857,3042	33	21-01-13	14:00	-3,5	857,1865	33	21-01-13	14:00	-3,4	857,1711	33	21-01-13	14:00	-2.8	857,0136
34	22-01-13	8:00	-5,1	857,7650	34	22-01-13	8:00	-2,6	857,3049	34	22-01-13	8:00	-3,0	857,1870	34	22-01-13	8:00	-2,8	857,1717	34	22-01-13	8:00	-2,4	857,0140
35	22-01-13	14:00	-4,7	857,7654	35	22-01-13	14:00	-2,1	857,3054	35	22-01-13	14:00	-2,6	857,1874	35	22-01-13	14:00	-2,0	857,1725	35	22-01-13	14:00	-1.8	857,0146
36	23-01-13	8:00	-4,1	857,7660	36	23-01-13	8:00	-1,5	857,3060	36	23-01-13	8:00	-1,7	857,1883	36	23-01-13	8:00	-1,5	857,1730	36	23-01-13	8:00	-0,9	857,0155
37	23-01-13	14:00	-4,5	857,7656	37	23-01-13	14:00	-0,9	857,3066	37	23-01-13	14:00	-2,1	857,1879	37	23-01-13	14:00	-1,9	857,1726	37	23-01-13	14:00	-1,6	857,0148
38	24-01-13	8:00	-5,1	857,7650	38	24-01-13	8:00	-1,5	857,3060	38	24-01-13	8:00	-1,7	857,1883	38	24-01-13	8:00	-1,4	857,1731	38	24-01-13	8:00	-1,4	857,0150
39	24-01-13	14:00	-4,5	857,7656	39	24-01-13	14:00	-2,0	857,3055	39	24-01-13	14:00	-2,2	857,1878	39	24-01-13	14:00	-2,1	857,1724	39	24-01-13	14:00	-2,0	857,0144
40	25-01-13	8:00	-3,9	857,7662	40	25-01-13	8:00	-1,4	857,3061	40	25-01-13	8:00	-1,5	857,1885	40	25-01-13	8:00	-1,4	857,1731	40	25-01-13	8:00	-1,4	857,0150
41	25-01-13	14:00	-5,1	857,7650	41	25-01-13	14:00	-2,0	857,3055	41	25-01-13	14:00	-2,6	857,1874	41	25-01-13	14:00	-2,6	857,1719	41	25-01-13	14:00	-2,7	857,0137
42	26-01-13	8:00	-5,1	857,7650	42	26-01-13	8:00	-2,5	857,3050	42	26-01-13	8:00	-3,0	857,1870	42	26-01-13	8:00	-3,5	857,1710	42	26-01-13	8:00	-3,4	857,0130
43	28-01-13	8:00	-6,2	857,7639	43	28-01-13	8:00	-3,2	857,3043	43	28-01-13	8:00	-3,2	857,1868	43	28-01-13	8:00	-4,4	857,1701	43	28-01-13	8:00	-4,4	857,0120
44	28-01-13	14:00	-5,7	857,7644	44	28-01-13	14:00	-3,8	857,3037	44	28-01-13	14:00	-3,6	857,1864	44	28-01-13	14:00	-4,9	857,1696	44	28-01-13	14:00	-5,3	857,0111

TABLA 4.1.1.q.: Lecturas de los puntos superficiales (P1, P2, P3, P4 y P5) tras el paso de la tuneladora S430 y S431.





GRAFICA 4.1.1.q.: Asentamientos (mm) contra tiempo (días) en base a las lecturas de los puntos superficiales y tasómetros, tras el paso de la tuneladora S430 y S431.

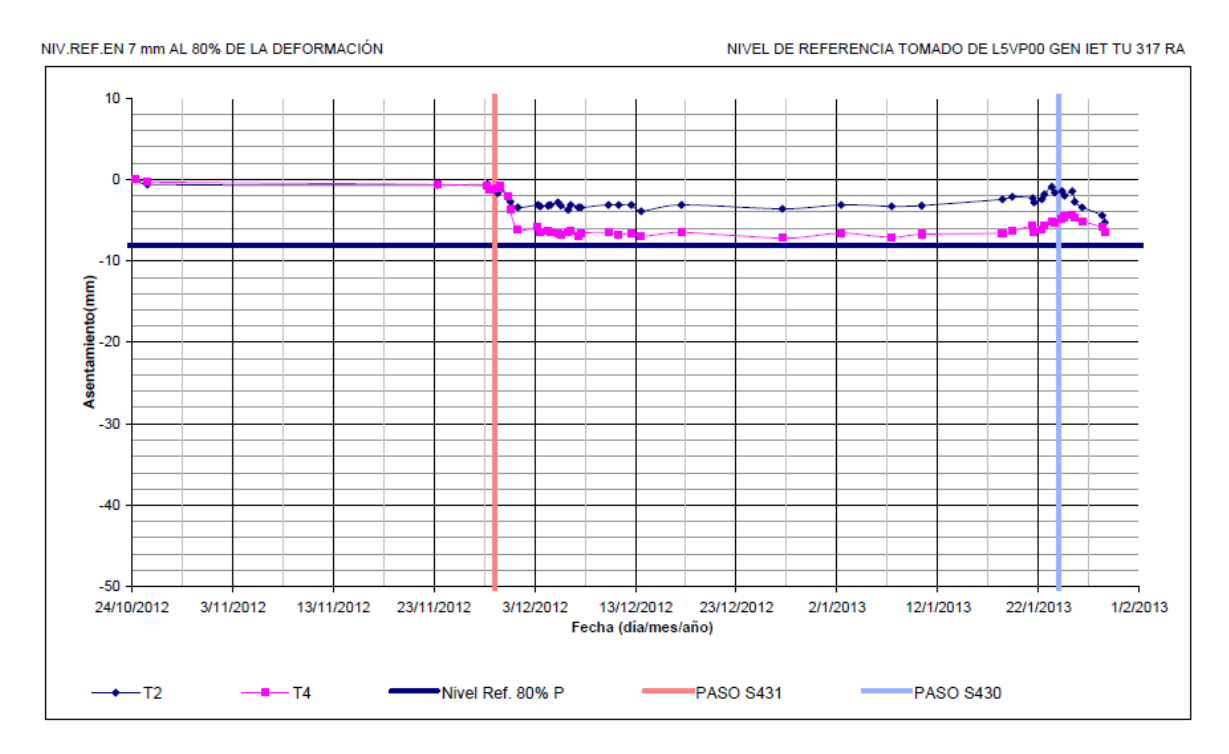


44 28-01-13 14:00

Deformación Acumulada Deformación Acumulada Jornada Fecha Fecha Hora Hora Dato Dato 24-10-12 10:00 0,0 857,2476 24-10-12 0,0 857,0039 25-10-12 14:00 -0,3 857,2473 25-10-12 14:00 857,0034 23-11-12 8:00 -0,6 857,2470 3 23-11-12 8:00 857,0032 28-11-12 28-11-12 8:00 -0,8 857,2468 4 8:00 -0,2 857.0037 28-11-12 28-11-12 14:00 -1,2 857,2464 14:00 -1,2 857,0027 29-11-12 29-11-12 8:00 14:00 857,2465 7 29-11-12 29-11-12 8:00 857,0026 857,2469 14:00 857,0029 -0,7 -1,030-11-12 8:00 30-11-12 857,0014 857,2455 8:00 30-11-12 30-11-12 14:00 14:00 857,0005 856,9994 10 01-12-12 8:00 -6,1 857,2415 10 01-12-12 8:00 12 03-12-12 14:00 -6.4 857,2412 12 03-12-12 14:00 -4.8 856 9991 13 04-12-12 8:00 -6.3 857 2413 13 04-12-12 8:00 -4.7 856 9992 857,2411 04-12-12 14 04-12-12 14:00 -6.5 14 14:00 -4.6856.9993 857,2410 15 05-12-12 8:00 -6.6 15 05-12-12 8:00 856.9995 16 05-12-12 14:00 857,2408 05-12-12 856,9992 16 14:00 -6.8 -4.7857,2411 857,2413 17 06-12-12 18 06-12-12 8:00 06-12-12 06-12-12 8:00 17 856,9991 -6,5 -4,819 07-12-12 8:00 -6,9 857,2407 19 07-12-12 8:00 856,9990 20 07-12-12 14:00 -6.6 857,2410 20 07-12-12 14:00 856,9993 857,2411 857,2408 21 10-12-12 8:00 -6,5 21 10-12-12 8:00 -4.4 856,9995 11-12-12 12-12-12 11-12-12 12-12-12 856 9992 22 8:00 -6.8 22 8:00 -4.7 14:00 14:00 857.2410 856,9994 23 -7,0 13-12-12 14:00 857,2406 13-12-12 14:00 -5,0 856,9989 17-12-12 14:00 857,2411 17-12-12 -6,5 14:00 27-12-12 14:00 857,2404 27-12-12 14:00 856,9986 10:00 857,2410 02-01-13 27 02-01-13 -6,6 27 10:00 -4,9 856,9990 857,2405 857,2409 856,9991 07-01-13 07-01-13 10:00 10-01-13 10-01-13 10:00 856 9990 857.2410 857.0001 30 18-01-13 10:00 -6,6 30 18-01-13 10:00 -3,8 857,2413 31 19-01-13 10:00 31 19-01-13 10:00 857,0003 -6.3 -3.6 21-01-13 21-01-13 21-01-13 21-01-13 10:00 -5,7 857,2419 32 857,0001 32 10:00 -3,8 33 857,2412 856,9993 14:00 -6,4 33 14:00 -4,622-01-13 22-01-13 857,2415 857,2420 22-01-13 22-01-13 23-01-13 23-01-13 8:00 8:00 35 14:00 35 14:00 857,0008 23-01-13 23-01-13 36 8:00 857.2425 36 8:00 857 0014 37 -5,3 857,2423 37 14:00 14:00 -3,0 857.0009 38 24-01-13 8:00 -4.9 857,2427 38 24-01-13 8:00 857.0014 24-01-13 25-01-13 24-01-13 25-01-13 857,0009 857,0013 39 14:00 -4,6 857,2430 39 14:00 40 8:00 857.2433 40 8:00 -2.625-01-13 25-01-13 41 14:00 857,2429 857,0001 -4.7 41 14:00 -3.8 26-01-13 -5,1 26-01-13 42 8:00 857,2425 42 8:00 28-01-13 43 28-01-13 8:00 857,2417 8:00

TABLA 4.1.1.r.: Lecturas de los tasómetros (T2 y T4) tras el paso de la tuneladora S430 y S431.



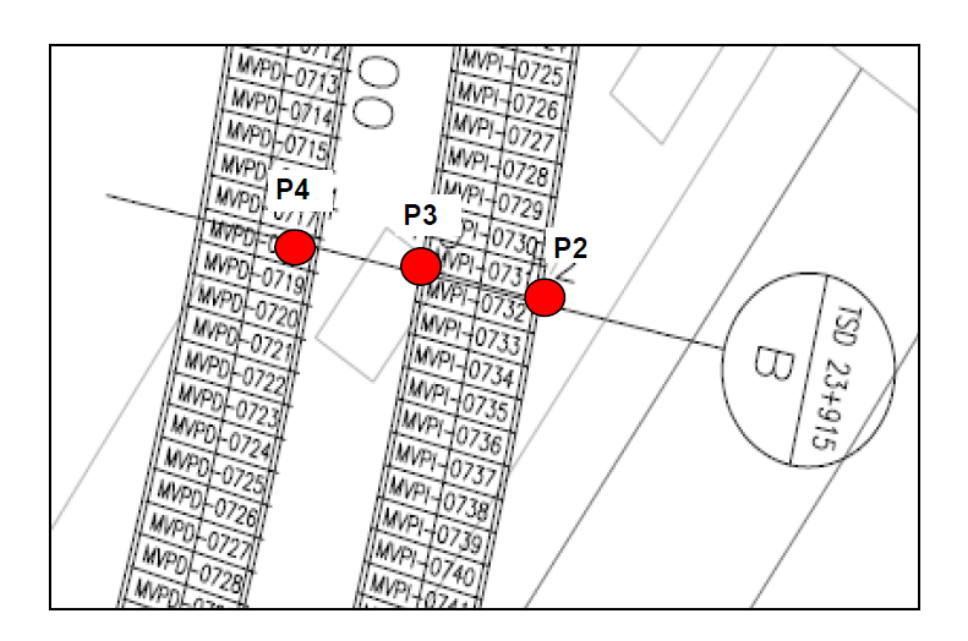


GRAFICA 4.1.1.r.: Asentamientos (mm) contra tiempo (días) en base a las lecturas de los puntos superficiales y tasómetros, tras el paso de la tuneladora S430 y S431.



SEC: 23+915

Puntos superficiales



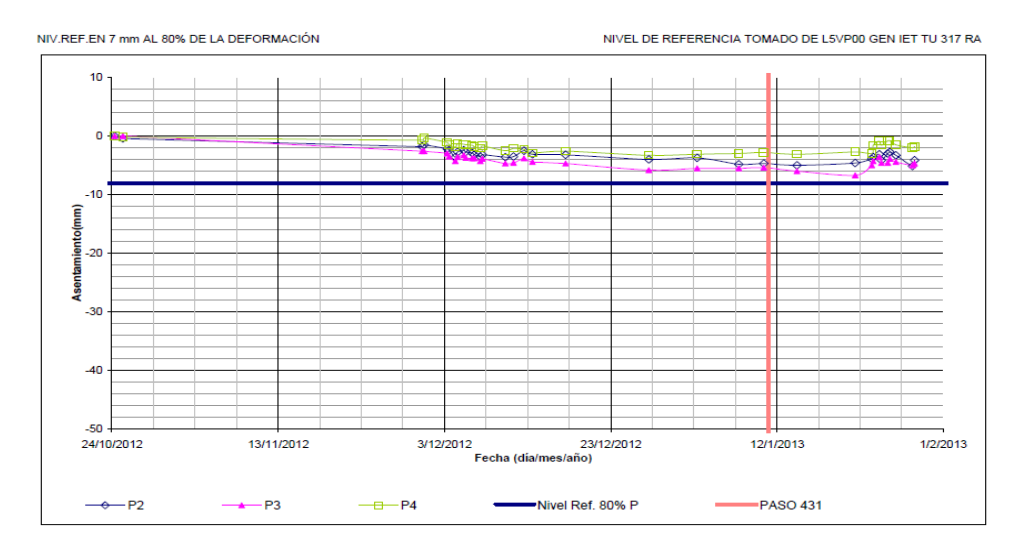
		ACTIVIDAD EN OBRA
1	24/10/2012	Los valores iniciales de la instrumentacion

FIGURA 4.1.1.n.: Ubicación de la sección tipo "B" en la progresiva 23+915 del alineamiento Proyecto Línea 5.



P2					P3					P4				
Jornada	Fecha	Hora	Deformación Acumulada	Dato	Jornada	Fecha	Hora	Deformación Acumulada	Dato	Jornada	Fecha	Hora	Deformación Acumulada	Dato
1	24-10-12	8:00	0,0	859,5631	1	24-10-12	8:00	0,0	858,8227	1	24-10-12	8:00	0,0	857,1590
2	25-10-12	8:00	-0,4	859,5627	2	25-10-12	8:00	0,0	858,8227	2	25-10-12	8:00	-0,2	857,1588
3	30-11-12	8:00	-1,8	859,5613	3	30-11-12	8:00	-2,6	858,8201	3	30-11-12	8:00	-0,7	857,1583
4	30-11-12	14:00	-1,5	859,5616	4	30-11-12	14:00	-2,6	858,8201	4	30-11-12	14:00	-0,3	857,1587
5	03-12-12	8:00	-2,2	859,5609	5	03-12-12	8:00	-3,0	858,8197	5	03-12-12	8:00	-1,1	857,1579
6	03-12-12	14:00	-2,4	859,5607	6	03-12-12	14:00	-3,5	858,8192	6	03-12-12	14:00	-1,5	857,1575
7	04-12-12	8:00	-3,6	859,5595	7	04-12-12	8:00	-4,3	858,8184	7	04-12-12	8:00	-1,9	857,1571
8	04-12-12	14:00	-2,7	859,5604	8	04-12-12	14:00	-3,6	858,8191	8	04-12-12	14:00	-1,3	857,1577
9	05-12-12	8:00	-2,4	859,5607	9	05-12-12	8:00	-3,3	858,8194	9	05-12-12	8:00	-1,4	857,1576
10	05-12-12	14:00	-2,7	859,5604	10	05-12-12	14:00	-3,7	858,819	10	05-12-12	14:00	-1,5	857,1575
11	06-12-12	8:00	-2,9	859,5602	11	06-12-12	8:00	-3,8	858,8189	11	06-12-12	8:00	-1,6	857,1574
12	06-12-12	14:00	-3,2	859,5599	12	06-12-12	14:00	-3,8	858,8189	12	06-12-12	14:00	-1,8	857,1572
13	07-12-12	8:00	-3,5	859,5596	13	07-12-12	8:00	-4,3	858,8184	13	07-12-12	8:00	-2,1	857,1569
14	07-12-12	14:00	-3,2	859,5599	14	07-12-12	14:00	-3,9	858,8188	14	07-12-12	14:00	-1,7	857,1573
15	10-12-12	8:00	-3,6	859,5595	15	10-12-12	8:00	-4,7	858,818	15	10-12-12	8:00	-2,5	857,1565
16	11-12-12	8:00	-3,5	859,5596	16	11-12-12	8:00	-4,6	858,8181	16	11-12-12	8:00	-2,1	857,1569
17	12-12-12	14:00	-2,5	859,5606	17	12-12-12	14:00	-3,8	858,8189	17	12-12-12	14:00	-2,3	857,1567
18	13-12-12	14:00	-3,1	859,5600	18	13-12-12	14:00	-4,4	858,8183	18	13-12-12	14:00	-2,9	857,1561
19	17-12-12	14:00	-3,2	859,5599	19	17-12-12	14:00	-4,7	858,818	19	17-12-12	14:00	-2,6	857,1564
20	27-12-12	14:00	-4,0	859,5591	20	27-12-12	14:00	-5,8	858,8169	20	27-12-12	14:00	-3,3	857,1557
21	02-01-13	10:00	-3,7	859,5594	21	02-01-13	10:00	-5,5	858,8172	21	02-01-13	10:00	-3,1	857,1559
22	07-01-13	10:00	-4,8	859,5583	22	07-01-13	10:00	-5,5	858,8172	22	07-01-13	10:00	-3,0	857,1560
23	10-01-13	10:00	-4,7	859,5584	23	10-01-13	10:00	-5,4	858,8173	23	10-01-13	10:00	-2,8	857,1562
24	14-01-13	10:00	-5,0	859,5581	24	14-01-13	10:00	-6,0	858,8167	24	14-01-13	10:00	-3,1	857,1559
25	21-01-13	10:00	-4,6	859,5585	25	21-01-13	10:00	-6,7	858,816	25	21-01-13	10:00	-2,7	857,1563
26	23-01-13	10:00	-3,9	859,5592	26	23-01-13	10:00	-5,0	858,8177	26	23-01-13	10:00	-3,0	857,1560
27	23-01-13	14:00	-3,6	859,5595	27	23-01-13	14:00	-4,3	858,8184	27	23-01-13	14:00	-1,6	857,1574
28	24-01-13	8:00	-3,1	859,5600	28	24-01-13	8:00	-3,6	858,8191	28	24-01-13	8:00	-0,9	857,1581
29	24-01-13	14:00	-4,1	859,5590	29	24-01-13	14:00	-4,6	858,8181	29	24-01-13	14:00	-1,6	857,1574
30	25-01-13	8:00	-3,0	859,5601	30	25-01-13	8:00	-4,6	858,8181	30	25-01-13	8:00	-0,8	857,1582
31	25-01-13	14:00	-2,7	859,5604	31	25-01-13	14:00	-3,9	858,8188	31	25-01-13	14:00	-0,8	857,1582
32	26-01-13	8:00	-3,3	859,5598	32	26-01-13	8:00	-4,4	858,8183	32	26-01-13	8:00	-1,5	857,1575
33	28-01-13	8:00	-5,1	859,5580	33	28-01-13	8:00	-5,0	858,8177	33	28-01-13	8:00	-2,0	857,1570
34	28-01-13	14:00	-4,1	859,5590	34	28-01-13	14:00	-4,7	858,818	34	28-01-13	14:00	-1,8	857,1572

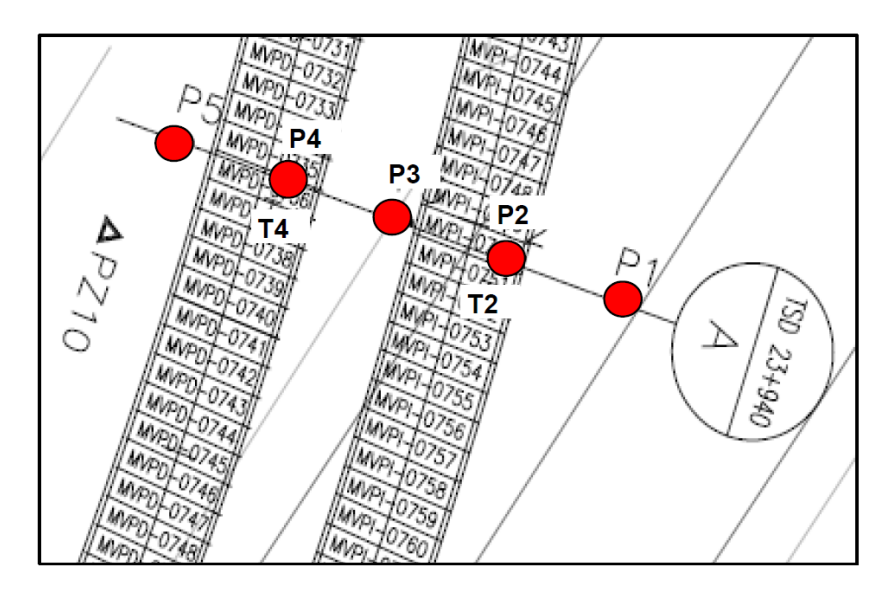
TABLA 4.1.1.s.: Lecturas de los puntos superficiales (P2, P3 y P4) tras el paso de la tuneladora S431.



GRAFICA 4.1.1.s.: Asentamientos (mm) contra tiempo (días) en base a las lecturas de los puntos superficiales y tasómetros, tras el paso de la tuneladora S431.



SEC: 23+940 Puntos superficiales y tasómetros



		ACTIVIDAD EN OBRA
1	25/10/2012	Los valores iniciales de la instrumentacion
2	22/1/2013	PASO S431
3	31/1/2013	PASO S430

FIGURA 4.1.1.ñ.: Ubicación de la sección tipo "A" en la progresiva 23+940 del alineamiento Proyecto Línea 5.



Seguimiento Instrumental Geotécnico para controlar riesgos en la construcción de túneles tipo escudo del tramo Foso UNEFA-Estación Bello Campo del Proyecto Línea 5 Metro de Caracas

P1					P2					P3					P4					P5				
Jornada	Fecha	Hora	Deformación Acumulada	Dato	Jornada	Fecha	Hora	Deformación Acumulada	Dato	Jornada	Fecha	Hora	Deformación Acumulada	Dato	Jornada	Fecha	Hora	Deformación Acumulada	Dato	Jornada	Fecha	Hora	Deformación Acumulada	Dato
1	25-10-12	10:00	0,0	859,8392	1	25-10-12	10:00	0,0	859,6555	1	25-10-12	10:00	0,0	859,8065	1	25-10-12	10:00	0,0	859,2316	1	25-10-12	10:00	0,0	857,8140
2	30-11-12	8:00	-1,4	859,8378	2	30-11-12	8:00	-1,6	859,6539	2	30-11-12	8:00	-0,6	859,8059	2	30-11-12	8:00	-2,7	859,2289	2	30-11-12	8:00	-1,8	857,8122
3	03-12-12	8:00	-1,1	859,8381	3	03-12-12	8:00	-1,8	859,6537	3	03-12-12	8:00	-0,5	859,8060	3	03-12-12	8:00	-2,8	859,2288	3	03-12-12	8:00	-2,3	857,8117
4	04-12-12 04-12-12	8:00 14:00	-1,2 -1.0	859,8380	5	04-12-12	8:00 14:00	-1,3 -1.1	859,6542 859,6544	5	04-12-12	8:00	-0,5 0.0	859,8060	4 5	04-12-12 04-12-12	8:00 14:00	-2,3 -2,2	859,2293 859,2294	5	04-12-12	8:00 14:00	-2,5 -2,0	857,8115
5 6	05-12-12	8:00	-1,0	859,8382 859,8381	6	04-12-12 05-12-12	8:00	0,1	859,6544 859,6556	6	04-12-12 05-12-12	14:00 8:00	0,0	859,8065 859,8068	6	05-12-12	8:00	-1,7	859,2294	6	04-12-12 05-12-12	8:00	-2,0	857,8120 857,8118
7	05-12-12	14:00	-0,6	859,8386	7	05-12-12	14:00	-1,2	859,6543	7	05-12-12	14:00	-0,2	859,8063	7	05-12-12	14:00	-2,5	859,2291	7	05-12-12	14:00	-2,2	857,8117
8	06-12-12	8:00	-0.5	859,8387	8	06-12-12	8:00	-0,2	859,6553	8	06-12-12	8:00	0.5	859,8070	8	06-12-12	8:00	-2,1	859,2295	8	06-12-12	8:00	-2,2	857,8118
9	06-12-12	14:00	-0,4	859,8388	9	06-12-12	14:00	-0,2	859,6553	9	06-12-12	14:00	0,6	859,8071	9	06-12-12	14:00	-1,5	859,2301	9	06-12-12	14:00	-2,0	857,8120
10	07-12-12	8:00	-0,7	859,8385	10	07-12-12	8:00	-0,6	859,6549	10	07-12-12	8:00	0,3	859,8068	10	07-12-12	8:00	-2,2	859,2294	10	07-12-12	8:00	-2,1	857,8119
11	07-12-12	14:00	-1,0	859,8382	11	07-12-12	14:00	-1,0	859,6545	11	07-12-12	14:00	0,1	859,8066	11	07-12-12	14:00	-2,1	859,2295	11	07-12-12	14:00	-2,0	857,8120
12	10-12-12	8:00	-0,3	859,8389	12	10-12-12	8:00	-0,4	859,6551	12	10-12-12	8:00	0,5	859,8070	12	10-12-12	8:00	-1,8	859,2298	12	10-12-12	8:00	-2,5	857,8115
13	11-12-12	8:00	-0,6	859,8386	13	11-12-12	8:00	-0,3	859,6552	13	11-12-12	8:00	0,2	859,8067	13	11-12-12	8:00	-2,2	859,2294	13	11-12-12	8:00	-1,7	857,8123
14	12-12-12 13-12-12	8:00 8:00	-0,3 -0,1	859,8389 859,8391	14	12-12-12 13-12-12	8:00 8:00	-0,1 -0.4	859,6554 859,6551	14 15	12-12-12 13-12-12	8:00 8:00	0,6	859,8071 859,8068	14	12-12-12 13-12-12	8:00 8:00	-1,8 -1,9	859,2298 859,2297	14	12-12-12 13-12-12	8:00 8:00	-1,8 -2,2	857,8122 857,8118
16	17-12-12	8:00	-0,1	859,8384	16	17-12-12	8:00	-0,4	859,6548	16	17-12-12	8:00	-0.2	859,8063	16	17-12-12	8:00	-1,9	859,2292	16	17-12-12	8:00	-2,2	857,8120
17	27-12-12	8:00	-1,4	859,8378	17	27-12-12	8:00	-1,5	859,6540	17	27-12-12	8:00	-1,4	859,8051	17	27-12-12	8:00	-2,4	859,2288	17	27-12-12	8:00	-2,0	857,8112
18	02-01-13	10:00	-0,7	859,8385	18	02-01-13	10:00	-0,8	859,6547	18	02-01-13	10:00	-0,7	859,8058	18	02-01-13	10:00	-2,3	859,2293	18	02-01-13	10:00	-2,8	857,8112
19	07-01-13	10:00	-1,8	859,8374	19	07-01-13	10:00	-1,7	859,6538	19	07-01-13	10:00	-1,2	859,8053	19	07-01-13	10:00	-3,4	859,2282	19	07-01-13	10:00	-2,1	857,8119
20	10-01-13	10:00	-1,4	859,8378	20	10-01-13	10:00	-1,7	859,6538	20	10-01-13	10:00	-0,9	859,8056	20	10-01-13	10:00	-3,4	859,2282	20	10-01-13	10:00	-2,6	857,8114
21	14-01-13	10:00	-1,7	859,8375	21	14-01-13	10:00	-2,5	859,6530	21	14-01-13	10:00	-1,7	859,8048	21	14-01-13	10:00	-4,1	859,2275	21	14-01-13	10:00	-2,7	857,8113
22	21-01-13	10:00	-1,0	859,8382	22	21-01-13	10:00	-1,5	859,6540	22	21-01-13	10:00	-1,2	859,8053	22	21-01-13	10:00	-3,6	859,2280	22	21-01-13	10:00	-2,6	857,8114
23	23-01-13	10:00	-0,4	859,8388	23	23-01-13	10:00	-1,0	859,6545	23	23-01-13	10:00	-0,7	859,8058	23	23-01-13	10:00	-3,6	859,2280	23	23-01-13	10:00	-2,0	857,8120
24 25	23-01-13 24-01-13	14:00 8:00	-0,5 -0.9	859,8387 859,8383	24 25	23-01-13 24-01-13	14:00 8:00	-1,1 -1.5	859,6544 859,6540	24 25	23-01-13	14:00 8:00	0,0 -0,2	859,8065 859,8063	24 25	23-01-13 24-01-13	14:00 8:00	-2,4	859,2292 859,2291	24 25	23-01-13 24-01-13	14:00 8:00	-1,4 -1.1	857,8126 857,8129
26	24-01-13	10:00	-0,9	859,8388	26	24-01-13	10:00	-1,5 -1,1	859,6544	26	24-01-13	10:00	-0,2	859,8060	26	24-01-13	10:00	-2,5 -1.9	859,2297	26	24-01-13	10:00	-1,1	857,8125
27	24-01-13	14:00	-1,7	859,8375	27	24-01-13	14:00	-2.2	859,6533	27	24-01-13	14:00	-1,2	859,8053	27	24-01-13	14:00	-3.2	859,2284	27	24-01-13	14:00	-2.2	857,8118
28	25-01-13	8:00	-0.4	859,8388	28	25-01-13	8:00	-1,3	859,6542	28	25-01-13	8:00	-0,2	859,8063	28	25-01-13	8:00	-3,3	859,2283	28	25-01-13	8:00	-1,7	857,8123
29	25-01-13	14:00	-1,1	859,8381	29	25-01-13	14:00	-1,7	859,6538	29	25-01-13	14:00	-0,7	859,8058	29	25-01-13	14:00	-2,3	859,2293	29	25-01-13	14:00	-1,4	857,8126
30	26-01-13	8:00	-1,8	859,8374	30	26-01-13	8:00	-2,7	859,6528	30	26-01-13	8:00	-1,1	859,8054	30	26-01-13	8:00	-3,0	859,2286	30	26-01-13	8:00	-2,0	857,8120
31	28-01-13	8:00	-2,0	859,8372	31	28-01-13	8:00	-1,6	859,6539	31	28-01-13	8:00	-0,6	859,8059	31	28-01-13	8:00	-3,6	859,2280	31	28-01-13	8:00	-3,0	857,8110
32	28-01-13	14:00	-2,1	859,8371	32	28-01-13	14:00	-2,8	859,6527	32	28-01-13	14:00	-1,6	859,8049	32	28-01-13	14:00	-3,4	859,2282	32	28-01-13	14:00	-2,3	857,8117
33 34	29-01-13 29-01-13	8:00 14:00	-2,1 -1,8	859,8371 859,8374	33 34	29-01-13 29-01-13	8:00 14:00	-2,9	859,6526 859,6530	33 34	29-01-13 29-01-13	8:00 14:00	-1,8 -1,5	859,8047	33 34	29-01-13 29-01-13	8:00 14:00	-3,8	859,2278 859,2276	33 34	29-01-13 29-01-13	8:00 14:00	-2,0 -1.7	857,8120 857,8123
35	30-01-13	8:00	-1,8	859,8374	35	30-01-13	8:00	-2,5 -2,2	859,6530	35	30-01-13	8:00	-1,5	859,8050 859,8046	35	30-01-13	8:00	-4,0 -3,8	859,2276	35	30-01-13	8:00	-1,7	857,8123
36	30-01-13	14:00	-2,3	859,8373	36	30-01-13	14:00	-2,2	859,6527	36	30-01-13	14:00	-1,9	859,8049	36	30-01-13	14:00	-3,6	859,2280	36	30-01-13	14:00	-2,0	857,8115
37	31-01-13	8:00	-2,2	859,8370	37	31-01-13	8:00	-3,2	859,6523	37	31-01-13	8:00	-2,5	859,8040	37	31-01-13	8:00	-4,3	859,2273	37	31-01-13	8:00	-2,3	857,8118
38	31-01-13	14:00	-2,6	859,8366	38	31-01-13	14:00	-3,7	859,6518	38	31-01-13	14:00	-2,7	859,8038	38	31-01-13	14:00	-4,8	859,2268	38	31-01-13	14:00	-3,3	857,8107
39	01-02-13	8:00	-2,5	859,8367	39	01-02-13	8:00	-4,4	859,6511	39	01-02-13	8:00	-3,9	859,8026	39	01-02-13	8:00	-6,3	859,2253	39	01-02-13	8:00	-4,7	857,8093
40	01-02-13	14:00	-2,6	859,8366	40	01-02-13	14:00	-4,2	859,6513	40	01-02-13	14:00	-3,6	859,8029	40	01-02-13	14:00	-5,8	859,2258	40	01-02-13	14:00	-4,0	857,8100
41	04-02-13	8:00	-2,7	859,8365	41	04-02-13	8:00	-4,6	859,6509	41	04-02-13	8:00	-4,3	859,8022	41	04-02-13	8:00	-6,4	859,2252	41	04-02-13	8:00	-4,5	857,8095
42	05-02-13	8:00	-3,2	859,8360	42	05-02-13	8:00	-5,2	859,6503	42	05-02-13	8:00	-4,8	859,8017	42	05-02-13	8:00	-6,9	859,2247	42	05-02-13	8:00	-4,2	857,8098
43	06-02-13 07-02-13	10:00 10:00	-2,8 -2,4	859,8364 859,8368	43	06-02-13 07-02-13	10:00	-4,9 -4,4	859,6506 859,6511	43	06-02-13 07-02-13	10:00	-4,6 -4,2	859,8019 859,8023	43	06-02-13 07-02-13	10:00	-7,1 -6,7	859,2245 859,2249	43	06-02-13 07-02-13	10:00	-5,3 -5,2	857,8087 857,8088
45	08-02-13	10:00	-3,0	859,8362	45	08-02-13	10:00	-4,9	859,6506	45	08-02-13	10:00	4,7	859,8018	45	08-02-13	10:00	-6,8	859,2248	45	08-02-13	10:00	-5,2	857,8086
46	13-02-13	10:00	-3,7	859,8355	46	13-02-13	10:00	-5,7	859,6498	46	13-02-13	10:00	-5,5	859,8010	46	13-02-13	10:00	-7,9	859,2237	46	13-02-13	10:00	-6,2	857,8078
47	14-02-13	10:00	-3,2	859,8360	47	14-02-13	10:00	-6,5	859,6490	47	14-02-13	10:00	-6,0	859,8005	47	14-02-13	10:00	-8,6	859,2230	47	14-02-13	10:00	-6,6	857,8074
48	15-02-13	10:00	-3,9	859,8353	48	15-02-13	10:00	-6,7	859,6488	48	15-02-13	10:00	-6,2	859,8003	48	15-02-13	10:00	-8,8	859,2228	48	15-02-13	10:00	-6,5	857,8075
49	05-03-13	10:00	-3,4	859,8358	49	05-03-13	10:00	-5,5	859,6500	49	05-03-13	10:00	-5,5	859,8010	49	05-03-13	10:00	-8,1	859,2235	49	05-03-13	10:00	-6,0	857,8080
50	11-03-13	10:00	-3,9	859,8353	50	11-03-13	10:00	-6,0	859,6495	50	11-03-13	10:00	-5,7	859,8008	50	11-03-13	10:00	-8,4	859,2232	50	11-03-13	10:00	-6,5	857,8075
51	12-03-13	10:00	-4,3	859,8349	51	12-03-13	10:00	-4,9	859,6506	51	12-03-13	10:00	-5,9	859,8006	51	12-03-13	10:00	-8,4	859,2232	51	12-03-13	10:00	-6,7	857,8073
52	19-03-13	14:00	-4,0	859,8352	52	19-03-13	14:00	-5,0	859,6505	52	19-03-13	14:00	-5,7	859,8008	52	19-03-13	14:00	-8,2	859,2234	52	19-03-13	14:00	-5,6	857,8084

TABLA 4.1.1.t.: Lecturas de los puntos superficiales (P1, P2, P3, P4 y P5) tras el paso de la tuneladora S431 y S430.



NIV.REF.EN 7 mm AL 80% DE LA DEFORMACIÓN

NIVEL DE REFERENCIA TOMADO DE L5VP00 GEN IET TU 317 RA

10

10

10

10

10

10

20

21/2/2012

22/4/2013

22/4/2013

PASO S431

PS PASO S430

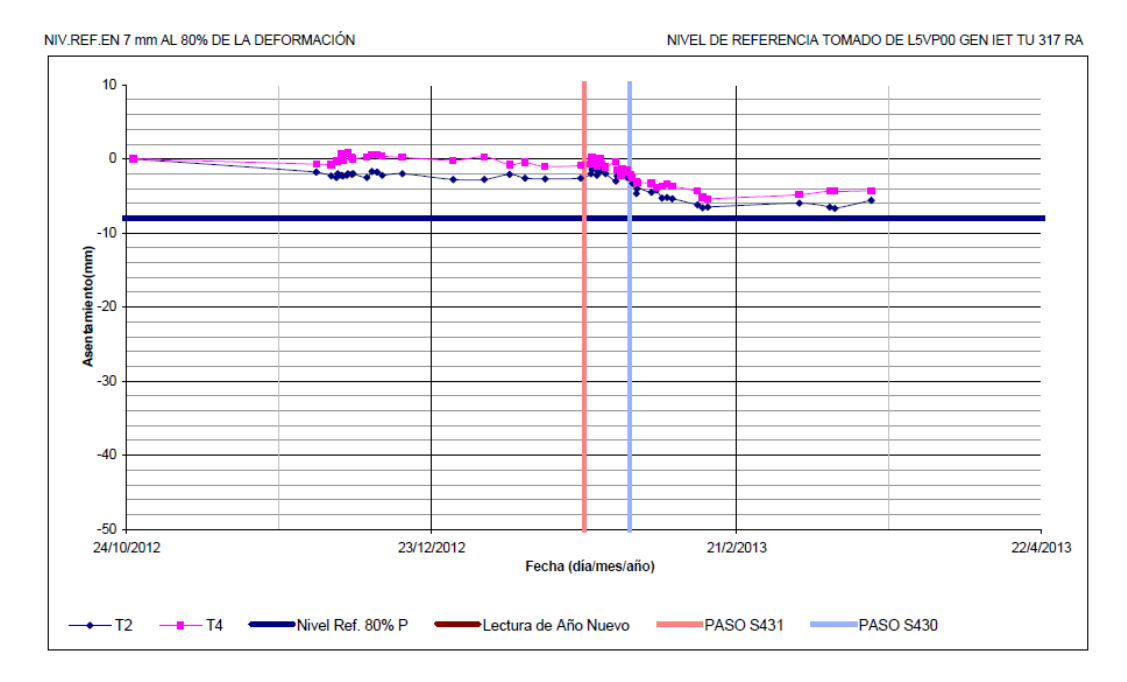
GRAFICA 4.1.1.t.: Asentamientos (mm) contra tiempo (días) en base a las lecturas de los puntos superficiales y tasómetros, tras el paso de la tuneladora S431 y S430.



Deformación Acumulada Deformación Acumulada Jornada Fecha Fecha Hora Hora Dato Dato 25-10-12 10:00 0,0 859,5947 25-10-12 10:00 0,0 859,1135 859,5940 859,1131 30-11-12 30-11-12 8:00 -0.78:00 -0.403-12-12 03-12-12 859,1135 -0.8 859,5939 8:00 0,0 8.00 0,2 04-12-12 -0,3 859,5944 04-12-12 859,1137 8:00 4 8:00 -0,3 0.7 859,5944 04-12-12 0,4 859,1139 04-12-12 14:00 14:00 859 5954 05-12-12 05-12-12 8:00 8:00 859 1142 -0,2 859.5945 05-12-12 859,1135 05-12-12 14:00 14:00 0,0 859,5954 06-12-12 8:00 06-12-12 8:00 0,4 859,1139 9 06-12-12 14:00 0,8 859 5955 9 06-12-12 14:00 0,6 859.1141 07-12-12 8:00 859 5949 859,1131 07-12-12 8:00 10 -0.407-12-12 11 07-12-12 14:00 0,0 859.5947 11 14:00 -0.3859,1132 12 10-12-12 8:00 0,3 859.5950 12 10-12-12 8:00 0,0 859.1135 13 11-12-12 8:00 0.5 859 5952 13 11-12-12 8:00 -0,3 859,1132 14 12-12-12 8:00 0,6 859.5953 14 12-12-12 8:00 0,1 859,1136 12-12-12 13-12-12 13-12-12 859,5951 8:00 859,1130 8:00 0,4 15 -0,5 17-12-12 859,5949 859,1125 27-12-12 8:00 -0,2 859,5945 27-12-12 8:00 859,1123 18 02-01-13 10:00 0,3 859,5950 18 02-01-13 10:00 859,1120 07-01-13 10:00 -0,8 859,5939 19 07-01-13 10:00 -2,1 859,1114 859.5942 859,1111 10-01-13 10:00 10-01-13 10:00 14-01-13 859,5937 14-01-13 10:00 859,1103 10:00 -1,0 21-01-13 10:00 -0.9 859,5938 21-01-13 10:00 859,1108 22 22 23-01-13 859,5940 23-01-13 10:00 -3,1 859,1104 10:00 23 23-01-13 24-01-13 24-01-13 23-01-13 859,5950 859,1100 24 14:00 0,3 24 14:00 -3,5 24-01-13 859,5945 859,1101 8:00 -02 25 8:00 -3.4 24-01-13 859.5948 859,1104 10:00 10:00 26 0,1 26 24-01-13 -1.0 859,5937 27 24-01-13 14:00 -4.5 859 1090 14:00 25-01-13 25-01-13 859,1087 25-01-13 25-01-13 859.5947 28 8:00 0,0 28 8:00 -4,8 -0.7 859 5940 14:00 14:00 859 1097 859,5936 26-01-13 26-01-13 8:00 859 1090 30 8.00 30 -11 -4.528-01-13 28-01-13 8:00 -5.5 31 8:00 859 5943 31 859,1080 -0.4859 5932 32 28-01-13 14:00 -1,5 32 28-01-13 14:00 -5,2 859.1083 33 29-01-13 8:00 -2.3 859.5924 33 29-01-13 8:00 -5.8 859,1077 29-01-13 34 29-01-13 -1,3 859,5934 34 859,1080 14:00 14:00 35 30-01-13 8:00 -1.8 859,5929 35 30-01-13 8:00 -5,9 859,1076 859,5932 859,1088 30-01-13 14:00 -1,5 30-01-13 14:00 -4,7 859,5925 859,1078 31-01-13 8:00 37 31-01-13 8:00 -7,5 31-01-13 859,5922 31-01-13 859,1060 14:00 38 14:00 01-02-13 859.5916 01-02-13 -9.0 859 1045 39 8:00 39 8:00 14:00 859,5915 01-02-13 -8,9 859,1046 01-02-13 40 14:00 859,5914 859,1039 04-02-13 04-02-13 41 8:00 -3,3 41 8:00 -9.6 859 5909 05-02-13 859 1036 05-02-13 8:00 -3,8 8:00 -99 859,5910 06-02-13 10:00 <u>-98</u> 859 1037 43 06-02-13 10:00 43 859 5913 07-02-13 10:00 -34 07-02-13 10:00 -10.7 859 1028 859,5910 859,1025 45 08-02-13 10:00 45 08-02-13 10:00 -11,0 13-02-13 10:00 -4.4 859 5903 13-02-13 10:00 -11.3 859 1022 859,5895 859,1026 47 14-02-13 10:00 47 14-02-13 10:00 -10,9 48 15-02-13 10:00 859,5893 48 15-02-13 10:00 -11,6 859,1019 05-03-13 10:00 11-03-13 10:00 49 05-03-13 10:00 -4,8 859 5899 49 -12,8 859,1007 11-03-13 10:00 859.5904 50 -15.3 859 0982 51 12-03-13 10:00 -4,4 859,5903 51 12-03-13 10:00 -15,4 859,0981 19-03-13 14:00 -4,3 859,5904 52 19-03-13 14:00 -15,1 859,0984

TABLA 4.1.1.u.: Lecturas de los tasómetros (T2 y T4) tras el paso de la tuneladora S431 y S430.



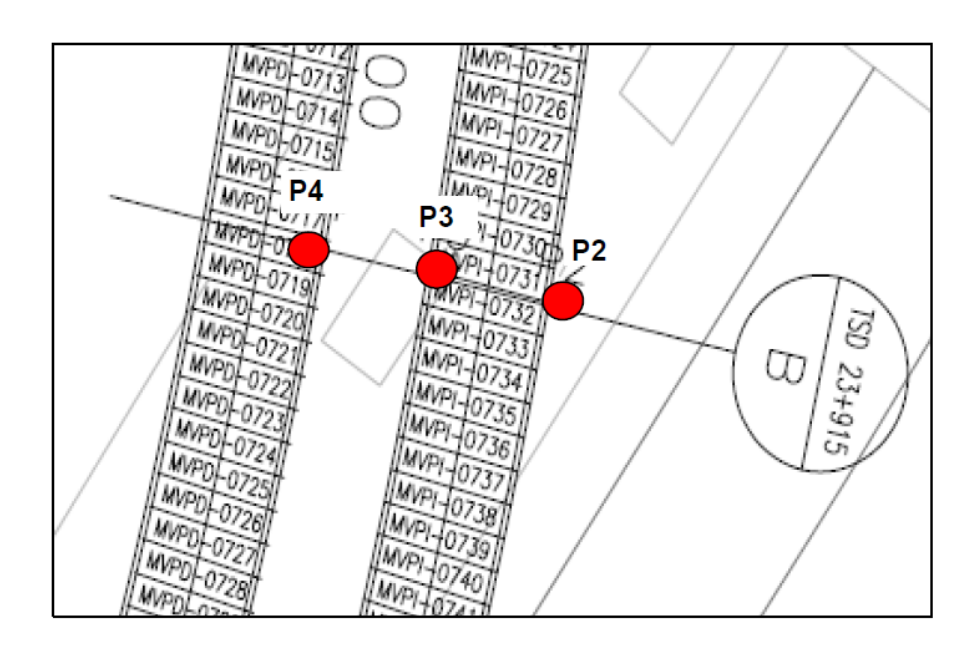


GRAFICA 4.1.1.u.: Asentamientos (mm) contra tiempo (días) en base a las lecturas de los puntos superficiales y tasómetros, tras el paso de la tuneladora S431 y S430.



SEC: 23+965

Puntos superficiales



		ACTIVIDAD EN OBRA
1	30/10/2012	Los valores iniciales de la instrumentacion
2	24/1/2013	PASO S431
3	1/2/2013	PASO S430

FIGURA 4.1.1.o.: Ubicación de la sección tipo "B" en la progresiva 23+965 del alineamiento Proyecto Línea 5.



P2					P3					P4				
Jornada	Fecha	Hora	Deformación Acumulada	Dato	Jornada	Fecha	Hora	Deformación Acumulada	Dato	Jornada	Fecha	Hora	Deformación Acumulada	Dato
1	30-10-12	8:00	0,0	859,5247	1	30-10-12	8:00	0,0	859,3775	1	30-10-12	8:00	0,0	859,5395
2	31-10-12	8:00	-0,2	859,5245	2	31-10-12	8:00	-0,2	859,3773	2	31-10-12	8:00	0,2	859,5397
3 4	02-11-12 09-11-12	8:00 8:00	-0,7 0,4	859,5240 859,5251	3 4	02-11-12 09-11-12	8:00 8:00	-0,7 0,7	859,3768 859,3782	3 4	02-11-12 09-11-12	8:00 8:00	-0,1 1,1	859,5394 859,5406
5	05-11-12	8:00	-0,9	859,5238	5	05-11-12	8:00	-0,1	859,3774	5	05-11-12	8:00	1,0	859,5405
6	05-12-12	14:00	-0,7	859,5240	6	05-12-12	14:00	-0,1	859,3771	6	05-12-12	14:00	1,4	859,5409
7	06-12-12	8:00	-1,3	859,5234	7	06-12-12	8:00	0,1	859,3776	7	06-12-12	8:00	1,4	859,5409
8	07-12-12	8:00	-1,5	859,5232	8	07-12-12	8:00	-0,2	859,3773	8	07-12-12	8:00	1,0	859,5405
9	07-12-12	14:00	-0,7	859,5240	9	07-12-12	14:00	0,7	859,3782	9	07-12-12	14:00	0,6	859,5401
10	10-12-12	8:00	-1,3	859,5234	10	10-12-12	8:00	-0,1	859,3774	10	10-12-12	8:00	1,3	859,5408
11	11-12-12 12-12-12	8:00 14:00	-1,3 -0,8	859,5234 859,5239	11 12	11-12-12 12-12-12	8:00 14:00	-0,2 0,2	859,3773 859,3777	11 12	11-12-12 12-12-12	8:00 14:00	1,2 1,2	859,5407 859,5407
13	13-12-12	14:00	-0,5	859,5242	13	13-12-12	14:00	0,2	859,3781	13	13-12-12	14:00	1,5	859,5410
14	17-12-12	14:00	-1,2	859,5235	14	17-12-12	14:00	-0,1	859,3774	14	17-12-12	14:00	1,4	859,5409
15	27-12-12	14:00	-1,4	859,5233	15	27-12-12	14:00	-0,6	859,3769	15	27-12-12	14:00	1,0	859,5405
16	02-01-13	10:00	-1,0	859,5237	16	02-01-13	10:00	-0,2	859,3773	16	02-01-13	10:00	1,4	859,5409
17	10-01-13	10:00	-2,4	859,5223	17	10-01-13	10:00	-1,1	859,3764	17	10-01-13	10:00	0,8	859,5403
18	10-01-13	14:00	-2,8	859,5219	18	10-01-13	14:00	-1,5	859,376	18	10-01-13	14:00	0,2	859,5397
19 20	14-01-13 21-01-13	10:00 10:00	-2,6 -1.7	859,5221	19 20	14-01-13	10:00 10:00	-1,7	859,3758 859,3763	19 20	14-01-13 21-01-13	10:00 10:00	-0,3 0.5	859,5392 859,5400
21	23-01-13	10:00	-1,7	859,5230 859,5238	21	21-01-13 23-01-13	10:00	-1,2 -1,5	859,3763	21	23-01-13	10:00	1,3	859,5400
22	23-01-13	14:00	-0,5	859,5242	22	23-01-13	14:00	0,5	859,378	22	23-01-13	14:00	2,9	859,5424
23	24-01-13	8:00	-0,8	859,5239	23	24-01-13	8:00	0,7	859,3782	23	24-01-13	8:00	2,9	859,5424
24	24-01-13	10:00	-1,2	859,5235	24	24-01-13	10:00	0,5	859,378	24	24-01-13	10:00	2,9	859,5424
25	24-01-13	14:00	-1,2	859,5235	25	24-01-13	14:00	0,2	859,3777	25	24-01-13	14:00	2,5	859,5420
26	25-01-13	8:00	-1,3	859,5234	26	25-01-13	8:00	0,0	859,3775	26	25-01-13	8:00	2,8	859,5423
27	25-01-13	10:00	-1,9	859,5228	27	25-01-13	10:00	-0,2	859,3773	27	25-01-13	10:00	2,3	859,5418
28 29	25-01-13 26-01-13	14:00 8:00	-2,2	859,5225 859,5218	28 29	25-01-13 26-01-13	14:00 8:00	-0,4 -0,6	859,3771 859,3769	28 29	25-01-13 26-01-13	14:00 8:00	2,2 2,0	859,5417 859,5415
30	28-01-13	8:00	-2,9 -3,1	859,5216	30	28-01-13	8:00	-1,4	859,3769	30	28-01-13	8:00	1,8	859,5413
31	28-01-13	14:00	-3,9	859,5208	31	28-01-13	14:00	-1,9	859,3756	31	28-01-13	14:00	0,8	859,5403
32	29-01-13	8:00	-4,6	859,5201	32	29-01-13	8:00	-2,5	859,375	32	29-01-13	8:00	0,2	859,5397
33	30-01-13	8:00	-4,4	859,5203	33	30-01-13	8:00	-2,3	859,3752	33	30-01-13	8:00	0,7	859,5402
34	30-01-13	14:00	-4,0	859,5207	34	30-01-13	14:00	-1,9	859,3756	34	30-01-13	14:00	0,8	859,5403
35	31-01-13	8:00	-4,7	859,5200	35	31-01-13	8:00	-2,5	859,375	35	31-01-13	8:00	0,3	859,5398
36	31-01-13	14:00	-4,4	859,5203	36	31-01-13	14:00	-2,1	859,3754	36	31-01-13	14:00	0,6	859,5401
37 38	01-02-13 01-02-13	8:00 14:00	-4,1 -4,8	859,5206 859,5199	37 38	01-02-13 01-02-13	8:00 14:00	-2,4 -3,1	859,3751 859,3744	37 38	01-02-13 01-02-13	8:00 14:00	0,6 -0,3	859,5401 859,5392
39	04-02-13	8:00	-6,9	859,5178	39	04-02-13	8:00	-5,7	859,3718	39	04-02-13	8:00	-2,8	859,5367
40	04-02-13	14:00	-7,3	859,5174	40	04-02-13	14:00	-6,4	859,3711	40	04-02-13	14:00	-3,7	859,5358
41	05-02-13	8:00	-7,1	859,5176	41	05-02-13	8:00	-5,9	859,3716	41	05-02-13	8:00	-3,1	859,5364
42	06-02-13	10:00	-7,2	859,5175	42	06-02-13	10:00	-6,0	859,3715	42	06-02-13	10:00	-3,1	859,5364
43	07-02-13	10:00	-6,9	859,5178	43	07-02-13	10:00	-5,6	859,3719	43	07-02-13	10:00	-3,0	859,5365
44	08-02-13	10:00	-7,4	859,5173	44	08-02-13	10:00	-5,8	859,3717	44	08-02-13	10:00	-3,5	859,5360
45 46	13-02-13 14-02-13	10:00 10:00	-8,2 -8,9	859,5165 859,5158	45 46	13-02-13 14-02-13	10:00 10:00	-6,5 -8,0	859,371 859,3695	45 46	13-02-13 14-02-13	10:00 10:00	-4,3 -5,0	859,5352 859,5345
47	15-02-13	10:00	-9,4	859,5158	47	15-02-13	10:00	-8,2	859,3693	47	15-02-13	10:00	-5,0	859,5343
48	04-03-13	8:00	-9,1	859,5156	48	04-03-13	8:00	-7,6	859,3699	48	04-03-13	8:00	-4,6	859,5349
49	04-03-13	14:00	-8,3	859,5164	49	04-03-13	14:00	-7,1	859,3704	49	04-03-13	14:00	-4,5	859,5350
50	05-03-13	8:00	-8,9	859,5158	50	05-03-13	8:00	-7,6	859,3699	50	05-03-13	8:00	-4,9	859,5346
51	05-03-13	14:00	-8,7	859,5160	51	05-03-13	14:00	-7,8	859,3697	51	05-03-13	14:00	-4,8	859,5347
52	06-03-13	8:00	-9,5	859,5152	52	06-03-13	8:00	-8,6	859,3689	52	06-03-13	8:00	-5,6	859,5339
53	07-03-13	8:00	-10,1	859,5146	53	07-03-13	8:00	-8,9	859,3686	53	07-03-13	8:00	-6,0	859,5335
54 55	11-03-13 12-03-13	8:00 8:00	-10,1	859,5146	54 55	11-03-13	8:00 8:00	-9,1	859,3684	54 55	11-03-13	8:00 8:00	-6,1	859,5334
56	12-03-13 19-03-13	14:00	-10,3 -9,6	859,5144 859,5151	56	12-03-13 19-03-13	14:00	-9,3 -8,8	859,3682 859,3687	56	12-03-13 19-03-13	14:00	-6,3 -5,9	859,5332 859,5336
36	18-03-13	14.00	-9,0	000,0101	_ 50	10-00-13	14.00	-0,0	000,0007	50	18-03-13	14.00	-5,8	000,0000

TABLA 4.1.1.v.: Lecturas de los puntos superficiales (P2, P3 y P4) tras el paso de la tuneladora S431 y S430.



NIVER EN 7 mm AL 80% DE LA DEFORMACIÓN

NIVEL DE REFERENCIA TOMADO DE L5VP00 GEN IET TU 317 RA

10

10

10

10

10

10

20

29/10/2012

28/12/2012

Fecha (dia/mes/año)

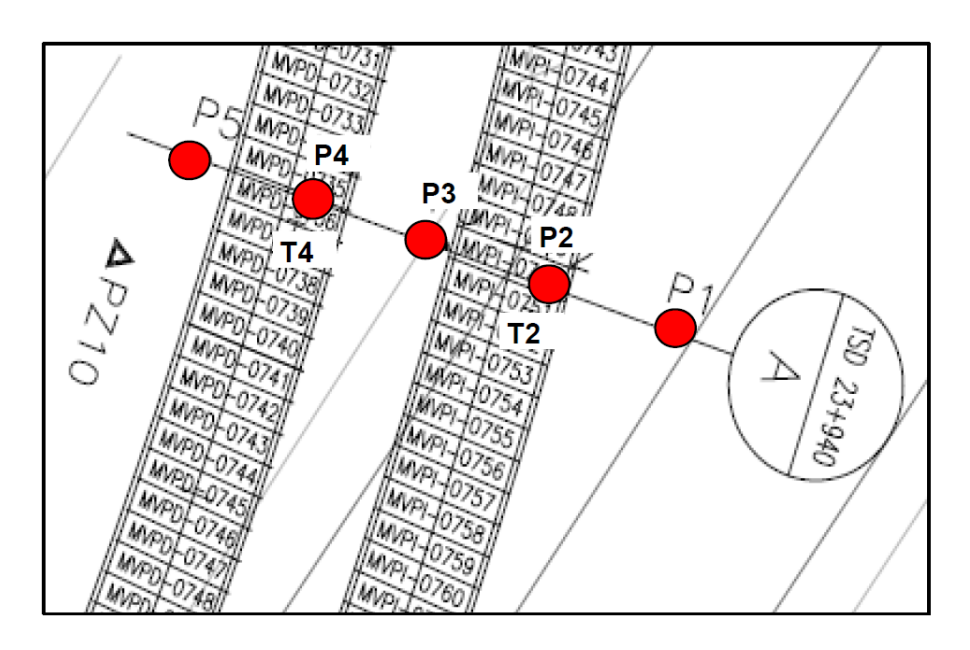
PASO S431

PASO S430

GRAFICA 4.1.1.v.: Asentamientos (mm) contra tiempo (días) en base a las lecturas de los puntos superficiales y tasómetros, tras el paso de la tuneladora S431 y S430.



SEC: 23+990 Puntos superficiales y tasómetros



		ACTIVIDAD EN OBRA
1	2/11/2012	Los valores iniciales de la instrumentacion
2	28/1/2013	PASO S431
3	6/3/2013	PASO S430

FIGURA 4.1.1.p.: Ubicación de la sección tipo "A" en la progresiva 23+990 del alineamiento Proyecto Línea 5.



Fecha Dato Hora Hora Dato Dato Dato 859.2002 8:00 05-12-12 10-01-13 1,0 859,1727 -0,1 859,1716 05-12-12 10-01-13 0,9 05-12-12 10-01-13 8:00 8:00 8:00 05-12-12 8:00 0,8 859.2108 8:00 859,2011 10-01-13 859,2096 859,2003 8:00 8:00 5 10-01-13 14:00 -0,7 859,1710 5 10-01-13 14:00 859,2090 5 10-01-13 14:00 -0,4 859,1998 5 10-01-13 14:00 -0,6 859,0410 6 14-01-13 8:00 -0,6 859,1711 6 14-01-13 8:00 7 21-01-13 8:00 -0,2 859,1715 7 21-01-13 8:00 8 23-01-13 8:00 0,5 859,1722 8 23-01-13 8:00 859,2095 **6** 14-01-13 8:00 -0.9 859,1993 **6** 14-01-13 8:00 -1.1 859,0405 859,2090 **7** 21-01-13 8:00 -0.5 859,0405 859,2090 **8** 23-01-13 8:00 -0.6 859,2008 **8** 23-01-13 8:00 -0.6 859,2008 **8** 23-01-13 8:00 -0.6 859,0415
 10
 24-01-13
 8:00
 2,1
 859,1738
 10
 24-01-13
 8:00

 11
 24-01-13
 14:00
 1,8
 859,1735
 11
 24-01-13
 14:00
 8:00 1,6 859,2018 **10** 24-01-13 8:00 1,3 859,2015 **11** 24-01-13 14:00 859,2112 **10** 24-01-13 859.2110 **11** 24-01-13 14:00 25-01-13 8:00 2,2 859,1739 **12** 25-01-13 8:00 25-01-13 10:00 2,1 859,1738 **13** 25-01-13 10:00 1,8 859,2020 1,9 859,2021 859,2115 **12** 13 13 2-501-13 10.00 2,0 859,1737 14 25-01-13 10.00 14.00 15 25-01-13 10.00 2,0 859,1737 14 25-01-13 16.00 15 25-01-13 16.00 2,0 859,1737 15 25-01-13 16.00 17 28-01-13 8.00 17 28-01-13 8.00 18 28-01-13 8.00 19 28-01-13 8.00 19 28-01-13 8.00 19 28-01-13 8.00 19 28-01-13 8.00 19 28-01-13 10.00 18 859,1725 18 28-01-13 9.00 19 28-01-13 10.00 19 859,1726 19 28-01-13 10.00 19 28
 859,2116
 14
 25-01-13
 14:00
 2,0
 859,2022
 14
 25-01-13
 14:00

 859,2116
 15
 25-01-13
 16:00
 2,0
 859,2022
 15
 25-01-13
 16:00
 2,2 859,0438 859,2112 **16** 26-01-13 8:00 1,8 859,2020 16 26-01-13 8:00 1,1 859,2013 17 28-01-13 8:00 0,9 859,2011 18 28-01-13 9:00 859 2104 17 28-01-13 1,7 859,0433 1,5 859,0431 8:00 859,2104 **18** 28-01-13 9:00 859,2103 **19** 28-01-13 10:00 0,9 859,2011 **19** 28-01-13 10:00 28-01-13 11:00 1,0 859,1727 **20** 28-01-13 11:00 859,2105 **20** 28-01-13 11:00 1,0 859,2012 **20** 28-01-13 11:00 0,7 859,2009 **21** 28-01-13 13:00 859,2104 **21** 28-01-13 13:00 0,7 859,2009 **21** 28-01-13 13:00 859,2103 **22** 28-01-13 14:00 0,9 859,2011 **22** 28-01-13 14:00 28-01-13 13:00 0,8 859,1725 **21** 28-01-13 13:00 28-01-13 14:00 0,7 859,1724 **22** 28-01-13 14:00 0,9 859,2011 **23** 28-01-13 15:00 1,0 859,2012 **24** 28-01-13 16:00 15:00 0,6 859,1723 23 28-01-13 15:00 859,2104 23 28-01-13 15:00 28-01-13 16:00 0,8 859,1725 **24** 28-01-13 16:00 859,2104 **24** 28-01-13 16:00 1,2 859,0428 25 29-01-13 8:00 0.9 859.1726 25 29-01-13 8:00 859.2101 **25** 29-01-13 8:00 0.3 859.2005 **25** 29-01-13 8:00 1.0 859.0426 0.00 0.9 0.55,1720 29 29-01-13 0.00 13:00 0.1 859,1718 26 30-01-13 13:00 13:00 -0.2 859,1715 27 30-01-13 13:00 15:00 -0.6 859,1711 28 30-01-13 15:00 14:00 -0.8 859,1709 29 31-01-13 14:00 14:00 -0.9 859,1708 30 31-01-13 14:00 14:00 -0.9 859,1708 30 31-01-13 14:00 14:00 -0.9 859,1708 30 31-01-13 14:00 0,3 859,1999 26 30-01-13 8:00 -0,4 859,1998 27 30-01-13 13:00 -0,6 859,1996 28 30-01-13 15:00 859 2087 13:00 859,2090 **28** 30-01-13 0,3 859,0419 -0,1 859,0415 30-01-13 15:00 859,2086 **29** 859,2086 **30** 29 31-01-13 14:00 31-01-13 -0,7 859,1995 31-01-13 14:00 859,2079 **31** 01-02-13 8:00 -1,3 859,1989 **31** 01-02-13 8:00 0,2 859,0418 31 01-02-13 8:00 -1.3 859.1704 31 01-02-13 8:00 32 01-02-13 14:00 -1,2 859,1705 32 01-02-13 14:00 859,2080 32 01-02-13 14:00 -1,4 859,1988 32 01-02-13 14:00 0,0 859,0416 -2,3 859,1694 **33** 04-02-13 8:00 -1,7 859,1700 **34** 04-02-13 14:00 04-02-13 8:00 04-02-13 14:00 859,2065 **33** 04-02-13 859,2067 **34** 04-02-13 8:00 14:00 -2,6 859,1976 **33** 04-02-13 8:00 -2,5 859,1977 **34** 04-02-13 14:00 06-02-13 10:00 -2,8 859,1689 36 06-02-13 10:00 859,2062 36 06-02-13 10:00 -2,9 859,1973 **36** 06-02-13 10:00 -1,6 859,0400 07-02-13 10:00 -2,9 859,1688 **37** 07-02-13 10:00 859,2060 37 07-02-13 10:00 -3,1 859,1971 **37** 07-02-13 10:00 -1,3 859,0403 859,2061 **38** 08-02-13 859,2055 **39** 13-02-13 08-02-13 10:00 -2,7 859,1690 **38** 08-02-13 10:00 13-02-13 10:00 -3,2 859,1685 **39** 13-02-13 10:00 10:00 -3,1 859,1971 **38** 08-02-13 10:00 10:00 -3,8 859,1964 **39** 13-02-13 10:00
 40
 14-02-13
 10:00
 -3,7
 859,1680
 40
 14-02-13
 10:00

 41
 15-02-13
 10:00
 -4,0
 859,1677
 41
 15-02-13
 10:00

 42
 04-03-13
 8:00
 -3,7
 859,1680
 42
 04-03-13
 8:00
 859,2050 **40** 14-02-13 859,2050 **41** 15-02-13 10:00 -4,7 859,1955 **40** -4,7 859,1955 **41** 14-02-13 10:00 10:00 15-02-13 10:00 859,2051 **42** 04-03-13 8:00 -4,1 859,1961 **42** 04-03-13 8:00 -2,2 859,0394 43 04-03-13 14:00 -3,6 859,1681 43 04-03-13 14:00 859,2052 **43** 04-03-13 14:00 -4,2 859,1960 **43** 04-03-13 14:00 05-03-13 8:00 -4,2 859,1675 **44** 05-03-13 8:00 05-03-13 14:00 -4,5 859,1672 **45** 05-03-13 14:00 859,2047 **44** 859,2040 **45** 05-03-13 8:00 -4.5 859,1957 **44** 05-03-13 8:00 05-03-13 14:00 -6.0 859,1942 **45** 05-03-13 14:00 859,2030 **46** 06-03-13 8:00 -6,4 859,1938 **46** 06-03-13 8:00 -6,1 859,0355
 859,2027
 47
 07-03-13
 8:00
 -8,0
 859,1922
 47
 07-03-13
 8:00
 -6,7
 859,0349

 859,2021
 48
 11-03-13
 8:00
 -6,9
 859,0347

 859,2020
 49
 12-03-13
 8:00
 -8,5
 859,91917
 49
 12-03-13
 8:00
 -7,2
 859,0347
 47 07-03-13 8:00 -5,5 859,1662 47 07-03-13 8:00 48 11-03-13 8:00 -5,9 859,1658 48 11-03-13 8:00 -5,8 859,1659 **49** 12-03-13 8:00 859,2020 49 12-03-13 8:00 -8,5 859,1917 49 12-03-13 8:00 859,2026 50 19-03-13 14:00 -8,3 859,1919 50 19-03-13 14:00 19-03-13 14:00 -5,3 859,1664 50 19-03-13 14:00

TABLA 4.1.1.w.: Lecturas de los puntos superficiales (P1,P2, P3 y P4) tras el paso de la tuneladora S431 y S430.



NIV.REF.EN 7 mm AL 80% DE LA DEFORMACIÓN

NIVEL DE REFERENCIA TOMADO DE L5VP00 GEN IET TU 317 RA

10

10

10

10

10

20

20

29/10/2012

28/12/2012

28/12/2012

28/12/2012

28/12/2013

27/14/2013

Fecha (dia/mes/año)

GRAFICA 4.1.1.w.: Asentamientos (mm) contra tiempo (días) en base a las lecturas de los puntos superficiales y tasómetros, tras el paso de la tuneladora S431 y S430.



T1 Deformación Acumulada Jornada Fecha Hora Dato 02-11-12 10:00 0,0 857,1230 2 08-11-12 0,2 857,1232 8:00 3 857,1236 05-12-12 8:00 0,6 4 10-01-13 8:00 -0,5857,1225 857,1222 5 10-01-13 14:00 -0,8 14-01-13 857,1218 6 8:00 -1,2 7 21-01-13 8:00 -0,6 857,1224 8 23-01-13 8:00 0,2 857,1232 23-01-13 857,1237 9 14:00 0,7 10 24-01-13 8:00 857,1242 1,2 11 24-01-13 14:00 1,0 857,1240 12 25-01-13 857,1245 8:00 857,1248 13 25-01-13 10:00 14 25-01-13 14:00 857,1248 15 25-01-13 16:00 857,1247 1,7 16 26-01-13 8:00 1,1 857,1241 17 28-01-13 8:00 0,7 857,1237 18 28-01-13 9:00 0,4 857,1234 19 28-01-13 10:00 0,6 857,1236 20 28-01-13 11:00 0,4 857,1234 857,1236 21 28-01-13 13:00 0,6 22 28-01-13 14:00 0,4 857,1234 23 28-01-13 15:00 0,7 857,1237 24 28-01-13 16:00 0,9 857,1239 857,1234 25 29-01-13 8:00 0,4 26 30-01-13 8:00 0,0 857,1230 27 30-01-13 13:00 857,1225 -0,5 28 30-01-13 15:00 -0,8 857,1222 29 31-01-13 8:00 -1,0 857,1220 857,1220 30 31-01-13 14:00 -1,0 857,1214 31 01-02-13 8:00 -1,6 32 01-02-13 14:00 -1,7857,1213 04-02-13 33 8:00 -2,5 857,1205 857,1202 34 04-02-13 14:00 2,8 35 05-02-13 8:00 -2,9 857,1201 36 06-02-13 10:00 -3,1 857,1199 37 07-02-13 10:00 -3,1 857,1199 857,1199 38 08-02-13 10:00 39 13-02-13 857,1192 10:00 -3,8 40 857,1191 14-02-13 10:00 -3,9 41 15-02-13 10:00 4,1 857,1189 857,1193 04-03-13 42 8:00 -3,7 43 04-03-13 14:00 -4,0 857,1190 44 05-03-13 857,1186 8:00 -4,4 45 05-03-13 14:00 -4,6 857,1184 46 06-03-13 8:00 -5,0 857,1180 47 07-03-13 8:00 -5,6 857,1174 48 11-03-13 8:00 -5,9 857,1171 49 12-03-13 8:00 -5,9 857,1171

TABLA 4.1.1.x.: Lecturas del tasómetro (T1) tras el paso de la tuneladora S431 y S430.

14:00

-5,5

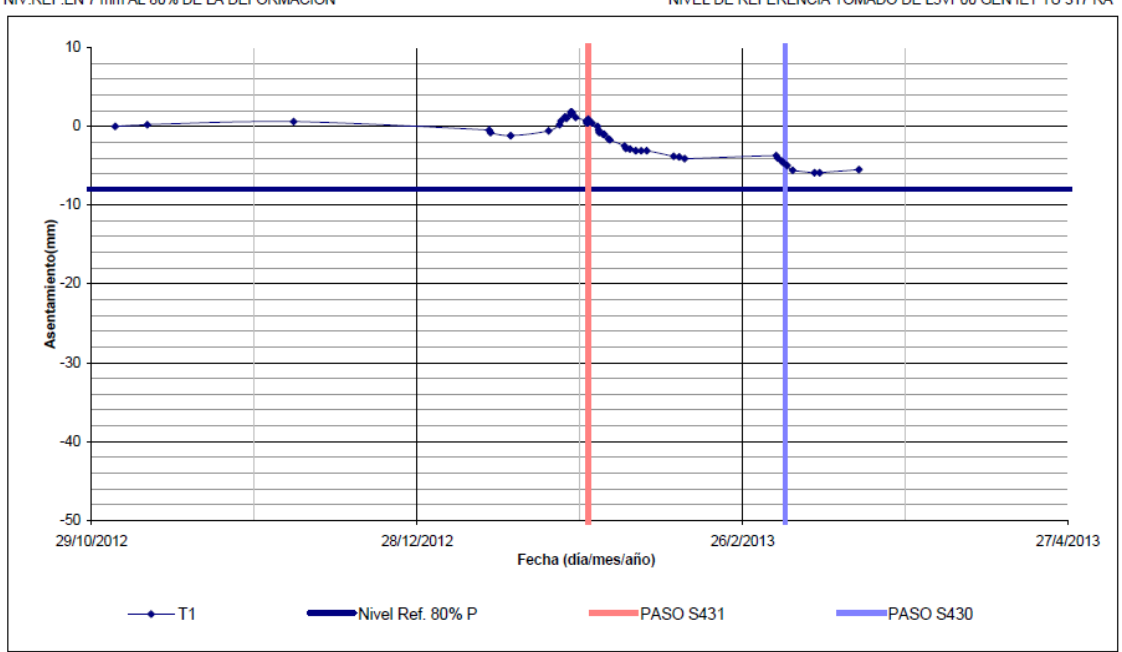
857,1175

50

19-03-13



NIV.REF.EN 7 mm AL 80% DE LA DEFORMACIÓN NIVEL DE REFERENCIA TOMADO DE L5VP00 GEN IET TU 317 RA



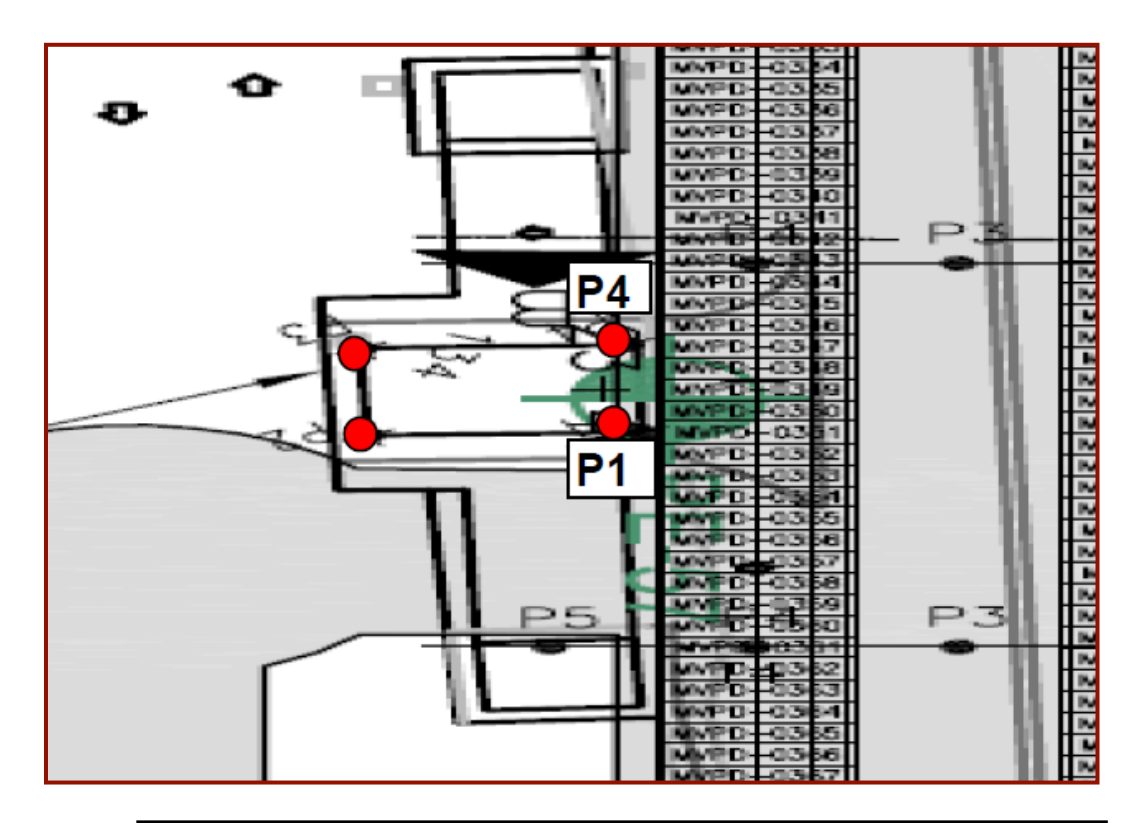
GRAFICA 4.1.1.x.: Asentamientos (mm) contra tiempo (días) en base a las lecturas de los puntos superficiales y tasómetros, tras el paso de la tuneladora S431 y S430.



4.1.2. Nivelación en edificaciones.

CASETA DE VIGILANGIA LA CARLOTA

Pernos de asentamiento



			ACTIVIDAD EN OBRA
ı	1	28/8/2012	Los valores iniciales de la instrumentacion
ı	2	14/11/2012	TOPA S430 REINICIO DE ACTIVIDAD

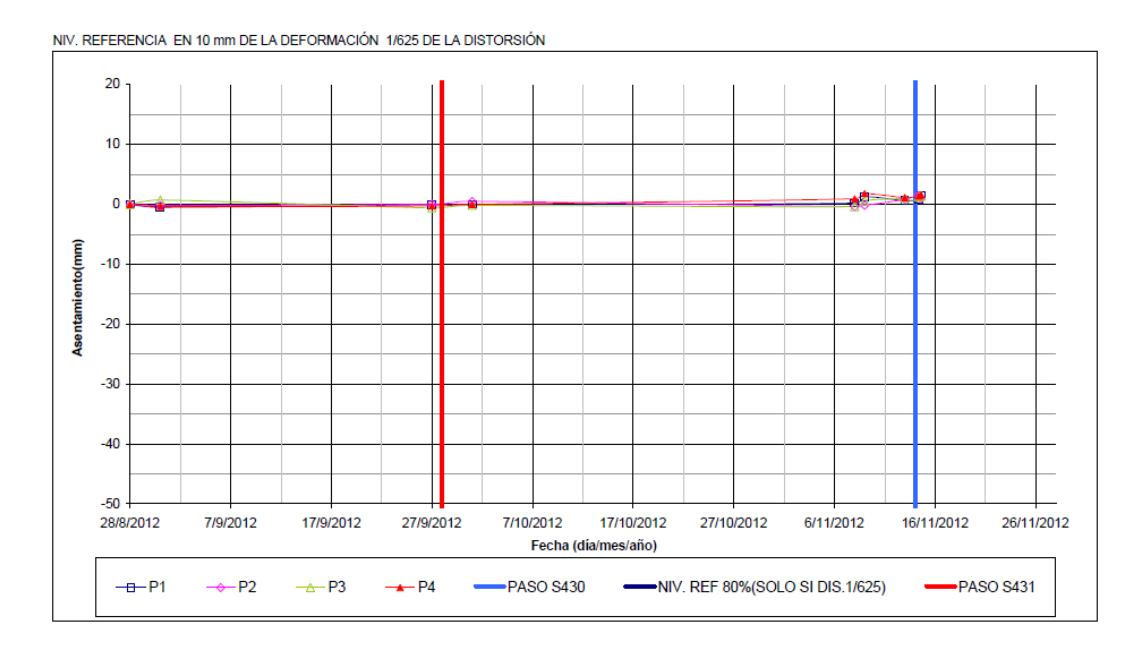
FIGURA 4.1.2.a.: Ubicación de los pernos de asentamiento de la caseta de vigilancia de la Base Aérea La Carlota. Proyecto Línea 5.

Seguimiento Instrumental Geotécnico para controlar riesgos en la construcción de túneles tipo escudo del tramo Foso UNEFA-Estación Bello Campo del Proyecto Línea 5 Metro de Caracas

P1				P2				P3				P4			
F. Ini.		Obs:													
F. Fin				F. Fin				F. Fin				F. Fin			
Jomada	Fecha	Deformación Acumulada	DATO												
1	28-08-12	0,0	850,9096	1	28-08-12	0,0	850,9305	1	28-08-12	0,0	850,4381	1	28-08-12	0,0	850,4059
2	31-08-12	-0,5	850,9091	2	31-08-12	-0,2	850,9303	2	31-08-12	0,7	850,4388	2	31-08-12	-0,4	850,4055
3	27-09-12	-0,1	850,9095	3	27-09-12	0,0	850,9305	3	27-09-12	-0,6	850,4375	3	27-09-12	-0,3	850,4056
4	01-10-12	0,0	850,9096	4	01-10-12	0,5	850,9310	4	01-10-12	-0,2	850,4379	4	01-10-12	0,0	850,4059
5	08-11-12	0,2	850,9098	5	08-11-12	-0,4	850,9301	5	08-11-12	-0,4	850,4377	5	08-11-12	0,9	850,4068
6	09-11-12	1,3	850,9109	6	09-11-12	-0,2	850,9303	6	09-11-12	0,6	850,4387	6	09-11-12	1,8	850,4077
7	13-11-12	0,6	850,9102	7	13-11-12	0,8	850,9313	7	13-11-12	1,0	850,4391	7	13-11-12	1,1	850,4070
8	14-11-12	0,8	850,9104	8	14-11-12	1,5	850,9320	8	14-11-12	1,3	850,4394	8	14-11-12	1,4	850,4073
9	14-11-12	1,5	850,9111	9	14-11-12	0,9	850,9314	9	14-11-12	1,4	850,4395	9	14-11-12	1,6	850,4075

TABLA 4.1.2.a.: Lecturas de los pernos de asentamiento (P1, P2, P3 y P4) tras el paso de la tuneladora S431 y S430.





GRAFICA 4.1.2.a.: Asentamientos (mm) contra tiempo (días) en base a las lecturas de los pernos de nivelación, tras el paso de la tuneladora S431 y S430.



CENTRO COMERCIAL SAMBIL

Edificación N°136

Pernos de asentamiento

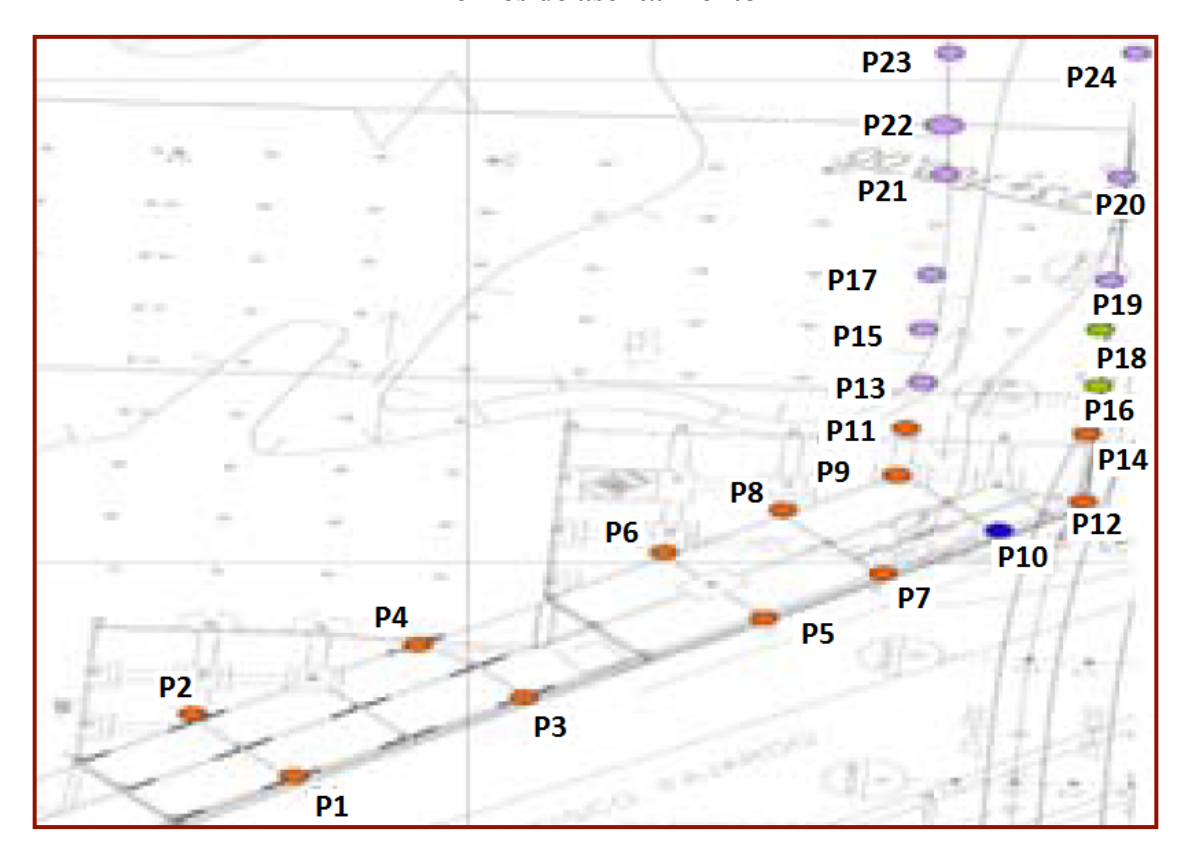
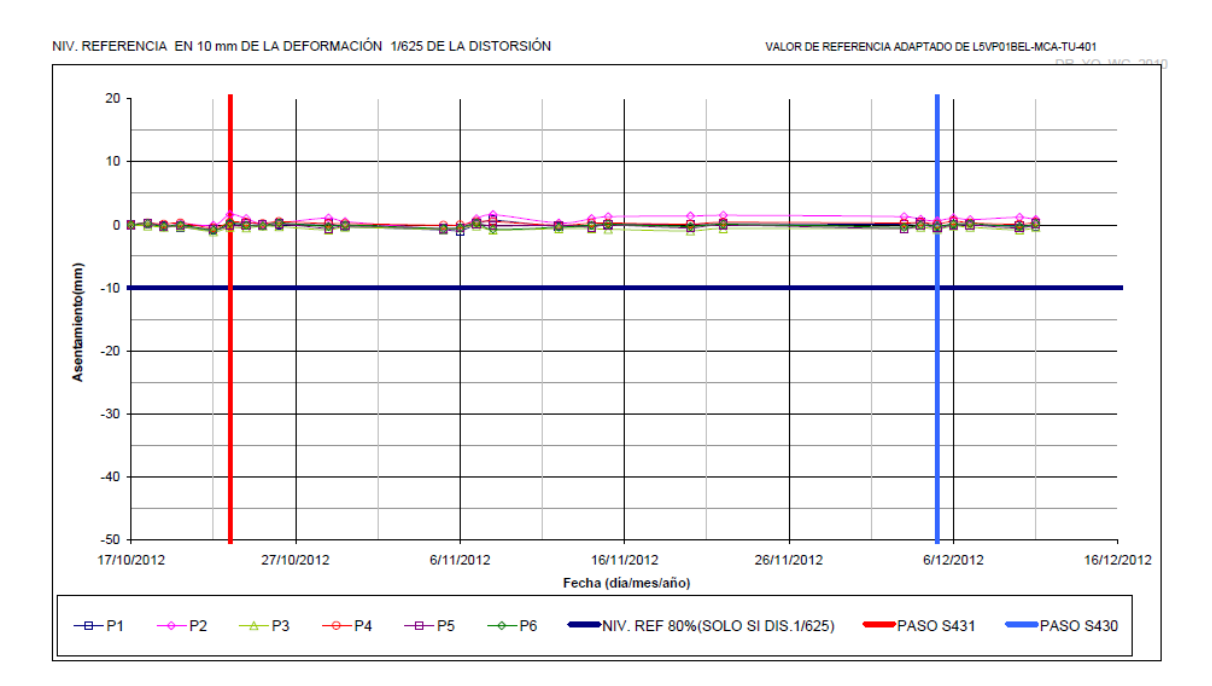


FIGURA 4.1.2.b.: Ubicación de los pernos de asentamiento en el Centro Comercial Sambil. Proyecto Línea 5.

Seguimiento Instrumental Geotécnico para controlar riesgos en la construcción de túneles tipo escudo del tramo Foso UNEFA-Estación Bello Campo del Proyecto Línea 5 Metro de Caracas

P1				P2				P3				P4				P5				P6			
F. Ini.		Obs:																					
F. Fin				F. Fin				F. Fin				F. Fin				F. Fin				F. Fin			
Jornada	Fecha	Deformación Acumulada	DATO																				
1	17-10-12	0,0	838,4483	1	17-10-12	0,0	838,4374	1	17-10-12	0,0	838,4624	1	17-10-12	0,0	838,5412	1	17-10-12	0,0	838,4550	1	17-10-12	0,0	838,4014
2	18-10-12	0,2	838,4485	2	18-10-12	0,2	838,4376	2	18-10-12	-0,2	838,4622	2	18-10-12	0,3	838,5415	2	18-10-12	0,3	838,4553	2	18-10-12	0,2	838,4016
3	19-10-12	-0,1	838,4482	3	19-10-12	-0,4	838,4370	3	19-10-12	-0,4	838,4620	3	19-10-12	0,1	838,5413	3	19-10-12	-0,3	838,4547	3	19-10-12	-0,3	838,4011
4	20-10-12	-0,4	838,4479	4	20-10-12	0,2	838,4376	4	20-10-12	-0,3	838,4621	4	20-10-12	0,3	838,5415	4	20-10-12	-0,2	838,4548	4	20-10-12	0,0	838,4014
5	22-10-12	-0,8	838,4475	5	22-10-12	-0,1	838,4373	5	22-10-12	-1,1	838,4613	5	22-10-12	-0,5	838,5407	5	22-10-12	-0,7	838,4543	5	22-10-12	-0,8	838,4006
6	23-10-12	0,0	838,4483	6	23-10-12	1,6	838,4390	6	23-10-12	-0,4	838,4620	6	23-10-12	0,4	838,5416	6	23-10-12	-0,2	838,4548	6	23-10-12	0,3	838,4017
7	24-10-12	0,3	838,4486	7	24-10-12	1,0	838,4384	7	24-10-12	-0,5	838,4619	7	24-10-12	0,4	838,5416	7	24-10-12	-0,2	838,4548	7	24-10-12	-0,1	838,4013
8	25-10-12	0,1	838,4484	8	25-10-12	0,1	838,4375	8	25-10-12	-0,2	838,4622	8	25-10-12	0,2	838,5414	8	25-10-12	0,0	838,4550	8	25-10-12	-0,2	838,4012
9	26-10-12	0,0	838,4483	9	26-10-12	0,3	838,4377	9	26-10-12	-0,3	838,4621	9	26-10-12	0,5	838,5417	9	26-10-12	0,2	838,4552	9	26-10-12	0,3	838,4017
10	29-10-12	0,2	838,4485	10	29-10-12	1,1	838,4385	10	29-10-12	-0,8	838,4616	10	29-10-12	0,2	838,5414	10	29-10-12	-0,6	838,4544	10	29-10-12	-0,3	838,4011
11	30-10-12	-0,3	838,4480	11	30-10-12	0,5	838,4379	11	30-10-12	-0,4	838,4620	11	30-10-12	0,2	838,5414	11	30-10-12	-0,2	838,4548	11	30-10-12	0,0	838,4014
12	05-11-12	-0,8	838,4475	12	05-11-12	-0,7	838,4367	12	05-11-12	-0,7	838,4617	12	05-11-12	-0,1	838,5411	12	05-11-12	-0,6	838,4544	12	05-11-12	-0,6	838,4008
13	06-11-12	-1,0	838,4473	13	06-11-12	-0,5	838,4369	13	06-11-12	-0,5	838,4619	13	06-11-12	0,0	838,5412	13	06-11-12	-0,5	838,4545	13	06-11-12	-0,5	838,4009
14	07-11-12	0,1	838,4484	14	07-11-12	1,0	838,4384	14	07-11-12	-0,2	838,4622	14	07-11-12	0,5	838,5417	14	07-11-12	0,2	838,4552	14	07-11-12	0,3	838,4017
15	08-11-12	0,7	838,4490	15	08-11-12	1,6	838,4390	15	08-11-12	-0,8	838,4616	15	08-11-12	0,5	838,5417	15	08-11-12	-0,2	838,4548	15	08-11-12	-0,7	838,4007
16	12-11-12	-0,3	838,4480	16	12-11-12	0,3	838,4377	16	12-11-12	-0,6	838,4618	16	12-11-12	-0,1	838,5411	16	12-11-12	-0,1	838,4549	16	12-11-12	-0,4	838,4010
17	14-11-12	-0,2	838,4481	17	14-11-12	1,0	838,4384	17	14-11-12	-0,6	838,4618	17	14-11-12	0,3	838,5415	17	14-11-12	-0,4	838,4546	17	14-11-12	-0,1	838,4013
18	15-11-12	0,1	838,4484	18	15-11-12	1,3	838,4387	18	15-11-12	-0,7	838,4617	18	15-11-12	0,3	838,5415	18	15-11-12	0,0	838,4550	18	15-11-12	0,1	838,4015
19	20-11-12	0,1	838,4484	19	20-11-12	1,4	838,4388	19	20-11-12	-1,0	838,4614	19	20-11-12	0,1	838,5413	19	20-11-12	-0,5	838,4545	19	20-11-12	-0,3	838,4011
20	22-11-12	0,2	838,4485	20	22-11-12	1,5	838,4389	20	22-11-12	-0,6	838,4618	20	22-11-12	0,4	838,5416	20	22-11-12	0,0	838,4550	20	22-11-12	0,1	838,4015
21	03-12-12	0,1	838,4484	21	03-12-12	1,3	838,4387	21	03-12-12	-0,6	838,4618	21	03-12-12	0,3	838,5415	21	03-12-12	-0,6	838,4544	21	03-12-12	-0,4	838,4010
22	04-12-12	0,4	838,4487	22	04-12-12	0,9	838,4383	22	04-12-12	-0,4	838,4620	22	04-12-12	0,4	838,5416	22	04-12-12	0,0	838,4550	22	04-12-12	0,0	838,4014
23	05-12-12	-0,3	838,4480	23	05-12-12	0,6	838,4380	23	05-12-12	-0,7	838,4617	23	05-12-12	0,1	838,5413	23	05-12-12	-0,5	838,4545	23	05-12-12	-0,2	838,4012
24	06-12-12	0,1	838,4484	24	06-12-12	1,1	838,4385	24	06-12-12	-0,2	838,4622	24	06-12-12	0,6	838,5418	24	06-12-12	0,0	838,4550	24	06-12-12	0,1	838,4015
25	07-12-12	-0,1	838,4482	25	07-12-12	0,8	838,4382	25	07-12-12	-0,4	838,4620	25	07-12-12	0,3	838,5415	25	07-12-12	0,0	838,4550	25	07-12-12	0,2	838,4016
26	10-12-12	-0,2	838,4481	26	10-12-12	1,2	838,4386	26	10-12-12	-0,8	838,4616	26	10-12-12	0,1	838,5413	26	10-12-12	-0,5	838,4545	26	10-12-12	-0,3	838,4011
27	11-12-12	-0,3	838,4480	27	11-12-12	0,8	838,4382	27	11-12-12	-0,4	838,4620	27	11-12-12	0,4	838,5416	27	11-12-12	0,2	838,4552	27	11-12-12	0,2	838,4016

TABLA 4.1.2.b.: Lecturas de los pernos de asentamiento (P1, P2, P3, P4, P5 y P6) tras el paso de la tuneladora S431 y S430.



GRAFICA 4.1.2.b.: Asentamientos (mm) contra tiempo (días) en base a las lecturas de los pernos de nivelación, tras el paso de la tuneladora S431 y S430.

22-11-12

03-12-12

05-12-12

06-12-12

07-12-12

838,4538

838 4540

838,4542

838,4546 24

838,4546 **25**

23

838,4547 26 10-12-12

-0.4

0.0

0,4

0,4

0,5

-1.3

-1.4

-2.0

-1,7

838,4666

838,4665

838,4659

20 22-11-12

23 05-12-12

838,4662 **24** 06-12-12

838,4662 **25** 07-12-12

-1.2

-2.4

-2,0

-2,0

838,4338

838,4331

838,4335

838,4335



0.4

-0.4

-0.5

-0,1

0,2 -0,5

21 03-12-12

22 04-12-12

23 05-12-12

24 06-12-12

25 07-12-12

838,4318 **26** 10-12-12

03-12-12

05-12-12

24 06-12-12

25 07-12-12

22 04-12-12 -0,4

-0.7

-0,5

-0,3

-0,1

838,4316

838,4318

838,4322

838,4320

838,4365

838,4357

838.4356

838,4360

838,4363

838,4356

20

23 05-12-12

03-12-12

22 04-12-12

24 06-12-12

25 07-12-12

26 10-12-12

P8 P9 P10 P11 P12 F. Ini. F. Ini. F. Ini. F. Ini. F. Ini. Obs: Obs: Jornada Fecha DATO DATO DATO DATO DATO 17-10-12 0.0 838,4323 17-10-12 0.0 838,4361 17-10-12 0,0 838,4560 17-10-12 0,0 838,4542 17-10-12 0.0 838,4679 17-10-12 0.0 838,4355 1 18-10-12 18-10-12 18-10-12 838,4563 838,4545 2 0,4 18-10-12 0.2 838,4325 0.3 838,4364 0.3 18-10-12 0.3 18-10-12 838,4683 838,4362 19-10-12 -0,2 838,4321 19-10-12 838,4357 19-10-12 -0,6 838,4554 19-10-12 838,4538 -0,4 838,4675 19-10-12 838,4351 4 20-10-12 -0,3 838,4320 4 20-10-12 -0,5 838,4356 20-10-12 -0,1 838,4559 20-10-12 0,2 838,4544 4 20-10-12 -0,5 838,4674 20-10-12 -0,7 838,4348 4 22-10-12 838,4312 22-10-12 838,4348 5 22-10-12 -0,8 838,4552 22-10-12 -0,6 838,4536 5 22-10-12 838,4667 22-10-12 -1,5 838,4340 6 23-10-12 0,0 838,4323 6 23-10-12 0,2 838,4363 23-10-12 0,2 838,4562 23-10-12 0,6 838,4548 6 23-10-12 -0,8 838,4671 23-10-12 -0,8 838,4347 24-10-12 0,0 24-10-12 -0,4 24-10-12 838,4547 838,4343 838,4323 838,4357 -0,1 838,4559 24-10-12 24-10-12 -1,4 838,4665 24-10-12 -1,2 8 25-10-12 8 25-10-12 25-10-12 -0.3 838.4320 -0.3 838,4358 -0.2 838,4558 25-10-12 0.2 838.4544 8 25-10-12 838,4666 8 25-10-12 -1.4 838,4341 8 -1.3 26-10-12 838,4563 838,4546 838,4345 0.0 838,4323 26-10-12 -0.8 838,4353 26-10-12 0.3 26-10-12 0.4 26-10-12 -0.9 838,4670 26-10-12 -1.0 29-10-12 -0,3 838,4320 10 29-10-12 29-10-12 29-10-12 838,4540 29-10-12 838,4665 29-10-12 838,4341 30-10-12 838,4324 30-10-12 838,4361 838,4562 30-10-12 838,4544 11 30-10-12 838,4668 30-10-12 -1.4 838,4341 0.1 11 05-11-12 05-11-12 12 -1,1 -2,1 838,4334 -1,1 838,4312 838,4350 838,4554 838,4543 12 838,4663 13 06-11-12 838,4318 13 06-11-12 06-11-12 838,4554 13 838,4661 838,4335 -0,5 838,4355 13 -0,6 13 06-11-12 -0.4 838,4538 06-11-12 13 06-11-12 -2.0 -0,6 -1,8 14 07-11-12 838,4322 14 07-11-12 -0,2 07-11-12 14 07-11-12 0,5 838,4668 14 07-11-12 -1,2 838,4343 -0,1 838,4359 0,1 838,4561 838,4547 14 07-11-12 08-11-12 838,4319 15 08-11-12 15 08-11-12 838,4552 15 08-11-12 838,4543 15 838,4660 08-11-12 838,4337 -0,4 838,4364 -0,8 0,1 08-11-12 15 -1,8 12-11-12 -0,7 838,4316 16 12-11-12 -0,5 838,4356 12-11-12 -0,6 838,4554 12-11-12 -0,2 838,4540 16 12-11-12 -1,7 838,4662 12-11-12 -1,9 838,4336 16 16 16 14-11-12 -0,3 838,4320 14-11-12 -0,2 838,4359 14-11-12 -0,2 838,4558 14-11-12 0,0 838,4542 14-11-12 -1.4 838,4665 14-11-12 -1,4 838,4341 15-11-12 15-11-12 838,4320 18 -0,3 838,4358 15-11-12 838,4558 15-11-12 838,4540 838,4661 18 838,4337 20-11-12 19 20-11-12 -0,4 19 19 19 -1,6 838,4339 838,4320 838,4362 19 20-11-12 838,4556 20-11-12 838,4541 20-11-12 838,4661 20-11-12 20 22-11-12 0.2 838,4325 20 22-11-12 22-11-12 0.2 838,4544 20 838,4343

0.1 838,4561

0.1

-0.2

0,2

838,4561

838,4558

838,4562 **24**

0,2 838,4562 **25** 07-12-12 0,2 838,4562 **26** 10-12-12

838,4362 **27** 11-12-12 0,1 838,4561 **27** 11-12-12 0,3 838,4545 **27** 11-12-12 TABLA 4.1.2.c.: Lecturas de los pernos de asentamiento (P7, P8, P9, P10, P11 y P12) tras el paso de la tuneladora S431 y S430.

23

20 22-11-12

22 04-12-12

03-12-12

05-12-12

06-12-12



NIV. REFERENCIA EN 10 mm DE LA DEFORMACIÓN 1/625 DE LA DISTORSIÓN VALOR DE REFERENCIA ADAPTADO DE L5VP01BEL-MCA-TU-401 -20 -50 27/10/2012 26/11/2012 6/12/2012 17/10/2012 6/11/2012 16/11/2012 16/12/2012 Fecha (día/mes/año) ---- P10 ---PASO S431 P12 -D-P7 <u>⊸</u> P9 —— P11 **--**−P12 NIV. REF 80% (SOLO SI DIS 1/625)

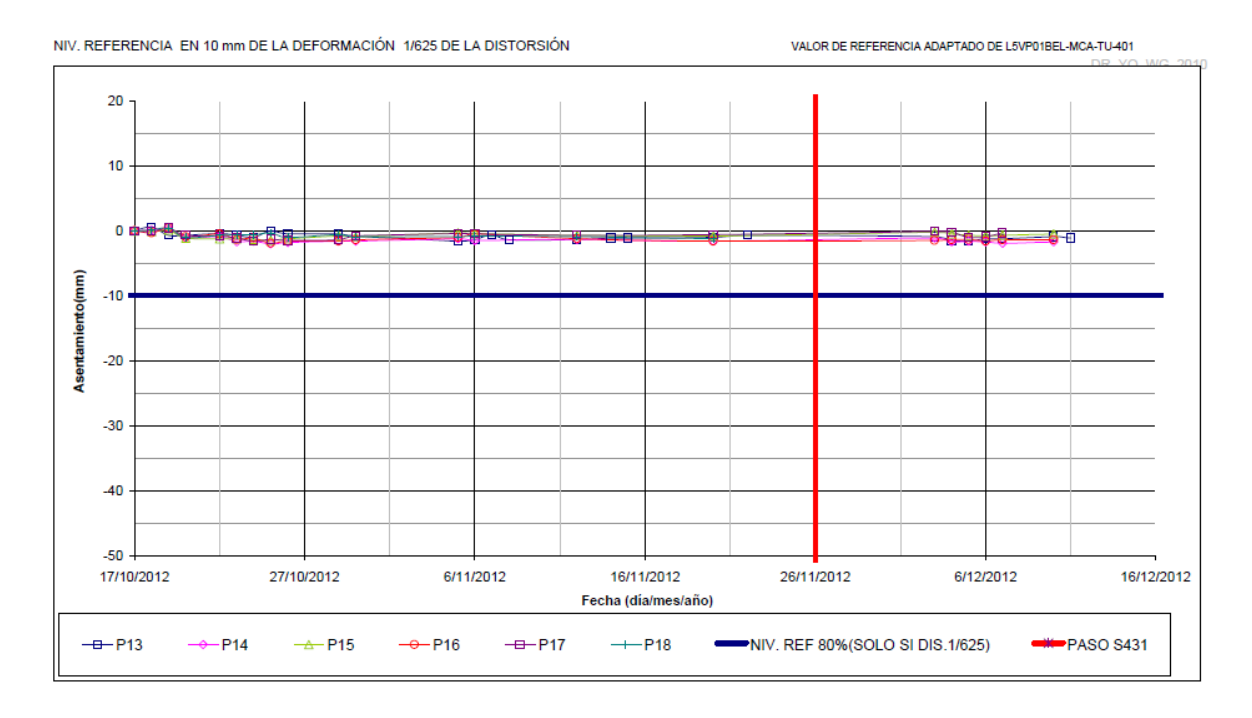
GRAFICA 4.1.2.c.: Asentamientos (mm) contra tiempo (días) en base a las lecturas de los pernos de nivelación, tras el paso de la tuneladora S431 y S430.



F. Ini. F. Ini. F. Ini. F. Ini. F. Ini. F. Fin F. Fin Jornada DATO DATO DATO DATO 0,0 0,0 0,0 17-10-12 0,0 841,4471 0,0 841,5111 1 17-10-12 0.0 839,3742 17-10-12 843.0402 17-10-12 841.4730 17-10-12 844,4914 17-10-12 18-10-12 839,3748 18-10-12 0,1 843,0403 18-10-12 -0,1 841,4729 18-10-12 -0,3 844,4911 18-10-12 -0,1 841,4470 18-10-12 0,1 841,5112 0.6 19-10-12 -0,7 839,3735 19-10-12 0,3 843,0405 19-10-12 0,1 841,4731 19-10-12 0,4 844,4918 19-10-12 0,4 841,4475 19-10-12 0,4 4 20-10-12 -0,7 843,0391 20-10-12 20-10-12 841,4719 20-10-12 -0,9 844,4905 20-10-12 -0,7 841,4464 20-10-12 -1,0 841,5101 22-10-12 -0,4 839,3738 5 22-10-12 -0,9 843,0393 5 22-10-12 841,4718 22-10-12 -0,5 844,4909 22-10-12 -0,8 841,4463 5 22-10-12 -0,7 841,5104 -1,2 6 23-10-12 -0.7 839.3735 23-10-12 843,0385 6 23-10-12 841,4718 23-10-12 844,4901 23-10-12 841,4460 23-10-12 -0.6 841.5105 24-10-12 -1.0 839.3732 24-10-12 843,0386 24-10-12 -1,3 841,4717 24-10-12 844,4903 24-10-12 841,4455 24-10-12 -0.6 841.5105 -1.1 -1.6 25-10-12 26-10-12 25-10-12 26-10-12 25-10-12 26-10-12 25-10-12 26-10-12 843.0382 841.4458 841.4715 844.4895 839,3737 26-10-12 843.0384 841.4718 844.4898 841.4456 841.5101 10 29-10-12 -0,5 839,3737 29-10-12 843.0386 10 29-10-12 841.4722 29-10-1 10 29-10-12 841,4457 10 29-10-12 841,5105 844.4898 11 30-10-12 12 05-11-12 11 -0.8 839 3734 11 30-10-12 843 0386 30-10-12 -0.9 841 4721 30-10-1 844 4900 11 30-10-12 -0.8 841 4463 11 30-10-12 -0.9 841 5102 -16 -1.4 05-11-12 -0.3 05-11-12 -0.4 -0.9 -1.6 839,3726 12 -1.2 843,0390 12 05-11-12 841,4727 12 05-11-12 -1.0 844,4904 12 841,4467 12 05-11-12 841,5102 13 06-11-12 14 07-11-12 839,3728 839,3736 06-11-12 12-11-12 13 06-11-12 12-11-12 843.0387 13 06-11-12 841.4726 06-11-1 12-11-1 844.4909 13 841,4466 13 06-11-12 12-11-12 841.5103 13 12-11-12 -0,6 14 14 841,5102 843.0389 14 841.4723 844.4902 14 841.4464 839,3728 15 841,4722 15 15 15 08-11-12 -1,4 15 20-11-12 843.0386 20-11-12 -0,8 15 20-11-12 844.4898 20-11-12 -0,6 841.4465 20-11-12 841.5099 12-11-12 14-11-12 16 17 -0,2 -0.5 -0,1 -0.2 OBST. -1.3 839,3729 16 03-12-12 843 0391 03-12-12 841 4728 16 03-12-12 844 4899 16 03-12-12 841 4470 16 -1.1 839,3731 04-12-12 04-12-12 04-12-12 17 04-12-12 841,4469 843,0385 841,4725 17 -1.4 844,4900 15-11-12 839,3731 843.0386 05-12-12 06-12-12 18 18 841.4723 844.4901 05-12-12 06-12-12 841.4461 18 19 18 19 20-11-12 19 06-12-12 19 -0,8 06-12-12 -0,9 -1.0 839.3732 843.0385 841,4722 19 844.4898 19 841.4462 20 22-11-12 -0,7 839,3735 20 07-12-12 -1.9 843,0383 20 07-12-12 -0,7 841,4723 20 07-12-12 -1.4 844,4900 20 07-12-12 -0.3 841,4468 20 21 03-12-12 22 04-12-12 -0,9 -1.5 839,3733 21 22 10-12-12 -1.7 843 0385 21 10-12-12 -0.5 841 4725 21 10-12-12 -1.4 844 4900 21 Obst. 839,3727 SIN MEDIR 22 SIN MEDIR SIN MEDIR 22 22 22 05-12-12 06-12-12 839,3726 839,3730 23 23 24 23 24 23 24 25 07-12-12 -1,2 839.3730 **25** 25 25 25 25 26 10-12-12 27 11-12-12 26 27 26 27 26 27 26 27 -0,9 839 3733 839,3731

TABLA 4.1.2.d.: Lecturas de los pernos de asentamiento (P13, P14, P15, P16, P17 y P18) tras el paso de la tuneladora S431 y S430.





GRAFICA 4.1.2.d.: Asentamientos (mm) contra tiempo (días) en base a las lecturas de los pernos de nivelación, tras el paso de la tuneladora S431 y S430.

del Proyecto Línea 5 Metro de Caracas



P19				P20				P21				P22				P23				P24			
F. Ini.		Obs:		F. Ini.		Obs:		F. Ini.		Obs:		F. Ini.		Obs:		F. Ini.		Obs:		F. Ini.		Obs:	
F. Fin				F. Fin				F. Fin				F. Fin				F. Fin				F. Fin			
Jornada	Fecha	Deformación Acumulada	DATO	Jornada	Fecha	Deformación Acumulada	DATO	Jornada	Fecha	Deformación Acumulada	DATO	Jornada	Fecha	Deformación Acumulada	DATO	Jornada	Fecha	Deformación Acumulada	DATO	Jornada	Fecha	Deformación Acumulada	DATO
1	17-10-12	0,0	841,4826	1	17-10-12	0,0	841,4885	1	17-10-12	0,0	841,5010	1	17-10-12	0,0	841,4623	1	17-10-12	0,0	841,4845	1	17-10-12	0,0	841,4885
2	18-10-12	-0,3	841,4823	2	18-10-12	-0,1	841,4798	2	18-10-12	-0,2	841,5008	2	18-10-12	0,2	841,4625	2	18-10-12	0,2	841,4847	2	18-10-12	0,2	841,4887
3	19-10-12	-0,1	841,4825	3	19-10-12	-0,2	841,4797	3	19-10-12	-0,3	841,5007	3	19-10-12	-0,3	841,4620	3	19-10-12	-0,2	841,4843	3	19-10-12	-0,4	841,4881
4	20-10-12	-1,1	841,4815	4	20-10-12	-1,1	841,4788	4	20-10-12	-1,1	841,4999	4	20-10-12	-0,7	841,4616	4	20-10-12	-0,5	841,4840	4	20-10-12	-0,5	841,4880
5	22-10-12	-0,8	841,4818	5	22-10-12	-1,3	841,4786	5	22-10-12	-1,3	841,4997	5	22-10-12	-0,6	841,4617	5	22-10-12	-0,3	841,4842	5	22-10-12	-0,5	841,4880
6	23-10-12	-0,9	841,4817	6	23-10-12	-1,1	841,4788	6	23-10-12	-1,0	841,5000	6	23-10-12	-0,6	841,4617	6	23-10-12	-0,3	841,4842	6	23-10-12	-0,5	841,4880
7	24-10-12	-0,5	841,4821	7	24-10-12	-0,6	841,4793	7	24-10-12	-0,7	841,5003	7	24-10-12	-0,2	841,4621	7	24-10-12	-0,1	841,4844	7	24-10-12	-0,5	841,4880
8	25-10-12	-0,1	841,4825	8	25-10-12	-0,5	841,4794	8	25-10-12	-0,2	841,5008	8	25-10-12	0,0	841,4623	8	25-10-12	0,1	841,4846	8	25-10-12	-1,7	841,4868
9	26-10-12	-1,0	841,4816	9	26-10-12	-1,3	841,4786	9	26-10-12	-1,1	841,4999	9	26-10-12	-0,6	841,4617	9	26-10-12	-0,3	841,4842	9	26-10-12	-0,3	841,4882
10	29-10-12	-0,8	841,4818	10	29-10-12	-0,5	841,4794	10	29-10-12	0,0	841,5010	10	29-10-12	-0,4	841,4619	10	29-10-12	-0,4	841,4841	10	29-10-12	-0,4	841,4881
11	30-10-12	-0,8	841,4818	11	30-10-12	-1,1	841,4788	11	30-10-12	-0,8	841,5002	11	30-10-12	-0,3	841,4620	11	30-10-12	-0,1	841,4844	11	30-10-12	-0,1	841,4884
12	05-11-12	-0,4	841,4822	12	05-11-12	-1,3	841,4786	12	05-11-12	-1,1	841,4999	12	05-11-12	-0,3	841,4620	12	05-11-12	-0,2	841,4843	12	05-11-12	-0,3	841,4882
13	06-11-12	-0,6 -0.9	841,4820 841.4817	13	06-11-12	-1,0	841,4789 841.4785	13	06-11-12	-0,9 -0.2	841,5001 841,5008	13	06-11-12	-0,3	841,4620	13	06-11-12	-0,2	841,4843	13	06-11-12	-0,2	841,4883
14	12-11-12 20-11-12	-0,9	841,4819	15	12-11-12 20-11-12	-1,4 -1.3	841,4786	14	12-11-12 20-11-12	-0,2	841,5006	14 15	12-11-12 20-11-12	-0,3 -0.5	841,4620 841.4618	14 15	12-11-12 20-11-12	-0,1 0.3	841,4844 841.4848	14 15	12-11-12 20-11-12	-0,1 -0.1	841,4884 841.4884
16	03-12-12	-0,7	841,4820	16	03-12-12	-0.9	841.4790	16	03-12-12	-0,4	841,5005	16	03-12-12	-0,5	841.4619	16	03-12-12	-0.2	841.4843	16	03-12-12	-0,1	841.4881
17	03-12-12	-0,6	841,4821	17	03-12-12	-0,9	841,4794	17	03-12-12	-0,3	841,5005	17	03-12-12	-0,4	841,4621	17	03-12-12	0,1	841,4846	17	03-12-12	-0,4	841,4884
18	05-12-12	-0,3	841,4815	18	05-12-12	-0,5	841,4794	18	05-12-12	-0,3	841,5007	18	05-12-12	-0,2	841,4617	18	05-12-12	-0.2	841.4843	18	05-12-12	-0,1	841.4881
19	06-12-12	-1,1	841,4816	19	06-12-12	-1,1	841,4788	19	06-12-12	-0,9	841,5001	19	06-12-12	-0,6	841.4620	19	06-12-12	-0,2	841,4844	19	06-12-12	0.0	841,4885
20	07-12-12	-0.5	841,4821	20	07-12-12	-0.6	841,4793	20	07-12-12	-0,0	841,5003	20	07-12-12	-0,3	841.4619	20	07-12-12	-0,1	841.4844	20	07-12-12	0.0	841.4885
21	10-12-12	-0,3	841,4822	21	10-12-12	-0,6	841,4795	21	10-12-12	-0,7	841,5003	21	10-12-12	-0,4	841.4621	21	10-12-12	-0,1	841.4843	21	10-12-12	-0.2	841,4883
22	10-12-12	-0,4	SIN MEDIR		10-12-12	-0,4	SIN MEDIR	22	10-12-12	-0,1	SIN MEDIR	22	10-12-12	-0,2	SIN MEDIR	22	10-12-12	-0,2	SIN MEDIR	22	10-12-12	-0,2	SIN MEDIR
			OIL MEDIK	- 22			On MEDIK				OIL MEDIK				OUT WILDIN				OIL MEDIK				OIL MEDIK

TABLA 4.1.2.e.: Lecturas de los pernos de asentamiento (P19, P20, P21, P22, P23 y P24) tras el paso de la tuneladora S431 y S430.



NIV. REFERENCIA EN 10 mm DE LA DEFORMACIÓN 1/625 DE LA DISTORSIÓN VALOR DE REFERENCIA ADAPTADO DE L5VP01BEL-MCA-TU-401 10 -20 -30 -40 -50 6/12/2012 17/10/2012 27/10/2012 6/11/2012 16/11/2012 26/11/2012 16/12/2012 Fecha (día/mes/año) ——P19 → P20 —<u></u>—P21 -0−P22 —— P23 **--** P24 NIV. REF 80% (SOLO SI DIS 1/625) PASO S431

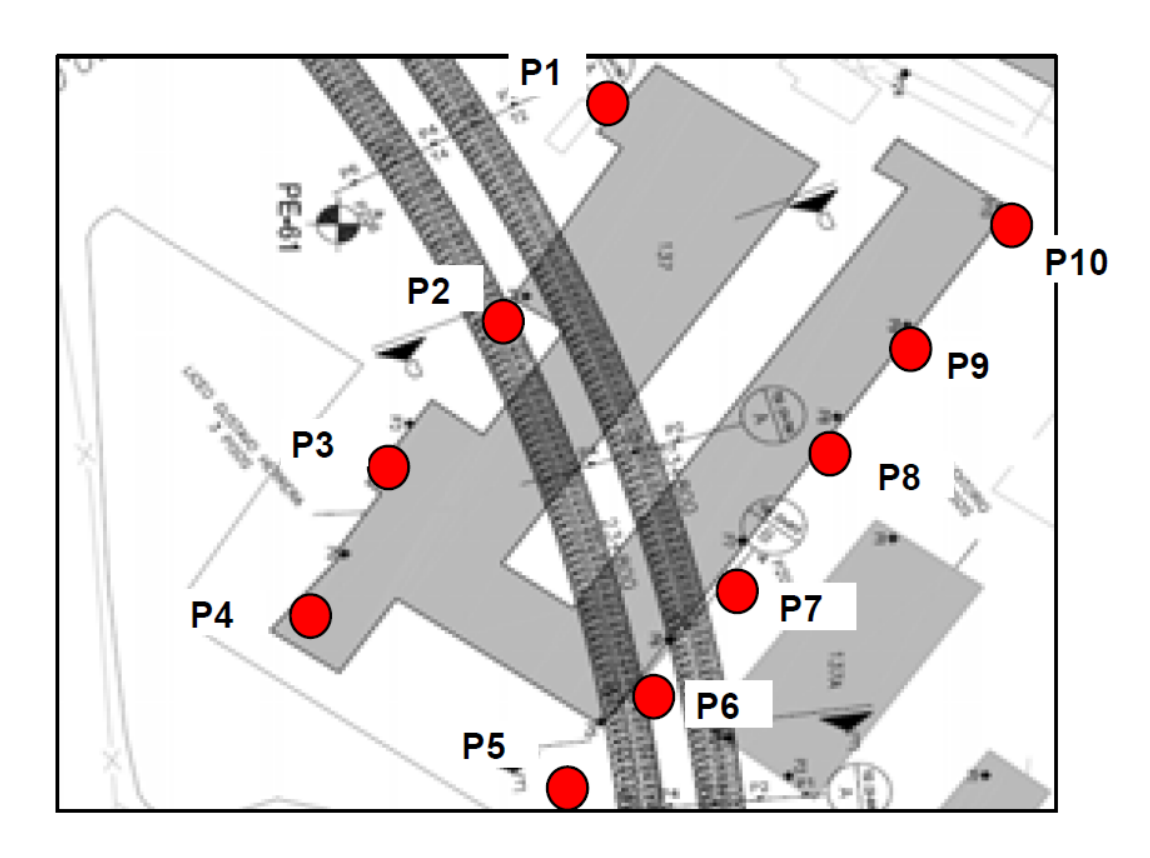
GRAFICA 4.1.2.e.: Asentamientos (mm) contra tiempo (días) en base a las lecturas de los pernos de nivelación, tras el paso de la tuneladora S431 y S430.



LICEO GUSTAVO HERRERA

Edificación Nº137

Pernos de asentamiento



	ACTIVIDAD EN OBRA										
1	22/10/2012	Los valores iniciales de la instrumentacion									
2	20/11/2012	PASO S431									
3	15/1/2013	PASO S430									

FIGURA 4.1.2.c.: Ubicación de los pernos de asentamiento en el Liceo Gustavo Herrera. Proyecto Línea



F. Inl. F. Inl. F. Inl. F. Inl. Jornada Jornada Jornada Fecha DATO Fecha DATO DATO DATO DATO 859,2007 1 22-10-12 0,0 859,3305 1 22-10-12 0,0 859,1033 1 22-10-12 859,2009 2 23-10-12 0,0 859,3305 2 23-10-12 0,0 859,1033 2 23-10-12 0,0 859,2009 3 24-10-12 0,3 859,3308 3 24-10-12 0,5 859,1038 3 24-10-12 859,2010 3 24-10-12 0,3 859,3308 3 24-10-12 0,5 859,1038 3 24-10-12 859,2009 4 26-10-12 0,3 859,3308 4 26-10-12 0,1 859,1034 4 26-10-12 0,0 -0,3 0,0 859,4014 22-10-12 0,0 0,0 859,4014 859,4136 3 24-10-12 4 26-10-12 3 24-10-12 0,1 859,4015 4 26-10-12 -0,5 859,4009 -0,4 859,4135 859.4016 5 30-10-12 859,4133 -0,3 859,401 7 01-11-12 -1,0 859,4004 8 02-11-12 -0,2 859,4012 9 05-11-12 0,2 859,4016 -0,7 859,2000 7 01-11-12 0,2 859,3307 7 01-11-12 0,3 859,1037 7 01-11-12 0,3 859,000 8 02-11-12 0,4 859,3301 8 02-11-12 0,3 859,1030 8 02-11-12 0,1 859,2006 9 05-11-12 0,4 859,3301 9 05-11-12 0,8 859,1025 9 05-11-12 7 01-11-12 8 02-11-12 10 06-11-12 -0,2 859,4012 859,2007 10 06-11-12 0,2 859,3307 10 06-11-12 10 06-11-12 11 07-11-12 -0,2 859,4011 12 07-11-12 -0,3 859,4011 13 08-11-12 -0,3 859,4011 14 09-11-12 0,1 859,4015 859,2008 14 07-11-12 0,0 859,3305 14 07-11-12 -0,3 859,1030 14 07-11-12 859,2010 12 07-11-12 0,3 859,3305 14 07-11-12 -0,5 859,1030 14 07-11-12 859,2010 12 07-11-12 0,4 859,3305 12 07-11-12 -0,5 859,1026 12 07-11-12 859,2002 14 09-11-12 -0,4 859,3301 14 09-11-12 -0,5 859,1026 13 08-11-12 859,2002 14 09-11-12 -0,4 859,3301 14 09-11-12 -0,6 859,1027 14 09-11-12 13 08-11-12 14 09-11-12 859 4146 859,2000 15 12-11-12 -1,3 859,3292 15 12-11-12 -0,8 859,1025 15 12-11-12 859,2007 16 13-11-12 -0,9 859,3292 15 12-11-12 -0,8 859,1030 16 13-11-12 859,2007 16 13-11-12 -0,9 859,3295 16 13-11-12 -0,3 859,1030 16 13-11-12 859,2006 17 14-11-12 0,8 859,3313 17 14-11-12 1,5 859,1048 17 14-11-12 859,2006 18 14-11-12 0,8 859,3313 17 14-11-12 1,2 859,1045 17 14-11-12 15 12-11-12 0,1 859,4015 16 13-11-12 -0,1 859,4013 17 14-11-12 -0,5 859,4009 17 14-11-12 0,6 859 4145 -0,9 859,4005 18 14-11-12 14-11-12 859,2008 18 15-11-12 0,7 859,3312 18 15-11-12 0,6 859,1039 18 15-11-12 859,2010 19 15-11-12 0,7 859,3312 19 15-11-12 1,4 859,1047 19 15-11-12 15-11-12 19 15-11-12 -0,3 859,4011 20 16-11-12 859,2001 20 16-11-12 0,5 859,3310 20 16-11-12 859,2005 21 17-11-12 0,4 859,3309 21 17-11-12 -0.7 859.4007 20 16-11-12 16-11-12 1,0 859,1043 20 16-11-12 859 4140 21 17-11-12 -0,6 859,4008 21 17-11-12 22 19-11-12 -0,8 859,4006 23 20-11-12 -0,4 859,4010 -0,6 859,2001 22 19.11.12 0,2 859,3307 22 19.11.12 -0,8 859,1999 23 20.11.12 0,5 859,3310 23 20.11.12 0,3 859,4142 0,0 859,4139 19-11-12 23 20-11-12 859,3312 24 20-11-12 859,3306 25 21-11-12 -0,5 859 4009 24 859 4147 25 21-11-12 -1.2 859.4002 26 21-11-12 -1,0 859,4004 27 22-11-12 -1,1 859,4003 26 21-11-12 27 22-11-12
 659,1982
 26
 21-11-12
 0,6
 859,3311
 26
 21-11-12

 859,1987
 27
 22-11-12
 0,0
 859,3305
 27
 22-11-12

 859,1980
 28
 22-11-12
 0,0
 859,3312
 28
 22-11-12

 859,1980
 28
 22-11-12
 0,7
 859,3312
 28
 22-11-12
 1,3 859,1046 26 21-11-12 1,0 859,1043 27 22-11-12 0,3 859,4142 -0,3 859,4136 859,4143 28 22-11-12 -0,5 859,4009 28 29 23-11-12 -0,3 859,4011 29 23-11-12 30 24-11-12 -0,8 859,4006 31 26-11-12 -0,7 859,4007 32 27-11-12 -0,5 859,4009 30 24-11-12 31 26-11-12 32 27-11-12 659,1977 30 24-11-12 -0,0 659,3022 30 24-11-12 0,6 659,1039 30 24-11-12 6,6 859,197 31 26-11-12 -0,8 859,3297 31 26-11-12 0,0 859,1039 31 26-11-12 6,0 859,1039 31 26-11-12 33 28-11-12 -0,3 859,4011 33 28-11-12 -2,8 859,4111 3,6 859,1971 36 29-11-12 -0,9 859,3296 36 29-11-12 0,1 859,1035 37 32-11-12 -0,4 859,1037 37 05-12-12 -0,6 859,3299 37 05-12-12 0,1 859,1036 38 10-12-12 -0,2 859,1975 38 06-12-12 -0,4 859,3301 38 06-12-12 0,3 859,1036 38 10-12-12 -0,0 859,1975 39 10-12-12 -0,2 859,3301 38 06-12-12 0,3 859,1036 38 10-12-12 -0,5 859,1977 39 10-12-12 -0,9 859,3303 39 10-12-12 0,6 859,1037 40 12-12-12 -3,5 859,1972 40 11-12-12 -0,9 859,3306 40 11-12-12 -0,2 859,1031 40 12-12-12 -3,4 859,1973 41 12-12-12 -0,5 859,3300 41 12-12-12 -0,5 859,1038 41 13-12-12 36 29-11-12 -0,5 859,4009 37 05-12-12 -0,2 859,4012 36 29-11-12 37 05-12-12 -3,2 859,4107 -2,7 859,4112 37 05-12-12 -0,2 859,4012
38 06-12-12 -0,6 859,4018
39 10-12-12 -0,3 859,4011
40 11-12-12 -0,9 859,4013
41 12-12-12 -0,1 859,4013
42 13-12-12 -0,1 859,4013
43 17-12-12 -0,1 859,4014
44 27-12-12 -0,1 859,4014
45 07-01-13 -0,2 859,4012
46 08-01-13 -0,2 859,4012
47 08-01-13 -0,2 859,4012
48 10-01-13 -0,3 859,4017
48 10-01-13 -0,3 859,4017 38 06-12-12 39 10-12-12 40 11-12-12 41 12-12-12 -3,3 859,4106 -3,2 859,4107 -2,9 859,4110 -2,6 859,4113 -3,4 689,1976 44 12-12-12 -0,5 699,3000 41 12-12-12 0,5 699,1003 41 13-12-12 0,5 699,1001 42 17-44 27-12-12 45 07-01-13 -2,6 859,4113 -2,6 859,4113 48 10-01-13 0,6 859,4020 49 11-01-13 0,4 859,4018 48 10-01-13 49 11-01-13 52 15-01-13 0,3 859,4017 53 16-01-13 0,8 859,4022 52 15-01-13 53 16-01-13 859,1950 52 15-01-13 -2,1 859,3284 52 15-01-13 859,1943 53 16-01-13 -1,8 859,3287 53 16-01-13 0,3 859,1036 52 16-01-13 1,0 859,1043 53 17-01-13 -2,0 859,4119 -3,0 859,4109 54 17-01-13 0,3 859,4017 55 17-01-13 -0,1 859,4013 54 17-01-13 55 17-01-13 56 18-01-13 0,3 859,4017 56 18-01-13 57 18-01-13 859,1916 56 18-01-13 859,1909 57 18-01-13 -3,2 859,3273 56 18-01-13 -3,7 859,3268 57 18-01-13 859 4099 57 18-01-13 -0,2 859,4012 -4.4 859.4095 -4,1 859,3264 58 19-01-13 -3,9 859,3266 59 21-01-13 59 21-01-13 0,0 859,4014 59 21-01-13 859,1909 59 21-01-13 -5,9 859,4080 -0,3 859,4011 0,3 859,4017 -3,5 859,3270 60 -3,4 859,3271 61 60 0,1 859,4017 0,1 859,4015 0,2 859,4016 0,1 859,4045 61 22-01-13 61 22-01-13 859.1912 61 22-01-13 859,1910 62 22-01-13 859,1915 63 23-01-13 859,1913 64 23-01-13 -3,5 859,3270 64 23-01-13 -3,5 859,3271 65 24-01-13 -3,5 859,3270 66 24-01-13 Sin Medir 67 859,4015 64 23-01-13 859,4016 65 24-01-13 859,4014 66 24-01-13 859,1913 64 23-01-13 859,1915 65 24-01-13 859,1036 65 24-01-13 -6,8 859,4071 859,1033 66 25-01-13 -7,2 859,4067 Sin Medir 67 25-01-13 -7,3 859,4064 68 28-01-13 -7,5 859,4064 Sin Medir Sin Medir 68 68 68 69 28-01-13 -7,2 859,4067

TABLA 4.1.2.f.: Lecturas de los pernos de asentamiento (P1, P2, P3, P4 y P5) tras el paso de la tuneladora S431 y S430.



NIV. REFERENCIA EN 10 mm DE LA DEFORMACIÓN 1/625 DE LA DISTORSIÓN VALOR DE REFERENCIA ADAPTADO DE L5VP01BEL-MCA-TU-401 10 -20 -40 22/10/2012 1/11/2012 11/11/2012 21/11/2012 1/12/2012 11/12/2012 21/12/2012 31/12/2012 10/1/2013 20/1/2013 30/1/2013 Fecha (día/mes/año) PASO S431 PASO S430 -NIV. REF 80%(SOLO SI DIS.1/625) —п Р5

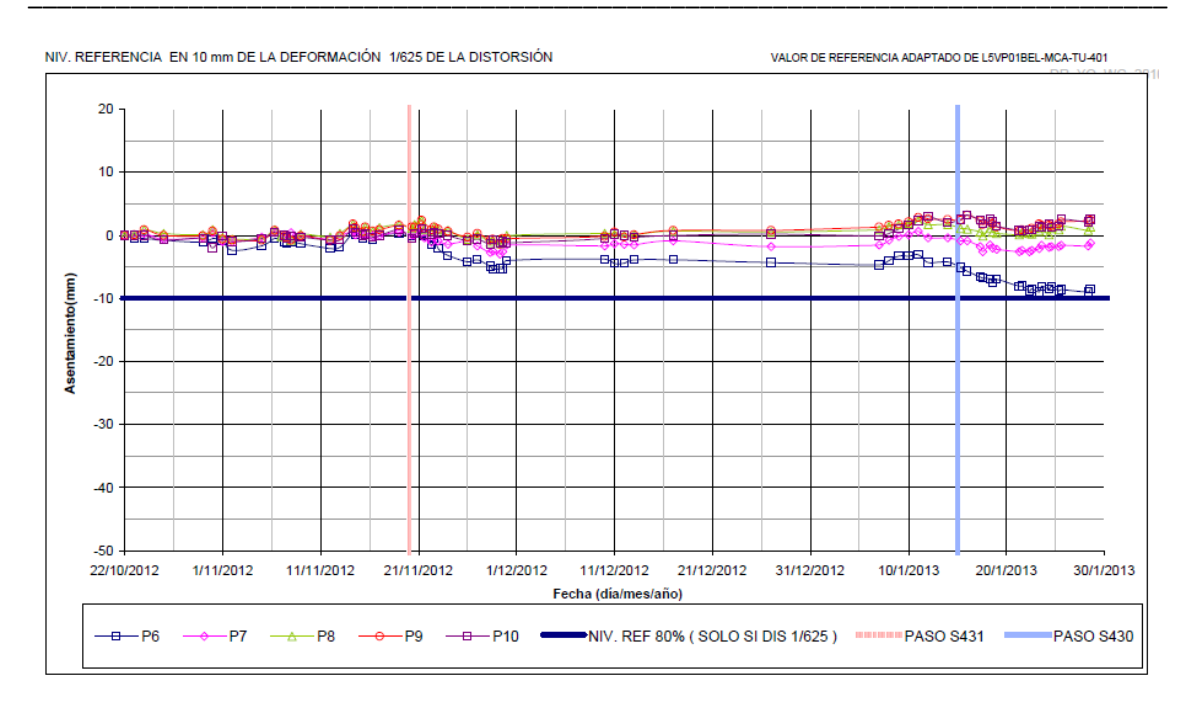
GRAFICA 4.1.2.f.: Asentamientos (mm) contra tiempo (días) en base a las lecturas de los pernos de nivelación, tras el paso de la tuneladora S431 y S430.



P6				P7	1		T	P8				P9				P10	ı		
F. Ini.		Obs:		F. Inl.		Obs:		F. Inl.		Obs:		F. Inl.		Obs:		F. Ini.		Obs:	
F. Fln				F. Fin															
Jornada	Fecha	Deformación Acumulada	DATO																
2	22-10-12 23-10-12	0,0 -0.4	859,3415 859,3411	2	22-10-12 23-10-12	0,0 -0,1	859,3459 859,3458	2	22-10-12 23-10-12	0,0	859,3047 859,3048	2	22-10-12 23-10-12	0,0	859,3107 859,3108	2	22-10-12 23-10-12	0,0	859,2980 859,2980
3	24-10-12	-0,4	859,3410	3	24-10-12	0,3	859,3462	3	24-10-12	0,1	859,3056	3	24-10-12	0,1	859,3116	3	24-10-12	0,0	859,2980
4	26-10-12	-0,8	859,3407	4	26-10-12	-0,6	859,3453	4	26-10-12	0,3	859,3050	4	26-10-12	0,0	859,3107	4	26-10-12	-0,8	859,2972
5	30-10-12	-1,1	859,3404	5	30-10-12	-0,4	859,3455	5	30-10-12	0,1	859,3048	5	30-10-12	-0,1	859,3106	5	30-10-12	-0,5	859,2975
6	31-10-12	-0,5	859,3410	6	31-10-12	0,4	859,3463	6	31-10-12	0,9	859,3056	6	31-10-12	0,7	859,3114	6	31-10-12	-2,0	859,2960
7 8	01-11-12	-0,9 -2,4	859,3406 859,3391	7 8	01-11-12 02-11-12	-1,0 -1,1	859,3449 859,3448	7 8	01-11-12	-0,4 -0,6	859,3043 859,3041	7 8	01-11-12 02-11-12	-0,6 -0,8	859,3101 859,3099	7 8	01-11-12	-0,1 -1,0	859,2979 859,2970
9	05-11-12	-1,7	859,3398	9	05-11-12	-0,3	859,3456	9	05-11-12	-0,0	859,3041	9	05-11-12	-0,8	859,3099	9	05-11-12	-0,5	859,2975
10	06-11-12	-0,5	859,3410	10	06-11-12	0,4	859,3463	10	06-11-12	0,9	859,3056	10	06-11-12	0,8	859,3115	10	06-11-12	0,5	859,2985
11	07-11-12	-1,0	859,3405	11	07-11-12	0,1	859,3460	11	07-11-12	-0,2	859,3045	11	07-11-12	-0,2	859,3105	11	07-11-12	0,0	859,2980
12	07-11-12	-1,2	859,3403	12	07-11-12	-0,5	859,3454	12	07-11-12	-0,2	859,3045	12	07-11-12	-0,4	859,3103	12	07-11-12	-0,4	859,2976
13	08-11-12 09-11-12	-1,0 -1,3	859,3405 859,3402	13	08-11-12 09-11-12	0,4	859,3463 859,3459	13 14	08-11-12 09-11-12	-0,8 0,2	859,3039 859,3049	13	08-11-12 09-11-12	-0,8 -0,1	859,3099 859,3106	13	08-11-12 09-11-12	-0,2 -0,3	859,2978 859,2977
15	12-11-12	-2,1	859,3394	15	12-11-12	-0,6	859,3453	15	12-11-12	-0,3	859,3044	15	12-11-12	-0,8	859,3099	15	12-11-12	-0,8	859,2972
16	13-11-12	-1,9	859,3396	16	13-11-12	-0,1	859,3458	16	13-11-12	0,3	859,3050	16	13-11-12	-0,1	859,3106	16	13-11-12	-0,8	859,2972
17	14-11-12	0,4	859,3419	17	14-11-12	0,6	859,3465	17	14-11-12	1,8	859,3065	17	14-11-12	1,8	859,3125	17	14-11-12	1,0	859,2990
18	14-11-12	0,2 -0,5	859,3417 859,3410	18	14-11-12	0,1	859,3460 859,3459	18 18	14-11-12 15-11-12	1,3	859,3060 859,3054	18	14-11-12 15-11-12	1,2 0,5	859,3119 859,3112	18	14-11-12 15-11-12	0,5	859,2985 859,2980
19	15-11-12 15-11-12	0.3	859,3418	19	15-11-12 15-11-12	0,0	859,3459	19	15-11-12	1,3	859,3060	19	15-11-12	1,3	859,3120	19	15-11-12	0,0	859,2982
20	16-11-12	-0,6	859,3409	20	16-11-12	-0,1	859,3458	20	16-11-12	0,6	859,3053	20	16-11-12	0,7	859,3114	20	16-11-12	-0,3	859,2977
21	17-11-12	-0,1	859,3414	21	17-11-12	0,0	859,3459	21	17-11-12	1,2	859,3059	21	17-11-12	0,9	859,3116	21	17-11-12	0,0	859,2980
22	19-11-12	0,3	859,3418	22	19-11-12	0,5	859,3464	22	19-11-12	1,7	859,3064	22	19-11-12	1,6	859,3123	22	19-11-12	0,9	859,2989
23	20-11-12	-0,1 0.5	859,3414 859,3420	23	20-11-12	0,1	859,3460 859,3460	23	20-11-12	1,1	859,3058	23	20-11-12	1,3	859,3120 859,3120	23	20-11-12	-0,5 0.3	859,2975 859,2983
25	21-11-12	0,3	859,3418	25	21-11-12	1,1	859,3470	25	21-11-12	2,4	859,3064 859,3071	25	21-11-12	1,3 2,4	859,3131	25	21-11-12	1,1	859,2991
26	21-11-12	-0,1	859,3414	26	21-11-12	-0,4	859,3455	26	21-11-12	0,9	859,3056	26	21-11-12	1,1	859,3118	26	21-11-12	0,2	859,2982
27	22-11-12	-1,5	859,3400	27	22-11-12	-1,1	859,3448	27	22-11-12	0,7	859,3054	27	22-11-12	0,9	859,3116	27	22-11-12	0,2	859,2982
28	22-11-12	-0,5	859,3410	28	22-11-12	-0,3	859,3456	28	22-11-12	1,3	859,3060	28	22-11-12	1,3	859,3120	28	22-11-12	0,5	859,2985
29 30	23-11-12 24-11-12	-2,1 -3,2	859,3394 859,3383	29 30	23-11-12 24-11-12	-0,9 -1,4	859,3450 859,3445	29 30	23-11-12 24-11-12	0,9	859,3056 859,3055	29 30	23-11-12 24-11-12	1,0 0,6	859,3117 859,3113	29 30	23-11-12 24-11-12	0,3	859,2983 859,2980
31	26-11-12	-4,2	859,3373	31	26-11-12	-0,9	859,3450	31	26-11-12	-0,6	859,3041	31	26-11-12	-0,3	859,3104	31	26-11-12	-0,9	859,2971
32	27-11-12	-3,9	859,3376	32	27-11-12	-1,7	859,3442	32	27-11-12	0,1	859,3048	32	27-11-12	0,3	859,3110	32	27-11-12	-0,6	859,2974
33	28-11-12	-4,9	859,3366	33	28-11-12	-2,7	859,3432	33	28-11-12	-1,1	859,3036	33	28-11-12	-0,8	859,3099	33	28-11-12	-1,4	859,2966
34 35	28-11-12 29-11-12	-5,4 -5,3	859,3361 859,3362	34 35	28-11-12 29-11-12	-2,5 -3,0	859,3434 859,3429	34 35	28-11-12 29-11-12	-0,7 -1,3	859,3040 859,3034	34 35	28-11-12 29-11-12	-0,6 -1,4	859,3101 859,3093	34 35	28-11-12 29-11-12	-0,8 -1,3	859,2972 859,2967
36	29-11-12	-5,3	859,3362	36	29-11-12	-2,6	859,3433	36	29-11-12	-0.7	859,3040	36	29-11-12	-0,5	859,3102	36	29-11-12	-1,0	859,2970
37	30-11-12	-4,0	859,3375	37	30-11-12	-1,5	859,3444	37	30-11-12	0,0	859,3047	37	30-11-12	-0,5	859,3102	37	30-11-12	-1,2	859,2968
38	10-12-12	-3,8	859,3377	38	10-12-12	-1,7	859,3442	38	10-12-12	0,3	859,3050	38	10-12-12	-0,2	859,3105	38	10-12-12	-0,5	859,2975
39 40	11-12-12	-4,5 -4,4	859,3370	39	11-12-12	-1,3	859,3446	39 40	11-12-12	0,2	859,3049	39 40	11-12-12	0,5	859,3112	39 40	11-12-12	0,2	859,2982
41	12-12-12 13-12-12	-3,9	859,3371 859,3376	40 41	12-12-12 13-12-12	-1,4 -1,5	859,3445 859,3444	41	12-12-12 13-12-12	0,0	859,3047 859,3048	41	12-12-12 13-12-12	-0,3 0,1	859,3104 859,3108	41	12-12-12 13-12-12	-0,3	859,2980 859,2977
42	17-12-12	-3,9	859,3376	42	17-12-12	-0,9	859,3450	42	17-12-12	0,7	859,3054	42	17-12-12	0,8	859,3115	42	17-12-12	0,0	859,2980
43	27-12-12	-4,3	859,3372	43	27-12-12	-1,8	859,3441	43	27-12-12	0,5	859,3052	43	27-12-12	0,8	859,3115	43	27-12-12	0,2	859,2982
44	07-01-13	-4,7	859,3368	44	07-01-13	-1,5	859,3444	44	07-01-13	0,9	859,3056	44	07-01-13	1,3	859,3120	44	07-01-13	-0,1	859,2979
45 46	08-01-13 09-01-13	-4,0 -3,3	859,3375 859,3382	45 46	08-01-13 09-01-13	-0,8 -0,2	859,3451 859,3457	45 46	08-01-13 09-01-13	1,4	859,3061 859,3064	45 46	08-01-13 09-01-13	1,6 1,8	859,3123 859,3125	45 46	08-01-13 09-01-13	0,3 1,0	859,2983 859,2990
47	10-01-13	-3,3	859,3382	47	10-01-13	0,1	859,3460	47	10-01-13	1,9	859,3066	47	10-01-13	2,1	859,3128	47	10-01-13	1,6	859,2996
48	11-01-13	-3,1	859,3384	48	11-01-13	0,6	859,3465	48	11-01-13	2,3	859,3070	48	11-01-13	2,8	859,3135	48	11-01-13	2,3	859,3003
49	12-01-13	-4,3	859,3372	49	12-01-13	-0,4	859,3455	49	12-01-13	1,7	859,3064	49	12-01-13	2,6	859,3133	49	12-01-13 14-01-13	3,0	859,3010
50 51	14-01-13 15-01-13	-4,2 -5,1	859,3373 859,3364	50 51	14-01-13 15-01-13	-0,4 -0,9	859,3455 859,3450	50 51	14-01-13 15-01-13	1,7	859,3064 859,3058	50 51	14-01-13 15-01-13	2,5 2,4	859,3132 859,3131	50 51	15-01-13	2,0	859,3000 859,3005
52	16-01-13	-5,7	859,3358	52	16-01-13	-0,9	859,3450	52	16-01-13	1,0	859,3057	52	16-01-13	3,2	859,3139	52	16-01-13	3,2	859,3012
53	17-01-13	-6,6	859,3349	53	17-01-13	-1,8	859,3441	53	17-01-13	0,5	859,3052	53	17-01-13	2,3	859,3130	53	17-01-13	2,4	859,3004
54	17-01-13	-6,8	859,3347	54	17-01-13	-2,6	859,3433	54	17-01-13	-0,1	859,3046	54	17-01-13	1,7	859,3124	54	17-01-13	1,8	859,2998
55 56	18-01-13 18-01-13	-6,9 -7,5	859,3346 859,3340	55 56	18-01-13 18-01-13	-1,5 -2,0	859,3444 859,3439	55 56	18-01-13 18-01-13	1,1 0,5	859,3058 859,3052	55 56	18-01-13 18-01-13	2,2 1,8	859,3129 859,3125	55 56	18-01-13 18-01-13	2,5	859,3005 859,3001
57	19-01-13	-7,0	859,3345	57	19-01-13	-2,0	859,3437	57	19-01-13	0,3	859,3050	57	19-01-13	1,3	859,3120	57	19-01-13	1,4	859,2994
58	21-01-13	-8,1	859,3334	58	21-01-13	-2,6	859,3433	58	21-01-13	0,1	859,3048	58	21-01-13	0,7	859,3114	58	21-01-13	0,8	859,2988
59	21-01-13	-8,0	859,3335	59	21-01-13	-2,4	859,3435	59	21-01-13	0,4	859,3051	59	21-01-13	0,9	859,3116	59	21-01-13	0,6	859,2986
60	22-01-13	-8,8	859,3327 859,3330	60	22-01-13 22-01-13	-2,6	859,3433 859,3435	60	22-01-13 22-01-13	0,3	859,3050	60	22-01-13	0,9	859,3116	60 61	22-01-13	0,9	859,2989 859,2989
62	23-01-13	-8,5 -9,0	859,3330 859,3325	62	23-01-13	-2,4 -2,1	859,3435 859,3438	62	23-01-13	0,2	859,3049 859,3054	62	23-01-13	1,1	859,3118 859,3125	62	23-01-13	1,3	859,2989 859,2993
63	23-01-13	-8,1	859,3334	63	23-01-13	-1,6	859,3443	63	23-01-13	1,1	859,3058	63	23-01-13	1,6	859,3123	63	23-01-13	1,2	859,2992
64	24-01-13	-8,5	859,3330	64	24-01-13	-1,9	859,3440	64	24-01-13	0,1	859,3048	64	24-01-13	1,6	859,3123	64	24-01-13	1,8	859,2998
65	24-01-13	-8,1	859,3334	65	24-01-13	-1,8	859,3441	65	24-01-13	1,1	859,3058	65	24-01-13	1,5	859,3122	65	24-01-13	1,2	859,2992
66	25-01-13 25-01-13	-8,8 -8,6	859,3327 859,3329	66 67	25-01-13 25-01-13	-1,8 -1,6	859,3441 859,3443	66	25-01-13 25-01-13	0,9	859,3056 859,3062	66	25-01-13 25-01-13	1,8	859,3125 859,3128	66 67	25-01-13 25-01-13	1,5 2,5	859,2995 859,3005
68	28-01-13	-8,6	859,3329	68	28-01-13	-1,6	859,3443	68	28-01-13	1,5 0,8	859,3055	68	28-01-13	2,1	859,3128	68	28-01-13	2,5	859,3005
69	28-01-13	-8,5	859,3330	69	28-01-13	-1,2	859,3447	69	28-01-13	1,3	859,3060	69	28-01-13	2,4	859,3131	69	28-01-13	2,5	859,3005
	-		-	-	·			-		• •		•			· · ·	-	·		

TABLA 4.1.2.g.: Lecturas de los pernos de asentamiento (P6, P7, P8, P9 y P10) tras el paso de la tuneladora S431 y S430.



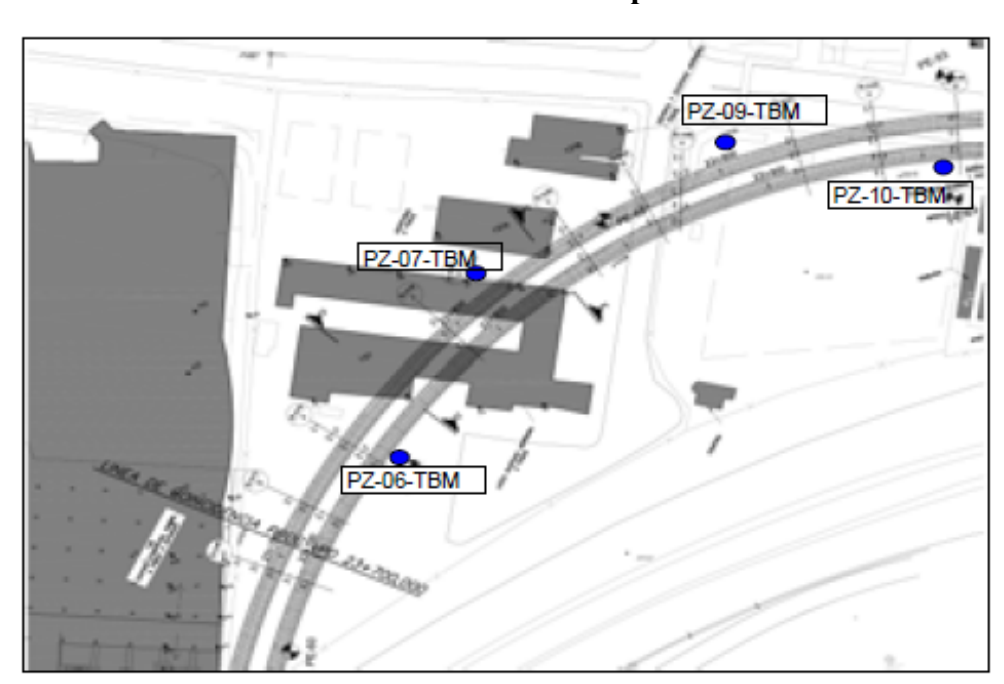


GRAFICA 4.1.2.g.: Asentamientos (mm) contra tiempo (días) en base a las lecturas de los pernos de nivelación, tras el paso de la tuneladora S431 y S430.



4.2. Niveles freáticos.

A continuación se presentan las lecturas del proceso de medición de niveles freáticos obtenidas mediante la instrumentación empleada en la Fase I del Proyecto Línea 5. Estas lecturas fueron proporcionadas por el personal de la C.A. Metro de Caracas.



UNEFA - Bello Campo

		ACTIVIDAD EN OBRA
		ESTACION BELLO CAMPO
1	9/11/2012	TOPA S431 PZ 06
2	22/11/2012	TOPA S431 PZ 07
3	3/12/2012	TOPA S431 PZ 09
4	11/12/2012	TOPA S430 PZ 06
5	17/1/2013	TOPA S430 PZ 07

FIGURA 4.2.: Ubicación de los medidores piezométricos del tramo UNEFA - Bello Campo. Proyecto Línea 5.

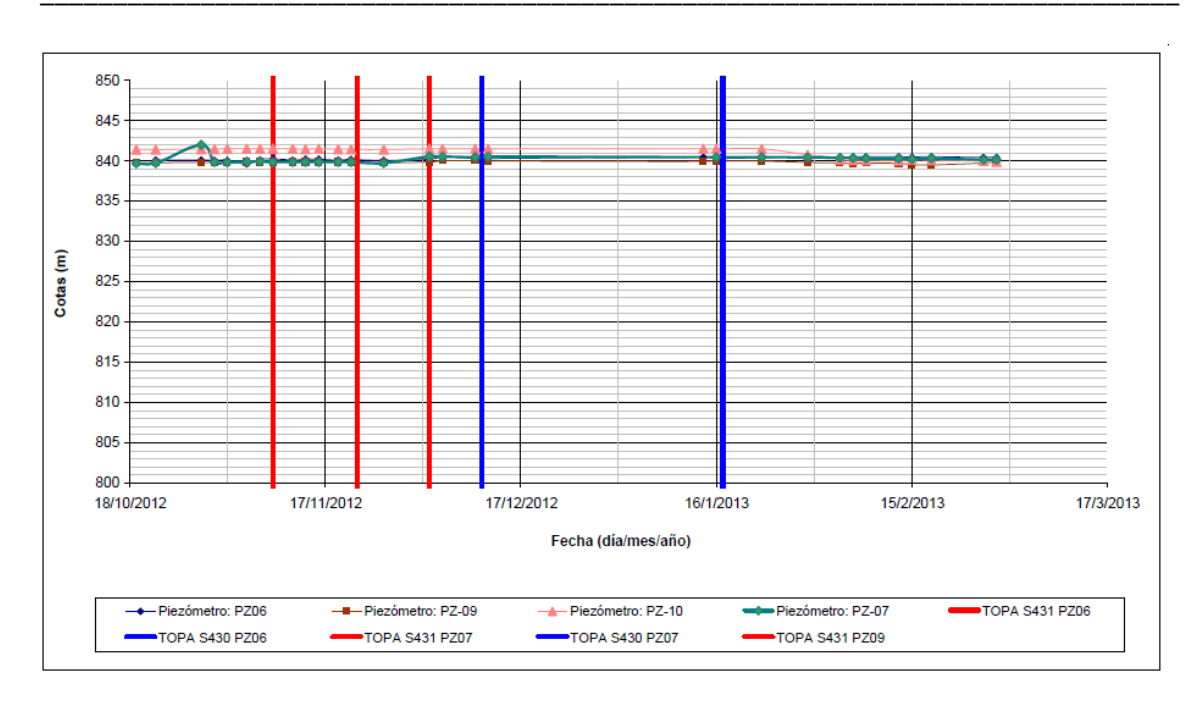


Seguimiento Instrumental Geotécnico para controlar riesgos en la construcción de túneles tipo escudo del tramo Foso UNEFA-Estación Bello Campo del Proyecto Línea 5 Metro de Caracas

Piezómetro: PZ06 Piezómetro: PZ-09 Piezómetro: PZ-10 Piezómetro: PZ-07 Coordenadas: N -Coordenadas: N -Coordenadas: N - 1528,327; E9395,285 Coordenadas: N -1503,922; E 9317,181 857,53 Cota: 856,51 Cota: 856,51 Cota: 858,144 Cota: Profundi dad (m) Profundi dad (m) Ê Ê Profundi dad (m) Ē Profundi dad (m) Ê Fecha Fecha Fecha Fecha Cota (Cota (Cota Cota 22-10-12 17,44 840.09 19-10-12 16,77 839,74 19-10-12 15.09 841.42 19-10-12 18,43 839,71 839,74 29-10-12 17,44 840,09 22-10-12 16,75 839,76 22-10-12 15,10 841,41 22-10-12 18,40 2 2 3 31-10-12 17,46 840.07 3 29-10-12 16,69 839,82 3 29-10-12 15,03 841,48 29-10-12 16,16 841.98 4 02-11-12 17,46 840,07 4 31-10-12 16,72 839,79 4 31-10-12 15,05 841,46 31-10-12 18,28 839,86 5 05-11-12 839,60 02-11-12 839,83 02-11-12 15,02 841,49 02-11-12 18,33 839,81 17,93 5 16,68 5 07-11-12 05-11-12 839,90 6 17,40 840,13 05-11-12 16.63 839.88 6 14,99 841,52 05-11-12 18,24 7 09-11-12 17,26 840.27 07-11-12 16,65 839,86 7 07-11-12 15,00 841,51 07-11-12 18,20 839.94 8 12-11-12 17,41 840.12 09-11-12 16.64 839,87 8 09-11-12 15.01 841.50 09-11-12 18,28 839.86 8 14-11-12 17,28 840,25 12-11-12 16,65 839,86 15,02 841,49 12-11-12 18,28 839,86 9 9 12-11-12 16-11-12 17,32 840,21 14-11-12 16,65 839,86 10 14-11-12 15,03 841,48 14-11-12 18,28 839,86 19-11-12 17,44 840,09 16-11-12 16,65 839,86 16-11-12 15,02 841,49 11 16-11-12 18,28 839,86 11 11 11 16,66 12 21-11-12 17,33 840,20 12 19-11-12 839,85 12 19-11-12 15,05 841,46 12 19-11-12 18,28 839,86 13 26-11-12 17,48 840,05 13 21-11-12 16,65 839,86 13 21-11-12 15,05 841,46 13 21-11-12 18,28 839,86 26-11-12 14 03-12-12 17.36 840.17 14 26-11-12 16,73 839,78 13 26-11-12 15,09 841,42 13 18.40 839.74 05-12-12 03-12-12 839,88 03-12-12 17,57 840,57 15 17,00 840,53 15 16,63 15,00 841,51 13 03-12-12 13 10-12-12 17,21 840,32 16 05-12-12 16,50 840,01 13 05-12-12 15,00 841,51 13 05-12-12 17,62 840,52 17 12-12-12 17,20 840,33 17 10-12-12 16,49 840.02 10-12-12 15,00 841,51 17 10-12-12 17,65 840,49 17 14-01-13 840,51 18 17,05 840,48 18 12-12-12 16,52 839,99 18 12-12-12 15,00 841,51 18 12-12-12 17,63 16-01-13 17,21 840,32 19 14-01-13 16,56 839,95 14-01-13 15,02 841,49 16-01-13 17,65 840.49 19 18 19 23-01-13 840,38 20 16-01-13 16,54 839,97 16-01-13 15,00 841,51 23-01-13 840,49 20 17,15 18 20 17,65 21 30-01-13 17.01 840.52 20 23-01-13 16.54 839,97 18 23-01-13 15.00 841.51 20 30-01-13 17,70 840.44 04-02-13 22 30-01-13 30-01-13 840,78 22 04-02-13 17,75 840.39 22 17.04 840,49 16,71 839,80 18 15,73 23 06-02-13 17.00 840.53 23 04-02-13 16,77 839.74 23 04-02-13 16,33 840.18 13 06-02-13 17.80 840.34 08-02-13 24 06-02-13 06-02-13 840,10 08-02-13 840,29 24 17,02 840,51 16,81 839,70 16,41 13 17,85 23 25 13-02-13 17,00 840,53 25 08-02-13 16,79 839,72 23 08-02-13 16,39 840,12 13 13-02-13 17,82 840,32 26 15-02-13 17.04 840,49 26 13-02-13 16,81 839,70 23 13-02-13 16,45 840,06 17 15-02-13 17,91 840,23 27 18-02-13 17,02 840,51 27 15-02-13 839,52 15-02-13 16,35 840,16 18-02-13 17,85 840,29 16,99 23 18 26-02-13 840,45 28 18-02-13 18-02-13 16,42 19 26-02-13 28 17,08 17,00 839,51 23 840,09 17,99 840,15 29 28-02-13 17,10 840,43 29 26-02-13 16,77 839,74 29 26-02-13 16,51 840,00 20 28-02-13 17,99 840,15 30 30 28-02-13 16,59 839,92 839,89 20 28-02-13 16,62

TABLA 4.2.a.: Lecturas de los piezómetros (PZ6, PZ7, PZ9 Y PZ10) tras el paso de la tuneladora S431 y S430.



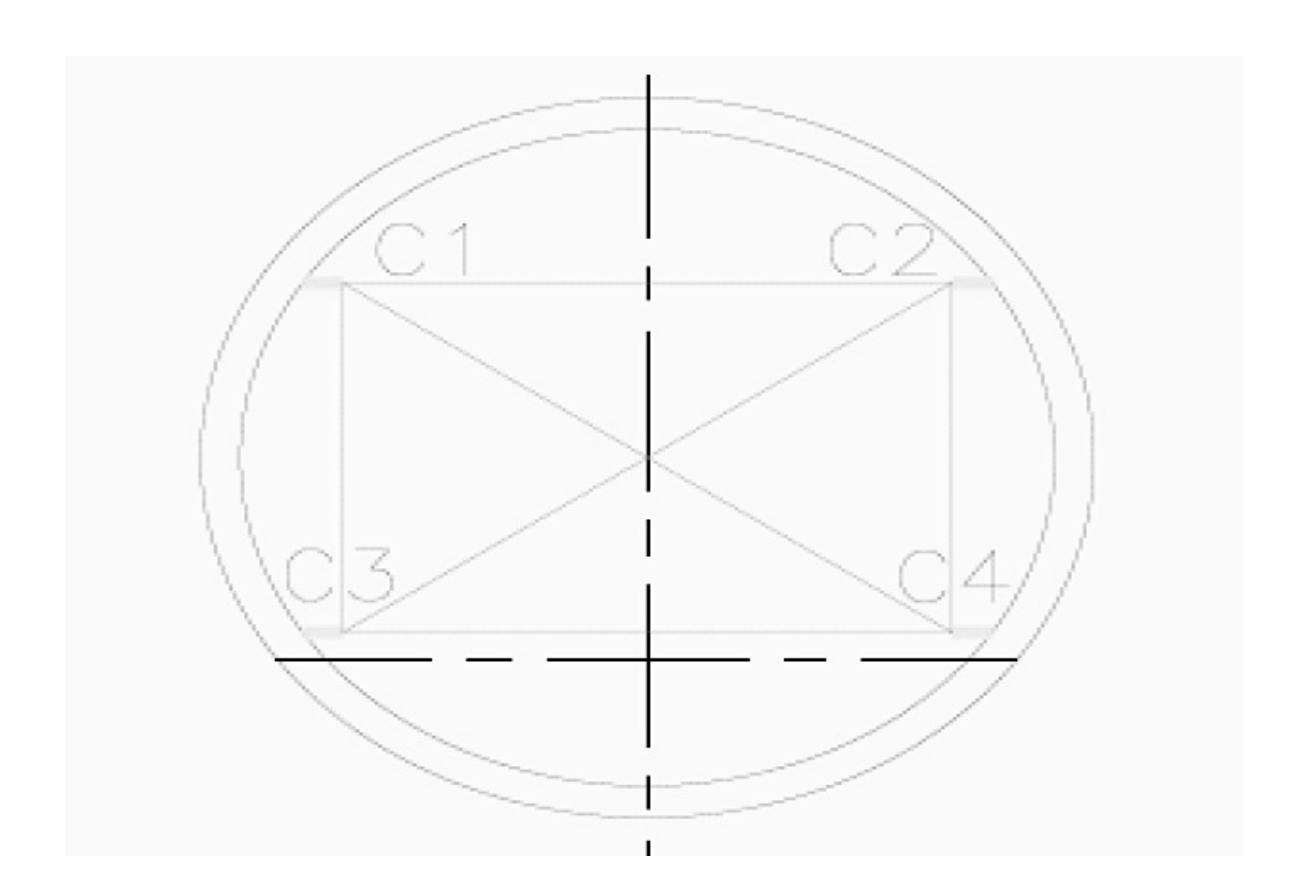


GRAFICA 4.2.a.: Variación de los niveles freáticos tras el paso de las tuneladoras S430 y S431.



4.3. Convergencias.

A continuación se presentan las lecturas del proceso de medición de convergencia obtenidas mediante la instrumentación empleada en la Fase I del Proyecto Línea 5. Estas lecturas fueron proporcionadas por el personal de la C.A. Metro de Caracas.





TUNELADORA S430.

Anillo 66.

C12				C13				C14				C23				C34			
F. Ini.	22/11/2012	Obs:		F. Ini.		Obs:		F. Ini.		Obs:									
F. Fin				F. Fin				F. Fin											
Jornada	Fecha	Deformación Acumulada	Tasa de Mov. (mm/día)	Jornada	Fecha	Deformación Acumulada	Tasa de Mov. (mm/día)	Jornada	Fecha	Deformación Acumulada	Tasa de Mov. (mm/día)	Jornada	Fecha	Deformación Acumulada	Tasa de Mov. (mm/día)	Jornada	Fecha	Deformación Acumulada	Tasa de Mov. (mm/día)
1	22-11-12	0,0	0,0	1	22-11-12	0,0	0,0	1	22-11-12	0,0	0,0	1	22-11-12	0,0	0,0	1	22-11-12	0,0	0,0
2	23-11-12	-0,1	-0,1	2	23-11-12	0,0	0,0	2	23-11-12	0,1	0,1	2	23-11-12	-0,1	-0,1	2	23-11-12	0,1	0,1
3	26-11-12	0,0	0,0	3	26-11-12	0,0	0,0	3	26-11-12	0,0	0,0	3	26-11-12	-0,1	0,0	3	26-11-12	0,0	0,0
4	27-11-12	-0,1	-0,1	4	27-11-12	0,1	0,1	4	27-11-12	0,0	0,0	4	27-11-12	0,0	0,0	4	27-11-12	0,1	0,0
5	07-01-13	-0,1	0,0	5	07-01-13	0,1	0,0	5	07-01-13	0,0	0,0	5	07-01-13	-0,3	0,0	5	07-01-13	-0,5	0,0
6	18-01-13	0,1	0,0	6	18-01-13	0,1	0,0	6	18-01-13	0,0	0,0	6	18-01-13	-0,2	0,0	6	18-01-13	-0,6	0,0
7	21-01-13	0,0	0,0	7	21-01-13	0,1	0,0	7	21-01-13	-0,1	0,0	7	21-01-13	-0,3	0,0	7	21-01-13	-0,6	0,0
8	06-02-13	-0,1	0,0	8	06-02-13	0,0	0,0	8	06-02-13	0,0	0,0	8	06-02-13	-0,8	0,0	8	06-02-13	-0,4	0,0
9	08-02-13	0,0	0,0	9	08-02-13	0,0	0,0	9	08-02-13	0,0	0,0	9	08-02-13	-0,8	0,0	9	08-02-13	-0,4	0,0

TABLA 4.3.a.: Lecturas de convergencias en el anillo 66 (S430) del tramo UNEFA - Bello Campo. Proyecto Línea 5.

del Proyecto Línea 5 Metro de Caracas



Inicio Valor en Alarma 71mm (1%) Inicio Valor en Alerta 18mm (0,25%) Inicio Valor en Observación 11mm (0,15%) -10 -20 -30 20-nov-2012 30-nov-2012 9-jan-2013 10-dez-2012 20-dez-2012 30-dez-2012 19-jan-2013 29-jan-2013 8-fev-2013 18-fev-2013 28-fev-2013 -->-- C12 —× C23 -ж-C34 <u>-</u>∠- C14

GRAFICA 4.3.a: Convergencias (mm) contra tiempo (días) en base a las lecturas.

del Proyecto Línea 5 Metro de Caracas

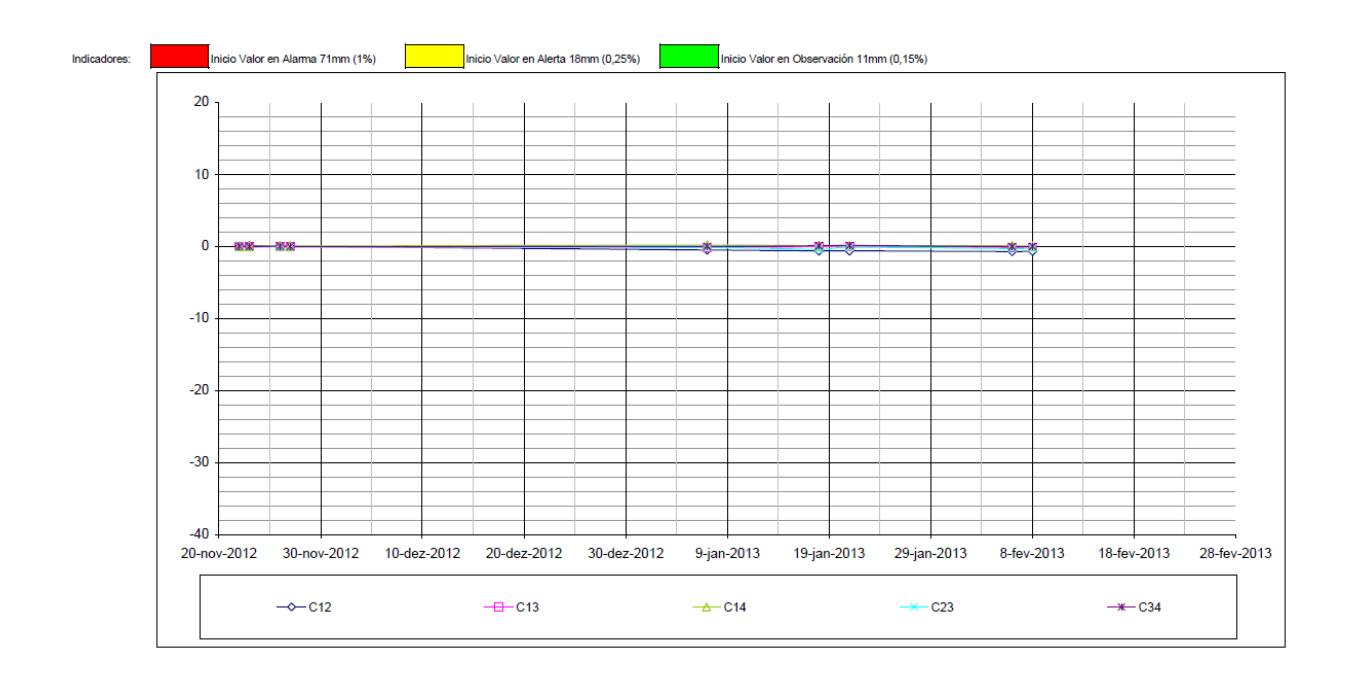


Anillo 174.

C12				C13				C14				C23				C34			
F. Ini.	22/11/2012	Obs:		F. Ini.		Obs:		F. Ini.		Obs:									
F. Fin				F. Fin				F. Fin											
Jornada	Fecha	Deformación Acumulada	Tasa de Mov. (mm/día)	Jornada	Fecha	Deformación Acumulada	Tasa de Mov. (mm/día)	Jornada	Fecha	Deformación Acumulada	Tasa de Mov. (mm/día)	Jornada	Fecha	Deformación Acumulada	Tasa de Mov. (mm/día)	Jornada	Fecha	Deformación Acumulada	Tasa de Mov. (mm/día)
1	22-11-12	0,0	0,0	1	22-11-12	0,0	0,0	1	22-11-12	0,0	0,0	1	22-11-12	0,0	0,0	1	22-11-12	0,0	0,0
2	23-11-12	0,1	0,1	2	23-11-12	0,0	0,0	2	23-11-12	0,0	0,0	2	23-11-12	-0,1	-0,1	2	23-11-12	0,0	0,0
3	26-11-12	0,0	0,0	3	26-11-12	0,0	0,0	3	26-11-12	0,0	0,0	3	26-11-12	-0,1	0,0	3	26-11-12	0,0	0,0
4	27-11-12	0,0	0,0	4	27-11-12	0,0	0,0	4	27-11-12	0,0	0,0	4	27-11-12	-0,1	0,0	4	27-11-12	-0,1	-0,1
5	07-01-13	-0,5	0,0	5	07-01-13	-0,2	0,0	5	07-01-13	0,2	0,0	5	07-01-13	-0,2	0,0	5	07-01-13	0,0	0,0
6	18-01-13	-0,6	0,0	6	18-01-13	-0,1	0,0	6	18-01-13	0,1	0,0	6	18-01-13	-0,4	0,0	6	18-01-13	0,1	0,0
7	21-01-13	-0,6	0,0	7	21-01-13	-0,1	0,0	7	21-01-13	0,1	0,0	7	21-01-13	-0,1	0,1	7	21-01-13	0,1	0,0
8	06-02-13	-0,7	0,0	8	06-02-13	-0,2	0,0	8	06-02-13	0,1	0,0	8	06-02-13	-0,3	0,0	8	06-02-13	0,0	0,0
9	08-02-13	-0,7	0,0	9	08-02-13	-0,1	0,0	9	08-02-13	0,0	-0,1	9	08-02-13	-0,3	0,0	9	08-02-13	0,0	0,0

TABLA 4.3.b.: Lecturas de convergencias en el anillo 174 (S430) del tramo UNEFA - Bello Campo. Proyecto Línea 5.





GRAFICA 4.3.b: Convergencias (mm) contra tiempo (días) en base a las lecturas.

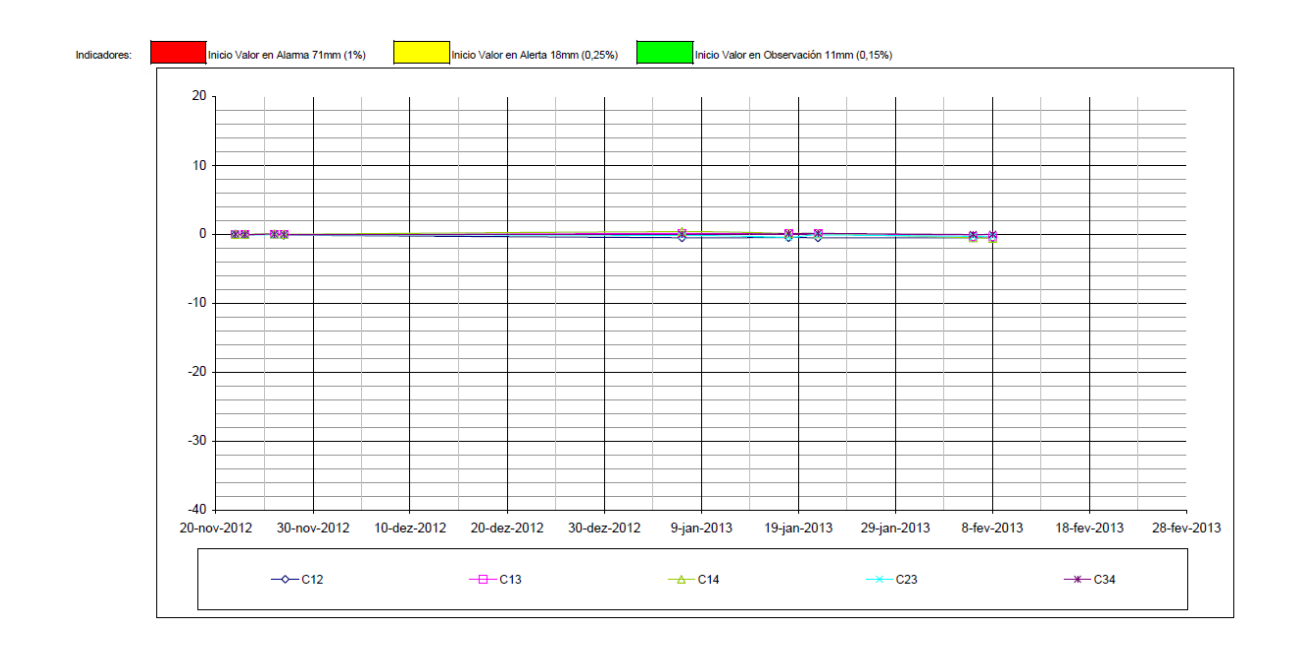


Anillo 274.

C12				C13				C14				C23				C34			
F. Ini.	22/11/2012	Obs:		F. Ini.		Obs:		F. Ini.		Obs:									
F. Fin				F. Fin				F. Fin											
Jornada	Fecha	Deformación Acumulada	Tasa de Mov. (mm/día)	Jornada	Fecha	Deformación Acumulada	Tasa de Mov. (mm/día)	Jornada	Fecha	Deformación Acumulada	Tasa de Mov. (mm/día)	Jornada	Fecha	Deformación Acumulada	Tasa de Mov. (mm/día)	Jornada	Fecha	Deformación Acumulada	Tasa de Mov. (mm/día)
1	22-11-12	0,0	0,0	1	22-11-12	0,0	0,0	1	22-11-12	0,0	0,0	1	22-11-12	0,0	0,0	1	22-11-12	0,0	0,0
2	23-11-12	0,0	0,0	2	23-11-12	-0,1	-0,1	2	23-11-12	0,0	0,0	2	23-11-12	-0,1	-0,1	2	23-11-12	-0,1	-0,1
3	26-11-12	0,0	0,0	3	26-11-12	0,0	0,0	3	26-11-12	0,0	0,0	3	26-11-12	-0,1	0,0	3	26-11-12	0,0	0,0
4	27-11-12	-0,1	-0,1	4	27-11-12	-0,1	-0,1	4	27-11-12	0,0	0,0	4	27-11-12	-0,2	-0,1	4	27-11-12	-0,1	-0,1
5	07-01-13	-0,5	0,0	5	07-01-13	0,1	0,0	5	07-01-13	0,4	0,0	5	07-01-13	-0,1	0,0	5	07-01-13	0,1	0,0
6	18-01-13	-0,4	0,0	6	18-01-13	0,1	0,0	6	18-01-13	0,1	0,0	6	18-01-13	0,3	0,0	6	18-01-13	-0,1	0,0
7	21-01-13	-0,5	0,0	7	21-01-13	0,1	0,0	7	21-01-13	0,1	0,0	7	21-01-13	0,3	0,0	7	21-01-13	-0,1	0,0
8	06-02-13	-0,5	0,0	8	06-02-13	-0,3	0,0	8	06-02-13	-0,5	0,0	8	06-02-13	-0,4	0,0	8	06-02-13	-0,4	0,0
9	08-02-13	-0,5	0,0	9	08-02-13	-0,3	0,0	9	08-02-13	-0,6	-0,1	9	08-02-13	-0,3	0,1	9	08-02-13	-0,4	0,0

TABLA 4.3.c.: Lecturas de convergencias en el anillo 274 (S430) del tramo UNEFA - Bello Campo. Proyecto Línea 5.





GRAFICA 4.3.c: Convergencias (mm) contra tiempo (días) en base a las lecturas.



Anillo 595.

C12				C13				C14				C23				C34			
F. Ini.	16/1/2013	Obs:		F. Ini.		Obs:		F. Ini.		Obs:									
F. Fin				F. Fin				F. Fin											
Jornada	Fecha	Deformación Acumulada	Tasa de Mov. (mm/día)	Jornada	Fecha	Deformación Acumulada	Tasa de Mov. (mm/día)	Jornada	Fecha	Deformación Acumulada	Tasa de Mov. (mm/día)	Jornada	Fecha	Deformación Acumulada	Tasa de Mov. (mm/día)	Jornada	Fecha	Deformación Acumulada	Tasa de Mov. (mm/día)
1	16-01-13	0,0	0,0	1	16-01-13	0,0	0,0	1	16-01-13	0,0	0,0	1	16-01-13	0,0	0,0	1	16-01-13	0,0	0,0
2	18-01-13	0,0	0,0	2	18-01-13	0,0	0,0	2	18-01-13	0,0	0,0	2	18-01-13	0,0	0,0	2	18-01-13	0,0	0,0
3	23-01-13	0,0	0,0	3	23-01-13	-0,1	0,0	3	23-01-13	-0,1	0,0	3	23-01-13	-0,1	0,0	3	23-01-13	-0,1	0,0
4	08-01-13	0,0	0,0	4	08-01-13	0,0	0,0	4	08-01-13	-0,1	0,0	4	08-01-13	-0,1	0,0	4	08-01-13	-0,1	0,0
5	27-02-13	-0,1	0,0	5	27-02-13	0,1	0,0	5	27-02-13	0,0	0,0	5	27-02-13	-0,2	0,0	5	27-02-13	-0,1	0,0
6	23-04-13	1.2	0.0	6	23-04-13	0.7	0.0	6	23-04-13	0.9	0.0	6	23-04-13	0.5	0.0		23-04-13	0.4	0.0

TABLA 4.3.d.: Lecturas de convergencias en el anillo 595 (S430) del tramo UNEFA - Bello Campo. Proyecto Línea 5.



Inicio Valor en Alarma 71mm (1%) Inicio Valor en Alerta 18mm (0,25%) Indicadores: Inicio Valor en Observación 11mm (0,15%) 20 10 -10 -20 -40 10-jan-2013 9-fev-2013 11-mar-2013 10-abr-2013 -->-- C12 ——C13 <u></u>—△ C14 —X— C23 --ж-- C34

GRAFICA 4.3.d: Convergencias (mm) contra tiempo (días) en base a las lecturas.



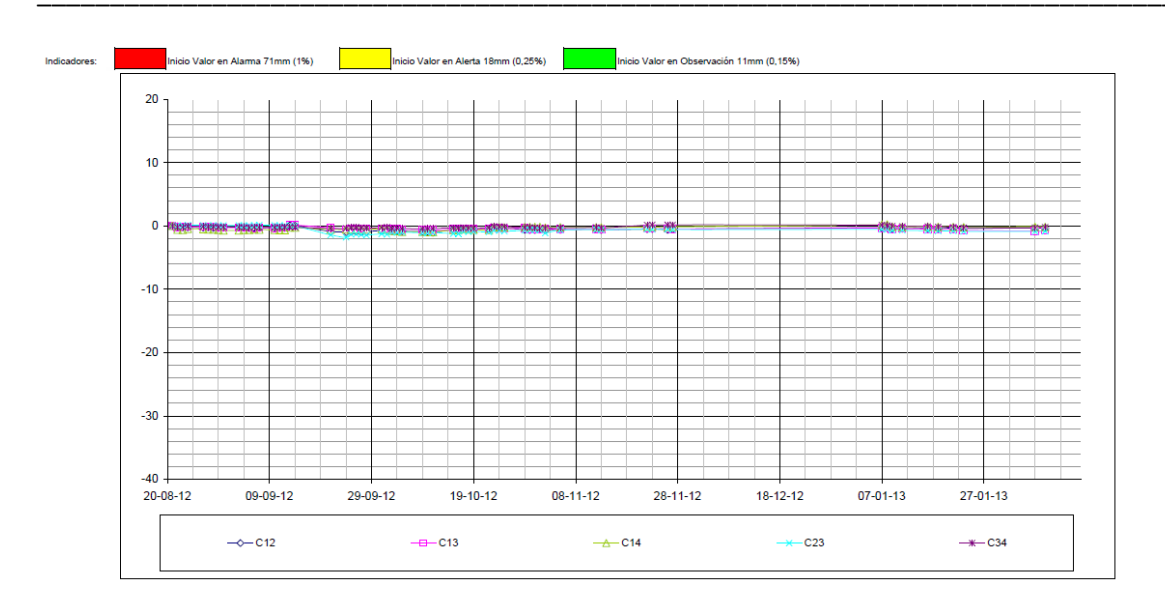
TUNELADORA 431

Anillo 65.

C12				C13				C14				C23				C34			
F. Ini.	21/8/2012	Obs:		F. Ini.		Obs:		F. Ini.		Obs:		CZS				004			
F. Fin				F. Fin				F. Fin											
Jomada	Fecha	Deformación Acumulada	Tasa de Mov. (mm/día)	Jomada	Fecha	Deformación Acumulada	Tasa de Mov. (mm/día)	Jomada	Fecha	Deformación Acumulada	Tasa de Mov. (mm/día)	Jomada	Fecha	Deformación Acumulada	Tasa de Mov. (mm/día)	Jomada	Fecha	Deformación Acumulada	Tasa de Mov. (mm/día)
1	21-08-12	0,0	0,0	1	21-08-12	0,0	0,0	1	21-08-12	0,0	0,0	1	21-08-12	0,0	0,0	1	21-08-12	0,0	0,0
3	22-08-12	-0,1	-0,1	3	22-08-12	-0,2	-0,2	3	22-08-12	-0,6	-0,6	2	22-08-12	0,0	0,0	3	22-08-12	-0,2	-0,2
4	23-08-12 24-08-12	-0,2 -0,2	-0,1 0,0	4	23-08-12 24-08-12	-0,1 -0,2	0,1 0,0	4	23-08-12 24-08-12	-0,6 -0,5	0,0 0,2	3	23-08-12 24-08-12	0,0	0,0 0,1	4	23-08-12 24-08-12	-0,2 0,0	0,0 0,2
5	27-08-12	-0,2	0,0	5	27-08-12	-0,2	0,0	5	27-08-12	-0,5	0,0	5	27-08-12	0,1	0,0	5	27-08-12	-0,1	0,0
6	28-08-12	-0,2	0,0	6	28-08-12	-0,1	0,0	6	28-08-12	-0,6	-0,1	6	28-08-12	0,0	-0,1	6	28-08-12	-0,1	-0,1
7	29-08-12	-0,3	-0,1	7	29-08-12	-0,1	0,0	7	29-08-12	-0,5	0,0	7	29-08-12	0,1	0,0	7	29-08-12	-0,1	0,0
8	30-08-12	-0,3	0,0	8	30-08-12	-0,2	-0,1	8	30-08-12	-0,6	-0,1	8	30-08-12	0,1	0,0	8	30-08-12	-0,2	-0,1
9 10	31-08-12 03-09-12	-0,3 -0.2	0,0	9	31-08-12 03-09-12	-0,3 -0.3	0,0	9	31-08-12 03-09-12	-0,7 -0.7	-0,1 0,0	9	31-08-12 03-09-12	0,1 0,1	0,0	9 10	31-08-12 03-09-12	-0,2 -0,2	0,0
11	04-09-12	-0,2	0,0	11	04-09-12	-0,3	0,0	11	04-09-12	-0,7	0,0	11	04-09-12	0,0	0,0	11	04-09-12	-0,2	0,0
12	05-09-12	-0.3	-0,1	12	05-09-12	-0,3	0,0	12	05-09-12	-0,6	0,0	12	05-09-12	0,1	0.0	12	05-09-12	-0,3	0,0
13	06-09-12	-0,3	0,0	13	06-09-12	-0,3	-0,1	13	06-09-12	-0,6	0,1	13	06-09-12	0,1	0,0	13	06-09-12	-0,2	0,1
14	07-09-12	-0,2	0,1	14	07-09-12	-0,3	0,0	14	07-09-12	-0,6	-0,1	14	07-09-12	0,1	0,0	14	07-09-12	-0,3	0,0
15 16	10-09-12	-0,3 -0.3	0,0	15 16	10-09-12	-0,3 -0.3	0,0	15 16	10-09-12	-0,6 -0.7	0,0	15 16	10-09-12	0,1	0,0	15 16	10-09-12	-0,3	0,0
17	12-09-12	-0,3	0,0	17	11-09-12 12-09-12	-0,3	0,0	17	11-09-12 12-09-12	-0,7	-0,1 0,0	17	11-09-12 12-09-12	0,0	0,0	17	11-09-12 12-09-12	-0,2 -0,2	0,0
18	13-09-12	0,0	0,3	18	13-09-12	0,2	0,5	18	13-09-12	-0,7	0,4	18	13-09-12	0,0	-0,1	18	13-09-12	-0,2	0,0
19	14-09-12	0,0	0,0	19	14-09-12	0,1	-0,1	19	14-09-12	-0,3	0,0	19	14-09-12	0,0	0,0	19	14-09-12	-0,2	0,0
20	21-09-12	-0,9	-0,1	20	21-09-12	-0,3	-0,1	20	21-09-12	-0,6	0,0	20	21-09-12	-1,4	-0,2	20	21-09-12	-0,4	0,0
21	24-09-12	-1,0	0,0	21	24-09-12	-0,6	-0,1	21	24-09-12	-0,6	0,0	21	24-09-12	-1,8	-0,1	21	24-09-12	-0,4	0,0
22	25-09-12 26-09-12	-0,9 -0,9	0,1 0,0	22	25-09-12 26-09-12	-0,5 -0,5	0,1	22	25-09-12 26-09-12	-0,5 -0,5	0,1	22	25-09-12 26-09-12	-1,4 -1,3	0,5 0,1	22	25-09-12 26-09-12	-0,3 -0,2	0,1
24	27-09-12	-0,9	0,0	24	27-09-12	-0,5	0,0	24	27-09-12	-0,5	0,0	24	27-09-12	-1,4	-0,1	24	27-09-12	-0,2	-0,1
25	28-09-12	-0,9	0,0	25	28-09-12	-0,5	-0,1	25	28-09-12	-0,5	0,0	25	28-09-12	-1,5	-0,1	25	28-09-12	-0,3	0,0
26	01-10-12	-0,7	0,1	26	01-10-12	-0,4	0,0	26	01-10-12	-0,5	0,0	26	01-10-12	-1,3	0,1	26	01-10-12	-0,3	0,0
27	02-10-12	-0,7	0,0	27	02-10-12	-0,4	0,0	27	02-10-12	-0,4	0,0	27	02-10-12	-1,3	-0,1	27	02-10-12	-0,2	0,1
28 29	03-10-12 04-10-12	-0,8 -0,8	0,0	28 29	03-10-12 04-10-12	-0,5 -0,5	-0,1 0,0	28 29	03-10-12 04-10-12	-0,8 -0,8	-0,4 0,0	28 29	03-10-12 04-10-12	-1,0 -1,1	0,3 -0,1	28 29	03-10-12 04-10-12	-0,4 -0,4	-0,2 0,1
30	05-10-12	-0,8	-0.1	30	05-10-12	-0,5	-0.1	30	05-10-12	-0,8	-0.1	30	05-10-12	-1.0	0.0	30	05-10-12	-0,4	0.0
31	09-10-12	-0,9	0,0	31	09-10-12	-0,6	0,0	31	09-10-12	-0,9	0,0	31	09-10-12	-1,1	0,0	31	09-10-12	-0,5	0,0
32	10-10-12	-0,9	0,0	32	10-10-12	-0,6	0,0	32	10-10-12	-1,0	-0,1	32	10-10-12	-1,1	0,0	32	10-10-12	-0,4	0,0
33	11-10-12	-1,0	-0,1	33	11-10-12	-0,7	-0,1	33	11-10-12	-1,0	0,0	33	11-10-12	-1,1	0,0	33	11-10-12	-0,4	0,0
34 35	15-10-12 16-10-12	-0,5 -0.5	0,1	34 35	15-10-12 16-10-12	-0,5 -0.6	0,0	34 35	15-10-12 16-10-12	-0,6 -0.6	0,1	34 35	15-10-12 16-10-12	-1,2 -1.3	0,0	34 35	15-10-12 16-10-12	-0,3 -0.3	0,0
36	17-10-12	-0,5	0,0	36	17-10-12	-0,0	0,0	36	17-10-12	-0,6	0,0	36	17-10-12	-0,9	0,0	36	17-10-12	-0,3	0,0
37	18-10-12	-0,5	0,0	37	18-10-12	-0,5	-0,1	37	18-10-12	-0,5	0,0	37	18-10-12	-0,9	-0,1	37	18-10-12	-0,3	0,0
38	19-10-12	-0,6	-0,1	38	19-10-12	-0,5	0,0	38	19-10-12	-0,6	-0,1	38	19-10-12	-0,9	0,0	38	19-10-12	-0,4	0,0
39	22-10-12	-0,6	0,0	39	22-10-12	-0,5	0,0	39	22-10-12	-0,6	0,0	39	22-10-12	-1,0	0,0	39	22-10-12	-0,3	0,0
40	23-10-12 24-10-12	-0,3 -0,3	0,3 -0.1	40 41	23-10-12 24-10-12	-0,3 -0.3	0,3	40 41	23-10-12 24-10-12	-0,2 -0,2	0,4	40 41	23-10-12 24-10-12	-0,7 -0,8	0,2 0.0	40 41	23-10-12 24-10-12	-0,1 -0,1	0,2 0,0
41	25-10-12	-0,3	0,0	42	25-10-12	-0,3	-0,1	42	25-10-12	-0,2	0,0	42	25-10-12	-0,8	-0,1	41	25-10-12	-0,1	0,0
43	29-10-12	-0,6	-0,1	43	29-10-12	-0,4	0,0	43	29-10-12	-0,2	0,0	43	29-10-12	-0,7	0,0	43	29-10-12	-0,3	0,0
44	30-10-12	-0,6	0,0	44	30-10-12	-0,5	-0,1	44	30-10-12	-0,2	0,0	44	30-10-12	-0,6	0,1	44	30-10-12	-0,2	0,0
45	31-10-12	-0,6	0,0	45	31-10-12	-0,6	-0,1	45	31-10-12	-0,2	0,0	45	31-10-12	-0,6	0,0	45	31-10-12	-0,3	-0,1
46 47	01-11-12 02-11-12	-0,5	0,1 -0,1	46 47	01-11-12 02-11-12	-0,6 -0,4	0,0	46 47	01-11-12	-0,2	0,0	46 47	01-11-12	-0,7	0,0	46 47	01-11-12 02-11-12	-0,4 -0,4	-0,1 0,0
48	05-11-12	-0,6 -0,6	0,0	48	05-11-12	-0,4	0,2 -0,1	48	02-11-12 05-11-12	-0,3 -0,2	-0,1 0,0	48	02-11-12 05-11-12	-1,1 -0,7	-0,5 0,2	48	05-11-12	-0,4	0,0
49	12-11-12	-0,5	0,0	49	12-11-12	-0,5	0,0	49	12-11-12	-0,2	0,0	49	12-11-12	-0,6	0,0	49	12-11-12	-0,3	0,0
50	13-11-12	-0,6	-0,1	50	13-11-12	-0,6	-0,1	50	13-11-12	-0,2	0,0	50	13-11-12	-0,6	0,0	50	13-11-12	-0,3	-0,1
51	22-11-12	-0,5	0,0	51	22-11-12	-0,5	0,0	51	22-11-12	-0,2	0,0	51	22-11-12	-0,5	0,0	51	22-11-12	0,1	0,0
52 53	23-11-12 26-11-12	-0,5 -0,6	0,0	52 53	23-11-12 26-11-12	-0,5 -0.4	0,0	52 53	23-11-12 26-11-12	-0,2 -0,3	0,0	52 53	23-11-12 26-11-12	-0,6 -0,5	0,0	52 53	23-11-12 26-11-12	0,2	0,1 0,0
54	27-11-12	-0,6	0,0	54	27-11-12	-0,4	-0.1	54	27-11-12	-0,3	0,0	54	27-11-12	-0,5	-0.1	54	27-11-12	0,2	0.0
55	07-01-13	-0,3	0,0	55	07-01-13	-0,3	0,0	55	07-01-13	0,2	0,0	55	07-01-13	-0,5	0,0	55	07-01-13	0,1	0,0
56	08-01-13	-0,3	0,0	56	08-01-13	-0,3	0,0	56	08-01-13	0,2	0,0	56	08-01-13	-0,5	0,0	56	08-01-13	0,0	-0,1
57	09-01-13	-0,4	-0,1	57	09-01-13	-0,5	-0,2	57	09-01-13	-0,1	-0,3	57	09-01-13	-0,7	-0,2	57	09-01-13	0,0	-0,1
58 59	11-01-13 16-01-13	-0,4 -0,4	0,0	58 59	11-01-13 16-01-13	-0,5 -0,5	0,0	58 59	11-01-13 16-01-13	-0,2 -0,1	0,0	58 59	11-01-13 16-01-13	-0,7 -0,8	0,0	58 59	11-01-13 16-01-13	-0,1 -0,1	0,0
60	18-01-13	-0,4	0,0	60	18-01-13	-0,5	0,0	60	18-01-13	-0,1	0,0	60	18-01-13	-0,8	0,0	60	18-01-13	-0,1	0,0
61	21-01-13	-0,4	0,0	61	21-01-13	-0,0	0,0	61	21-01-13	-0,2	0,0	61	21-01-13	-0,8	0,0	61	21-01-13	-0,2	0,0
62	23-01-13	-0,4	0,0	62	23-01-13	-0,7	-0,1	62	23-01-13	-0,2	0,0	62	23-01-13	-0,9	0,0	62	23-01-13	-0,3	0,0
63	06-02-13	-0,3	0,0	63	06-02-13	-0,8	0,0	63	06-02-13	-0,2	0,0	63	06-02-13	-0,9	0,0	63	06-02-13	-0,3	0,0
64	08-02-13	-0,4	0,0	64	08-02-13	-0,8	0,0	64	08-02-13	-0,2	0,0	64	08-02-13	-0,8	0,0	64	08-02-13	-0,2	0,0

TABLA 4.3.e.: Lecturas de convergencias en el anillo 65 (S431) del tramo UNEFA - Bello Campo. Proyecto Línea 5.





GRAFICA 4.3.e.: Convergencias (mm) contra tiempo (días) en base a las lecturas.

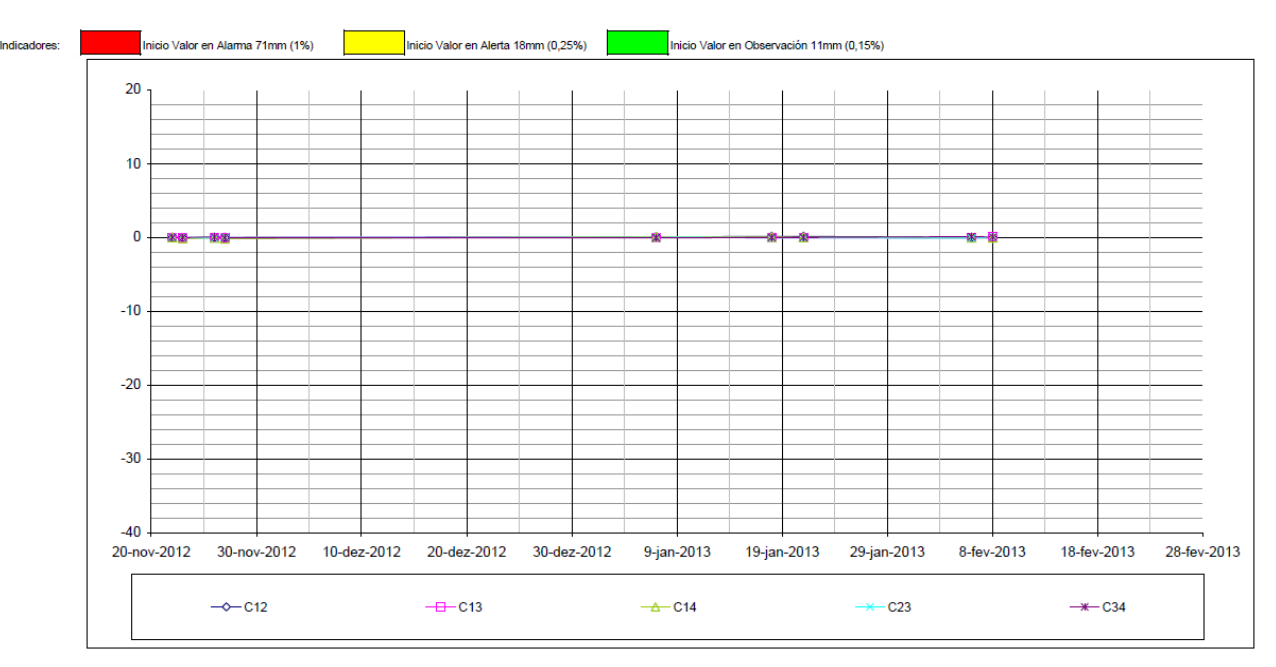


Anillo 178.

C12				C13				C14				C23				C34			
F. Ini.	22/11/2012	Obs:		F. Ini.		Obs:		F. Ini.		Obs:									
F. Fin				F. Fin				F. Fin											
Jornada	Fecha	Deformación Acumulada	Tasa de Mov. (mm/día)	Jornada	Fecha	Deformación Acumulada	Tasa de Mov. (mm/día)	Jornada	Fecha	Deformación Acumulada	Tasa de Mov. (mm/día)	Jornada	Fecha	Deformación Acumulada	Tasa de Mov. (mm/día)	Jornada	Fecha	Deformación Acumulada	Tasa de Mov. (mm/día)
1	22-11-12	0,0	0,0	1	22-11-12	0,0	0,0	1	22-11-12	0,0	0,0	1	22-11-12	0,0	0,0	1	22-11-12	0,0	0,0
2	23-11-12	0,0	0,0	2	23-11-12	-0,2	-0,2	2	23-11-12	-0,1	-0,1	2	23-11-12	0,0	0,0	2	23-11-12	0,0	0,0
3	26-11-12	0,0	0,0	3	26-11-12	-0,1	0,0	3	26-11-12	-0,1	0,0	3	26-11-12	-0,1	0,0	3	26-11-12	0,0	0,0
4	27-11-12	0,0	0,0	4	27-11-12	-0,2	-0,1	4	27-11-12	-0,2	-0,1	4	27-11-12	0,0	0,1	4	27-11-12	-0,1	-0,1
5	07-01-13	0,1	0,0	5	07-01-13	0,2	0,0	5	07-01-13	0,1	0,0	5	07-01-13	0,0	0,0	5	07-01-13	-0,1	0,0
6	18-01-13	0,1	0,0	6	18-01-13	0,5	0,0	6	18-01-13	0,0	0,0	6	18-01-13	0,0	0,0	6	18-01-13	0,0	0,0
7	21-01-13	0,1	0,0	7	21-01-13	0,5	0,0	7	21-01-13	0,0	0,0	7	21-01-13	-0,1	0,0	7	21-01-13	0,0	0,0
8	06-02-13	0,0	0,0	8	06-02-13	0,6	0,0	8	06-02-13	-0,1	0,0	8	06-02-13	-0,1	0,0	8	06-02-13	0,1	0,0
9	08-02-13	0,0	0,0	9	08-02-13	0,6	0,0	9	08-02-13	0,0	0,0	9	08-02-13	0,0	0,1	9	08-02-13	0,0	0,0

TABLA 4.3.f.: Lecturas de convergencias en el anillo 178 (S431) del tramo UNEFA - Bello Campo. Proyecto Línea 5.





GRAFICA 4.3.f.: Convergencias (mm) contra tiempo (días) en base a las lecturas.



Anillo 278.

C12				C13				C14				C23				C34			
F. Ini.	22/11/2012	Obs:		F. Ini.		Obs:		F. Ini.		Obs:									
F. Fin				F. Fin				F. Fin											
Jornada	Fecha	Deformación Acumulada	Tasa de Mov. (mm/día)	Jornada	Fecha	Deformación Acumulada	Tasa de Mov. (mm/día)	Jornada	Fecha	Deformación Acumulada	Tasa de Mov. (mm/día)	Jornada	Fecha	Deformación Acumulada	Tasa de Mov. (mm/día)	Jornada	Fecha	Deformación Acumulada	Tasa de Mov. (mm/día)
1	22-11-12	0,0	0,0	1	22-11-12	0,0	0,0	1	22-11-12	0,0	0,0	1	22-11-12	0,0	0,0	1	22-11-12	0,0	0,0
2	23-11-12	-0,1	-0,1	2	23-11-12	-0,1	-0,1	2	23-11-12	0,0	0,0	2	23-11-12	0,0	0,0	2	23-11-12	-0,2	-0,2
3	26-11-12	0,0	0,0	3	26-11-12	-0,1	0,0	3	26-11-12	0,0	0,0	3	26-11-12	0,5	0,2	3	26-11-12	-0,1	0,0
4	27-11-12	-0,2	-0,1	4	27-11-12	-0,1	0,0	4	27-11-12	-0,1	0,0	4	27-11-12	0,0	-0,5	4	27-11-12	-0,1	0,0
5	07-01-13	0,5	0,0	5	07-01-13	0,2	0,0	5	07-01-13	0,2	0,0	5	07-01-13	0,0	0,0	5	07-01-13	0,1	0,0
6	18-01-13	0,0	0,0	6	18-01-13	-0,1	0,0	6	18-01-13	0,0	0,0	6	18-01-13	-0,4	0,0	6	18-01-13	0,0	0,0
7	21-01-13	0,0	0,0	7	21-01-13	-0,1	0,0	7	21-01-13	0,0	0,0	7	21-01-13	-0,4	0,0	7	21-01-13	0,0	0,0
8	06-02-13	0,0	0,0	8	06-02-13	-0,1	0,0	8	06-02-13	-0,1	0,0	8	06-02-13	-0,7	0,0	8	06-02-13	-0,2	0,0
9	08-02-13	-0,1	0,0	9	08-02-13	-0,1	0,0	9	08-02-13	-0,1	0,0	9	08-02-13	-0,7	0,0	9	08-02-13	-0,3	0,0

TABLA 4.3.g.: Lecturas de convergencias en el anillo 278 (S431) del tramo UNEFA - Bello Campo. Proyecto Línea 5.



Inicio Valor en Alerta 18mm (0,25%) Inicio Valor en Alarma 71mm (1%) Inicio Valor en Observación 11mm (0,15%) 20-nov-2012 30-nov-2012 10-dez-2012 20-dez-2012 30-dez-2012 9-jan-2013 19-jan-2013 29-jan-2013 8-fev-2013 18-fev-2013 28-fev-2013 --**>**--C12 ——C13 <u></u>—△ C14 -×- C23 -₩-C34

GRAFICA 4.3.g.: Convergencias (mm) contra tiempo (días) en base a las lecturas.

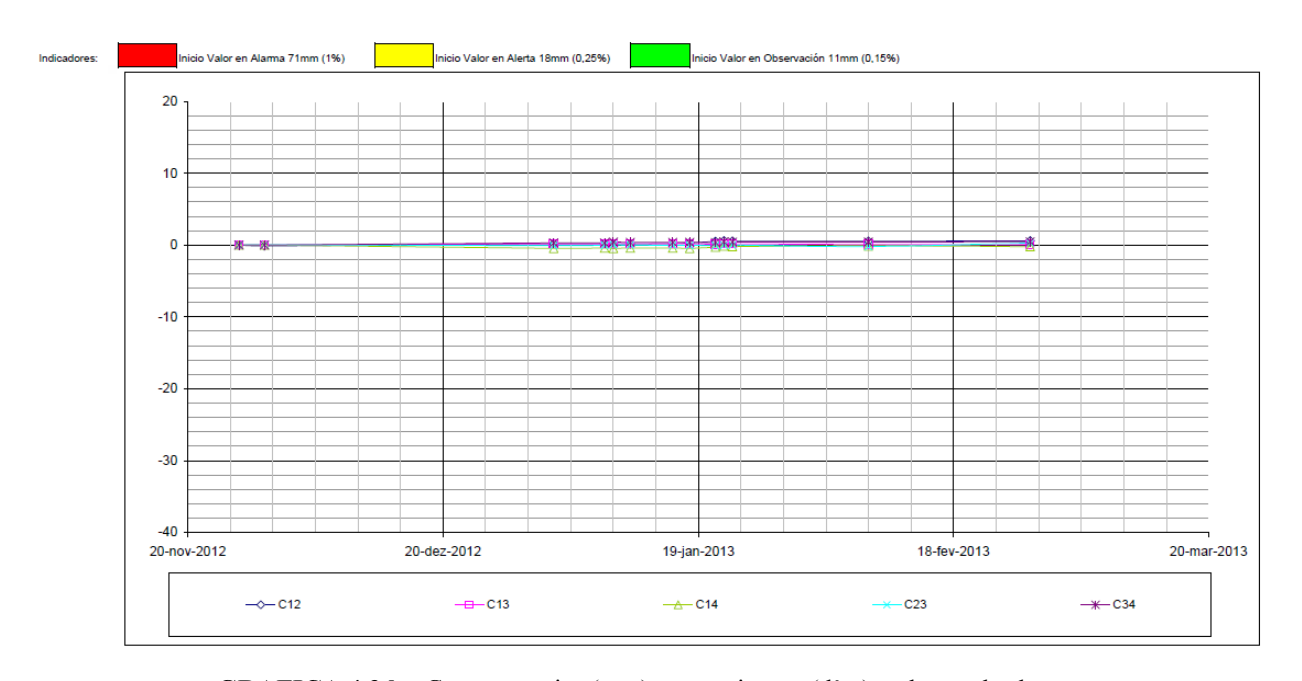


Anillo 603.

C12				C13				C14				C23				C34			
F. Ini.	26/11/2012	Obs:		F. Ini.		Obs:		F. Ini.		Obs:									
F. Fin				F. Fin				F. Fin											
Jornada	Fecha	Deformación Acumulada	Tasa de Mov. (mm/día)	Jornada	Fecha	Deformación Acumulada	Tasa de Mov. (mm/día)	Jornada	Fecha	Deformación Acumulada	Tasa de Mov. (mm/día)	Jornada	Fecha	Deformación Acumulada	Tasa de Mov. (mm/día)	Jornada	Fecha	Deformación Acumulada	Tasa de Mov. (mm/día)
1	26-11-12	0,0	0,0	1	26-11-12	0,0	0,0	1	26-11-12	0,0	0,0	1	26-11-12	0,0	0,0	1	26-11-12	0,0	0,0
2	29-11-12	-0,1	0,0	2	29-11-12	0,0	0,0	2	29-11-12	0,0	0,0	2	29-11-12	0,0	0,0	2	29-11-12	0,0	0,0
3	02-01-13	0,2	0,0	3	02-01-13	0,2	0,0	3	02-01-13	-0,5	0,0	3	02-01-13	-0,1	0,0	3	02-01-13	0,3	0,0
4	08-01-13	0,2	0,0	4	08-01-13	0,2	0,0	4	08-01-13	-0,4	0,0	4	08-01-13	0,0	0,0	4	08-01-13	0,3	0,0
5	09-01-13	0,2	0,0	5	09-01-13	0,2	0,0	5	09-01-13	-0,5	0,0	5	09-01-13	0,0	0,1	5	09-01-13	0,4	0,1
6	11-01-13	0,2	0,0	6	11-01-13	0,2	0,0	6	11-01-13	-0,4	0,0	6	11-01-13	0,0	0,0	6	11-01-13	0,4	0,0
7	16-01-13	0,2	0,0	7	16-01-13	0,2	0,0	7	16-01-13	-0,4	0,0	7	16-01-13	0,0	0,0	7	16-01-13	0,4	0,0
8	18-01-13	0,3	0,0	8	18-01-13	0,2	0,0	8	18-01-13	-0,5	0,0	8	18-01-13	-0,1	0,0	8	18-01-13	0,4	0,0
9	21-01-13	0,5	0,1	9	21-01-13	0,1	0,0	9	21-01-13	-0,3	0,1	9	21-01-13	-0,1	0,0	9	21-01-13	0,3	0,0
10	22-01-13	0,6	0,1	10	22-01-13	0,2	0,1	10	22-01-13	-0,1	0,2	10	22-01-13	-0,1	0,0	10	22-01-13	0,4	0,1
11	23-01-13	0,5	0,0	11	23-01-13	0,2	0,0	11	23-01-13	-0,2	-0,1	11	23-01-13	0,0	0,1	11	23-01-13	0,4	0,0
12	08-02-13	0,5	0,0	12	08-02-13	0,1	0,0	12	08-02-13	-0,1	0,0	12	08-02-13	-0,2	0,0	12	08-02-13	0,4	0,0
13	27-02-13	0,6	0,0	13	27-02-13	0,1	0,0	13	27-02-13	-0,2	0,0	13	27-02-13	0,3	0,0	13	27-02-13	0,5	0,0

TABLA 4.3.h.: Lecturas de convergencias en el anillo 603 (S431) del tramo UNEFA - Bello Campo. Proyecto Línea 5.





GRAFICA 4.3.h.: Convergencias (mm) contra tiempo (días) en base a las lectura



CAPITULO 5. DISCUSION DE RESULTADOS.

5.1. Nivelación de precisión con NPPP.

Las lecturas obtenidas mediante la nivelación de precisión con placa plano paralela necesitan, para ser analizadas y aprovechadas, ser comparadas con los valores de referencia para los asentamientos en túneles gemelos y edificaciones establecidos en las memorias de cálculo, realizadas por la contratista "Construtora Norberto Odebrecht" (CNO) para la Línea 5 del Metro de Caracas. Los valores de referencia se basan en estimaciones realizadas por el Método de Peck, expuesto anteriormente en este trabajo.

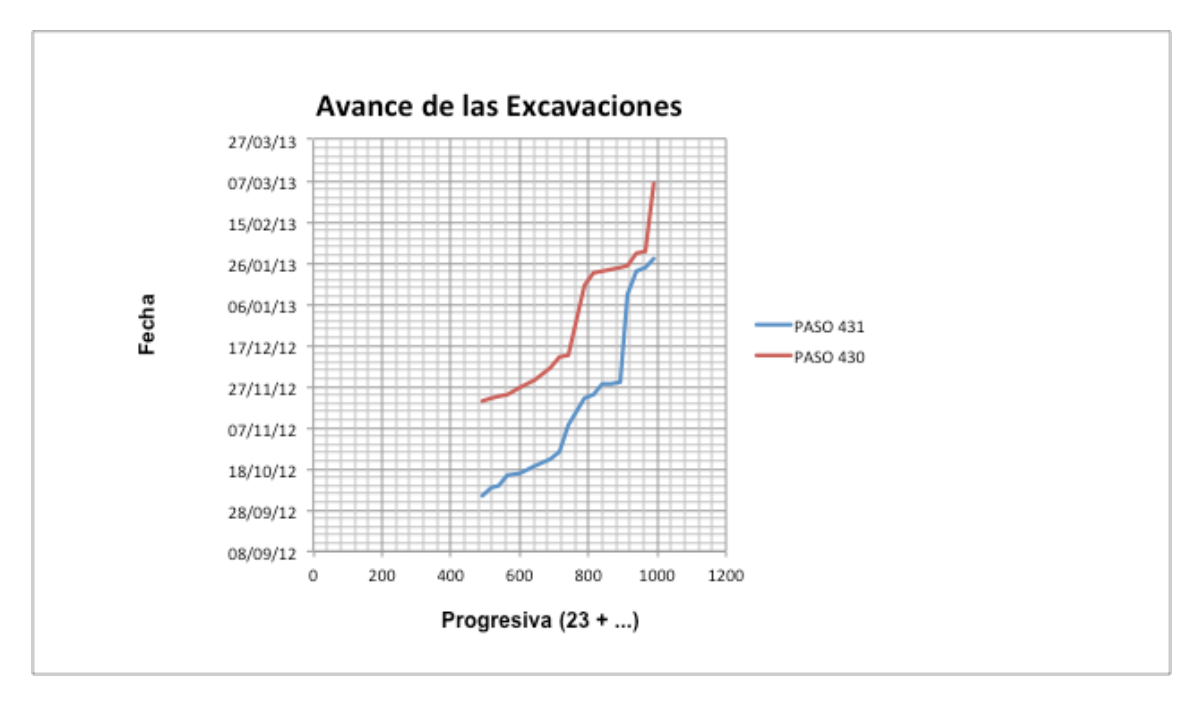
Es de suma importancia observar las lecturas registradas en los días cercanos al paso de las tuneladoras debido a que es cuando regularmente se presentan las variaciones de carácter considerable (Ver TABLA 5.1.a. y GRAFICA 5.1.a.).

PROGRESIVA	PASO 431	PASO 430
23 + 490	05/10/2012	20/11/2012
23 + 515	09/10/2012	21/11/2012
23 + 540	10/10/2012	22/11/2012
23 + 565	15/10/2012	23/11/2012
23 + 600	16/10/2012	27/11/2012
23 + 640	19/10/2012	30/11/2012
23 + 690	23/10/2012	06/12/2012
23 + 715	26/10/2012	11/12/2012
23 + 740	08/11/2012	12/12/2012
23 + 790	21/11/2012	15/01/2013
23 + 815	23/11/2012	21/01/2013
23 + 840	28/11/2012	22/01/2013
23 + 865	28/11/2012	23/01/2013
23 + 890	29/11/2012	24/01/2013
23 + 915	11/01/2013	25/01/2013
23 + 940	22/01/2013	31/01/2013
23 + 965	24/01/2013	01/02/2013
23 + 990	28/01/2013	06/03/2013

TABLA 5.1.: Paso de las tuneladoras por las distintas secciones instrumentales.

Fuente: Autores





GRAFICA 5.1.: Avance de las excavaciones.

Fuente: Autores



5.1.1. Nivelación de secciones con puntos superficiales y tasómetros.

Para el análisis de las lecturas de la instrumentación colocadas en las distintas progresivas de los túneles gemelos del tramo estudiado, se utilizaron las tablas de memorias de cálculo antes mencionada. Se elaboraron, además, niveles de advertencia para clasificar los asentamientos o levantamientos que se manifiesten en las lecturas (Ver **TABLAS 5.1.1.a** y **5.1.1.b**).

			NIVE	LI				
		Ma	rcos su	ıperfici	iales (n	ım)		netros m)
Progresiva	Sección tipo	p P1	p P2	p P3	p P4	p P5	p T2	p T4
23 + 490	A	6	7	8	7	6	18	18
23 + 515	В		7	8	7			
23 + 540	A*	6	7	8	7	6	18	18
23 + 565	В		7	8	7			
23 + 600	B*		7	8	7			
23 + 640	A*	6	7	8	7	6	18	18
23 + 690	A	6	8	8	8	6	18	18
23 + 715	B*		8	8	8			
23 + 740	A	6	8	8	8	6	18	18
23 + 790	В		8	8	8			
23 + 815	A*	6	7	8	7	6	18	18
23 + 840	A*	6	7	8	7	6	18	18
23 + 865	В		7	8	7			
23 + 890	A	6	7	8	7	6	18	18
23 + 915	В		7	8	7			
23 + 940	A	6	7	8	7	6	18	18
23 + 965	В		7	8	7			
23 + 990	A*	6	7	8	7	6	18	18

^{*} Secciones con configuración modificada

TABLA 5.1.1.a.: Niveles de referencia de asentamientos en Túneles Gemelos. Nivel I.

Fuente: (FIGUEIREDO FERRAZ, Odebrecht, & C.A. Metro de Caracas, 2010)



			NIVEI					
		Ma	ircos su	ıperfici	ales (m	ım)	Tasón (m	netros m)
Progresiva	Sección tipo	p P1	p P2	p P3	p P4	p P5	p T2	p T4
23 + 490	A	8	9	10	9	8	22	22
23 + 515	В		9	10	9			
23 + 540	A*	8	9	10	9	8	22	22
23 + 565	В		9	10	9			
23 + 600	B*		9	10	9			
23 + 640	A*	8	9	10	9	8	22	22
23 + 690	A	8	10	10	10	8	22	22
23 + 715	B*		10	10	10			
23 + 740	A	8	10	10	10	8	22	22
23 + 790	В		10	10	10			
23 + 815	A*	8	9	10	9	8	22	22
23 + 840	A*	8	9	10	9	8	22	22
23 + 865	В		9	10	9			
23 + 890	A	8	9	10	9	8	22	22
23 + 915	В		9	10	9			
23 + 940	A	8	9	10	9	8	22	22
23 + 965	В		9	10	9			
23 + 990	A*	8	9	10	9	8	22	22

^{*} Secciones con configuración modificada

TABLA 5.1.1.b.: Niveles de referencia de asentamientos en Túneles Gemelos. Nivel II.

Fuente: (FIGUEIREDO FERRAZ, Odebrecht, & C.A. Metro de Caracas, 2010)



Cuando alguno de estos asentamientos sean alcanzado o rebasado, se determinaron medidas a ser tomadas de inmediato por los entes correspondientes (Ver **TABLA 5.1.1.c.**).

	Medidas a ser adoptadas
NIVEL I	Debe ser doblada la frecuencia de lectura. La proyectista debe ser comunicada por los responsables de la instrumentación.
NIVEL II	La proyectista debe manifestar un parecer oficial sobre el hecho para la posterior toma de decisiones.

TABLA 5.1.1.c.: Medidas a ser adoptadas luego de que se alcancen los niveles de advertencia.

Fuente: (FIGUEIREDO FERRAZ, Odebrecht, & C.A. Metro de Caracas, 2010)

Luego de un análisis exhaustivo de las lecturas de la instrumentación presentadas en los resultados de este trabajo podemos decir que los resultados son satisfactorios en la mayoría de las secciones instrumentadas. No obstante, podemos destacar la presencia, en múltiples ocasiones, de variaciones de cota positivas (levantamientos), los cuales son consecuencia de la alta presión con que se han realizado las inyecciones de mortero ("grout") para la estabilización del terreno y el relleno del espacio anular (aproximadamente 20 cm) que se genera entre la *TBM-EPBs* y el terreno antes de colocar los anillos de dovelas prefabricados. Este es el caso de las secciones 23 + 490, 23 + 540, 23 + 565, 23 + 890, 23 + 965 y 23 + 990. Dichos levantamientos no son significativos para el normal desarrollo de la obra pero si pudieran ocasionar daños a los instrumentos colocados.

Se evidenciaron además, secciones en las cuales fue alcanzado y hasta sobrepasado el nivel de referencia al 80% de las deformaciones negativas. Este es el caso de las secciones 23 + 690 a 23 + 865 (Ver **GRAFICAS desde 4.1.1.p. hasta 4.1.1.j**).

Este tramo del alineamiento se encuentra ubicado en el terreno perteneciente al Complejo Educativo Gustavo Herrera, el cual presenta áreas ubicadas sobre rellenos compuestos de materiales de calidades desconocidas y en estado de abandono. Esto representa un problema para los instrumentos de medición utilizados que se manifiesta a manera de lecturas anómalas. En este caso, debido a la situación antes mencionada, no se tomaron medidas distintas a la normal realización de las mediciones acompañada por las respectivas observaciones del personal de la contratista y del C.A. Metro de Caracas.



5.1.2. Nivelación de edificaciones con pernos de asentamiento.

El proceso de nivelación realizado para llevar el control de los asentamientos en las edificaciones que se encuentran en el área de afectación de las excavaciones, arrojó, luego de su comparación con las memorias de cálculo correspondientes (Ver **TABLA 5.1.2.a**), resultados relativamente aceptables.

	Asentamiento	Distorsión	Tipo de daño	Medidas a ser adoptadas
NIVEL I	10mm	1/625	Estético	Duplicar la frecuencia de lectura de los instrumentos.
NIVEL II	20mm	1/320	Funcional	Los elementos sueltos de los edificios deben ser fijados o removidos. El proyectista debe emitir parecer sobre la situación de la obra y del edificio y sobre la necesidad de adopción o no de medidas adicionales de seguridad.
NIVEL III	32mm	1/125	Estructural	Puede ser necesario la paralización de la obra o la evacuación temporal del edificio. El proyectista deberá emitir su parecer sobre la situación de la obra y del edificio y sobre la necesidad de adopción o no de medidas adicionales de seguridad.

TABLA 5.1.2.a.: Niveles de referencia para edificaciones afectadas por la Línea 5 del Metro de Caracas. Medidas a ser adoptadas.

Fuente: (FIGUEIREDO FERRAZ, Odebrecht, & C.A. Metro de Caracas, 2010)

Se puede apreciar una excepción a lo expuesto anteriormente en el Complejo Educativo Gustavo Herrera, donde se han registrado asentamientos que alcanzan el 99% del nivel de referencia al 80% de la deformación. Esta particularidad se debe a la composición de las capas superficiales del área donde se encuentra la edificación, que, como se dijo anteriormente, es un relleno de calidad cuestionable. Como se observa en las **GRAFICAS 7.1.2.a.** y **7.1.2.b.**, los pernos de nivelación P6 y P2 (Ver **FIGURA 7.1.2.a.**) son los que alcanzaron el "*Nivel de advertencia I"* (Ver **TABLA 7.1.2.a.**). Esto puso en alerta a los especialistas e indujo a un proceso de reducción del intervalo de las lecturas. Los pernos P6 y P2, siendo los más cercanos a los túneles, no sufrieron mayor asentamiento tras el paso de la primera tuneladora (S431), pero cuando la segunda máquina, la S430, alcanzó la ubicación de los mismos se evidenciaron asentamientos de hasta 10mm. Aunque no se hayan presentado daños en la edificación, se realizaron las observaciones correspondientes y se destacó que dichos movimientos se debían a la composición del terreno bajo la fundación y al reacomodo de partículas consecuencia del movimiento causado por las tuneladoras. Cabe destacar que en las edificaciones lo



que causa los daños en sí, es la distorsión angular provocada por asentamientos diferenciales entre las distintas fundaciones, y que, en este caso, una variación tan pequeña no causaría mayores daños a dichas edificaciones.

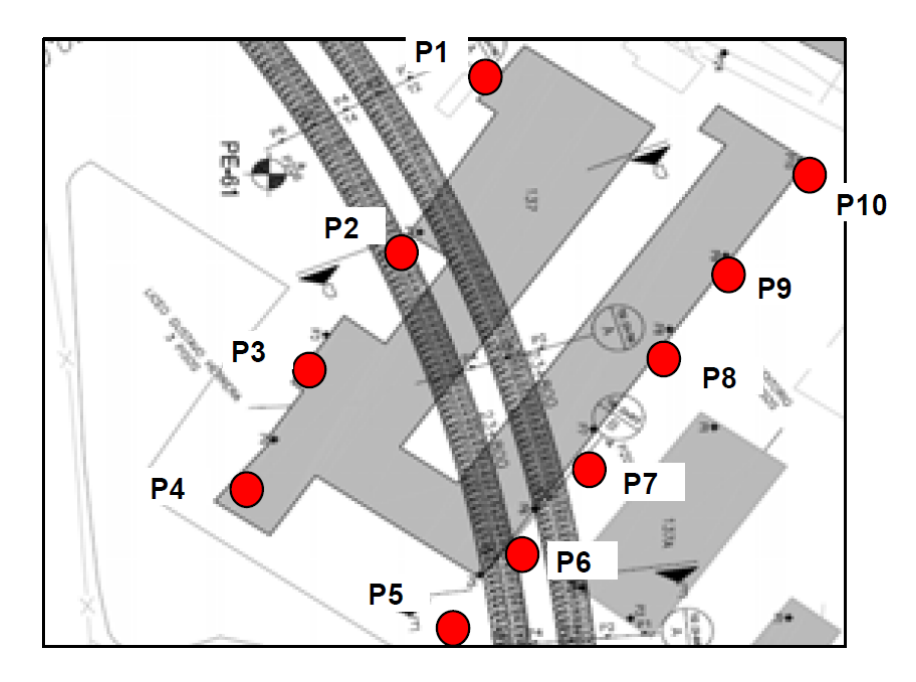


FIGURA 5.1.2.: Ubicación de los instrumentos de nivelación en el Complejo Gustavo Herrera.

Fuente: C.A. Metro de Caracas



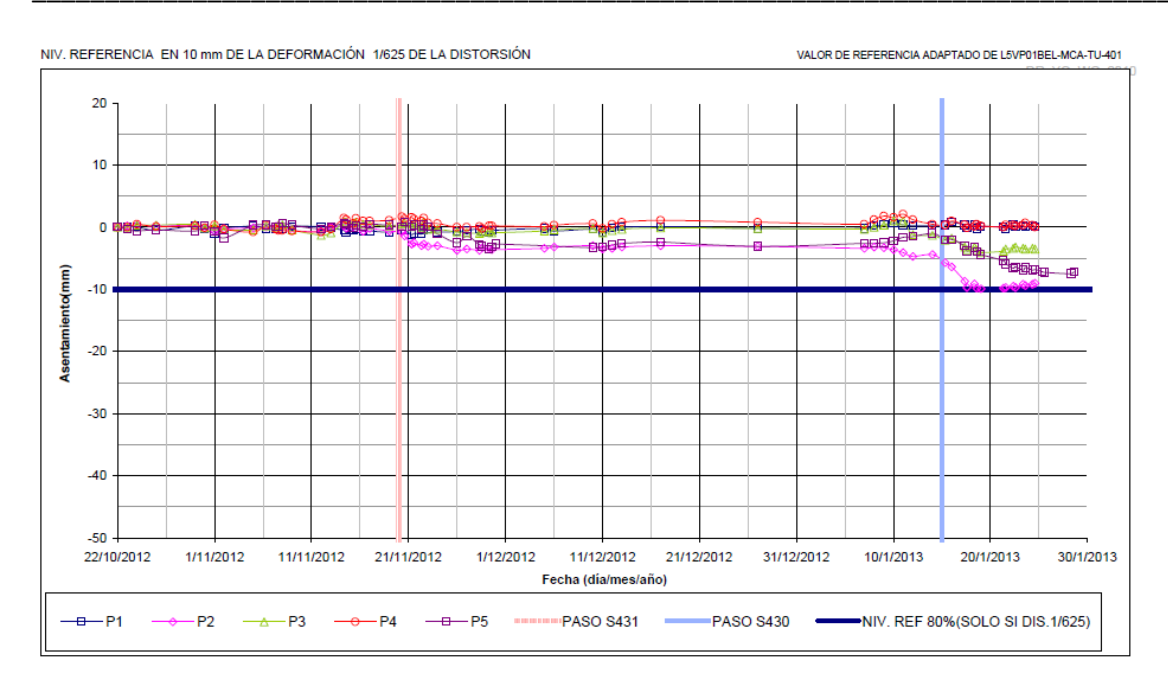


GRAFICO 5.1.2.a.: Movimientos de los dispositivos P1, P2, P3, P4 y P5 de las fundaciones del Complejo Gustavo Herrera.



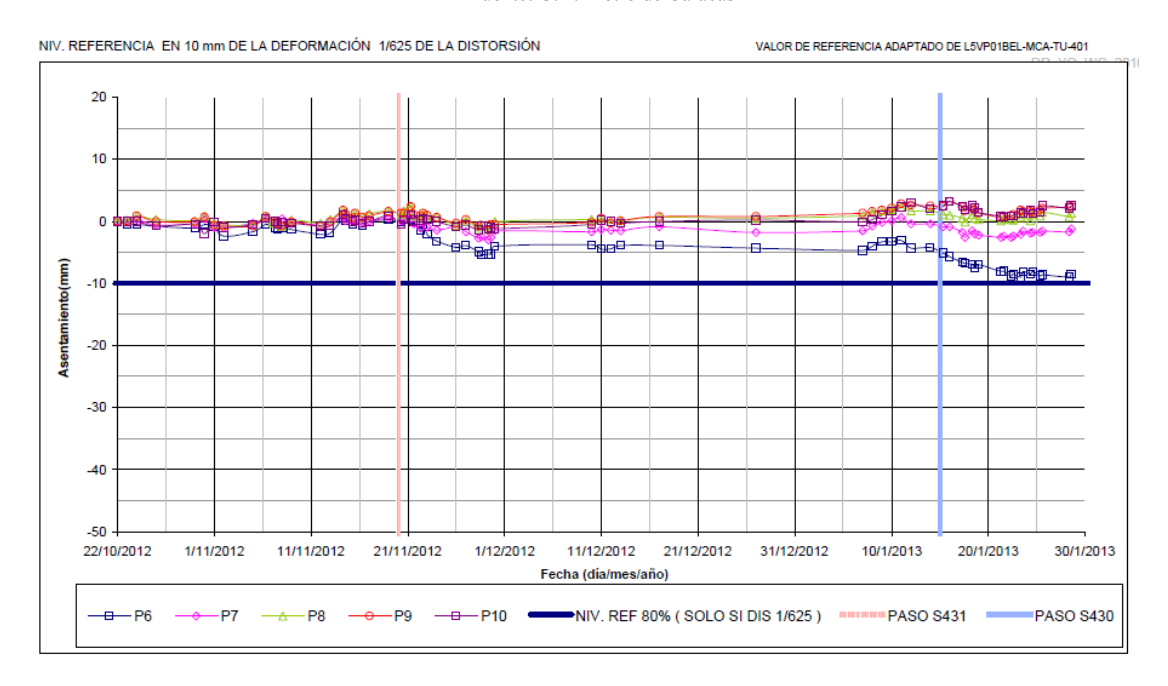


GRAFICO 5.1.2.b.: Movimientos de los dispositivos P6, P7, P8, P9 y P10 de las fundaciones del Complejo Gustavo Herrera.

Fuente: C.A. Metro de Caracas



5.2. Mediciones de convergencia.

El principal objetivo de las mediciones de convergencias realizadas en los anillos que componen los túneles gemelos es controlar la estabilización del subsuelo con dichos elemento de soporte. Las presiones ejercidas por el macizo (presión del terreno y presión hidrostática) sobre la estructura representan de manera directa el factor que hace variar las convergencias. En algunos casos, es necesario que se admitan valores un poco menos conservadores en dichas convergencias con el objeto de disipar las mencionadas presiones, aunque no se debe perder de vista el hecho de que estas convergencias puedan causar deformaciones indeseadas en la superfície.

En las lecturas de los anillos estudiados se puede apreciar una gran homogeneidad en las mediciones realizadas, con deformaciones mayores a -2mm en todos los anillos leídos, evidenciando así que las predicciones asumidas en la fase de proyecto fueron las correctas. Al realizar el análisis comparativo con las memorias de cálculo que proveen los niveles de advertencia (Ver **TABLA 5.3.a.**), pudimos constatar que no se alcanzó, en ningún caso, ninguno de estos niveles. Esto se debe a las bajas presiones ejercidas por el macizo en el cual fue realizada la excavación (Arena Limosa en su mayoría) sobre la estructura de recubrimiento de los túneles (Ver **FIGURA 5.3.**).

	TUNELADORA		Macizo	Convergencia (mm)	
	S 430	S 431	Macizo	NIVEL I	NIVEL II
Anillo N°	66	65	Suelo	10,9	13,6
	174	178	Suelo	10,9	13,6
	274	278	Suelo	10,9	13,6
	595	603	Suelo	10,9	13,6

TABLA 5.3.a.: Niveles de referencia para convergencia en los túneles *TBM* del tramo UNEFA - Bello Campo del Metro de Caracas.

Fuente: (FIGUEIREDO FERRAZ, Odebrecht, & C.A. Metro de Caracas, 2010)



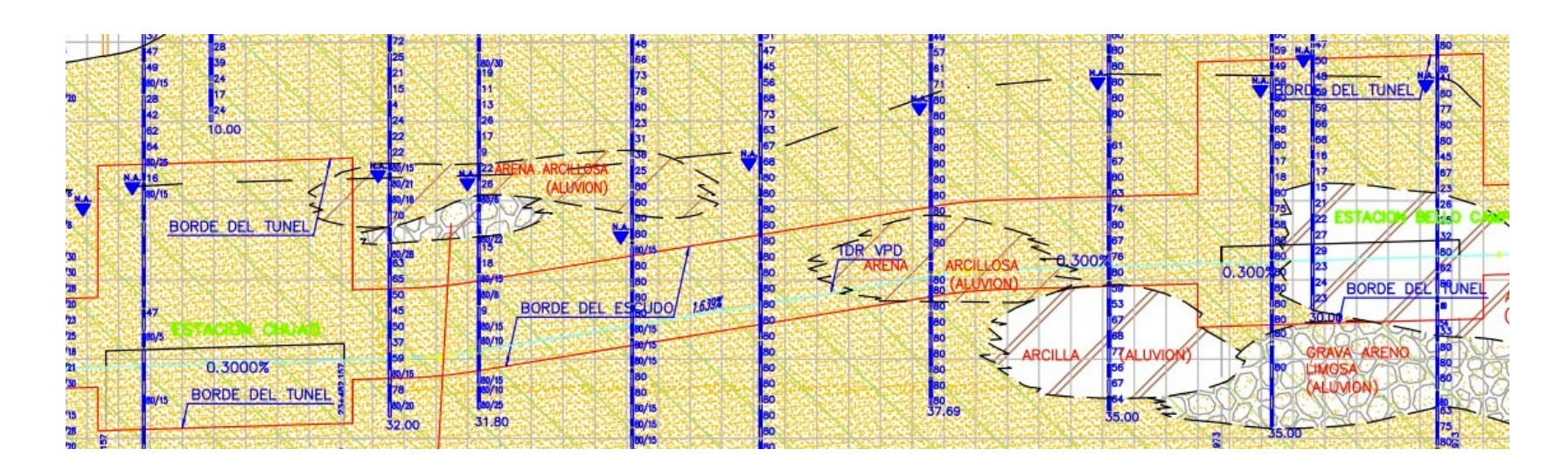


FIGURA 5.3.: Perfil geológico del Tramo Chuao - Bello Campo.

Fuente: C.A. Metro de Caracas



5.3. Control de niveles freáticos.

Se logró recolectar las mediciones de los piezómetros "PZ6", "PZ7", "PZ9" y "PZ10" en el rango de fechas que va desde el 22 de octubre 2012 al 28 de febrero 2013.

Haciendo referencia al perfil geológico de la Fase I del Proyecto Línea 5 del Metro de Caracas (Ver ANEXO-3), la importancia del control de los niveles freáticos, en los tramos de túneles gemelos, radica en el criterio de adecuación del frente de excavación ya que la mayor parte del alineamiento que será construido en suelos sedimentarios en condición de sumersión parcial o total.

A continuación se procede a comparar los niveles freáticos indicados en los parámetros de excavación por anillos de las dos tuneladoras (S430 y S431) (Ver **ANEXO-4**), suministrados por "*mtc*", con aquellos medidos mediante los piezómetros instalados en el tramo Chuao-Bello Campo. Los resultados obtenidos a raíz de dicha comparación fueron los siguientes:

Piezómetro	Ubicación (Anillo N°)	Nivel piezométrico (Parámetros de excavación) (metros). Sobre la clave.	Nivel piezométrico leído por instrumentación (metros). Desde la cota de terreno .	Nivel piezométrico leído por instrumentación (metros). Sobre la clave.
PZ06	600	6,5 a 7,5	8 a 10,5	14 a 17
PZ07	650	6,5 a 7,5	8 a 10,5	14 a 17
PZ09	700	6 a 7,5	10 a 11	14 a 17
PZ10	750	6 a 7,5	8,5 a 11	14 a 17

TABLA 5.4.a.: Comparación niveles freáticos medidos con aquellos indicados en los parámetros de las tuneladoras.

Fuente: Autores

De la **TABLA 5.4.a**. se puede resaltar que los niveles freáticos medidos con los piezómetros, expresados desde la clave del túnel, son mayores a los reportados en los parámetros de las tuneladoras. Por ende existe el peligro que el agua penetre las cámaras de excavación de las tuneladoras en el tramo estudiado y es necesario aumentar la presión en dicha cámara y las inyecciones de montero en 0,1 bares por cada metro que aumenta el nivel freático



Piezómetro	Ubicación (Anillo N°)	Presiones en la cámara de excavación indicada en los parámetros (bares)	Aumento de presión recomendada (bares). 0,1 bares por cada metro que aumenta el nivel freático
PZ06	600	1,5 a 2,0	0,6 a 0,65
PZ07	650	1,8 a 2,0	0,6 a 0,65
PZ09	700	1,6 a 1,8	0,4 a 0,6
PZ10	750	1,3 a 1,6	0,55 a 0,6

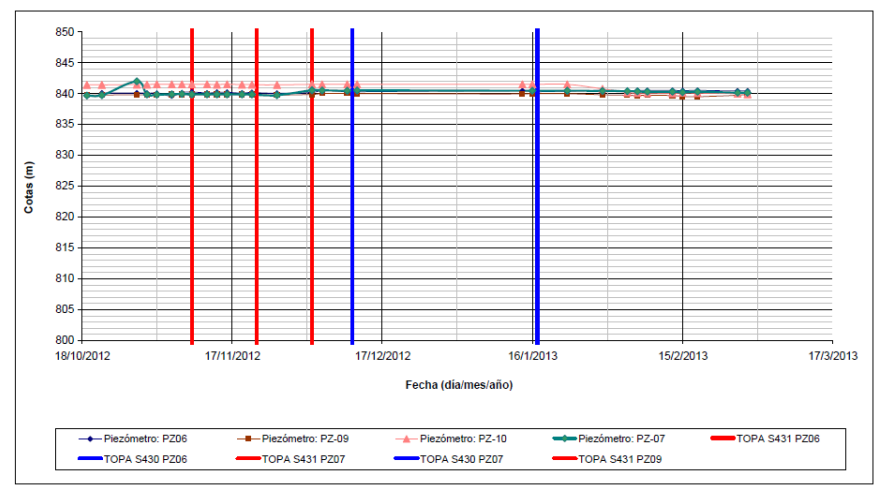
Piezómetro	Ubicación (Anillo N°)	Presiones de inyección de mortero indicada en los parámetros (bares)	Aumento de presión recomendada (bares), 0,1 bares por cada metro que aumenta el nivel freático
PZ06	600	2,5 a 3,5	0,6 a 0,65
PZ07	650	2,6 a 3,5	0,6 a 0,65
PZ09	700	2,6 a 3,3	0,4 a 0,6
PZ10	750	2,3 a 3,1	0,55 a 0,6

TABLA 5.4.b.: Aumento de presión recomendada por cada metro que aumenta el nivel freático, para la cámara de excavación e inyecciones de mortero.

Fuente: Autores

En el tramo Chuao - Bello Campo, como se mencionó anteriormente, las presiones ejercidas por el suelo areno - limoso no son determinantes, de esta manera el nivel freático juega un papel importante al provocar la mayor presión sobre la cabeza del escudo de la tuneladora y sobre el revestimiento del túnel.

Se ha evidenciado en algunos casos que caídas bruscas en el nivel freático pueden producir asentamientos considerables en las edificaciones circunvecinas causadas por el arrastre de finos. En el tramo analizado no se observó este fenómeno como se puede apreciar en la **GRAFICA 5.4.**



GRAFICA 5.4.: Variación de los niveles freáticos tras el paso de las tuneladoras S430 y S431.



Otro problema presente en los túneles construidos por el método TBM-EPBs está en que, al estar compuestos por un revestimiento prefabricado, pueden presentar problemas de filtraciones considerables en las juntas entre anillos. Esto puede deberse va sea al deterioro de las juntas de caucho en el proceso de colocación de los anillos o al simple hecho de que existan vías que permitan el paso del agua. El sellado de estas filtraciones, una vez el túnel está en uso, superan con creces el costo de construir el túnel empleando la impermeabilización continua, especialmente si se tiene en consideración el daño que causan las infiltraciones de agua en las instalaciones electromecánicas del túnel. Es por ello que desde la construcción de la Línea 2 del Metro de Caracas, se ha implementado un plan de sellado para estas juntas problemáticas que consiste en realizar perforaciones en las dovelas que conforman el revestimiento del túnel y en dicha perforación colocar una válvula, por la cual se inyecta un producto llamado "SikaFix HH", que es un "grout" de espuma de poliuretano hidrofóbico (Ver FIGURA 5.4.a.). La válvula antes mencionada cumple la misma función que la usada en los cauchos convencionales que es no dejar salir el fluido que se encuentra dentro. (Ver FIGURA 5.4.b.).



FIGURA 5.4.a.: Producto SikaFix HH.

Fuente: Autores



FIGURA 5.4.b.: Válvulas utilizadas en las inyecciones de espuma.

Fuente: Autores



CAPITULO 6. CONCLUSIONES.

- 1. En general, los resultados obtenidos con la instrumentación de precisión realizada durante el período julio 2012 marzo 2013 demostraron la efectividad del método de excavación de túneles con tuneladoras con escudo de frente balanceado (*TBM-EPBs*), en cuanto a precisión y seguridad urbana.
- 2. Los valores de desplazamientos obtenidos mediante el uso de la instrumentación no siempre reproducen exactamente los asentamientos verificados en campo con las secciones instrumentadas. Esto no desacredita, de ninguna manera, los valores aquí presentados.
- 3. Si las lecturas de instrumentación son mayores que las presentadas por la proyectista "Figueiredo Ferraz" en los valores de referencia de las memorias de cálculo, no significa que la obra está en riesgo inminente. Los entes correspondientes están preparados para tomar acciones de manera inmediata, implementando o alterando la aplicación de los dispositivos auxiliares de seguridad, y buscando de esta forma estabilizar las deformaciones, minimizar los asentamientos y garantizar tanto la integridad como la seguridad de la obra.
- 4. En cuanto a los mecanismos asociados a la formación de asientos del suelo colindante a una excavación con tuneladora, la deformación del sostenimiento (recubrimiento anular), debido a las cargas del terreno, suele ser de menor magnitud en comparación con otros fenómenos. Entre ellos se encuentran la deformación del suelo en el frente de excavación del túnel debido a la relajación de tensiones, la sobreexcavación producida por la cabeza de corte, y la consolidación. Este último fenómeno juega un papel importante en el caso de las arcillas blandas, tal como lo confirma Chamorro (2005).
- 5. Es importante resaltar que no se pudo cumplir con el objetivo relacionado con la comparación entre lecturas de instrumentación obtenidas en túneles mineros y túneles gemelos. Esto fue consecuencia de la falta del factor tiempo para recolectar todas la información relacionada y su posterior análisis numérico y estadístico.
- 6. Se adicionaron al plan de instrumentación previsto inicialmente las lecturas correspondientes a las convergencias en túneles gemelos, algo que no estaba previsto en el proyecto inicial de este trabajo pero que es fundamental para determinar las deformaciones que afectan el revestimiento de dichos túneles. Dicha importancia radica en que si se presentasen deformaciones mayores a las admisibles y no fueran tomadas las medidas correspondientes, se vería en peligro la integridad de la obra y la vida de los trabajadores. La C.A. Metro de Caracas junto con la contratista "Construtora Norberto Odebrecht S.A." realizan mediciones de convergencias diarias dentro de los túneles tipo escudo luego de la colocación de los anillos de concreto prefabricado.



7. Debido a la escasez de incidentes en el tramo analizado, gracias a la eficiencia de método constructivo *TBM-EPBs*, no se puedo realizar un estudio en particular de los mismos.

8. Las mediciones de los niveles freáticos y su monitoreo constante son importantes para determinar las presiones hidrostáticas que se ejercen sobre el frente de excavación y el revestimiento del túnel, adecuando los parámetros de la tuneladora con escudo de frente balanceado y así evitar inundaciones, colapsos o su avería.



BIBLIOGRAFIA

Brescia, D., & Pereira, E. (2002). *Instrumentación para el control del avance del túnel minero ubicado en el Tramo Plaza Italia-Capuchinos de la Línea 4 del Metro de Caracas*. Universidad Católica Andrés Bello, Caracas, Venezuela: Trabajo Especial de Grado para optar al título de Ingeniero Civil.

Herrenknecht. (n.d.). From www.herrenknecht.com

Sika. (n.d.). Hoja técnica SikaFix HH+. From www.sika.com.mx

Pérez , J., Gutierrez, G., & De La Hoz, M. (2012). Especificaciones de servicios para instrumentación geotécnica de obras de túneles. Caracas: Unidad de Instrumentación - Línea 5 - C.A. Metro de Caracas.

Giraldo, E. (2010). Las máquinas tuneleras tipo "TBM" como alternativa al sistema de perforación y voladura para la excavación de túneles caso: desarrollo de túneles en Yuncan. Universidad Nacional de Ingeniería, Lima, Perú: Tesis para optar al grado de Maestro en Ciencias con Mención en Ingenieria de Minas.

Dunnicliff, J. (1992). Geotechnical Instrumentation for monitoring field performance.

Chamorro Ramos, O. (2005). Análisis de los movimientos del terreno producidos por la excavación mecánica del túnel de la L9 en la zona de Santa Coloma de Gramenet. Universidad Politécnica de Cataluña, Departamento de Ingeniería del Terreno, Cartográfica y Geofísica, España: Minor Thesis.

Centeno, F., Pulido, S., & Brescia, D. (2004). Seguimiento Instrumental Geotécnico de la construcción de los túneles gemelos (TBM-EPBs), túneles mineros (NATM) y 4 estaciones de la línea 4 del Metro de Caracas (Tramos Plaza Venezuela-Plaza Italia-Capuchinos). Caracas, Venezuela: XVIII Seminario Venezolano de Geotecnia.

Medina Rodriguez, L., & Melis Maynar, M. (2000). *El modelo numérico de predicción de asientos para la ampliación del Metro de Madrid*. Revista de Obras Pública / Extraordinario N°3405.

Perri, G. (2011). Construcción de túneles en ambientes urbanos con TBMs. Bogotá, Colombia: Seminario Internacional de Geotecnia Urbana.

Chacon Carmona, T. (1986). *Instrumentación Geotécnica en túneles gemelos*. Universidad Metropolitana, Caracas, Venezuela: Trabajo Especial de Grado para optar al título de Ingeniero Civil.

Centeno Werner, R. (1984). *Obras subterráneas en suelos heterogéneo*. Caracas, Venezuela: Asociación Venezolana de Obras Subterráneas (SOCVENOS), International Tunneling Association (ITA).

Pérez, J. *Informe Semana 39 Instrumentación Línea 5*. Caracas, Venezuela: Informe técnico - C.A. Metro de Caracas - Proyecto Línea 5.

Geokon. (n.d.). Especificaciones de Cinta Extensiométrica Geokon 1610. From www.geokon.com



Theoktisto Colmenares, V. A. (2012). Estudio comparativo de las tuneladoras "Juana Ramírez la Avanzadora" y "Manuelita Sáenz la Libertadora" de la Línea 5 del Metro de Caracas. Caracas, Venezuela: Trabajo Especial de Grado, Universidad Central de Venezuela, Facultad de Ingenieria, Escuela de Ingenieria Civil.

Villa, S., & Odebrecht. Evaluación de las Medidas Mitigadoras en Caso de Presencia de Suelos Heterogéneos y Frentes Mixtos, del Alineamiento de la Línea 5 del Metro de Caracas. Caracas, Venezuela.

KG, Maidl Tunnelconsultants GmbH & Co. (2010). Cálculo de las presiones de sostenimiento del frente y de inyección de mortero. Línea 5 UNEFA-Zona Rental, C.A. Metro de Caracas.

Odebrecht. Presentación tuneladoras Línea 5. Caracas.

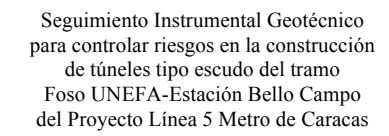
FIGUEIREDO FERRAZ, Odebrecht, & C.A. Metro de Caracas. (2010). *Niveles de refrencia para los túneles gemelos*. Caracas, Venezuela: Informe técnico Tramo Plaza Venezuela-Miranda II.

Odebrecht, & C.A. Metro de Caracas. (2010). *Memoria descriptiva Línea 5*. Caracas: Línea 5, Tramo Plaza Venezuela - Parque del Este.

Odebrecht, & C.A. Metro de Caracas. (2010). *Metodología constructiva túneles mineros (NATM)*. Caracas, Venezuela: Línea 5 Tramo Plaza Venezuela - Parque del Este - Metro de Caracas.

Odebrecht, & C.A. Metro de Caracas. (2012). *Plan de contingencia edificaciones linderas Tramo UNEFA-Bello Campo-Miranda II*. Caracas, Venezuela: L5 Metro de Caracas.

Guillen, W., C.A. Metro de Caracas, & Odebrecht. *Instrumentación en túneles escudos sector La Carlota Línea 5 Metro de Caracas*.





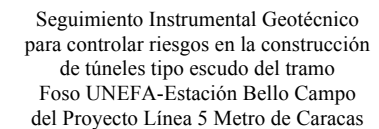
ANEXOS



ANEXO-1: Plano de planta y perfil del alineamiento Proyecto Línea 5 del Metro de Caracas.



ANEXO-2: Distribución de secciones instrumentales en el tramo Chuao-Bello Campo de la Línea 5 del Metro de Caracas.



176



ANEXO-3: Perfil geológico del alineamiento de la Fase I del Proyecto Línea 5 del Metro de Caracas.



ANEXO-4: Parámetros de excavación de las tuneladoras S430 y S431 del tramo Chuao-Bello Campo.